



รายงานการวิจัย

การศึกษาออกแบบความสัมพันธ์แบบจำลองความจุช่องสัญญาณ
กับแบบรูปถ่ายอากาศสำหรับช่องสัญญาณแบบมัลติอินพุท-มัลติเอาท์พุท

RELATIONS BETWEEN CHANNEL CAPACITY AND ANTENNA RADIATION PATTERN FOR MULTIPLE-INPUT MULTIPLE- OUTPUT SYSTEMS

ได้รับทุนอุดหนุนจาก
มหาวิทยาลัยเทคโนโลยีสุรนารี

ผลงานวิจัยเป็นความรับผิดชอบของหัวหน้าโครงการวิจัยแต่เพียงผู้เดียว



รายงานการวิจัย

การศึกษาออกแบบความล้มเหลวแบบจำลองความจุของสัญญาณ
กับแบบรูปสามเหลี่ยมสำหรับช่องสัญญาณแบบมัลติอินพุท-มัลติเอาท์พุท

RELATIONS BETWEEN CHANNEL CAPACITY AND ANTENNA RADIATION PATTERN FOR MULTIPLE-INPUT MULTIPLE- OUTPUT SYSTEMS

คณะผู้วิจัย

หัวหน้าโครงการ

ผู้ช่วยศาสตราจารย์ ดร. ชาญชัย ทองโสภา¹
สาขาวิชาวิศวกรรมโทรคมนาคม
สำนักวิชาวิศวกรรมศาสตร์
มหาวิทยาลัยเทคโนโลยีสุรนารี

ได้รับทุนอุดหนุนการวิจัยจากมหาวิทยาลัยเทคโนโลยีสุรนารี ปีงบประมาณ พ.ศ. 2551
ผลงานวิจัยเป็นความรับผิดชอบของหัวหน้าโครงการวิจัยแต่เพียงผู้เดียว

กิตติกรรมประกาศ

งานวิจัยบันนี่สามารถดำเนินการได้และได้รับผลสำเร็จบรรลุตามวัตถุประสงค์ที่ตั้งไว้ทุกประการ โดยได้รับทุนอุดหนุนการวิจัย ปีงบประมาณ พ.ศ. 2551 จากมหาวิทยาลัยเทคโนโลยีสุรนารีและขอขอบคุณ ดร.อภิชาติ อินทรพาณิชย์ ซึ่งเป็นผู้ให้คำปรึกษา ให้ข้อมูลและให้คำแนะนำในการดำเนินงานวิจัย คุณประพด จาระตะคุ วิศวกรศูนย์เครื่องมือวิทยาศาสตร์และเทคโนโลยีมหาวิทยาลัยเทคโนโลยีสุรนารี ที่ช่วยอำนวยความสะดวกทางด้านเครื่องมือและอุปกรณ์ทดสอบ คุณชนเสฎฐ์ ทศดิกรพัฒน์ และคุณจรินทร์ศักดิ์ แซ่เตียว ที่ช่วยทำการวัดทดสอบงานวิจัยรวมถึงการจัดรูปเล่มรายงานการวิจัยครั้งนี้

ชาญชัย ทองโสภา

ตุลาคม 2552

บทคัดย่อ

ในอดีตที่ผ่านมาได้มีการพัฒนาเทคนิคต่าง ๆ เพื่อเพิ่มประสิทธิภาพการใช้งานระบบการสื่อสารไร้สาย อาทิ การใช้ความถี่ซ้ำ การใช้สายอากาศแบบหลายองค์ประกอบ เป็นต้น และการใช้สายอากาศแบบหลายองค์ประกอบ ก็เป็นเทคนิคหนึ่งที่สามารถเพิ่มความสามารถของระบบการสื่อสารไร้สายได้ โดยไม่ต้องการย่านความถี่เพิ่ม สำหรับเทคนิคด้านสายอากาศที่เรียกว่า ระบบมัลติเพลอินพุท-ซิงเกิลเอาท์พุท เป็นระบบที่ใช้สายอากาศหลาย ๆ องค์ประกอบ ทั้งในด้านส่งและด้านรับ โดยเป็นเทคนิคในการเพิ่มความสามารถในการรับส่งข้อมูลในระบบไร้สาย โดยความจุช่องสัญญาณจะเพิ่มขึ้นแบบเชิงเส้น ตามจำนวนของสายอากาศที่เพิ่มขึ้น

งานวิจัยนี้ เป็นการนำเสนอการศึกษาพัฒนาแบบจำลองความสัมพันธ์ระหว่างค่าความจุช่องสัญญาณกับแบบรูปการแผ่นพလังงานของสายอากาศ สำหรับระบบมัลติเพลอินพุท-มัลติเพล เอาท์พุท โดยอาศัยระเบียบวิธีเชิงตัวเลข ซึ่งความจุช่องสัญญาณที่พิจารณาจะเป็นตัวแปรสุ่ม โดยอาศัยการหาค่าส่วนเติมเต็มของฟังก์ชันการแจกแจงสะสม ซึ่งนำไปสู่การทดสอบผลของแบบจำลองด้วยการวัดค่าช่องสัญญาณ โดยอาศัยเครื่องมือวัด และใช้เป็นข้อมูลในการพิจารณาดักษณะของแบบรูปการแผ่นพလังงาน และชนิดของสายอากาศที่ทำให้ค่าความจุช่องสัญญาณเพิ่มขึ้น สำหรับสภาวะแวดล้อมต่าง ๆ ซึ่งจากแบบจำลองความสัมพันธ์ระหว่างค่าความจุช่องสัญญาณกับแบบรูปการแผ่นพလังงานของสายอากาศที่นำเสนอเป็นพบร่วมกับ สายอากาศแบบมีทิศทางนั้นสามารถช่วยเพิ่มค่าความจุของช่องสัญญาณได้มากกว่าสายอากาศรูปแบบอื่นเมื่อพิจารณาในสภาวะแวดล้อมภายนอกอาคาร

Abstract

The development of new technique in pass few years that solve problem of wireless communication system limitation such as a frequency reused and Multi-Element Array: MEA is discovered. The MEAs technique can increase channel capacity with the same bandwidth. MIMO is one of technique using more antennas for a transmitter and a receiver to increase channel capacity. The channel capacity of this technique will be linearly increased with number of antenna.

This research presents a model to study the relation between the channels capacity and antenna radiation pattern using numerical method for multiple input-multiple output (MIMO) by using numerical method. And Channel capacity is observed by a Complementary Cumulative Distribution Function (CCDF). This leads to a test of the model by measuring the signal by the instrument. The antenna type that make up the channel capacity increases. For various conditions which model the relationship between the channel capacities with the radiation pattern of the antenna was found. From our propose model show that the directional antenna can improve the MIMO capacity in outdoor scenario, when the directional antenna is in proper direction. Directional antenna can increase the capacity of the channel over the antenna pattern when the outdoor environment. Finally, this model will test with measurement tools in difference antenna configuration and environment. The model of the relationship between the channel capacity with the radiation pattern of the antenna was found that the directional antenna can be increased the channel capacity more than the isotropic and dipole antennas when consider with the outdoor environment.

สารบัญ

หน้า

บทคัดย่อ (ภาษาไทย)	ก
บทคัดย่อ (ภาษาอังกฤษ).....	ข
กิตติกรรมประกาศ.....	ค
สารบัญ	ง
สารบัญตาราง	ช
สารบัญรูป	ฉ
บทที่	
1 บทนำ.....	1
1.1 ความสำคัญและที่มาของปัจจุบัน.....	1
1.2 วัตถุประสงค์การวิจัย	2
1.3 ข้อตกลงเบื้องต้น	2
1.4 ขอบเขตของการวิจัย	3
1.5 ประโยชน์ที่คาดว่าจะได้รับ	3
1.6 ปริทัศน์วรรณกรรมและงานวิจัยที่เกี่ยวข้อง	3
1.6.1 งานวิจัยที่ศึกษาแบบจำลองช่องสัญญาณระบบมัลติเพลลิอินพุท- มัลติเพลลิเอ้าท์พุท	4
1.6.2 งานวิจัยที่เกี่ยวกับความจุของระบบมัลติเพลลิอินพุท-มัลติเพล เอ้าท์พุท	5
1.6.3 งานวิจัยที่ศึกษาเกี่ยวกับคุณสมบัติมิวชาลคัปปลิงที่มีผลกับความจุ ช่องสัญญาณระบบมัลติเพลลิอินพุท-มัลติเพลลิเอ้าท์พุท	5
2 ทฤษฎีพื้นฐาน.....	8
2.1 บทนำ.....	8
2.2 กระบวนการเชิงสุ่ม	8
2.2.1 ตัวแปรสุ่ม	8

สารบัญ (ต่อ)

หน้า

2.2.2	ค่าเฉลี่ย.....	10
2.2.3	ค่าอัตราสัมพันธ์	11
2.2.4	ค่าอัตราโดยรวม.....	11
2.2.5	สหสัมพันธ์ไขว้.....	12
2.2.6	คุณสมบัติเชอร์กอติก	12
2.3	ทฤษฎีข่าวสาร	13
2.3.1	การนิยามปริมาณข่าวสาร	14
2.3.2	การนิยามปริมาณเงินโทรศัพท์	14
2.3.3	แบบจำลองช่องสัญญาณ	15
2.3.4	ข่าวสารร่วม	17
2.3.5	ความจุช่องสัญญาณ	20
2.3.6	เงินโทรศัพท์สำหรับแหล่งกำเนิดข่าวสารแบบต่อเนื่อง	21
2.3.7	แหล่งกำเนิดข่าวสารที่มีเงินโทรศัพท์สูงสุด.....	23
2.3.8	ข่าวสารร่วมสำหรับตัวแปรสุ่มแบบต่อเนื่อง.....	25
2.3.9	ทฤษฎีความจุช่องสัญญาณ.....	26
2.4	ทฤษฎีสายอากาศเบื้องต้น	28
2.4.1	แบบรูปการແຜ່ພັດງານຂອງສາຍອາກາສ	28
2.4.2	แบบรูปສາຍອາກາສ	30
2.4.3	แบบรูปการແຜ່ຮະຈາຍຄື່ນຫລັກ.....	31
2.4.4	ພູບອາກາສແຜ່ພັດງານ	33
2.4.5	ບວງເວັບຕ່າງໆຂອງສະນາມຈາກສາຍອາກາສ	33
2.4.6	ເຮັດວຽກແລະສເຕອເຮັດວຽກ	34
2.4.7	ຄວາມກວ້າງລໍາຄົງກຳລັງ	35
2.4.8	ຄວາມໜານແນ່ນຂອງການແຜ່ກຳລັງງານຂອງຄື່ນ	35
2.4.9	ຄວາມເປັນຂອງການແຜ່ພັດງານ	37
2.4.10	ສກາພເຈະຈົງທີ່ສາຍອາກາສ	38
2.4.11	ອັດຕະບານຂອງສາຍອາກາສ	42

สารบัญ (ต่อ)

หน้า

2.4.12 ประสิทธิภาพของสายอากาศ	44
2.4.13 ประสิทธิภาพของคำกลืน.....	45
2.4.14 โผลาไรเซชัน	45
2.5 สรุป	50
3 ทฤษฎีแบบจำลองระบบมัลติเพลอินพุท-มัลติเพลเอาท์พุท	51
3.1 บทนำ.....	51
3.2 แบบจำลองระบบเบื้องต้น	51
3.3 แบบจำลองช่องสัญญาณ	53
3.3.1 แบบจำลองช่องสัญญาณแบบมีความอิสระต่อกันและมี การแยกแยะเหมือนกัน	53
3.3.2 แบบจำลองช่องสัญญาณแบบ “One-Ring”	54
3.3.3 แบบจำลองช่องสัญญาณเชิงพื้นที่	56
3.4 ความจุช่องสัญญาณ	57
3.4.1 ค่าความจุของระบบซิงเกลอินพุท-ซิงเกลเอาท์พุท.....	59
3.4.2 ค่าความจุของระบบซิงเกลอินพุท-มัลติเพลเอาท์พุทและระบบ มัลติเพลอินพุท-ซิงเกลเอาท์พุท	59
3.5 ความจุช่องสัญญาณระบบมัลติเพลอินพุท-มัลติเพลเอาท์พุท	62
3.5.1 กรณีที่ไม่ทราบข้อมูลช่องสัญญาณของภาคส่ง (เงื่อนไขกำลังงาน มีค่าเท่ากัน)	62
3.5.2 กรณีที่ทราบข้อมูลช่องสัญญาณของภาคส่ง (เงื่อนไขกำลังงาน แบบวอเตอร์ฟลั่ง).....	65
3.6 การวัดประสิทธิภาพระบบมัลติเพลอินพุท-มัลติเพลเอาท์พุท.....	66
3.7 สรุป	68
4 การพัฒนาแบบจำลองระบบมัลติเพลอินพุท-มัลติเพลเอาท์พุท	70
4.1 บทนำ.....	70

สารบัญ (ต่อ)

หน้า

4.2 การวิเคราะห์และพัฒนาแบบจำลองความจุช่องสัญญาณ.....	70
4.2.1 แบบจำลองสำหรับแบบรูปการแพ่พลังงานของสายอากาศสองมิติ	70
4.2.2 แบบจำลองสำหรับแบบรูปการแพ่พลังงานของสายอากาศสามมิติ	74
4.3 สรุป	76
5 ผลการจำลองแบบและการวัดผล	77
5.1 บทนำ.....	77
5.2 ข้อมูลแบบรูปการแพ่พลังงานสายอากาศ.....	77
5.3 ผลการจำลองแบบโดยพิจารณาแบบรูปการแพ่พลังงานของสายอากาศ	85
5.3.1 ผลการจำลองแบบสำหรับแบบจำลองแบบสองมิติ.....	85
5.3.2 ผลการจำลองแบบสำหรับแบบจำลองแบบสามมิติ.....	91
5.4 การวัดผลแบบจำลอง.....	100
5.4.1 การวัดผลแบบจำลองในสภาพภูมิภาค	100
5.4.2 ผลการวัดค่าความจุช่องสัญญาณในสภาพภูมิภาค	102
5.5 สรุป	104
6 บทสรุปและข้อเสนอแนะ	105
6.1 สรุปผลการวิจัย.....	105
6.2 ข้อเสนอแนะและแนวทางการพัฒนา	106
รายการอ้างอิง	107
ภาคผนวก	
ภาคผนวก ก. บทความทางวิชาการที่ได้รับการตีพิมพ์เผยแพร่ในระหว่างศึกษา	109
ประวัติผู้เขียน	116

สารบัญตาราง

ตารางที่	หน้า
----------	------

5.1 ค่าความจุช่องสัญญาณ $C_{out,0.1}$ ที่ได้จากการจำลองแบบ สำหรับการแจกแจงแบบ เอกรูปและการแจกแจงแบบลากพาเซียน เมื่อใช้สายอากาศนิดต่าง ๆ99	
5.2 ค่าอัตราขยายและความสูญเสียของระบบที่ใช้ในการวัด102	
5.3 ค่าความจุของช่องสัญญาณของสายอากาศ Dipole และ Yagi-Uda ทั้งในสภาพแวดล้อมภายในและภายนอกอาคาร เมื่อเปรียบเทียบกับ สายอากาศแบบ Isotropic104	

สารบัญรูป

รูปที่	หน้า
2.1 แบบจำลองช่องสัญญาณแบบไม่มีความจำ	16
2.2 แผนภาพเวนน์แสดงค่าต่าง ๆ ของข่าวสารในระบบการสื่อสาร	20
2.3 ระบบพิกัดที่ใช้แสดงคุณสมบัติของการแผ่พลังงานของคลื่น	30
2.4 แบบรูปของสายอากาศแบบรอบทิศทางในระนาบเดียว.....	31
2.5 แบบรูปการแผ่กระจายคลื่นหลัก ระนาบ E และ H ของสายอากาศปักแตะ	32
2.6 แบบรูปการแผ่กระจายคลื่นของสายอากาศ.....	33
2.7 การแบ่งบริเวณของสนามจากสายอากาศ	34
2.8 แสดงคำจำกัดความของเรเดียน และ สเตอเรเดียน	35
2.9 หมุดันของคลื่นซึ่งแบบรูปของการแผ่พลังงานของคลื่นที่ไม่สมมาตรและสมมาตร.....	41
2.10 ข้ออ้างอิง และการสูญเสียของสายอากาศ.....	43
2.11 ลักษณะของโพลาไรเซชัน	46
2.12 เวคเตอร์หนึ่งหน่วยสำหรับโพลาไรเซชันของคลื่นและของสายอากาศ	50
3.1 แบบจำลองระบบมัลติเพลินพุท-มัลติเพลเอ้าท์พุท	54
3.2 แบบจำลองช่องสัญญาณแบบ “One-Ring”	56
3.3 แบบจำลองช่องสัญญาณเชิงพื้นที่สำหรับระบบ MIMO ขนาด 2×2	57
3.4 แบบจำลองช่องสัญญาณระบบซิงเกิลอินพุท-ซิงเกิลเอ้าท์พุท	60
3.5 แบบจำลองช่องสัญญาณระบบซิงเกิลอินพุท-มัลติเพลเอ้าท์พุท	61
3.6 แบบจำลองช่องสัญญาณระบบมัลติเพลินพุท-ซิงเกิลเอ้าท์พุท	61
3.7 เปรียบเทียบค่าสัดส่วนสัญญาณต่อสัญญาณรบกวนกับค่าความจุช่องสัญญาณของระบบ SISO SIMO และ MISO	62
3.8 ช่องสัญญาณแบบ ไอกেน	65
3.9 ช่องสัญญาณแบบวอเตอร์ฟลัติ	67
3.10 ค่า CDF ของความจุช่องสัญญาณ 2×2 MIMO แบบ i.i.d. ที่ $\text{SNR} = 10 \text{ dB}$	68
3.11 ค่า CCDF ของความจุช่องสัญญาณ 2×2 MIMO แบบ i.i.d. ที่ $\text{SNR} = 10 \text{ dB}$	69
4.1 ค่ามุนและระนาบในลักษณะสามมิติ	73
4.2 อัตราขยายสัญญาณและอัตราขยายสายอากาศที่พิจารณาในระนาบแนวอน	74

สารบัญรูป (ต่อ)

รูปที่	หน้า
4.3 อัตราขยายสัญญาณและอัตราขยายสายอากาศที่พิจารณาในระบบสามมิติ	76
5.1 โครงสร้างสายอากาศได้โพลจากโปรแกรม SuperNEC.....	79
5.2 โครงสร้างสายอากาศยกอุժห้องค์ประกอบจากโปรแกรม SuperNEC	79
5.3 แบบรูปการแผ่พลังงานของสายอากาศแบบได้โพล	80
5.4 แบบรูปการแผ่พลังงานของสายอากาศแบบยกอุժห้องค์ประกอบ	80
5.5 แบบรูปการแผ่พลังงานสองมิติของสายอากาศแบบได้โพล	81
5.6 แบบรูปการแผ่พลังงานสามมิติของสายอากาศแบบได้โพล	82
5.7 แบบรูปการแผ่พลังงานสองมิติของสายอากาศแบบยกอุժห้องค์ประกอบ	82
5.8 แบบรูปการแผ่พลังงานสามมิติของสายอากาศแบบยกอุժห้องค์ประกอบ	83
5.9 ข้อมูลแบบรูปการแผ่พลังงานของสายอากาศ.....	83
5.10 แบบรูปการแผ่พลังงานสองมิติแบบอร์มอลไลซ์สำหรับสายอากาศแบบได้โพล และยกอุժห้องค์ประกอบ	85
5.11 แบบรูปการแผ่พลังงานสามมิติแบบอร์มอลไลซ์สำหรับสายอากาศได้โพล	85
5.12 แบบรูปการแผ่พลังงานสามมิติแบบอร์มอลไลซ์สำหรับสายอากาศยกอุժ ห้องค์ประกอบ	86
5.13 การกระจายของสัญญาณที่มีการแจกแจงแบบเอกรูป	87
5.14 การกระจายทิศทางของของสัญญาณที่สายอากาศภาครับที่มีการแจกแจงแบบเอกรูป	87
5.15 การกระจายของสัญญาณที่มีการแจกแจงแบบลาพลาเซียน	88
5.16 การกระจายทิศทางของของสัญญาณที่สายอากาศภาครับที่มีการแจกแจงแบบ ลาพลาเซียน	88
5.17 ขั้นตอนการจำลองแบบสำหรับแบบรูปการแผ่พลังงานในระบบสองมิติ	89
5.18 ความชุ่งสัญญาณ CCDF สำหรับการแจกแจงแบบเอกรูปที่มุม $\theta = 90, \phi = 0$	90
5.19 ความชุ่งสัญญาณ CCDF สำหรับการแจกแจงแบบลาพลาเซียนที่มุม $\theta = 90, \phi = 0$	91
5.20 ความชุ่งสัญญาณ CCDF สำหรับการแจกแจงแบบลาพลาเซียนที่มุม $\theta = 90, \phi = 60$	91
5.21 ทิศทางของสัญญาณที่เข้ามาที่สายอากาศในระบบแนวอน	93
5.22 ทิศทางของสัญญาณที่เข้ามาที่สายอากาศในระบบแนวตั้ง	93

สารบัญรูป (ต่อ)

รูปที่	หน้า
5.23 การกระจายของสัญญาณที่ด้านรับแบบสามมิติที่มีการแยกแจงแบบเอกรูป	94
5.24 การกระจายของสัญญาณที่ด้านรับแบบสามมิติที่มีการแยกแจงแบบลาพลาเซียน.....	94
5.25 ขั้นตอนการจำลองแบบสำหรับแบบรูปการแผ่พลังงานในระบบสามมิติ	95
5.26 ความจุช่องสัญญาณ $C_{out,0.1}$ ของสายอากาศแบบไอโซทรอปิกในทิศทางต่าง ๆ สำหรับการแยกแจงแบบเอกรูป	96
5.27 ความจุช่องสัญญาณ $C_{out,0.1}$ ของสายอากาศแบบไอโซทรอปิกในทิศทางต่าง ๆ สำหรับการแยกแจงแบบลาพลาเซียน	97
5.28 ความจุช่องสัญญาณ $C_{out,0.1}$ ของสายอากาศแบบไดโพลในทิศทางต่าง ๆ สำหรับการแยกแจงแบบเอกรูป	98
5.29 ค่าความจุช่องสัญญาณ $C_{out,0.1}$ ของสายอากาศแบบไดโพลในทิศทางต่าง ๆ สำหรับการแยกแจงแบบลาพลาเซียน	98
5.30 ค่าความจุช่องสัญญาณ $C_{out,0.1}$ ของสายอากาศแบบยกอูด้าห้องค์ประกอบ ในทิศทางต่าง ๆ สำหรับการแยกแจงแบบเอกรูป	99
5.31 ค่าความจุช่องสัญญาณ $C_{out,0.1}$ ของสายอากาศแบบยกอูด้าห้องค์ประกอบ ในทิศทางต่าง ๆ สำหรับการแยกแจงแบบลาพลาเซียน	99
5.32 แผนภาพแสดงการเชื่อมต่อระบบที่ใช้ในการวัดค่าสัญญาณ	102
5.33 ชุดอุปกรณ์วัดค่าช่องสัญญาณ	102
5.34 ความจุช่องสัญญาณ $C_{out,0.1}$ ในสภาวะแวดล้อมภายในอาคารเปรียบเทียบระหว่าง สายอากาศแบบต่างๆ	104
5.35 ความจุช่องสัญญาณ $C_{out,0.1}$ ในสภาวะแวดล้อมภายนอกอาคารเปรียบเทียบระหว่าง สายอากาศแบบต่างๆ	104

บทที่ 1

บทนำ

1.1 ความสำคัญของปัจจุบัน

ระบบการสื่อสาร ไร้สาย ได้มีการพัฒนาความก้าวหน้าอย่างต่อเนื่อง โดยเริ่มจากระบบ การสื่อสารในยุคแรก (first generation) ซึ่งนิยมใช้ระบบการร่วมใช้ช่องสัญญาณแบบแบ่งความถี่ (Frequency Division Multiple Access : FDMA) ต่อมาเป็นยุคของการสื่อสารรุ่นที่สอง (second generation) ซึ่งเป็นระบบการสื่อสารในปัจจุบัน มีการใช้เทคนิคในการทำงานเดียวกัน คือ ระบบการร่วมใช้ช่องสัญญาณแบบแบ่งเวลา (Time Division Multiple Access : TDMA) และ ระบบการร่วมใช้ช่องสัญญาณแบบแบ่งรหัส (Code Division Multiple Access : CDMA) โดยเทคนิค CDMA นี้ได้นำเอาไปใช้ในระบบการสื่อสารรุ่นที่สาม (third generation) อีกด้วย (Rappaport, 2002) ระบบการร่วมใช้ช่องสัญญาณทั้งสามแบบจะทำให้ผู้ใช้งานสามารถใช้งานได้ โดยอาศัยความ กว้างແ幱ความถี่ (bandwidth) ร่วมกัน ซึ่งเป็นทรัพยากรที่มีอยู่จำกัด และมีความสำคัญอย่าง มากสำหรับเทคโนโลยีการสื่อสารแบบไร้สาย ในปัจจุบันนักออกแบบด้านการสื่อสารแบบไร้สาย ได้พบความจริงที่ว่า ແ幱ความถี่สำหรับคลื่นวิทยุ และความชันของสภาพแวดล้อมในการ แพร่กระจายคลื่น (propagation) สามารถเพิ่มความสามารถในการส่งข้อมูลที่มีคุณภาพสูง และมี อัตราการรับส่งที่มากขึ้นได้ แต่ในอดีตนักออกแบบได้อาศัยเพียงเทคนิคด้านความถี่ เวลา และการ เข้ารหัสเท่านั้น ดังนั้นสิ่งที่สามารถพัฒนาเพิ่มขึ้น และต้องพิจารณาในมิติดัดไปได้ คือ พื้นที่ว่างในการ วางแผนอากาศ โดยการใช้งานสายอากาศแบบหลายองค์ประกอบ (multi-element antenna) โดย ระบบมัลติเพล็อกอินพุท-มัลติเพล็อกเอาท์พุท (Multiple-Input Multiple-Output Systems) เป็นเทคนิค หนึ่งที่สามารถเพิ่มความจุช่องสัญญาณได้ โดยการใช้สายอากาศหลายๆ ตัว ทั้งในด้านส่งและ ด้านรับสัญญาณ ซึ่งผลที่ได้จากการใช้สายอากาศหลายๆ ตัว จะทำให้ความจุช่องสัญญาณ มีการ เพิ่มขึ้นแบบเชิงเส้นตามจำนวนสายอากาศที่เพิ่มขึ้น และอาศัยคุณสมบัติการเฟดของคลื่นแบบหลาย วิถี (multi-path fading) เป็นส่วนสำคัญ

ระบบการสื่อสาร ไร้สายที่เป็นระบบมัลติเพล็อกอินพุท-มัลติเพล็อกเอาท์พุท (Multiple-Input Multiple-Output : MIMO) เริ่มมีการศึกษาวิจัยกันอย่างมากในระยะเวลาไม่นานมานี้ เนื่องจากเป็น เทคนิคที่สามารถปรับปรุงประสิทธิภาพของระบบการสื่อสารแบบไร้สายได้ โดยการใช้งาน สายอากาศแบบหลายองค์ประกอบทั้งในด้านส่งและด้านรับ ซึ่งในปัจจุบันถูกนำไปเสนอใช้เป็น มาตรฐานสำหรับการเชื่อมต่อเครือข่ายไร้สายความเร็วสูง ตามมาตรฐาน IEEE 802.11n ความจุของ ระบบมัลติเพล็อกอินพุท-มัลติเพล็อกเอาท์พุท ได้เป็นหัวข้อหลักของงานวิจัยในช่วงทศวรรษที่ผ่านมา

โดยได้แสดงให้เห็นว่า สำหรับช่องสัญญาณ (channel) ระบบมัลติเพลอินพุท-มัลติเพลเอาท์พุทแบบ มีความอิสระต่อกันและมีการแจกแจงเหมือนกัน (independent and identically distributed : i.i.d.) จะทำให้ความจุช่องสัญญาณเพิ่มขึ้นอย่างเป็นเชิงเส้น ตามค่าที่น้อยที่สุดของจำนวนสายอากาศ ด้านรับและด้านส่ง ซึ่งผลที่ได้นี้ อธิบายได้ว่าระบบมัลติเพลอินพุท-มัลติเพลเอาท์พุท สามารถใช้ประโยชน์จากพื้นที่ว่างในการวางสายอากาศมาช่วยเพิ่มความจุช่องสัญญาณได้ โดยทั่วไปแล้ว งานวิจัยที่ผ่านมา เน้นศึกษาบนพื้นฐานการใช้สายอากาศแบบไอโซทรอปิก (isotropic antenna) และ ให้การกระจายของสัญญาณที่มาถึงสายอากาศมีการแจกแจงแบบเอกรูป (uniform distribution) คือ มีการเข้าถึงสายอากาศในทุกทิศทาง ทำให้การใช้สายอากาศแบบไอโซทรอปิกมีความเหมาะสม สำหรับการใช้งานภายในอาคาร (indoor) สำหรับงานวิจัยนี้จะวิเคราะห์ระบบมัลติเพลอินพุท-มัลติเพลเอาท์พุท เพื่อนำมาใช้งานในสภาพภายนอกอาคาร (outdoor) โดยใช้สายอากาศ แบบ มีทิศทาง (directional antenna) ซึ่งเน้นศึกษาความสัมพันธ์ระหว่างแบบรูปการแผ่พลังงานของสายอากาศ (antenna radiation pattern) กับความจุช่องสัญญาณ (channel capacity) สำหรับระบบมัลติเพลอินพุท-มัลติเพลเอาท์พุท โดยการจำลองแบบด้วยโปรแกรมคอมพิวเตอร์ เพื่อวิเคราะห์ผลจากลักษณะของแบบรูปการแผ่พลังงานของสายอากาศ และความเป็นไปได้ของสายอากาศนิดต่าง ๆ ที่ให้ค่าความจุช่องสัญญาณที่เหมาะสมในสภาพแวดล้อมต่าง ๆ

1.2 วัตถุประสงค์การวิจัย

- เพื่อศึกษาแบบจำลองความจุช่องสัญญาณ ระบบมัลติเพลอินพุท-มัลติเพลเอาท์พุท ในสภาพแวดล้อม การเฟดของคลื่นแบบหลายวิถี (multipath fading) เพื่อใช้อธิบายคุณลักษณะต่าง ๆ ของช่องสัญญาณ และเพื่อเป็นแบบจำลองอ้างอิง
- เพื่อศึกษาพัฒนาแบบจำลองสำหรับระบบมัลติเพลอินพุท-มัลติเพลเอาท์พุท โดยพิจารณา ความสัมพันธ์ระหว่างค่าความจุช่องสัญญาณกับแบบรูปการแผ่พลังงานของสายอากาศ
- เพื่อที่จะได้แบบจำลองสำหรับระบบมัลติเพลอินพุท-มัลติเพลเอาท์พุท ที่อธิบาย คุณลักษณะและความสัมพันธ์ระหว่างกับความจุช่องสัญญาณกับแบบรูปการแผ่พลังงานของสายอากาศ

1.3 ข้อตกลงเบื้องต้น

- ใช้แบบจำลองความสัมพันธ์ระหว่างความจุช่องสัญญาณกับแบบรูปการแผ่พลังงานของสายอากาศ สำหรับระบบมัลติเพลอินพุท-มัลติเพลเอาท์พุท ในสภาพแวดล้อมการเฟดของคลื่นแบบหลายวิถี โดยอาศัยกระบวนการเชิงสุ่ม (stochastic process)

- ทำการจำลองผลแบบจำลองด้วยวิธีการมอนติคาโร (Monte Carlo) ด้วยโปรแกรมคอมพิวเตอร์ เพื่อใช้อธิบายความสัมพันธ์ระหว่างความจุช่องสัญญาณกับแบบรูปการแผ่นลังงานของสายอากาศ

1.4 ขอบเขตของการวิจัย

- ศึกษาและออกแบบ แบบจำลองความสัมพันธ์ระหว่างความจุช่องสัญญาณกับแบบรูปการแผ่นลังงานของสายอากาศ สำหรับระบบมัลติเพลินพุท-มัลติเพลเอ้าท์พุท

- วิเคราะห์ผลแบบจำลอง ความสัมพันธ์ระหว่างความจุช่องสัญญาณกับแบบรูปการแผ่นลังงานของสายอากาศ สำหรับระบบมัลติเพลินพุท-มัลติเพลเอ้าท์พุท โดยการจำลองแบบด้วยโปรแกรมคอมพิวเตอร์

1.5 ประโยชน์ที่คาดว่าจะได้รับ

- ได้แบบจำลองความสัมพันธ์ระหว่างความจุช่องสัญญาณกับแบบรูปการแผ่นลังงานของสายอากาศ สำหรับระบบมัลติเพลินพุท-มัลติเพลเอ้าท์พุท

- ใช้พัฒนาต้นแบบระบบมัลติเพลินพุท-มัลติเพลเอ้าท์พุท โดยการเลือกใช้สายอากาศแบบต่าง ๆ เพื่อเพิ่มความจุช่องสัญญาณ ในแต่ละสภาพแวดล้อม

1.6 ปริทัศน์วรรณกรรม

ทั้งนี้เพื่อให้ทราบถึงแนวทางการวิจัยที่เกี่ยวข้อง ผลการดำเนินการวิจัย ตลอดจนข้อคิดเห็น และข้อเสนอแนะต่าง ๆ เพื่อที่จะนำไปสู่วัตถุประสงค์หลักที่ได้ตั้งไว้ จึงได้ศึกษาผลงานวิจัยที่ผ่านมาโดยอาศัยฐานข้อมูลต่าง ๆ โดยฐานข้อมูลที่ใช้ในการสืบค้นงานวิจัยนั้นเป็นฐานข้อมูลที่มีชื่อเสียง และได้รับการยอมรับกันอย่างกว้างขวาง เช่น ฐานข้อมูล IEEE และฐานข้อมูล IEICE นอกจากนี้ยังได้ทำการสืบค้นงานวิจัยจากแหล่งอื่น ๆ เช่น จากเครือข่ายอินเตอร์เน็ต จากห้องสมุดของมหาวิทยาลัยต่าง ๆ ผลการสืบค้นที่ได้จะใช้เป็นแนวทางในการดำเนินการวิจัยต่อไป สำหรับเนื้อหาในส่วนนี้จะกล่าวถึง ปริทัศน์วรรณกรรมและงานวิจัยที่เกี่ยวข้อง ซึ่งในงานวิจัยระบบมัลติเพลินพุท-มัลติเพลเอ้าท์พุทที่ผ่านมา สามารถแบ่งออกได้เป็นกลุ่มต่าง ๆ ดังนี้

- 1) งานวิจัยที่ศึกษาแบบจำลองช่องสัญญาณระบบมัลติเพลินพุท-มัลติเพลเอ้าท์พุท
 - 2) งานวิจัยที่เกี่ยวกับความจุของระบบระบบมัลติเพลินพุท-มัลติเพลเอ้าท์พุท
 - 3) งานวิจัยที่ศึกษาเกี่ยวกับคุณสมบัติมิวชาลกปัปปิง (mutual coupling) ที่มีผลกับความจุช่องสัญญาณระบบมัลติเพลินพุท-มัลติเพลเอ้าท์พุท
- ซึ่งข้อมูลในรายละเอียดงานวิจัยของแต่ละกลุ่มจะได้อธิบายต่อไปดังนี้

1.6.1 งานวิจัยที่ศึกษาแบบจำลองช่องสัญญาณระบบมัลติเพลอินพุท-มัลติเพลอาท์พุท

งานวิจัยเกี่ยวกับแบบจำลองช่องสัญญาณ ถือเป็นพื้นฐานของการศึกษาวิจัยสำหรับการสื่อสารแบบไร้สาย เนื่องจากความซับซ้อนของการวนการกระจายคลื่น ซึ่งถือเป็นสิ่งสำคัญในการค้นหาค่าความจุช่องสัญญาณระบบมัลติเพลอินพุท-มัลติเพลอาท์พุท

สำหรับแบบจำลอง ช่องสัญญาณแบบมีความอิสระต่อ กันและมีการแจกแจงเหมือนกัน ได้ถูกนำมาใช้ในการศึกษาวิจัยในขอบเขตของ ระบบมัลติเพลอินพุท-มัลติเพลอาท์พุท ในลักษณะที่เป็นช่องสัญญาณแบบเชิงสุ่ม (stochastic channel) ดังนั้นช่องสัญญาณแบบมีความอิสระต่อ กันและมีการแจกแจงเหมือนกัน จึงมีความเรียบง่าย และเหมาะสมในการศึกษาแบบจำลองช่องสัญญาณโดยทั่วไป

ในงานวิจัยที่ผ่านมา ได้มีการนำเสนอแบบจำลองช่องสัญญาณระบบมัลติเพลอินพุท-มัลติเพลอาท์พุทที่แตกต่างกันมาก many โดยที่แบบจำลองช่องสัญญาณระบบมัลติเพลอินพุท-มัลติเพลอาท์พุท สามารถจัดแบ่งออกได้หลายรูปแบบ เช่น สามารถแบ่งได้เป็นแบบจำลองสำหรับแบบความถี่กว้าง (wideband) และแบบความถี่แคบ (narrowband) ในกรณีที่เราพิจารณาโดยใช้ความกว้างแบบความถี่ของระบบเป็นเกณฑ์ ซึ่งในแบบจำลองช่องสัญญาณแบบความถี่กว้าง ช่องสัญญาณจะสมมุติให้มีผลตอบสนองที่แตกต่างกันในแต่ละความถี่ นั่นคือ ช่องสัญญาณจะเป็นในลักษณะที่เรียกว่า ช่องสัญญาณการเฟด โดยการเลือกความถี่ (frequency selective fading channel) และสำหรับช่องสัญญาณแบบความถี่แคบ จะสมมุติให้มีผลตอบสนองที่เท่ากันตลอดย่านความถี่ที่พิจารณา หรือ โดยการพิจารณาคุณลักษณะของค่าตัวแปรต่าง ๆ ของช่องสัญญาณแบบจำลองช่องสัญญาณระบบมัลติเพลอินพุท-มัลติเพลอาท์พุทสามารถแบ่งออกได้เป็นแบบจำลองเชิงฟิสิกส์ และแบบจำลองที่ไม่เป็นเชิงฟิสิกส์ โดยแบบจำลองที่ไม่ใช่เชิงฟิสิกส์ จะเป็นแบบจำลองที่พิจารณาค่าตัวแปรที่ได้จากคุณลักษณะของช่องสัญญาณในเชิงสถิติ อย่างไรก็ตามแบบจำลองเชิงฟิสิกส์ จะมีการพิจารณาถึงค่าตัวแปรเชิงฟิสิกส์ต่าง ๆ เช่น มุมของสัญญาณที่เข้ามา (Angle of Arrival : AoA) มุมของสัญญาณที่ส่งออก (Angle of Departure : AoD) และ เวลาที่สัญญาณมาถึง (Time of Arrival : ToA) เป็นต้น ซึ่งตัวอย่างของแบบจำลองเชิงฟิสิกส์ในย่านแบบความถี่แคบ ได้แก่ แบบจำลองช่องสัญญาณ “One-Ring” (Petrucci, Reed and Rappaport, 1996) และแบบจำลองช่องสัญญาณเชิงพื้นที่ (Spatial Channel Model : SCM) สำหรับแบบจำลองช่องสัญญาณ “One-Ring” ได้ถูกนำมาใช้ในงานวิจัยหลาย ๆ ชิ้น โดยเมื่อเปรียบเทียบกับช่องสัญญาณแบบมีความอิสระต่อ กันและมีการแจกแจงเหมือนกัน แบบจำลองช่องสัญญาณ “One-Ring” จะพิจารณาระยะห่างระหว่างองค์ประกอบของสายอากาศด้วย ซึ่งทำให้สามารถนำมาใช้ในการศึกษาผลกระทบจากการมีวิชาลดีปปิลิง และผลกระทบจากความสัมพันธ์ในลักษณะสหสัมพันธ์ (correlation effect)

แบบจำลองช่องสัญญาณเชิงพื้นที่ ถือเป็นตัวอย่างหนึ่ง ที่มีความสมจริงมากใน การศึกษาแบบจำลองช่องสัญญาณ ซึ่งได้ถูกกำหนดเป็นมาตรฐานที่ได้พัฒนาโดยกลุ่ม 3GPP-3GPP2 และ ad-hoc group (AHG) ซึ่งเป็นส่วนหนึ่งของมาตรฐานสำหรับระบบเครือข่ายเซลลูลาร์ รุ่นที่ 3 (3rd Generation Partnership Project (3GPP), 2007) โดยแบบจำลองนี้ ยอนให้มีการจำลอง ระบบในระดับต่าง ๆ รวมทั้งมีรูปแบบการกระจายคลื่นถึงสามลักษณะที่ใช้ในการตรวจสอบ ประกอบด้วย การกระจายคลื่นแบบ suburban macro-cell urban macro-cell และ urban micro-cell

1.6.2 งานวิจัยที่เกี่ยวกับความจุของระบบมัลติเพลอินพุท-มัลติเพลอาท์พุท

ความจุของระบบมัลติเพลอินพุท-มัลติเพลอาท์พุท ได้เป็นหัวข้อหลักของงานวิจัย ในช่วงทศวรรษที่ผ่านมา (Foschini, 1996; Foschini and Gans, 1998; Gesbert, Shafi, Shiu, Smith and Naguib, 2003; Jensen and Wallace, 2004; Telatar, 1995) โดยงานวิจัยของ Foschini (1996) และ Telatar (1995) ได้แสดงให้เห็นว่า สำหรับช่องสัญญาณระบบมัลติเพลอินพุท-มัลติเพลอาท์พุท ที่เป็นแบบมีความอิสระต่อกันและมีการแยกแจงเหมือนกัน ความจุช่องสัญญาณจะเพิ่มขึ้นอย่างเป็น เชิงเส้นตามค่าที่น้อยที่สุดของจำนวนสายอากาศด้านรับและด้านส่ง ซึ่งผลที่ได้นี้ อธิบายได้ว่า ระบบมัลติเพลอินพุท-มัลติเพลอาท์พุท สามารถใช้ประโยชน์จากพื้นที่ว่างในการวางสายอากาศมา ช่วย โดยการส่งสัญญาณข้อมูลในรูปของช่องสัญญาณที่เป็นเมทริกซ์ แทนที่จะเป็นในรูปของ ช่องสัญญาณแบบเวคเตอร์ (Gesbert, Shafi, Shiu, Smith and Naguib, 2003) สำหรับรายละเอียดของ ระบบมัลติเพลอินพุท-มัลติเพลอาท์พุท ดังแสดงในงานวิจัย (Gesbert, Shafi, Shiu, Smith and Naguib, 2003; Jensen and Wallace, 2004)

สำหรับงานวิจัยของ Foschini (1996) Foschini and Gans (1998) Shiu, Foschini, Gans and Kahn (2000) Patzold and Hogstad (2004) และ Svantesson and Ranheim (2001) ได้ทำการศึกษาวิจัยภายใต้สมมุติฐานที่ว่า ภาครับเป็นช่องสัญญาณที่มีข่าวสารสมบูรณ์ (perfect channel information) ดังนั้น จึงมีกำลังงานในรูปแบบที่เท่ากัน เพื่อใช้ในการคำนวณหาค่าความจุ ช่องสัญญาณ และในงานวิจัย Telatar (1995) และ Khalighi, Brossier, Jourdain and Raoof (2001) ได้แสดงให้เห็นว่ารูปแบบการจัดสรรกำลังงานแบบวอเตอร์ฟิลลิ่ง (water-filling power allocation scheme) จะมีความเหมาะสมกับการประมาณค่าช่องสัญญาณทั้งในด้านรับและด้านส่ง

1.6.3 งานวิจัยที่ศึกษาเกี่ยวกับคุณสมบัติมิวมวลคัปปิลิ่งที่มีผลกับความจุช่องสัญญาณ ระบบมัลติเพลอินพุท-มัลติเพลอาท์พุท

ผลจากมิวมวลคัปปิลิ่งที่มีต่อความจุช่องสัญญาณระบบมัลติเพลอินพุท-มัลติเพล อาท์พุทจะเป็นอยู่กับระยะห่างระหว่างองค์ประกอบสายอากาศ ซึ่งปรากฏในงานวิจัย Svantesson and Ranheim (2001) จากนั้นมองของการทดสอบในการติดตั้งใช้งาน ระยะห่างของสายอากาศที่มี

จำกัด ออาทิ ในอุปกรณ์พกพาต่าง ๆ ทำให้เกิดผลของมิวชาลคัปป์ลิงเกิดขึ้น และทำให้สัญญาณที่ได้รับ มีความสัมพันธ์กันระหว่างสายอากาศภาครับแต่ละองค์ประกอบ ในการพิจารณาแบบจำลอง การมิวชาลคัปป์ลิง สำหรับระบบมัลติเพลล์อินพุท-มัลติเพลล์เอาท์พุท จะทำให้การคำนวณมีความซับซ้อนเพิ่มขึ้นด้วย ดังที่ได้กล่าวไว้ ผลกระทบมิวชาลคัปป์ลิงจะทำให้มีการเพิ่มขึ้น หรือลดลงของความจุช่องสัญญาณระบบมัลติเพลล์อินพุท-มัลติเพลล์เอาท์พุท โดยจะขึ้นอยู่กับสภาพแวดล้อมของการกระจาย (Svantesson and Ranheim, 2001; Wallace and Jensen, 2004; Wyglinski and Blostein, 2003)

ในการศึกษาวิจัยครั้งนี้ จะอาศัยแบบจำลองพื้นฐานสองแบบ คือ แบบจำลองช่องสัญญาณ “One-Ring” และแบบจำลองช่องสัญญาณเชิงพื้นที่ โดยอาศัยค่าความจุช่องสัญญาณของระบบที่มีกำลังงานที่ส่งเท่ากัน ซึ่งจะถูกนำมาใช้ในการพัฒนาและสร้างแบบจำลอง เพื่อทำการวิเคราะห์ความจุช่องสัญญาณระบบมัลติเพลล์อินพุท-มัลติเพลล์เอาท์พุท จากผลของลักษณะของแบบรูปการແผเพล้งงานของสายอากาศ โดยแบ่งเป็นสองส่วน คือการศึกษาในระดับสองมิติ และสามมิติ ซึ่งในสองมิติจะกำหนดให้การกระจายของคลื่นอยู่ในระนาบแนวอน โดยจะจัดวางสายอากาศทั้งภาครับและภาคส่งบนระนาบเดียวกัน ส่วนในระดับสามมิติ จะให้การกระจายของคลื่นมีทั้งในระนาบแนวอนและระนาบแนวตั้ง โดยให้สายอากาศภาครับและภาคส่งจัดวางอยู่ในระนาบแนวอนเดียวกัน

บทที่ 2

ทฤษฎีพื้นฐาน

2.1 บทนำ

ดังที่กล่าวไว้ในบทที่ 1 วัดถูประสงค์หลักในงานวิจัยนี้ คือ การศึกษาพัฒนาแบบจำลองความสัมพันธ์ระหว่างค่าความจุช่องสัญญาณกับแบบรูปการແเพ่พลังงานของสายอากาศ สำหรับระบบมัลติเพลอกอนพุท-มัลติเพลอาห์พุท โดยอาศัยระเบียบวิธีเชิงตัวเลข เพื่อนำไปสู่การเลือกกลยุทธ์ของแบบรูปการແเพ่พลังงาน และชนิดของสายอากาศ ที่ทำให้ค่าความจุช่องสัญญาณที่เหมาะสมในแต่ละสภาพแวดล้อม จึงจำเป็นต้องมีการศึกษาทำความเข้าใจทฤษฎีที่เกี่ยวข้องกับหลักและแบบรูปการແเพ่พลังงานของสายอากาศ ดังนั้นก่อนที่จะเข้าสู่กระบวนการพัฒนาสร้างแบบจำลอง จึงจำเป็นต้องมีความเข้าใจทฤษฎีต่าง ๆ ในเบื้องต้นก่อน ดังนั้นในบทนี้จะได้อธิบายถึง ทฤษฎีที่เกี่ยวข้องต่าง ๆ โดยลำดับต่อไป

2.2 กระบวนการเชิงสุ่ม

ในการวิจัยนี้ เราจะทำการศึกษาปรากฏการณ์ธรรมชาติ ที่เกี่ยวกับช่องสัญญาณในระบบการสื่อสารแบบไร้สาย เพื่อสร้างแบบจำลองของช่องสัญญาณสำหรับระบบมัลติเพลอกอนพุท-มัลติเพลอาห์พุท โดยที่เราจะใช้แบบจำลองเพื่ออธิบายลักษณะต่าง ๆ ของช่องสัญญาณ โดยอาศัยกระบวนการเชิงสุ่ม และเพื่อเป็นแบบจำลองอ้างอิง หรือใช้สำหรับการวิเคราะห์ ซึ่งสามารถที่จะปรับเปลี่ยนค่าต่าง ๆ เพื่อให้เหมาะสมกับสถานการณ์ต่าง ๆ ในการจำลองแบบในรูปแบบต่าง ๆ

กระบวนการเชิงสุ่ม (stochastic process) มีที่มาจากการศึกษา สำหรับคำว่า “stochastic” หมายถึง การสุ่ม (random) หรือโอกาส (chance) สำหรับในการสร้างแบบจำลอง ก็เพื่อที่จะทำนายโอกาสของผลลัพธ์ที่จะเกิดขึ้นจากสภาพแวดล้อมที่ได้กำหนดให้ สำหรับในการศึกษากระบวนการเชิงสุ่ม จำเป็นต้องทราบถึงนิยามต่าง ๆ ที่ใช้ในการกระบวนการเชิงสุ่ม โดยนิยามที่ควรทราบเกี่ยวกับกระบวนการเชิงสุ่มมีดังต่อไปนี้

2.2.1 ตัวแปรสุ่ม

ตัวแปรสุ่ม (random variable) คือ ปริมาณที่มีค่าเจาะจง โดยบอกได้ว่ามันมีค่าที่อาจเป็นไปได้ค่าใดค่าหนึ่งจากค่าจริง ๆ และสามารถบอกความถี่สัมพัทธ์ (relative frequency) ของการเกิดแต่ละค่าได้ พิจารณาการทดลองแบบสุ่มแทนด้วย s ที่ได้จากปริภูมิตัวอย่าง (sample space) แทนด้วย S ตามเหตุการณ์ที่เป็นไปได้ภายในปริภูมิตัวอย่าง S และค่าความน่าจะเป็นของเหตุการณ์นั้น ๆ

สมมติว่าผลการทดลองแต่ละค่าของ s ที่ได้จากปริภูมิตัวอย่าง เรากำหนดฟังก์ชันที่เปรียบเท่าฟังก์ชันหนึ่งตามที่เราต้องการให้กับผลการทดลองนั้น ๆ ซึ่งสามารถเขียนในรูปของ

$$X(t, s) \quad (2.1)$$

โดยที่ $-T \leq t \leq T$ และ $2T$ คือ ช่วงเวลาของการสังเกตห้องทดลอง หากเรากำหนดให้ s มีค่าตัวตัวค่าหนึ่งเท่ากับ s_j เราจะได้รูปสัญลักษณ์ของฟังก์ชันที่มีค่าเปรียบเท่าเป็น $X(t, s_j)$ และเราจะเรียกฟังก์ชันนี้ว่า ฟังก์ชันตัวอย่าง (sample function) ในทางกลับกัน หากเรากำหนดเวลา t มีค่าคงที่ค่าหนึ่งเท่ากับ t_k เราจะได้ตัวแปรสุ่ม $X(t_k, s)$ ที่ประกอบด้วย

$$\{X(t_k, s_1), X(t_k, s_2), \dots, X(t_k, s_n)\} \quad (2.2)$$

โดยทั่วไปเพื่อความสะดวกในการเขียน เราจะจัดແນ $X(t, s_j)$ ด้วย $x_j(t)$ ดังนั้นส่วนประกอบของตัวแปรสุ่มข้างต้นสามารถเขียนใหม่ได้เป็น

$$\{x_1(t), x_2(t), \dots, x_n(t)\} \quad (2.3)$$

จากที่กล่าวมาแล้วนี้ จะสังเกตเห็นว่าการเขียนฟังก์ชันในลักษณะนี้ $X(t, s)$ เปรียบเสมือนว่าเรามีชุดของตัวแปรสุ่มจำนวนหนึ่ง ที่มีตัวชี้ด้วยตัวแปรทางเวลา และเราเรียกชุดตัวแปรสุ่มเหล่านี้รวม ๆ กันว่าเป็น กระบวนการเชิงสุ่ม นอก จาก นี้ โดยทั่วไป ในการแสดงถึงกระบวนการเชิงสุ่มนั้นอาจจะตัดส่วนของ s ออกเพื่อความกระชับ คือจะใช้เพียง $X(t)$ ในการແນกระบวนการเชิงสุ่ม

เพื่อให้เห็นถึงความแตกต่างระหว่างตัวแปรสุ่มกับกระบวนการเชิงสุ่มมากขึ้น เราจะสามารถสรุปเปรียบเทียบไว้ได้ดังนี้ ตัวแปรสุ่ม คือ การเชื่อมโยงผลการทดลองแบบสุ่มแต่ละรูปแบบให้อยู่ในรูปของตัวเลขค่าหนึ่ง ส่วนกระบวนการเชิงสุ่ม คือ การเชื่อมโยงผลการทดลองแบบสุ่มแต่ละรูปแบบให้อยู่ในรูปของฟังก์ชันของสัญญาณที่มีค่าเปรียบเท่าฟ

ในการพิจารณากระบวนการเชิงสุ่มที่จะกล่าวต่อไป จะอาศัยความน่าจะเป็นร่วมของตัวแปรสุ่มที่แต่ละเวลา เป็นกลไกหลักสำหรับวิเคราะห์ และศึกษาถึงคุณลักษณะของกระบวนการเชิงสุ่ม กำหนดให้ X_1, X_2, \dots, X_k เป็นตัวแปรสุ่มที่ได้จากการซักตัวอย่าง (sampling) กระบวนการเชิงสุ่ม $X(t, s)$ ณ เวลา t_1, t_2, \dots, t_k นั้นคือ

$$\begin{aligned}
 X_1 &= X(t_1, s) \\
 X_2 &= X(t_2, s) \\
 &\vdots \\
 X_k &= X(t_k, s)
 \end{aligned} \tag{2.4}$$

เมื่อเรานิยามตัวแปรสุ่มจำนวน k ตัวจากกระบวนการเชิงสุ่มแล้ว ให้ทำการหาค่าฟังก์ชันการแจกแจงสะสมร่วมระหว่างตัวแปรทั้ง k ตัว (k^{th} -order joint cumulative distribution function)

$$F_{x_1, x_2, \dots, x_k}(x_1, x_2, \dots, x_k) = P[X_1 \leq x_1, X_2 \leq x_2, \dots, X_k \leq x_k] \tag{2.5}$$

หรือแสดงในรูปของฟังก์ชันความหนาแน่นความน่าจะเป็นร่วมระหว่างตัวแปร k ตัว (k^{th} -order joint probability density function) ได้เป็น

$$f_{x_1, x_2, \dots, x_k}(x_1, x_2, \dots, x_k) \tag{2.6}$$

ที่จะได้ก่อรากถึงต่อไป จะเป็นการอธิบายถึงคุณลักษณะของการเชิงสุ่ม และค่าทางสถิติที่สำคัญดังๆ

2.2.2 ค่าเฉลี่ย

ค่าเฉลี่ย (mean) ของกระบวนการเชิงสุ่ม $X(t)$ นิยามให้มีค่าเท่ากับค่าเฉลี่ยทางสถิติ หรือค่าคาดหมาย (expectation) ของตัวแปรสุ่มที่เกิดจากการสังเกตที่เวลา t ต่าง ๆ นั่นก็อ

$$\begin{aligned}
 m_x(t) &= E\{X(t)\} \\
 &= \int_{-\infty}^{\infty} xf_{x(t)}(x)dx
 \end{aligned} \tag{2.7}$$

โดยที่ $f_{x(t)}(x)$ คือ ฟังก์ชันความหนาแน่นความน่าจะเป็นของ $X(t)$ สังเกตว่า โดยทั่วไป ค่าเฉลี่ย $m_x(t)$ จะมีค่าขึ้นกับเวลา และเป็นเครื่องบอกให้ทราบว่าค่าเฉลี่ยของการเชิงสุ่มมีการเปลี่ยนแปลงตามเวลาอย่างไร

2.3.3 ค่าอัตโนมัติสัมพันธ์

ค่าอัตโนมัติสัมพันธ์ (autocorrelation) ของกระบวนการเชิงสุ่ม $X(t)$ แทนด้วย $R_x(t_1, t_2)$ นิยามให้มีค่าเท่ากับค่าเฉลี่ยทางสถิติของผลคูณระหว่างตัวแปรสุ่มสองตัว $X(t_1)$ และ $X(t_2)$ ที่ได้จากการสังเกตกระบวนการเชิงสุ่ม $X(t)$ ที่เวลา t_1 และ t_2 ตามลำดับ นั่นคือ

$$\begin{aligned} R_x(t_1, t_2) &= E\{X(t_1)X(t_2)\} \\ &= \int_{-\infty}^{\infty} \int_{-\infty}^{\infty} x_1 x_2 f_{x(t_1), x(t_2)}(x_1, x_2) dx_1 x_2 \end{aligned} \quad (2.8)$$

โดยที่ $f_{x(t_1), x(t_2)}(x_1, x_2)$ เป็นฟังก์ชันความหนาแน่นความน่าจะเป็นอันดับสอง (the second order probability density function) ของกระบวนการเชิงสุ่ม $X(t)$

2.2.4 ค่าออโต้ covariance

ค่าออโต้ covariance (autocovariance) ของกระบวนการเชิงสุ่ม $X(t)$ แทนด้วย $C_x(t_1, t_2)$ นิยามให้มีค่าดังนี้

$$C_x(t_1, t_2) = E\{(X(t_1) - m_x(t_1))(X(t_2) - m_x(t_2))\} \quad (2.9)$$

อาศัยความสัมพันธ์ตามสมการ (2.7) และ (2.8) จะได้ว่า

$$C_x(t_1, t_2) = R_x(t_1, t_2) - m_x(t_1)m_x(t_2) \quad (2.10)$$

นอกจากนี้เรายังสามารถหาค่าความแปรปรวน (variance) ของ $X(t)$ ได้จาก $C_x(t_1, t_2)$ ดังนี้

$$\begin{aligned} VAR[X(t)] &= E\{(X(t_1) - m_x(t_1))^2\} \\ &= C_x(t, t) \end{aligned} \quad (2.11)$$

2.2.5 สหสัมพันธ์ไขว้

ที่กล่าวมาข้างต้นเป็นการพิจารณาวิธีการหาค่าสหสัมพันธ์ (correlation) ระหว่างกระบวนการเชิงสุ่มตัวเดียวกัน ยังไม่ได้กล่าวถึงการหาสหสัมพันธ์ระหว่างกระบวนการเชิงสุ่มสอง

ตัวเลข การนิยามค่าสหสัมพันธ์ไขว้ (cross-correlation) ระหว่างกระบวนการเรซิ่งสุ่ม $X(t)$ และ $Y(t)$ เป็นดังนี้

$$R_{xy}(t, u) = E \{X(t)Y(u)\} \quad (2.12)$$

$$R_{yx}(t, u) = E \{Y(t)X(u)\} \quad (2.13)$$

โดยที่ t และ u เป็นจุดเวลาที่สังเกตกระบวนการเรซิ่งสุ่ม โดยทั่วไปในการแสดงคุณสมบัติของสหสัมพันธ์ไขว้ระหว่างตัวแปรสุ่ม $X(t)$ และ $Y(t)$ เพื่อความสะดวกนักจะเขียนในรูปของเมทริกซ์ดังนี้

$$\mathbf{R}(\tau) = \begin{bmatrix} R_x(\tau) & R_{xy}(\tau) \\ R_{yx}(\tau) & R_y(\tau) \end{bmatrix} \quad (2.14)$$

โดยที่ $\tau = t - u$ เราจะเรียกเมทริกซ์นี้ว่า เมทริกซ์สหสัมพันธ์ (correlation matrix) ของกระบวนการเรซิ่งสุ่ม $X(t)$ และ $Y(t)$

2.2.6 คุณสมบัติօอρ์กอดิก

ค่าเฉลี่ยเอนเซมเบล (ensemble average) คือการหาค่าเฉลี่ยของกระบวนการเรซิ่งสุ่ม $X(t)$ ที่เวลา t_k ค่าหนึ่ง ซึ่งเป็นการหาค่าเฉลี่ยที่คิดจากค่าที่เป็นไปได้ทั้งหมดของฟังก์ชันตัวอย่างทั้งหลายของกระบวนการเรซิ่งสุ่มที่เวลา $t = t_k$ นอกจากค่าเฉลี่ยเอนเซมเบลแล้ว เรายังสามารถนิยามค่าเฉลี่ยอีกรูปแบบหนึ่งที่เรียกว่า ค่าเฉลี่ยทางเวลา (time average) ที่คิดจากค่าที่เกิดขึ้นในแนวแกนเวลา ประเด็นที่น่าสนใจ คือเนื่องจากค่าทางเวลาเป็นค่าที่สามารถหาได้จริงในทางปฏิบัติ เพราะสามารถวัดได้โดยตรงจากสัญญาณที่พิจารณา ดังนั้น จึงมีคำถามว่า ค่าเฉลี่ยทั้งสองแบบมีความสัมพันธ์กันอย่างไร

ก่อนอื่นจะต้องอธิบายถึงการหาค่าเฉลี่ยเอนเซมเบล ค่าเฉลี่ยยกกำลังสอง และอัตสหสัมพันธ์ ที่กระทำโดยการคำนวณค่าในทางเวลาแทน ซึ่งนิยามดังนี้

$$\langle X(t) \rangle = \lim_{T \rightarrow \infty} \frac{1}{2T} \int_{-T}^T X(t) dt \quad (2.15)$$

$$\langle X^2(t) \rangle = \lim_{T \rightarrow \infty} \frac{1}{2T} \int_{-T}^T X^2(t) dt \quad (2.16)$$

$$\langle X(t)X(t - \tau) \rangle = \lim_{T \rightarrow \infty} \frac{1}{2T} \int_{-T}^T X(t)X(t - \tau) dt \quad (2.17)$$

สำหรับกระบวนการเชิงสุ่มใดที่จัดว่ามีคุณสมบัติอerroร์กอดิก (ergodicity) เนื่องไป
ต่อไปนี้จะเป็นจริง

$$E\{X(t)\} = \langle X(t) \rangle \quad (2.18)$$

$$E\{X^2(t)\} = \langle X^2(t) \rangle \quad (2.19)$$

$$E\{X(t)X(t - \tau)\} = \langle X(t)X(t - \tau) \rangle \quad (2.20)$$

นอกจากนี้ค่าเฉลี่ยรูปแบบอื่น ๆ ที่เป็นไปได้ทั้งหมดของกระบวนการเชิงสุ่ม $X(t)$
จะต้องเป็นจริงด้วย กระบวนการเชิงสุ่มดังกล่าวจึงจะจัดว่ามีคุณสมบัติอerroร์กอดิก

2.3 ทฤษฎีข่าวสาร

ทฤษฎีข่าวสารนั้นมีความเกี่ยวข้องกับระบบการสื่อสารแบบไร้สาย เพื่อให้มีความเข้าใจถึง
ที่มา ที่เกี่ยวข้องกับค่าความจุช่องสัญญาณ ที่จะได้ทำการศึกษาต่อไป จึงจำเป็นต้องทราบถึงพื้นฐาน
ทฤษฎีการสื่อสารไร้สายต่าง ๆ ที่เกี่ยวข้องกับช่องสัญญาณ อาทิ วิธีการวัดค่าข่าวสาร การหาค่าเฉลี่ย
ข่าวสาร และการหาความจุช่องสัญญาณสำหรับระบบการสื่อสารข้อมูล ซึ่งเป็นการศึกษาว่า แท้จริง
แล้วเราจะสามารถสื่อสารข้อมูลที่ให้ประสิทธิภาพสูงสุดได้อย่างไร

2.3.1 การนิยามปริมาณข่าวสาร

พิจารณาแหล่งกำเนิดข้อมูลแห่งหนึ่งมีการส่งข้อมูลออกคราวละหนึ่งชุด โดยข้อมูลแต่ละชุดที่ส่งออกมามีรูปแบบได้จำกัดเพียง M ซึ่งอยู่ภายใต้เขตของปริภูมิตัวอย่าง $\{x_1, x_2, \dots, x_M\}$ โดยความน่าจะเป็นในการเลือกส่งข้อมูลของแต่ละชุดมีค่าเป็น

$$P(X = x_k) = p_k \quad (2.21)$$

โดยที่ $k = 1, 2, \dots, M$ และเมื่อนำความน่าจะเป็นในการส่งข้อมูลรวมกันจะมีค่าเท่ากับ 1 เสมอ

$$\sum_{k=1}^M p_k = 1 \quad (2.22)$$

การนิยามปริมาณข่าวสาร โดยอาศัยแนวคิดของทฤษฎีความน่าจะเป็นมีความเหมาะสมและสอดคล้องกับสภาพความเป็นจริง และมีผู้ที่นิยามปริมาณข่าวสารตามเลขฐานสองไว้ (Cover and Thomas, 1991) โดยมีความสัมพันธ์ดังนี้

$$I(x_k) = \log_2 \left(\frac{1}{p_k} \right) \quad (2.23)$$

จากนิยามข้างต้น แสดงให้เห็นว่าปริมาณข่าวสารของเหตุการณ์หนึ่ง ได้นิยามให้เป็นส่วนกลับของค่าความน่าจะเป็นของการเกิดเหตุการณ์นั้น นั่นคือ เหตุการณ์ใดมีโอกาสเกิดขึ้นมากก็จะมีปริมาณข่าวสารที่น้อย และเหตุการณ์ใดมีโอกาสเกิดขึ้นน้อยก็จะมีปริมาณข่าวสารที่มาก ซึ่งผลจากการนิยามตามสมการ (2.23) พบว่าปริมาณข่าวสารมีคุณสมบัติที่น่าสนใจดังนี้

- 1) $I(x_k) = 0$ สำหรับ $p_k = 1$
- 2) $I(x_k) \geq 0$ สำหรับ $0 \leq p_k \leq 1$
- 3) $I(x_k) > I(x_j)$ สำหรับ $p_k < p_j$
- 4) $I(x_k x_i) = I(x_k) + I(x_i)$ ถ้า สำหรับ x_k และ x_j เป็นอิสระต่อกันในเชิงสถิติ

2.3.2 การนิยามปริมาณໂගຣີ

แม้ว่าการวัดปริมาณข่าวสารของเหตุการณ์แต่ละเหตุการณ์ตามนิยามสมการ (2.23) นับว่าเป็นประโยชน์นั้น แต่เวลาดำเนินไปประยุกต์ใช้งาน เรา might สนใจ และต้องการทราบถึงปริมาณ

ข่าวสารที่ได้จากแหล่งกำเนิดข้อมูลเฉลี่ยโดยรวมมากกว่า แทนที่จะสนใจปริมาณข่าวสารของเหตุการณ์แต่ละเหตุการณ์แยกกัน ปริมาณข่าวสาร โดยเฉลี่ยของแหล่งกำเนิดข้อมูลที่กล่าวนี้ มีชื่อเฉพาะเรียกว่า เอนโทรปี (entropy) และค่านี้สามารถหาได้จากการหาค่าเฉลี่ยเชิงสถิติของข่าวสารของแต่ละเหตุการณ์ หรือ ค่าคาดหมายของเหตุการณ์ดังนี้

$$\begin{aligned}
 H(X) &= E\{I(x_k)\} \\
 &= \sum_{k=1}^M p_k I(x_k) \\
 &= \sum_{k=1}^M p_k \log_2 \left(\frac{1}{p_k} \right)
 \end{aligned} \tag{2.24}$$

โดยที่ $E\{.\}$ แทนค่าเฉลี่ยเชิงสถิติ หรือค่าคาดหมาย

จากนิยามเอนโทรปีตามสมการ (2.24) พบร่วเอนโทรปีมีคุณสมบัติที่น่าสนใจ ประการหนึ่งคือ

$$0 \leq H(X) \leq \log_2 M \tag{2.25}$$

เมื่อ M คือจำนวนรูปแบบของสัญลักษณ์ที่เป็นไปได้ทั้งหมดของแหล่งกำเนิดข้อมูล จากสมการ (2.25) จะเห็นว่า ความสัมพันธ์นี้แสดงถึงขอบเขตของเอนโทรปีทั้งค่าสูงสุดและค่าต่ำสุด

สำหรับขอบเขตค่าต่ำสุดของเอนโทรปี จะต้องมีค่ามากกว่าหรือเท่ากับ 0 เสมอ การพิสูจน์คุณสมบัตินี้ทำได้โดยง่าย เพราะจากนิยามตามสมการ (2.24) แต่ละค่าของ $p_k \log_2(1/p_k)$ ที่นำมารวมกันมีค่ามากกว่า 0 เสมอ ดังนั้น $H(X) \geq 0$ ด้วย ทั้งนี้เอนโทรปีจะมีค่าเป็น 0 ก็เฉพาะกรณีที่มีสัญลักษณ์หนึ่งในเซตมีความน่าจะเป็นในการเกิดเป็น 1 ส่วนสัญลักษณ์ที่เหลือมีค่าความน่าจะเป็นในการเกิดเป็น 0 ทั้งหมด ก็ล้วนคือ มี p_k ค่าหนึ่งเป็น 1 และ p_k ที่เหลือมีค่าเป็น 0

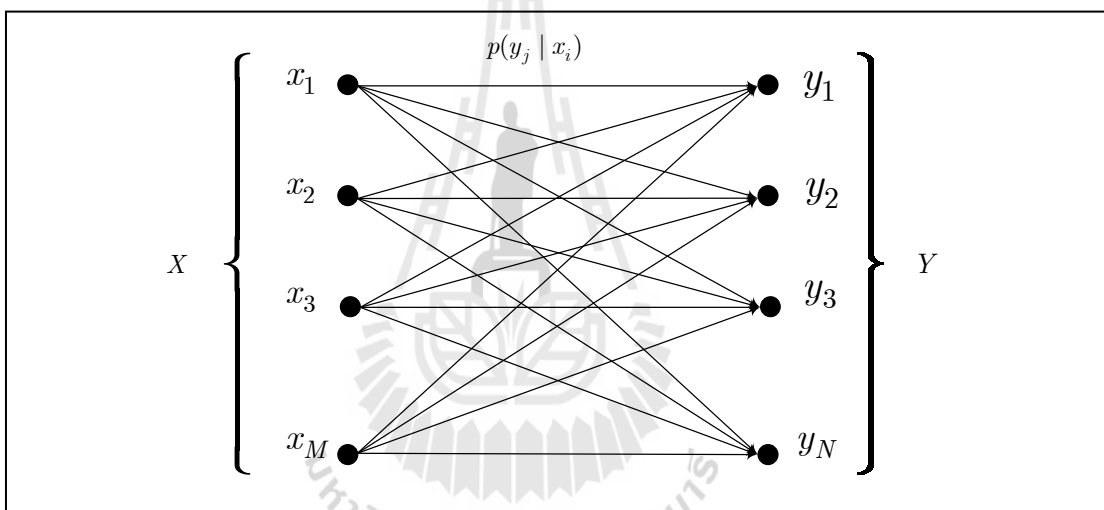
ส่วนขอบบนบ่งบอกว่าเอนโทรปีจะมีค่าสูงสุดไม่เกิน $\log_2 M$ ถ้าพิจารณาโดยละเอียดจะพบว่า เอนโทรปีสูงสุดที่เป็นไปได้จะเกิดขึ้นก็ต่อเมื่อสัญลักษณ์ทั้ง M รูปแบบมีความน่าจะเป็นในการเกิดเท่ากับ $1/M$ เท่ากันหมดนั่นเอง

2.3.3 แบบจำลองของสัญญาณ

การอธิบายที่ผ่านมาเป็นการอธิบายเกี่ยวกับแหล่งกำเนิดข่าวสารทั้งสิ้น ในส่วนต่อไปจะเป็นการพิจารณาส่วนที่สำคัญของระบบอิเล็กทรอนิกส์ คือ ช่องสัญญาณ ซึ่งเป็นสื่อกลางใน

การนำส่งข่าวสารจากแหล่งกำเนิดที่ภาคส่งไปยังจุดหมายปลายทางที่ภาครับ ซึ่งสัญญาณพื้นฐานที่นำมาพิจารณาต่อไปนี้ให้มีคุณสมบัติไม่มีความจำ (memoryless) หมายความว่า สัญญาณที่ข้าอกของช่องสัญญาณ ณ เวลาหนึ่ง จะขึ้นอยู่กับสัญญาณที่ด้านเข้า ณ เวลาดังกล่าวเท่านั้น ไม่ขึ้นกับสัญญาณที่ได้ป้อนเข้ามา ก่อนหน้านี้เลย นอกจากนี้สัญญาณที่ด้านเข้าและด้านออกจะมีรูปแบบของสัญลักษณ์ที่จำกัดด้วยเช่นกัน

พิจารณาแหล่งกำเนิดสัญญาณหนึ่ง ซึ่งให้กำเนิดสัญลักษณ์จำนวนจำกัดที่แตกต่างกันทั้งหมด M รูปแบบ $\{x_1, x_2, \dots, x_M\}$ เมื่อป้อนสัญญาณดังกล่าวเข้าสู่ช่องสัญญาณที่ไม่มีความจำ พบร่วมกับ จะได้สัญญาณด้านออกที่แตกต่างกันทั้งหมด N รูปแบบ $\{y_1, y_2, \dots, y_N\}$ และเมื่อนำองค์ประกอบดังกล่าวมา結合เป็นโครงสร้างแบบจำลองได้ ดังแสดงในรูปที่ 2.1



รูปที่ 2.1 แบบจำลองช่องสัญญาณแบบไม่มีความจำ

จากรูปสังเกตว่าส่วนของช่องสัญญาณที่มีการเขียนค่าความน่าจะเป็น $p(y_j | x_i)$ ประกอบอยู่ในแบบจำลอง ซึ่งหมายถึงค่าความน่าจะเป็นที่สัญญาณด้านออกจะเป็น y_j เมื่อทราบว่าป้อนสัญญาณ x_i เข้าสู่ช่องสัญญาณแล้ว หรือเท่ากับ $P(Y = y_j | X = x_i)$ นั่นคือ ถ้าเราทราบความน่าจะเป็น $p(y_j | x_i)$ ครบถ้วนแบบ ก็จะสามารถบรรยายคุณลักษณะของช่องสัญญาณที่ไม่มีความจำได้อย่างสมบูรณ์ ซึ่งสามารถแสดงคุณลักษณะของช่องสัญญาณในรูปเมทริกซ์ขนาด $M \times N$ ได้ดังนี้

$$\mathbf{P} = \begin{bmatrix} p(y_1 | x_1) & p(y_2 | x_1) & \cdots & p(y_N | x_1) \\ p(y_1 | x_2) & p(y_2 | x_2) & \cdots & p(y_N | x_2) \\ \vdots & \vdots & & \vdots \\ p(y_1 | x_M) & p(y_2 | x_M) & \cdots & p(y_N | x_M) \end{bmatrix} \quad (2.26)$$

โดยเรียกเมทริกซ์ \mathbf{P} ว่า เมทริกซ์ช่องสัญญาณ (channel matrix) ซึ่งทั่วไปแล้วมักทราบหรือมีการกำหนดความน่าจะเป็นของสัญญาณ X แต่ละสัญลักษณ์ที่ป้อนเข้าสู่ช่องสัญญาณ นั่นคือเราทราบค่า $p(x_i) = P(X = x_i)$ สำหรับสัญลักษณ์ x_i ทั้งหมดที่อยู่ในเซต $\{x_1, x_2, \dots, x_M\}$ เมื่อการแจกแจงความน่าจะเป็นของตัวแปรสุ่ม X เป็นที่รับทราบแล้ว สิ่งต่อไปที่เราสนใจคือ การแจกแจงความน่าจะเป็นของตัวแปรสุ่ม Y ซึ่งเป็นสัญญาณที่ด้านออกของช่องสัญญาณ ในการคำนวณ การแจกแจงความน่าจะเป็นของตัวแปรสุ่ม Y สามารถทำได้โดยอาศัยหลักการของการแจกแจงความน่าจะเป็นแบบมาร์จินอล (marginal distribution probability) ดังนี้

$$\begin{aligned} p(y_j) &= P(Y = y_j) \\ &= \sum_{i=1}^M P(Y = y_j | X = x_i)P(X = x_i) \\ &= \sum_{i=1}^M p(y_j | x_i)p(x_i) \end{aligned} \quad (2.27)$$

นอกจากนี้ยังสามารถคำนวณหาค่าการแจกแจงความน่าจะเป็นร่วม (joint probability distribution) ของตัวแปรสุ่ม X และ Y ได้จากการสัมพันธ์

$$\begin{aligned} p(x_i, y_j) &= P(X = x_i, Y = y_j) \\ &= P(Y = y_j | X = x_i)P(X = x_i) \\ &= p(y_j | x_i)p(x_i) \end{aligned} \quad (2.28)$$

2.3.4 ข่าวสารร่วม

จากการอธิบายลึกแบบจำลองของช่องสัญญาณในส่วนที่ผ่านมาแล้วนั้น สัญญาณ X คือสัญญาณที่ป้อนเข้าสู่ช่องสัญญาณ และ Y คือสัญญาณที่ขาออกของช่องสัญญาณซึ่งสัญญาณ Y ก็คือ สัญญาณ X ที่ได้เปลี่ยนแปลงไป เนื่องจากการรบกวนจากตัวช่องสัญญาณ

โดยในส่วนของสัญญาณ X นั้น เราสามารถคำนวณหาความไม่แน่นอนโดยอาศัยนิยามอ่อนโกรปี (ประสิทธิ์ ประพิมมงคลการ, 2540) ได้ดังนี้

$$H(X) = \sum_{i=1}^M p(x_i) \log_2 \left(\frac{1}{p(x_i)} \right) \quad (2.29)$$

เพื่อความสะดวกในการอธิบายในลำดับถัดไปเราจะดัดแปลงสภาพของสมการ $H(X)$ ใหม่เป็น

$$\begin{aligned} H(X) &= \sum_{i=1}^M p(x_i) \log_2 \left(\frac{1}{p(x_i)} \right) \sum_{j=1}^N p(y_j | x_i) \\ &= \sum_{i=1}^M \sum_{j=1}^N p(y_j | x_i) p(x_i) \log_2 \left(\frac{1}{p(x_i)} \right) \\ &= \sum_{i=1}^M \sum_{j=1}^N p(y_j, x_i) \log_2 \left(\frac{1}{p(x_i)} \right) \\ &= \sum_{j=1}^N \sum_{i=1}^M p(x_i, y_j) \log_2 \left(\frac{1}{p(x_i)} \right) \end{aligned} \quad (2.30)$$

เมื่อเราทราบความไม่แน่นอนของสัญญาณ X จากค่าอ่อนโกรปี $H(X)$ แล้ว หากลองพิจารณาต่อว่าจะเกิดอะไรขึ้นกับความไม่แน่นอนของ X เมื่อภาครับได้รับสัญญาณ $Y = y_j$ เป็นที่เรียบร้อยแล้ว กล่าวคือภาครับได้รับข่าวสารเพิ่มเติม และจะต้องไม่ลืมว่าข่าวสารของสัญญาณ Y ก็คือข่าวสารของสัญญาณ X ที่ถูกรบกวน โดยช่องสัญญาณ ดังนั้นภาครับจะพิจารณาความไม่แน่นอนของสัญญาณ X ว่ามีการเปลี่ยนแปลงไปอย่างไร เมื่อเทียบกับก่อนที่จะได้รับสัญญาณ Y โดยเราจะเริ่มจากการหาค่าอ่อนโกรปีของตัวแปรสุ่ม X หลังจากที่ได้รับทราบค่าของตัวแปรสุ่ม $Y = y_j$ เรียบร้อยแล้ว ซึ่งเป็นความสัมพันธ์ได้ดังนี้

$$H(X | Y = y_j) = \sum_{i=1}^M p(x_i | y_j) \log_2 \left(\frac{1}{p(x_i | y_j)} \right) \quad (2.31)$$

จากการคำนวณนี้ ให้ผลให้หลายรูปแบบ และเปลี่ยนแปลงไปตามค่า y_j ดังนั้นค่า $H(X | Y = y_j)$ สามารถมองเป็นตัวแปรสุ่มที่มีค่าเป็น $H(X | Y = y_1), H(X | Y = y_2),$

$H(X | Y = y_N)$ ด้วยความน่าจะเป็นเท่ากับ $p(y_1), p(y_1), \dots, p(y_N)$ ตามลำดับ ดังนั้นถ้าเราหาค่าเฉลี่ยของตัวแปรสุ่มนี้ตามค่าของ Y จะได้

$$\begin{aligned} H(X | Y) &= \sum_{j=1}^N H(X | Y = y_j) p(y_j) \\ &= \sum_{j=1}^N \sum_{i=1}^M p(x_i | y_j) p(y_j) \log_2 \left(\frac{1}{p(x_i | y_j)} \right) \\ &= \sum_{j=1}^N \sum_{i=1}^M p(x_i, y_j) \log_2 \left(\frac{1}{p(x_i | y_j)} \right) \end{aligned} \quad (2.32)$$

พจน์ $H(X | Y)$ คือ ค่าที่แสดงถึงความไม่แน่นอนของสัญญาณ X ที่พิจารณาหลังจากได้รับค่าของสัญญาณ Y ที่ข้ามออกของช่องสัญญาณแล้ว ส่วน $H(X)$ คือ ค่าที่แสดงถึงความไม่แน่นอนของสัญญาณ X ตามคุณลักษณะของแหล่งกำเนิด โดยหลักการแล้ว ค่า $H(X | Y)$ จะมีขนาดเล็กกว่า $H(X)$ เนื่องจากได้รับข่าวสารที่มากกว่า ดังนั้น ความไม่แน่นอนของ X หลังจากได้รับข่าวสารเพิ่มเติมจากช่องสัญญาณย่อมจะลดลง ข่าวสารที่ได้รับเพิ่มเติมนี้เรียกว่า ข่าวสารร่วม (mutual information) ซึ่งมีค่าเท่ากับ

$$I(X;Y) = H(X) - H(X | Y) \quad (2.33)$$

จากสมการ (2.30) และ (2.32) จะได้ว่า

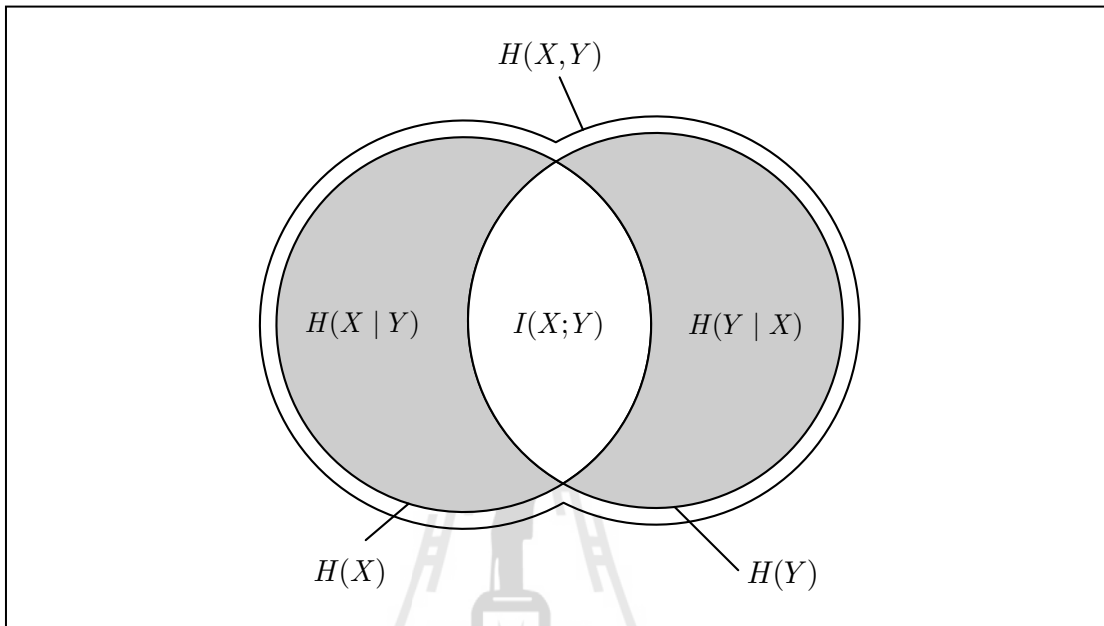
$$\begin{aligned} I(X;Y) &= \sum_{j=1}^N \sum_{i=1}^M p(x_i, y_j) \log_2 \left(\frac{1}{p(x_i)} \right) - \sum_{j=1}^N \sum_{i=1}^M p(x_i, y_j) \log_2 \left(\frac{1}{p(x_i | y_j)} \right) \\ &= \sum_{j=1}^N \sum_{i=1}^M p(x_i, y_j) \log_2 \left(\frac{p(x_i | y_j)}{p(x_i)} \right) \end{aligned} \quad (2.34)$$

จากคำจำกัดความของคำว่า ข่าวสารร่วม หรือ $I(X;Y)$ ตามสมการ (2.33) พ布ว่า ข่าวสารร่วม มีคุณสมบัติที่น่าสนใจดังนี้

- 1) $I(X;Y) = I(Y;X)$
- 2) $I(X;Y) \geq 0$ เสมอ
- 3) $I(X;Y) = H(Y) - H(Y | X) = H(X) - H(X | Y)$

$$4) I(X;Y) = H(X) + H(Y) - H(X,Y)$$

เราสามารถอธิบายคุณสมบัติของข่าวสารร่วม โดยอาศัยแผนภาพเวนน์ (venn diagram) ได้ดังรูปที่ 2.2



รูปที่ 2.2 แผนภาพเวนน์แสดงถูกต่าง ๆ ของข่าวสารในระบบการสื่อสาร

2.3.5 ความจุของสัญญาณ

พิจารณาช่องสัญญาณที่มีการป้อนสัญญาณด้านเข้า X ด้วยสัญญาณที่มีจำนวนรูปแบบของสัญลักษณ์จำกัด และ สัญญาณขาออก Y ของช่องสัญญาณ ก็มีจำนวนรูปแบบของสัญลักษณ์จำนวนจำกัดด้วย โดยที่ช่องสัญญาณมีความน่าจะเป็นของการเปลี่ยนสภาพของสัญญาณ เป็น $p(y_j | x_i)$ เราจะนิยามความจุของสัญญาณ C ให้มีค่าเท่ากับปริมาณข่าวสารเฉลี่ยสูงสุดที่สามารถส่งผ่านช่องสัญญาณได้ ซึ่งก็เทียบได้กับการหาค่าสูงสุดของข่าวสารร่วมนั่นเอง ซึ่งเมื่อพิจารณาค่าของ $I(X;Y)$ สามารถแสดงได้เป็น

$$I(X;Y) = \sum_{j=1}^N \sum_{i=1}^M p(x_i, y_j) \log_2 \left(\frac{p(y_j | x_i)}{p(y_j)} \right) \quad (2.35)$$

เนื่องจากสามารถแสดงค่าของ $p(x_i, y_j)$ ในรูปของ

$$p(x_i, y_j) = p(y_j | x_i)p(x_i) \quad (2.36)$$

และแสดงค่าของ $p(y_j)$ ในรูปของ

$$p(y_j) = \sum_{i=1}^M p(y_j | x_i)p(x_i) \quad (2.37)$$

ดังนั้นเมื่อเราแทนค่าของ $p(x_i, y_j)$ และ $p(y_j)$ ลงในสมการ (2.35) จะได้ว่าค่า $I(X;Y)$ นั้นจะขึ้นอยู่กับค่า $p(x_i)$ และค่า $p(y_j | x_i)$ เท่านั้น เมื่อจาก $p(y_j | x_i)$ เป็นค่าที่ขึ้นกับคุณสมบัติของช่องสัญญาณซึ่งไม่สามารถเปลี่ยนแปลงได้ จึงหมายความว่า ค่าของ $I(X;Y)$ จะขึ้นอยู่กับคุณลักษณะของสัญญาณที่ป้อนเข้ามาเป็นสำคัญ ด้วยเหตุนี้เราจึงสามารถเขียนความจุช่องสัญญาณได้ดังนี้ (ลัญยกร วุฒิศิทธิกุลกิจ, 2546).

$$C = \max_{p(x_i)} I(X;Y) \quad (2.38)$$

จากที่กล่าวมาเราได้ข้อสังเกตที่น่าสนใจอยู่ประการหนึ่งว่าความจุของช่องสัญญาณนอกจากจะขึ้นอยู่กับคุณสมบัติของช่องสัญญาณเองแล้ว ยังขึ้นอยู่กับคุณลักษณะของสัญญาณที่ป้อนเข้าไปในช่องสัญญาณด้วย

2.3.6 เอนโทรปีสำหรับแหล่งกำเนิดข้อมูลสารแบบต่อเนื่อง

การอธิบายที่ผ่านมา เราอธิบายเฉพาะแหล่งกำเนิดสัญญาณที่มีรูปแบบสัญลักษณ์จำกัด ดังนั้นเราจึงแสดงแหล่งกำเนิดสัญญาณแบบนี้ในรูปของตัวแปรสุ่มแบบไม่ต่อเนื่อง (discrete random variable) สำหรับเนื้อหาต่อจากนี้ จะขยายไปสู่แหล่งกำเนิดที่มีสัญลักษณ์แบบไม่จำกัด ดังนั้น เราจึงแสดงแหล่งกำเนิดสัญญาณที่จะพิจารณาต่อไปนี้ในรูปของ ตัวแปรสุ่มแบบต่อเนื่อง (continuous random variable)

กำหนดให้ตัวแปรสุ่มแบบต่อเนื่อง X มีฟังก์ชันการแจกแจงความน่าจะเป็นเท่ากับ $f_x(x)$ ถ้าเรา尼ยามค่า่อน โทรปีของแหล่งกำเนิด หรือตัวแปรสุ่มนี้ โดยอาศัยรูปแบบที่คล้ายคลึงกับการนิยามของ่อน โทรปีสำหรับตัวแปรสุ่มแบบไม่ต่อเนื่อง ก็จะได้เป็นรูปแบบสมการดังต่อไปนี้

$$h(X) = \int_{-\infty}^{\infty} f_x(x) \log_2 \left(\frac{1}{f_x(x)} \right) dx \quad (2.39)$$

และเราจะเรียกนิยามเอนโทรปีส่วนต่าง (differential entropy) สำหรับเหตุผลที่เรียก เช่นนี้ จะได้อธิบายในภายหลัง หากพิจารณาในเชิงคณิตศาสตร์ แท้จริงแล้ว เราจะพบว่าการนิยาม ตามสมการ (2.39) ไม่เหมือนหรือสอดคล้องกับการให้นิยามสำหรับตัวแปรสุ่มแบบไม่ต่อเนื่อง ประเด็นนี้สามารถอธิบายให้เห็นได้อย่างชัดเจนดังนี้

ก่อนอื่นเราจะพิจารณาตัวแปรสุ่มแบบต่อเนื่อง ในรูปของตัวแปรสุ่มแบบไม่ต่อเนื่อง โดยอาศัยทฤษฎีลิมิตมาช่วย นั่นคือ สมมติให้ $x_k = k\Delta x$ โดยที่ $k = 0, 1, 2, \dots$ และ Δx มีค่า เข้าใกล้ 0 ตัวแปรสุ่ม X จะมีค่าอยู่ในช่วง $[x_k, x_k + \Delta x]$ ด้วยความน่าจะเป็นเท่ากับ $f_x(x)\Delta x$ ดังนั้นเอนโทรปีของตัวแปรสุ่มที่เขียนในรูปแบบไม่ต่อเนื่องจะเป็นดังนี้

$$\begin{aligned} H(X) &= \lim_{\Delta x \rightarrow 0} \sum_{k=-\infty}^{\infty} f_x(x_k) \Delta x \log_2 \left(\frac{1}{f_x(x_k) \Delta x} \right) \\ &= \lim_{\Delta x \rightarrow 0} \sum_{k=-\infty}^{\infty} \left[f_x(x_k) \log_2 \left(\frac{1}{f_x(x_k)} \right) - f_x(x_k) \log_2 (\Delta x) \right] \Delta x \\ &= \int_{-\infty}^{\infty} f_x(x_k) \log_2 \left(\frac{1}{f_x(x_k)} \right) dx - \lim_{\Delta x \rightarrow 0} \log_2 (\Delta x) \int_{-\infty}^{\infty} f_x(x_k) dx \\ &= h(X) - \lim_{\Delta x \rightarrow 0} \log_2 (\Delta x) \end{aligned} \quad (2.40)$$

จากสมการความสัมพันธ์ที่ได้ สังเกตว่าพจน์แรกของสมการทางขวาเมื่อ $h(X)$ ก็คือ ค่าของเอนโทรปีส่วนต่างที่ได้นิยามไว้ในสมการ (2.39) นั่นเอง ซึ่งสามารถออกได้ชัดเจนว่า นิยาม เอนโทรปีส่วนต่างนั้น มีค่าไม่เท่ากับที่ได้นิยามตามแบบของตัวแปรสุ่มแบบไม่ต่อเนื่อง นั่นคือ ถ้า เรา尼ยามเอนโทรปีให้กับตัวแปรสุ่มแบบต่อเนื่อง โดยอาศัยนิยามของตัวแปรสุ่มแบบไม่ต่อเนื่อง และใช้ทฤษฎีลิมิตเข้าช่วย จะได้พจน์ที่สองของสมการทางด้านขวาเมื่อเพิ่มขึ้นมา ซึ่งถ้าลองพิจารณา คุณค่าของพจน์นี้ พบว่าจะมีค่าเป็นอนันต์ เมื่อ $\Delta x \rightarrow 0$ แสดงให้เห็นได้ว่าเอนโทรปี $H(X)$ ของ ตัวแปรสุ่มแบบต่อเนื่องนั้น มีค่าเป็นอนันต์เสมอ และเราเรียกเอนโทรปี $H(X)$ ว่าเป็นเอนโทรปี สัมบูรณ์ (absolute entropy) การที่เอนโทรปีสัมบูรณ์ $H(X)$ เป็นอนันต์นั้น มิได้ขัดแย้งกับความ เป็นจริงแต่อย่างใด เพราะแหล่งกำเนิดแบบนี้มีรูปแบบสัญลักษณ์ที่แตกต่างกัน ได้เป็นจำนวนอนันต์ ดังนั้นเราจึงไม่สามารถใช้ค่าเอนโทรปีสัมบูรณ์ $H(X)$ ในการเปรียบเทียบเอนโทรปีระหว่าง ตัวแปรสุ่ม 2 ตัวที่ต่างกันได้ ด้วยเหตุนี้ เราจึงกล่าวว่า การนิยามเอนโทรปีแบบของเอนโทรปี สัมบูรณ์ $H(X)$ นั้น ไม่มีประโยชน์ในการใช้งานเท่าไนก็ แต่สังเกตว่า ถ้าเราสนใจเฉพาะความ แตกต่างของเอนโทรปีระหว่างตัวแปรสุ่มสองตัว นั่นคือ ให้นำเอนโทรปีสัมบูรณ์มาหักลบกัน จะ พบว่า พจน์ที่มีค่าเป็นอนันต์จะหักล้างกันไป ผลลัพธ์ที่ได้ก็เทียบท่าการนำเอาเอนโทรปีส่วนต่าง

$h(X)$ ของตัวแปรสุ่มทั้งสองมาหักลบกันนั่นเอง ด้วยเหตุนี้ การนิยามเอนโทรปีของตัวแปรสุ่มแบบต่อเนื่อง ในรูปเอนโทรปีส่วนต่าง $h(X)$ แทนเอนโทรปีสมบูรณ์ $H(X)$ จึงมีความหมายสุ่มและเป็นประโยชน์กว่า ทั้งนี้ให้พิจารณาพจน์ $\lim_{\Delta x \rightarrow 0} \log_2 (\Delta x)$ เป็นเพียงค่าอ้างอิงที่มีขนาดเท่ากันสำหรับตัวแปรสุ่มแบบต่อเนื่องทุกด้วย

2.3.7 แหล่งกำเนิดข่าวสารที่มีเอนโทรปีสูงสุด

ในการพิสูจน์เพื่อหาตัวแปรสุ่มแบบต่อเนื่อง ที่ให้ค่าเอนโทรปีส่วนต่างสูงสุด เมื่อกำหนดค่าความแปรปรวน (variance) มาให้นั่น สามารถทำได้โดยกำหนดปัญหาดังกล่าวในรูปต่อไปนี้

$$\max \left(h(X) = \int_{-\infty}^{\infty} f_x(x) \log_2 \left(\frac{1}{f_x(x)} \right) dx \right) \quad (2.41)$$

ภายใต้เงื่อนไข

$$\int_{-\infty}^{\infty} f_x(x) dx = 1 \quad (2.42)$$

และ

$$\int_{-\infty}^{\infty} (x - \mu)^2 f_x(x) dx = \sigma^2 \quad (2.43)$$

เมื่อ μ และ σ^2 คือค่าเฉลี่ย และความแปรปรวนของตัวแปรสุ่ม X ตามลำดับ

รูปปัญหาที่แสดงข้างต้นสามารถหาผลเฉลยได้โดยอาศัยกรรมวิธี ตัวคูณ Lagrange multiplier ซึ่งตามกรรมวิธีดังกล่าวจะ ระบุว่า เอนโทรปีส่วนต่าง $h(X)$ จะให้ค่าสูงสุด เมื่อผลการอินทิเกรตของส่วนประกอบต่อไปนี้

$$\int_{-\infty}^{\infty} f_x(x) \log_2 \left(\frac{1}{f_x(x)} \right) + \lambda_1 f_x(x) + \lambda_2 (x - \mu)^2 f_x(x) dx \quad (2.44)$$

เมื่อ λ_1 และ λ_2 คือ ตัวคูณล่างนี้ เงื่อนไขดังกล่าวนี้ มีความหมายในอีกนัยหนึ่งว่า เอนไทรปี ส่วนต่าง $h(X)$ จะให้ค่าสูงสุดเมื่อหาอนุพันธ์ของเทอมที่อยู่ในเครื่องหมายอินทิเกรต ซึ่งมีค่าเท่ากับ

$$f_x(x) \log_2 \left(\frac{1}{f_x(x)} \right) + \lambda_1 f_x(x) + \lambda_2 (x - \mu)^2 f_x(x) \quad (2.45)$$

เทียบกับ $f_x(x)$ แล้วมีค่าเท่ากับ 0 นั้นคือ

$$\log_2 \left(\frac{1}{f_x(x)} \right) - \log_2 e + \lambda_1 + \lambda_2 (x - \mu)^2 = 0 \quad (2.46)$$

เมื่อจัดรูปใหม่ได้เป็น

$$f_x(x) = \exp \left(-1 + \frac{\lambda_1}{\log_2 e} + \frac{\lambda_2}{\log_2 e} (x - \mu)^2 \right) \quad (2.47)$$

เมื่อแทนค่า $f_x(x)$ ลงในสมการ (2.42) และ (2.43) จะสามารถแก้หาค่า λ_1 และ λ_2 ได้เท่ากับ

$$\lambda_1 = \frac{1}{2} \log_2 \left(\frac{e}{2\pi\sigma^2} \right) \quad (2.48)$$

$$\lambda_2 = -\frac{\log_2 e}{2\sigma^2} \quad (2.49)$$

เมื่อแทนค่าทั้งสองลงในสมการ (2.47) จะได้ตัวแปรสุ่มที่ให้ค่าเอนไทรปีส่วนต่างสูงสุดเป็นดังนี้

$$f_x(x) = \frac{1}{\sqrt{2\pi}\sigma} \exp \left(-\frac{(x - \mu)^2}{2\sigma^2} \right) \quad (2.50)$$

ซึ่งก็คือ ตัวแปรสุ่มแบบเกาส์เชิง (Gaussian random variable) นั่นเอง

เราสามารถหาค่าเอนโทรปีของตัวแปรสุ่มแบบเกาส์เชิงได้โดยการใช้เครื่องหมายลอกการทึบหักสองข้างสมการจะได้ว่า

$$\log_2 \left(\frac{1}{f_x(x)} \right) = \log_2 \sqrt{2\pi}\sigma + \frac{(x - \mu)^2}{2\sigma^2} \log_2 e \quad (2.51)$$

จากนิยามเอนโทรปีส่วนต่างในสมการ (2.39) จะได้ว่า

$$\begin{aligned} h(X) &= \int_{-\infty}^{\infty} f_x(x) \log_2 \left(\frac{1}{f_x(x)} \right) dx \\ &= \int_{-\infty}^{\infty} f_x(x) \left(\log_2 \sqrt{2\pi}\sigma + \frac{(x - \mu)^2}{2\sigma^2} \log_2 e \right) dx \\ &= \log_2 \sqrt{2\pi}\sigma \int_{-\infty}^{\infty} f_x(x) dx + \int_{-\infty}^{\infty} f_x(x) \left(\frac{(x - \mu)^2}{2\sigma^2} \log_2 e \right) dx \\ &= \log_2 \sqrt{2\pi}\sigma + \frac{1}{2\sigma^2} \log_2 e \int_{-\infty}^{\infty} (x - \mu)^2 f_x(x) dx \\ &= \log_2 \sqrt{2\pi}\sigma + \frac{1}{2} \log_2 e \\ &= \frac{1}{2} \log_2 (2\pi e \sigma^2) \end{aligned} \quad (2.52)$$

2.3.8 ข่าวสารร่วมสำหรับตัวแปรสุ่มแบบต่อเนื่อง

สำหรับกรณีตัวแปรสุ่มแบบต่อเนื่อง การนิยามค่าข่าวสารร่วม ระหว่างตัวแปรสุ่ม X และ Y สามารถทำได้ในลักษณะเดียวกันกับที่นิยามไว้ในสมการ (2.34) ดังนี้

$$I(X;Y) = \int_{-\infty}^{\infty} \int_{-\infty}^{\infty} f_{x,y}(x,y) \log_2 \left(\frac{f_x(x | y)}{f_x(x)} \right) dx dy \quad (2.53)$$

โดยที่ $f_{x,y}(x,y)$ คือ ฟังก์ชันความหนาแน่นความน่าจะเป็นร่วม(joint probability density function) ของตัวแปรสุ่ม X และ Y ส่วน $f_x(x | y)$ คือฟังก์ชันความหนาแน่นความน่าจะเป็นแบบมีเงื่อนไข (conditional probability density function) ของตัวแปรสุ่ม X เมื่อทราบค่าของตัวแปรสุ่ม $Y = y$

คุณสมบัติหลักของข่าวสารร่วม $I(X;Y)$ สำหรับกรณีตัวแปรสุ่มแบบต่อเนื่องสามารถพิจารณาได้ท่านองเดียวกับตัวแปรสุ่มแบบไม่ต่อเนื่องได้ดังนี้

- 1) $I(X;Y) = I(Y;X)$
- 2) $I(X;Y) \geq 0$ เสมอ
- 3) $I(X;Y) = h(X) - h(X | Y)$
- 4) $I(X;Y) = h(Y) - h(Y | X)$

โดยที่ $h(X)$ คือค่าเอนโทรปีส่วนต่างของ X และ $h(Y)$ ค่าเอนโทรปีส่วนต่างของ Y สำหรับ $h(X | Y)$ คือค่าเอนโทรปีส่วนต่างแบบมีเงื่อนไข (conditional differential entropy) ของตัวแปรสุ่ม X เมื่อทราบค่าของตัวแปรสุ่ม Y ซึ่งสามารถเขียนได้เป็น

$$h(X | Y) = \int_{-\infty}^{\infty} \int_{-\infty}^{\infty} f_{x,y}(x,y) \log_2 \left(\frac{1}{f_x(x | y)} \right) dx dy \quad (2.54)$$

และ $h(Y | X)$ คือค่าเอนโทรปีส่วนต่างแบบมีเงื่อนไข ของตัวแปรสุ่ม Y เมื่อทราบค่าของตัวแปรสุ่ม X ซึ่งสามารถเขียนได้เป็น

$$h(Y | X) = \int_{-\infty}^{\infty} \int_{-\infty}^{\infty} f_{x,y}(x,y) \log_2 \left(\frac{1}{f_x(y | x)} \right) dx dy \quad (2.55)$$

2.3.9 ทฤษฎีความจุช่องสัญญาณ

พิจารณาสัญญาณ $X(t)$ หนึ่งที่มีแบบความถี่จำกัดเท่ากับ B เฮิรตซ์ ได้ทำการป้อนเข้าสู่ช่องสัญญาณที่ไม่มีความจำ ซึ่งมีสัญญาณรบกวนเกาส์เชิงเส้นตื้น (*Additive White Gaussian Noise : AWGN*) กำหนดให้ X_k คือค่าที่ได้จากการซักตัวอย่างสัญญาณ $X(t)$ ณเวลา k ตั้งแต่ $1, 2, \dots, n$ ทั้งนี้การการซักตัวอย่างสัญญาณ กระทำอย่างสม่ำเสมอต่ออัตราเร็วเท่ากับ $2B$ ซึ่งเป็นอัตราในการการซักตัวอย่างที่สูงเพียงพอ สำหรับการที่ภาครับจะสามารถดึงสัญญาณต้นทางกลับคืนมาได้อย่างถูกต้อง ตามทฤษฎีการซักตัวอย่างของไนคิสต์ เมื่อสัญญาณ X_k ถูกป้อนเข้าสู่ช่องสัญญาณจะได้เป็นสัญญาณ Y_k ออกมานั้นคือ ตัวอย่างของสัญญาณที่ได้รับจากช่องสัญญาณ ณ เวลา k นั้นเอง โดยจากนิยามข้างต้นจะได้ว่า

$$Y_k = X_k + N_k \quad \text{เมื่อ } k = 1, 2, \dots, n \quad (2.56)$$

โดยค่าตัวอย่างของสัญญาณรบกวน N_k ที่เวลา k มีการแจกแจงความน่าจะเป็นแบบเกาส์เชิงที่มีค่าเฉลี่ยเป็น 0 และค่าความแปรปรวนเท่ากับ

$$\sigma^2 = N_0 B \quad (2.57)$$

แหล่งกำเนิดสัญญาณจะส่งออกด้วยกำลังเนลลี่ที่จำกัดค่าหนึ่งเท่ากับ P ซึ่งสามารถแสดงได้ดังนี้

$$E\{X_k^2\} = P \quad \text{เมื่อ } k = 1, 2, \dots, n \quad (2.58)$$

ความจุของช่องสัญญาณมีนิยามดังนี้

$$C = \max_{p(x_i)} \left\{ I(X_k; Y_k) : E\{X_k^2\} = P \right\} \quad (2.59)$$

โดยที่ $I(X_k; Y_k)$ คือ ค่าเฉลี่ยของข่าวสารร่วม ระหว่างตัวอย่างของสัญญาณที่แหล่งกำเนิด X_k และสัญญาณที่ได้รับจากช่องสัญญาณเป็น Y_k โดยที่การหาค่าความจุสูงสุดนั้น ให้กระทำเทียบกับฟังก์ชันความหนาแน่นความน่าจะเป็นของตัวแปร X_k

ในการหาค่าสูงสุดนั้นเราอาจคำนวณ $I(X_k; Y_k)$ ในรูปของความสัมพันธ์ดังต่อไปนี้

$$I(X_k; Y_k) = h(Y_k) - h(Y_k | X_k) \quad (2.60)$$

สำหรับ $h(Y_k | X_k)$ มีความหมายว่า เมื่อได้กำหนดค่าของ X_k มาแล้ว จะพบว่าค่าเงินโทรศัพท์ของ Y_k จะมีค่าเท่ากับเงินโทรศัพท์ของ N_k นั่นเอง ซึ่งสามารถอธิบายได้โดยพิจารณาความสัมพันธ์ $Y_k = X_k + N_k$ จะเห็นว่าเมื่อเราทราบ X_k แล้ว Y_k จะขึ้นตรงกับตัวแปรสุ่ม N_k เท่านั้น

ด้วยเหตุนี้เราจึงสามารถเขียนความสัมพันธ์ได้ดังต่อไปนี้

$$h(Y_k | X_k) = h(N_k) \quad (2.61)$$

เมื่อแทนค่า $h(Y_k | X_k)$ ลงในสมการ (2.60) จะได้ว่า

$$h(X_k; Y_k) = h(Y_k) - h(N_k) \quad (2.62)$$

เนื่องจากสัญญาณรบกวนที่เกิดขึ้นในช่องสัญญาณ ไม่ได้มีความสัมพันธ์อันใดกับสัญญาณที่ส่งจากแหล่งกำเนิดข่าวสาร ดังนั้น การแยกแจงความน่าจะเป็น $f_x(x)$ ของตัวแปรสุ่ม X_k ก็ย่อมจะเป็นอิสระในเชิงสถิติจากสัญญาณรบกวน N_k ด้วย นั่นคือ $h(N_k)$ ไม่ขึ้นกับฟังก์ชันความหนาแน่นความน่าจะเป็น $f_x(x)$ เมื่อเป็นเช่นนี้การหาค่าสูงสุดของ $I(X_k; Y_k)$ จึงขึ้นกับพจน์ $h(Y_k)$ เท่านั้น เนื่องจากเมื่อ Y_k จะมีค่าสูงสุดได้ก็ต่อเมื่อ Y_k เป็นตัวแปรสุ่มที่มีการแยกแจงความน่าจะเป็นแบบเกาส์เซียนเท่านั้น ซึ่งแสดงให้เห็นว่าสัญญาณที่ด้านนอกของช่องสัญญาณจะมีคุณลักษณะเป็นสัญญาณรบกวนด้วย เมื่อพิจารณาสัญญาณรบกวนที่เกิดจากช่องสัญญาณซึ่งได้สมมติไว้ในตอนต้นแล้วว่า ให้แต่ละตัวอย่าง N_k มีการแยกแจงความน่าจะเป็นแบบเกาส์เซียนด้วย นั่นคือ ความจุช่องสัญญาณจะมีค่าสูงสุดได้เมื่อตัวแปรสุ่ม X_k มีการแยกแจงความน่าจะเป็น แบบเกาส์เซียน ดังนั้นสมการ (2.59) สามารถเขียนใหม่ได้เป็น

$$C = I(X_k; Y_k) : X_k \text{ Gaussian } E\{X_k^2\} = P \quad (2.63)$$

ดังนั้นมีเราระบบเสื่อนไหวที่ทำให้ค่าความจุช่องสัญญาณมีค่าสูงสุดแล้ว การคำนวณความจุสูงสุดของช่องสัญญาณอื่น ๆ จึงสามารถทำได้โดยง่าย ขึ้นแรกอาศัยสมการ (2.62)

$$\begin{aligned} C &= I(X_k; Y_k) = h(Y_k) - h(N_k) \\ &= \frac{1}{2} \log_2 (2\pi e(P + \sigma^2)) - \frac{1}{2} \log_2 (2\pi e\sigma^2) \\ &= \frac{1}{2} \log_2 \left(1 + \frac{P}{\sigma^2} \right) \end{aligned} \quad (2.64)$$

สำหรับหน่วยวัดความจุช่องสัญญาณที่คำนวณได้ จะมีหน่วยเดียวกันกับเมื่อ P นั่นคือ เป็นหน่วยที่แสดงถึงจำนวนบิตที่ต้องใช้แทนสัญลักษณ์หนึ่งสัญลักษณ์ หากสัญญาณที่ป้อนเข้าสู่ช่องสัญญาณมีความกว้างແບความถี่เท่ากับ B สัญญาณจะต้องทำการซักตัวอย่างที่อัตราเร็วอย่างน้อย $2B$ ดังนั้นเราสามารถปรับหน่วยความจุช่องสัญญาณให้เป็นหน่วยบิตต่อวินาทีได้ โดยการคูณสมการ (2.64) ด้วย $2B$ ทึ้งสองด้านจะได้ว่า

$$C = B \log_2 \left(1 + \frac{P}{\sigma^2} \right) \quad \text{บิตต่อวินาที} \quad (2.65)$$

เมื่อความกว้างແນບความถี่ที่ใช้มีค่าเท่ากับ B สัญญาณรบกวนເກาส์เชิงจะมีกำลังเท่ากับ $\sigma^2 = N_0 B$ ดังนั้น

$$C = B \log_2 \left(1 + \frac{P}{N_0 B} \right) \quad \text{บิตต่อวินาที} \quad (2.66)$$

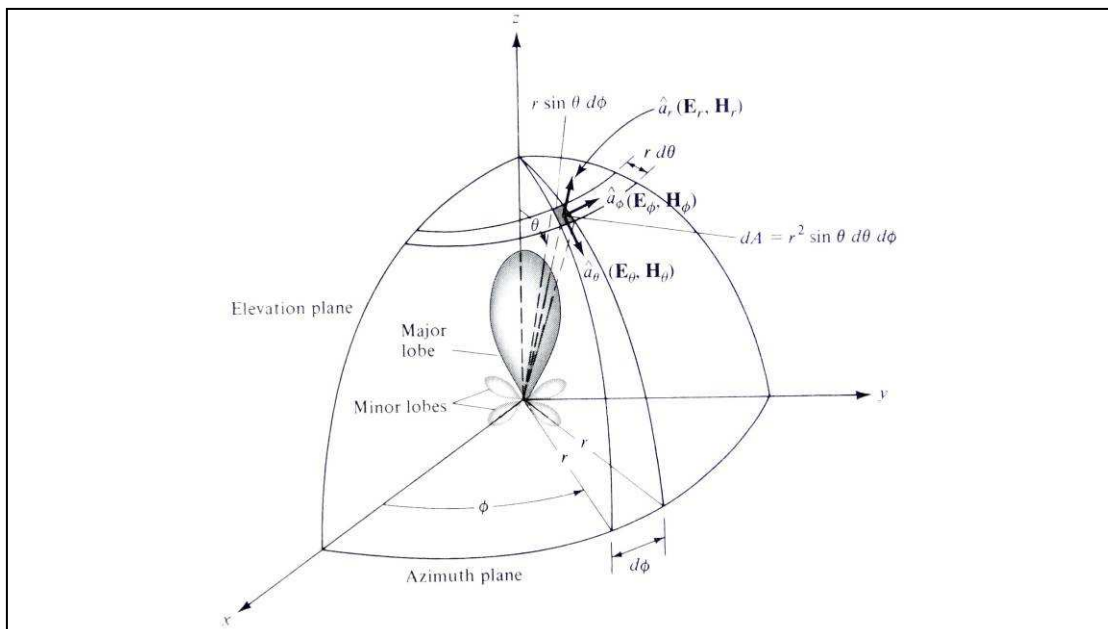
สมการความสัมพันธ์แสดงความจุของช่องสัญญาณที่ได้นี้ มีชื่อเรียกว่า ทฤษฎีบทของแซนนอนและชาร์ดลีย์ (Shannon-Hartley theorem) ทฤษฎีบทของแซนanonและชาร์ดลีย์นี้ มีประโยชน์อย่างมากต่อระบบสื่อสาร เพราะทฤษฎีบทดังกล่าว ระบุให้เราทราบว่า เราสามารถส่งข่าวสารที่อัตราส่งเท่ากับ R_b ผ่านช่องสัญญาณโดยมีความนำจะเป็นของความผิดพลาดที่ต่ำมากได้ ตราบที่ $R_b \leq C$ แต่ทั้งนี้ต้องมีการใช้กรวยวิธีการเข้ารหัสช่องสัญญาณที่ซับซ้อนมากพอก หรือ กล่าวในทางกลับกัน ได้ว่า ถ้าเราส่งข่าวสารผ่านช่องสัญญาณ โดยที่ $R_b > C$ แล้ว เป็นไปไม่ได้ที่จะมีวิธีที่จะเข้ารหัสช่องสัญญาณได้ ที่สามารถช่วยให้ส่งผ่านข่าวสารที่มีความผิดพลาดระดับต่ำมาก สังเกตว่า ทฤษฎีบทของแซนanonและชาร์ดลีย์ กล่าวถึงเฉพาะขอบเขต หรือ ข้อจำกัดของอัตราการส่งข่าวสารเท่านั้น ไม่ได้กล่าวถึงค่าที่แน่นอน หรือขอบเขตความผิดพลาดของการส่งข่าวสารเลย

2.4 ทฤษฎีสายอากาศเบื้องต้น

ในการที่จะจำลองแบบรูปการแผ่กำลังงานของสายอากาศ เราจำเป็นจะต้องทราบเกี่ยวกับศพท์ต่างๆ ที่ใช้ในทฤษฎีสายอากาศ ตลอดจนความหมายของศพท์เหล่านั้น ไว้ก่อน ดังนั้น ในส่วนนี้จะเริ่มแนะนำศพท์ต่างๆ ที่เป็นพื้นฐานสำหรับการประยุกต์ใช้ในการศึกษาวิจัยต่อไป

2.4.1 แบบรูปการแผ่พลังงานของสายอากาศ

แบบรูปการแผ่พลังงานของสายอากาศ (Radiation Pattern) คือ รูปภาพที่ใช้เพื่อแสดงคุณสมบัติการแผ่พลังงานของคลื่น ซึ่งเป็นฟังก์ชันของพิกัดสเปซ (Space Coordinates Function) ของค่าความแรงของสนาม (Field Strength) เฟส (Phase) หรือ โพลาไรเซชัน (Polarization) ซึ่งมีคุณสมบัติเหล่านี้ใช้เพื่อแสดงการแจกแจงรูปของพลังงานเป็นฟังก์ชันของตำแหน่งสามมิติที่สังเกตที่มีรัศมีคงที่



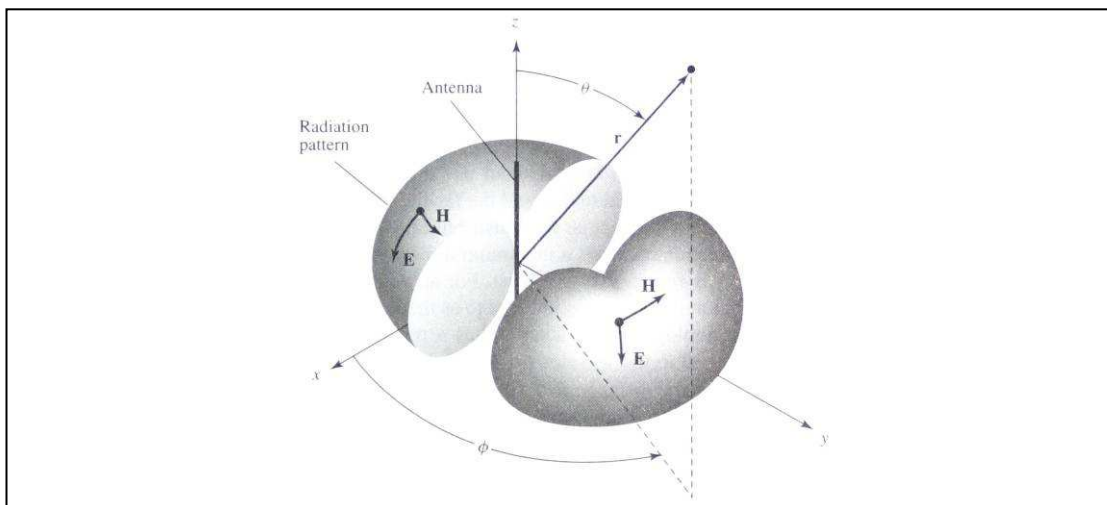
รูปที่ 2.3 ระบบพิกัดที่ใช้แสดงคุณสมบัติของการแผ่พลังงานของคลื่น

สำหรับการใช้สื่อเพื่อแสดงกำลังงานที่สายอากาศรับได้ตามแนวรัศมีที่มีค่าคงที่ มีชื่อเรียกว่า แบบรูปกำลังงาน (Power Pattern) ของสายอากาศ และ กราฟที่แสดงการเปลี่ยนแปลงของสนามแม่เหล็กและสนามไฟฟ้าในทิศทางต่างๆ ที่มีรัศมีคงที่ มีชื่อเรียกว่า แบบรูปสนาม (Field Pattern) ของสายอากาศนั้น

2.4.2 แบบรูปสายอากาศ

ตัวแผ่พลังงานแบบไอโซทรอร์ปิก (Isotropic Radiator) คือ สายอากาศที่ถูกสมมุติขึ้นโดยมีคุณสมบัติของการแผ่พลังงานของคลื่นเท่ากันในทุกทิศทาง ยกตัวอย่างเช่น แหล่งกำเนิดแบบจุด (Point Source) เป็นสายอากาศแบบหนึ่ง ที่ไม่สามารถสร้างจริงได้ แต่มักใช้เพื่อเป็นตัวเปรียบเทียบกับสายอากาศจริงเกี่ยวกับการแสดงคุณสมบัติ แสดงทิศทางของสายอากาศ

สายอากาศแบบมีทิศทาง (Directional Antenna) เป็นสายอากาศซึ่งมีคุณสมบัติของการส่ง หรือรับคลื่นแม่เหล็กไฟฟ้าได้ดีในเฉพาะทิศทางที่กำหนดเท่านั้น ตัวอย่างของสายอากาศที่มีคุณสมบัติคล้ายกันคือ สายอากาศแบบรอบทิศทางในระนาบเดียว (Omni-directional Antenna) คุณสมบัติของสายอากาศแบบนี้ มีดังแสดงในรูปที่ 2.4

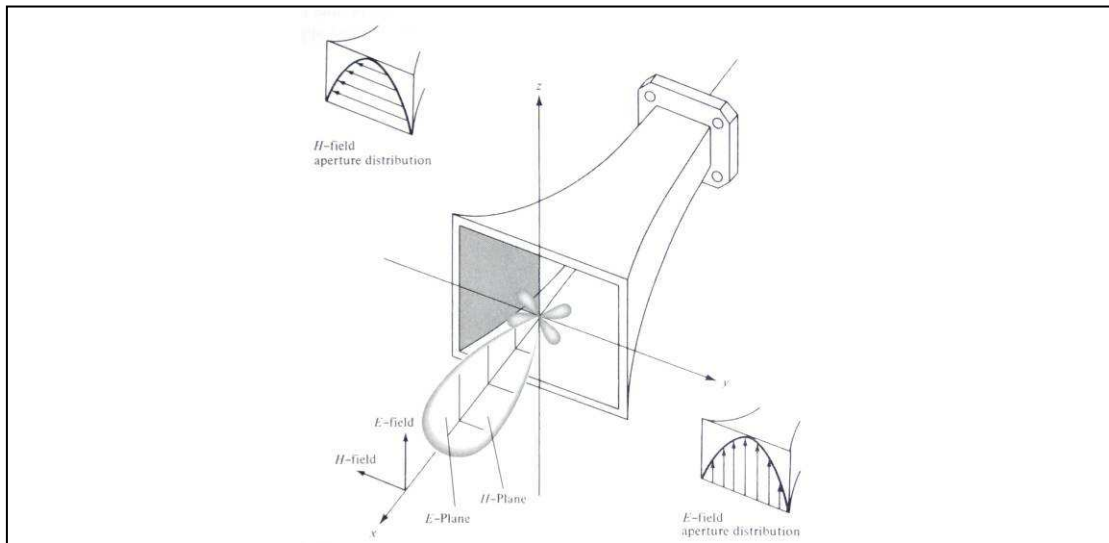


รูปที่ 2.4 แบบรูปของสายอากาศแบบรอบทิศทางในระนาบเดียว

จากรูปจะเห็นได้ว่าแบบรูปการแผ่พลังงานของสายอากาศแบบนี้ ไม่มีทิศทางในระนาบแนวราบ (Azimuth Plane) $[f(\phi), \theta = \pi/2]$ แต่เป็นแบบทิศทางในระนาบแนวตั้ง (Elevation Plane) $[\theta = 0, \phi = \text{ค่าคงที่}]$ แบบรูปสายอากาศแบบรอบทิศทางในระนาบเดียวนี้ เป็นกรณีพิเศษของแบบรูปสายอากาศแบบมีทิศทาง

2.4.3 แบบรูปการแผ่กระจายคลื่นหลัก

เราจะอธิบายคุณสมบัติของสายอากาศในเทอมของแบบรูปการแผ่กระจายคลื่นหลัก (Principal Pattern) ของสนามไฟฟ้า และสนามแม่เหล็ก สำหรับสายอากาศโพลาไรเซชันเส้น (Linearly Polarization) แบบรูปการแผ่กระจายคลื่นในระนาบ E จะเป็นระนาบที่บรรจุเวกเตอร์สนามไฟฟ้า และ ทิศทางของการแผ่พลังงานของคลื่นที่แรงที่สุด ส่วนแบบรูปการแผ่กระจายคลื่นในระนาบ H จะเป็นระนาบที่บรรจุเวกเตอร์สนามแม่เหล็ก และ ทิศทางของการแผ่พลังงานของคลื่นที่แรงที่สุด ตัวอย่างการแสดงแบบรูปการแผ่กระจายคลื่นหลัก มีดังแสดงในรูปที่ 2.5 โดยมีระนาบ XZ (ระนาบแนวราบ ; $\theta = \pi/2$) เป็นระนาบ E หลัก



รูปที่ 2.5 แบบรูปการแผ่กระจายคลื่นหลัก ระนาบ E และ H ของสายอากาศปักแตะ

2.4.4 พุของ การแผ่พลังงาน

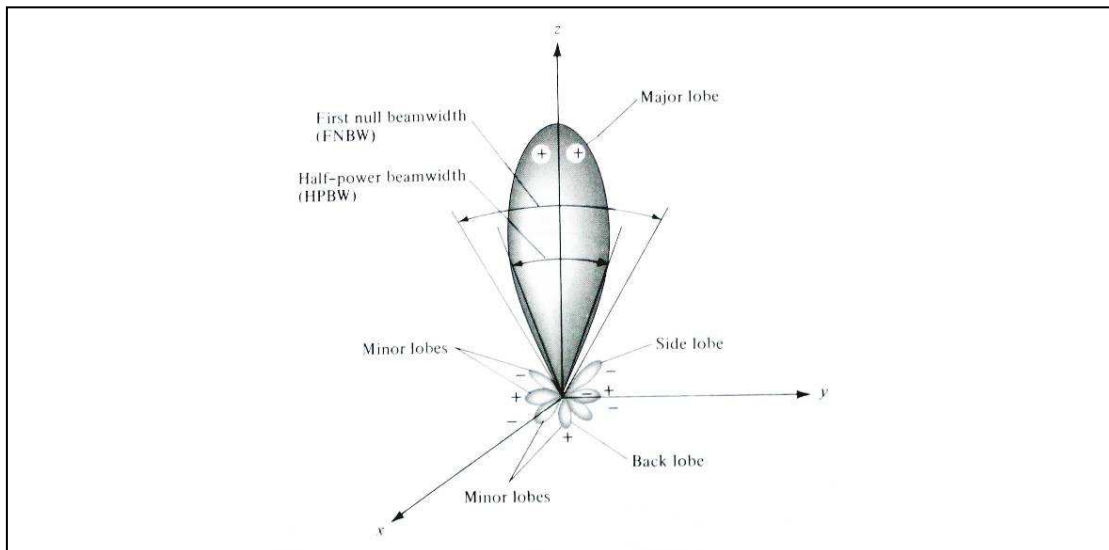
พุของการแผ่พลังงาน (Radiation Lobe) เป็นส่วนหนึ่งของการแผ่พลังงานของคลื่นที่เกิดขึ้นเป็นบริเวณ โดยการปิดล้อมของส่วนที่มีความเข้มของการแผ่พลังงานของคลื่นต่ำ รูปที่ 2.6 ก แสดงแบบรูปการแผ่พลังงานแบบเชิงข้าว (Polar Pattern) แบบสามมิติ ซึ่งแบ่งเป็นพุต่างๆดังนี้

พุหลัก (Major Lobe หรือ Main Lobe) เป็นพุของการแผ่พลังงานของคลื่นซึ่งอยู่ในทิศทางที่มีการแผ่พลังงานของคลื่นแรงที่สุด ตามรูปที่ 2.6 ก มีพุหลักอยู่ในทิศทาง $\theta = 0$ สำหรับสายอากาศบางชนิด อาจมีพุหลักมากกว่า 1 พุ เช่น สายอากาศแยกลำคลื่น (Beam Antenna)

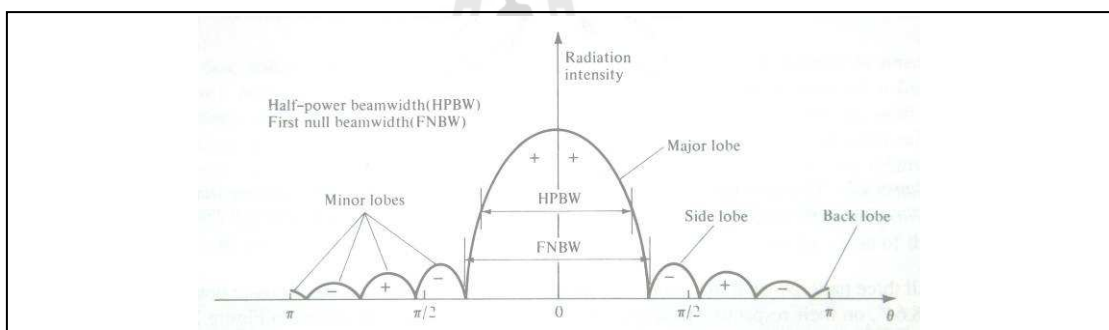
พุคลื่นเล็ก (Minor Lobe) ได้แก่พุอื่นๆนอกเหนือไปจากพุหลัก

พุข้าง (Side Lobe) เป็นพุคลื่นเล็กที่อยู่ติดกับพุหลัก และอยู่ในทิศทางบนครึ่งวงกลมซึ่กเดียวกับพุหลัก

พุหลัง (Back Lobe) เป็นพุคลื่นเล็กที่อยู่ในครึ่งวงกลมตรงข้ามกับพุหลัก ปกติแล้วพุคลื่นเล็กจะเกิดจากการแผ่พลังงานของคลื่นในทิศทางที่ไม่ต้องการ ดังนั้นสำหรับสายอากาศที่ต้องกำจัดพุเหล่านี้ให้น้อยที่สุด ระดับของพุคลื่นเล็ก มากแสดงเป็นอัตราส่วนของความหนาแน่นของพลังงานในพุที่กำลังคิดต่อความหนาแน่นของพลังงานในพุหลัก ซึ่งเรียกว่า อัตราส่วนของพุข้าง (Side Lobe Ratio) หรือ ระดับของพุข้าง (Side Lobe Level ; SLL) ในทางปฏิบัติโดยทั่วไปนั้น มักจะต้องการให้ระดับของพุข้างน้อยกว่า -20 dB



ก) พุต่างๆ และ ความกว้างลำของแบบรูปการแผ่กระจายคลื่นของสายอากาศ



ข) แบบรูปการแผ่กระจายคลื่นในแบบเชิงเส้น

รูปที่ 2.6 แบบรูปการแผ่กระจายคลื่นของสายอากาศ

2.4.5 บริเวณต่างๆ ของสนามจากสายอากาศ

โดยทั่วไปมักจะแบ่งบริเวณที่ล้อมรอบสายอากาศออกเป็น 3 ส่วน คือ บริเวณสนามไกลัชนิคิรีแอคทีฟ (Reactive Near-field Region) บริเวณแผ่พลังงานสนามไกลี (Radiating Near-field Region) และ บริเวณแผ่พลังงานสนามไกล (Far Field Region) ดังแสดงในรูปที่ 2.7

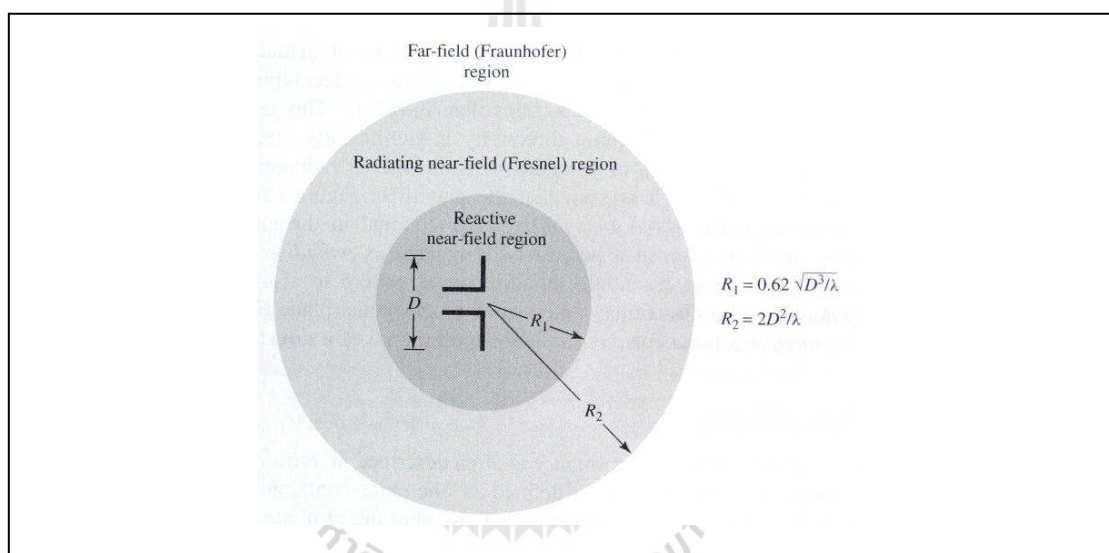
บริเวณสนามไกลัชนิคิรีแอคทีฟ เป็นบริเวณสนามที่ล้อมรอบไกล้ำสายอากาศมากที่สุด และ มีสนามเป็นชนิดรีแอคทีฟเป็นส่วนใหญ่ บริเวณนี้จะมีระยะทาง $R < 0.62\sqrt{D^3/\lambda}$ จากผิวของสายอากาศ เมื่อ λ เป็นความยาวคลื่น และ D เป็นมิติที่ยาวที่สุดของสายอากาศ

บริเวณแผ่พลังงานสนามไกลี เป็นบริเวณสนามของสายอากาศที่อยู่ระหว่างบริเวณสนามไกลัชนิคิรีแอคทีฟ กับบริเวณแผ่พลังงานสนามไกล โดยมีสนามที่กระจายอยู่เป็นส่วนใหญ่

และ การกระจายของสนามตามมุมต่างๆนั้น แบร์พันตามระยะทางจากสายอากาศ เมื่อสายอากาศมีขนาดเล็กเมื่อเทียบกับความยาวคลื่น สนามในบริเวณนี้อาจไม่เกิดขึ้น ในบริเวณนี้จะมีระยะทาง $0.62\sqrt{D^3/\lambda} < R < 2D^2/\lambda$

บริเวณแพร์เพลิงงานสนามไกล เป็นบริเวณสนามของสายอากาศซึ่งการแพร์เพลิงงานของสนามของสายอากาศตามมุมต่างๆไม่ขึ้นกับระยะทางของสายอากาศ ถ้าสายอากาศมีมิติใหญ่สุดเท่ากับ D บริเวณแพร์เพลิงงานสนามไกล จะเกิดขึ้นที่ระยะทาง $R > 2D^2/\lambda$ จากสายอากาศ

ในบริเวณนี้ สนามจะมีลักษณะเป็น สนามตามหาง (Transverse Field) และการแพร์เพลิงงานของสนามตามมุมต่างๆไม่ขึ้นกับระยะทาง โดยขอบในของบริเวณดังกล่าวมีค่า $R = 2D^2/\lambda$ และ ขอบนอกเป็นอนันต์



รูปที่ 2.7 การแบ่งบริเวณของสนามจากสายอากาศ

2.4.6 เรเดียนและสเตอเรเดียน

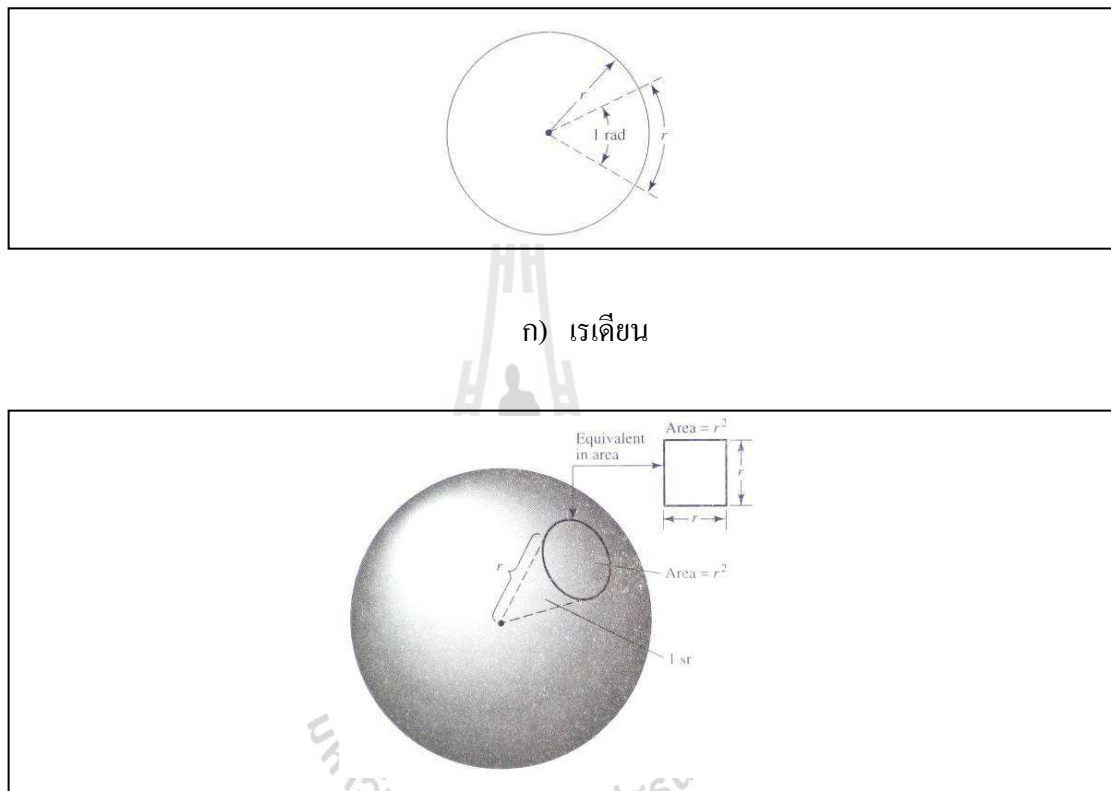
การวัดมุมบนระนาบจะมีหน่วยเป็นเรเดียน หนึ่งเรเดียนเป็นมุมบนระนาบ ซึ่งยอดของมันอยู่ที่จุดศูนย์กลางของวงกลมที่มีรัศมี r และถูกปิดด้วยส่วนของเส้นรอบวง ซึ่งยาว r ดังแสดงในรูปที่ 2.8ก เนื่องจากเส้นรอบวงที่มีรัศมี r มีความยาว $C = 2\pi r$ ดังนั้นบนหนึ่งรอบของวงกลมจะมี 2π เรเดียน ($2\pi r/r$)

การวัดมุมตัน (Solid Angle) มีหน่วยเป็นสเตอเรเดียน (sr) หนึ่งสเตอเรเดียนเป็นมุมตันที่มียอดอยู่ที่จุดศูนย์กลางของวงกลมที่มีรัศมี r ดังแสดงในรูปที่ 2.8ข เนื่องจากพื้นที่ผิวของทรงกลมรัศมี r มีค่าเท่ากับ $4\pi r^2$ ดังนั้นต่อกลอมจะมี 4π สเตอเรเดียน ($4\pi r^2/r^2$) ตามรูปที่ 2.8ข พื้นที่บนด้วย dA บนผิวของทรงกลมรัศมี r จะคำนวณได้เป็น

$$dA = r^2 \sin \theta \, d\theta \, d\phi \quad (\text{m}^2) \quad (2.67)$$

ดังนั้นองค์ประกอบของมุมตัน $d\Omega$ ของทรงกลมเขียวได้เป็น

$$d\Omega = dA / r^2 = \sin \theta \, d\theta \, d\phi \quad (\text{sr}) \quad (2.68)$$



รูปที่ 2.8 แสดงคำจำกัดความของเรเดียน และ สเตอเรเดียน

2.4.7 ความกว้างลำครึงกำลัง

ความกว้างลำครึงกำลัง (Half – Power Beamwidth: HPBW) เป็นมุมที่วัดระหว่างจุดที่มีความเข้มของการแผ่พลังงานของคลื่นในพุหลัก มีค่าเป็นครึ่งหนึ่งของค่าสูงสุด 2 จุด ดังแสดงในรูปที่ 2.6 เพื่อความสะดวกต่อไปจะใช้คำย่อ HPBW แทน

2.4.8 ความหนาแน่นของการแผ่กำลังงานของคลื่น

เนื่องจากสนามแม่เหล็กไฟฟ้าที่ใช้ในการส่งข่าวสารผ่านตัวกลาง ถูกกำหนดให้มีความสัมพันธ์กับพลังงานและกำลังงานไฟฟ้า โดยความสัมพันธ์ดังกล่าวได้แก่ พอยติงเวคเตอร์ชั่วขณะเวลา (Instantaneous Vector) ซึ่งมีสมการแสดงความสัมพันธ์ดังนี้ คือ

$$\mathcal{W} = \mathcal{E} \times \mathcal{H} \quad (2.69)$$

เมื่อ \mathcal{W} = พอยติงเวคเตอร์ชั่วขณะะเวลา $\ddot{\text{z}}$ (W/m²)

\mathcal{E} = ความเข้มสนามไฟฟ้าชั่วขณะะเวลา $\ddot{\text{z}}$ (V/m)

\mathcal{H} = ความเข้มสนามแม่เหล็กชั่วขณะะเวลา $\ddot{\text{z}}$ (A/m)

เนื่องจากพอยติงเวคเตอร์ มีความหมายแสดงถึงความหนาแน่นของกำลังงาน ดังนั้น กำลังงานทั้งหมดที่พุ่งตัดผ่านพื้นผิวปิดจะสามารถหาได้ โดยอินทิเกรทส่วนของพอยติงเวคเตอร์ ที่ตั้งฉากกับพื้นที่ทั้งหมด

$$\mathcal{P} = \iint_S \mathcal{W} \cdot ds = \iint_S \mathcal{W} \cdot \hat{n} da \quad (2.70)$$

เมื่อ \mathcal{P} = กำลังงานทั้งหมดซึ่งขณะะเวลา $\ddot{\text{z}}$ (W)

da = พื้นที่ส่วนย่อยๆ บนพื้นที่ปิด (m²)

ในกรณีของสนามที่เปลี่ยนไปเรื่อยๆ ของความหนาแน่นของกำลังงาน ได้โดยการอินทิเกรทค่าพอยติงเวคเตอร์ชั่วขณะะเวลา $\ddot{\text{z}}$ ตลอด 1 คาบ แล้วหารด้วยความเวลา $\ddot{\text{z}}$ สำหรับสนามที่เปลี่ยนไปเรื่อยๆ ของความหนาแน่นของกำลังงานที่เป็นชุด ให้ \bar{E} และ \bar{H} เป็นสนามไฟฟ้าและสนามแม่เหล็กซึ่งซ้อน叠กัน จะหาความสัมพันธ์กับค่า \mathcal{E} และ \mathcal{H} ชั่วขณะะเวลาได้จาก

$$\mathcal{E}(x, y, z; t) = \operatorname{Re}[\bar{E}(x, y, z)e^{j\omega t}] \quad (2.71)$$

$$\mathcal{H}(x, y, z; t) = \operatorname{Re}[\bar{H}(x, y, z)e^{j\omega t}] \quad (2.72)$$

จาก (2.71), (2.72) และ โดยอาศัย $\operatorname{Re}[\bar{E}(x, y, z)e^{j\omega t}] = 1/2 [\bar{E}e^{j\omega t} + \bar{E}^*e^{-j\omega t}]$ สมการ (2.69) จะสามารถเขียนได้ใหม่ดังนี้

$$\mathcal{W} = \mathcal{E} \times \mathcal{H} = \frac{1}{2} \operatorname{Re} [\bar{E} \times \bar{H}^*] + \frac{1}{2} \operatorname{Re} [\bar{E} \times \bar{H} e^{j2\omega t}] \quad (2.73)$$

เทอมแรกของ (2.73) ไม่เป็นพงกชันของเวลา และ เทอมที่สองมีการเปลี่ยนแปลงตามเวลาเป็นสองเท่าของความถี่ที่กำหนดให้ ดังนั้นค่าเฉลี่ยของพอยติงเวคเตอร์จึงสามารถที่จะหาได้เป็น

$$W_{av}(x, y, z) = [\mathcal{W}(x, y, z; t)]_{av} = \frac{1}{2} \operatorname{Re} [\bar{E} \times \bar{H}^*] \quad (2.74)$$

ตัวประกอบ $1/2$ ใน (2.73) และ (2.74) เกิดขึ้น เพราะสนาม \bar{E} และ \bar{H} เป็นค่าสูงสุดไม่ใช่ค่า RMS จาก (2.74) กำลังงานเฉลี่ยที่ออกจากสายอากาศ จะเป็นได้เป็น

$$\begin{aligned} P_{\text{rad}} &= P_{\text{av}} = \iint_s \mathbf{W}_{\text{rad}} \cdot d\mathbf{s} = \iint_s \mathbf{W}_{\text{rad}} \cdot \hat{n} da \\ &= \frac{1}{2} \iint_s \text{Re}(\bar{E} \times \bar{H}^*) \cdot d\mathbf{s} \end{aligned} \quad (2.75)$$

2.4.9 ความเข้มของการแผ่พลังงาน

คำจำกัดความของคำว่าความเข้มของการแผ่พลังงาน (Radiation Intensity) ในทิศทางที่กำหนดให้ คือ กำลังงานที่แผ่ออกจากสายอากาศต่อหน่วยมุมตัน ความเข้มของการแผ่พลังงานของคลื่นเป็นพารามิเตอร์ที่สำคัญอย่างหนึ่งในการแสดงคุณสมบัติของสายอากาศ เกี่ยวกับบริเวณแผ่พลังงานสนามไฟฟ้า ความเข้มของการแผ่พลังงานของคลื่น สามารถหาได้จากผลคูณของความหนาแน่นของการแผ่พลังงานของคลื่น และผลจากการกำลังสองของระยะทาง ซึ่งเป็นสมการได้ดังต่อไปนี้

$$U = r^2 W_{\text{rad}} \quad (2.76)$$

เมื่อ U = ความเข้มของการแผ่พลังงานของคลื่น ($\text{W} / \text{หน่วยมุมตัน}$)

W_{rad} = ความหนาแน่นของการแผ่พลังงานของคลื่น (W/m^2)

ความเข้มของการแผ่พลังงานของคลื่น ถ้าจะเป็นแสดงความสัมพันธ์กับสนามไฟฟ้าของสายอากาศในบริเวณแผ่พลังงานสนามไฟฟ้าได้ คือ

$$\begin{aligned} U(\theta, \phi) &= \frac{r^2}{2\eta} |\bar{E}(r, \theta, \phi)|^2 \\ &\approx \frac{r^2}{2\eta} \left[|E_\theta(r, \theta, \phi)|^2 + |E_\phi(r, \theta, \phi)|^2 \right] \\ &\approx \frac{1}{2\eta} \left[|E_\theta^\circ(\theta, \phi)|^2 + |E_\phi^\circ(\theta, \phi)|^2 \right] \end{aligned} \quad (2.77)$$

เมื่อ $\bar{E}(r, \theta, \phi)$ = ความเข้มของสนามไฟฟ้าของสายอากาศในระยะไฟฟ้า

E_θ, E_ϕ = ส่วนประกอบของสนามไฟฟ้าของสายอากาศในระยะไฟฟ้า

η = อินทรินซิกอิมпедานซ์ (intrinsic impedance) ของตัวกลาง

ดังนั้นแบบรูปของกำลังงานก็ใช้เพื่อแสดง ถึงความเข้มของการแผ่พลังงานของคลื่น ได้เช่นกัน กำลังงานทั้งหมดคือหาได้โดย อินทิเกรตความเข้มข้นของการแผ่พลังงานของคลื่น ตาม สมการ (2.77) ตลอดจนต้นทั้งหมด ซึ่งจะได้

$$P_{rad} = \iint_{\Omega} U d\Omega = \int_0^{2\pi} \int_0^{\pi} U \sin \theta d\theta d\phi \quad (2.78)$$

ในการนี้ของแหล่งกำเนิดแบบจุด U จะไม่มีขึ้นอยู่กับค่ามุม θ และ ϕ ดังนั้น

$$\begin{aligned} P_{rad} &= \iint_{\Omega} U_0 d\Omega \\ &= U_0 \int_0^{2\pi} \int_0^{\pi} d\theta d\phi \\ &= 4\pi U_0 \end{aligned} \quad (2.79)$$

เมื่อหาความเข้มข้นของการแผ่พลังงานของคลื่นของแหล่งกำเนิดแบบจุด

$$U = \frac{P_{rad}}{4\pi} \quad (2.80)$$

2.4.10 สภาพเฉพาะจังทิศทาง

เพื่อที่จะเข้าใจถึงคำว่าสภาพเฉพาะจังทิศทาง (Directivity) เราจำเป็นที่จะต้องรู้จัก ไดเรคทิฟเกน (Directive Gain) ก่อน ไดเรคทิฟเกนในทิศทางที่กำหนด คืออัตราส่วนของความเข้ม ของการแผ่พลังงานของคลื่นในทิศทางนั้นต่อความเข้มข้นของการแผ่พลังงานของคลื่นของ สายอากาศ ซึ่งใช้สำหรับอ้างอิง ซึ่งปกติสายอากาศสำหรับใช้อ้างอิงนี้ จะใช้แหล่งกำเนิดแบบจุด ชนิดไอโซทรอปิก(Isotropic Point Source)

สภาพเฉพาะจังทิศทาง คือค่าของ ไดเรคทิฟเกน ในทิศทางที่มีค่ามากที่สุด หรือกล่าว ง่ายๆ ว่าสภาพเฉพาะจังทิศทางของต้นกำเนิด (สายอากาศ) ที่ไม่เป็นแบบไอโซทรอปิก คือ อัตราส่วน ของความเข้มข้นของการแผ่พลังงานของคลื่นที่มากที่สุด ต่อความเข้มข้นของการแผ่กระจายของ แหล่งกำเนิดแบบจุดชนิดไอโซทรอปิก เนียนเป็นสมการ ได้ว่า

$$D_g = \frac{U}{U_0} = \frac{4\pi U}{P_{rad}} \quad (2.81)$$

$$D_{max} = D_0 = \frac{U|_{max}}{U_0} = \frac{U_{max}}{U_0} = \frac{4\pi U_{max}}{P_{rad}} \quad (2.82)$$

D_g = ไครอคทีฟเกน (ไม่มีหน่วย)
 D_0 = สภาพเฉพาะจงทิศทาง (ไม่มีหน่วย)
 U = ความเข้มข้นของการแผ่พลังงานของคลื่น (W/หน่วยมุ่งตัน)
 U_{\max} = ค่าสูงสุดของความเข้มข้นของการแผ่พลังงานของคลื่น (W/หน่วยมุ่งตัน)
 U_0 = ความเข้มข้นของการแผ่พลังงานของคลื่นของแหล่งกำเนิดแบบจุดชนิด ไอโซ โทรปิก (W/หน่วยมุ่งตัน)

$$P_{rad} = \text{กำลังงานที่แพร์กระจายทั้งหมด (W)}$$

จาก (2.81) และ (2.82) เราจะทราบว่า ไครอคทีฟเกนและสภาพเฉพาะจงทิศทางของแหล่งกำเนิดแบบจุดชนิด ไอโซ โทรปิกมีค่าเป็นหนึ่ง ทั้งนี้ เพราะ U , U_{\max} และ U_0 ต่างมีค่าเท่ากัน

สภาพเฉพาะจงทิศทางของแหล่งกำเนิดแบบจุดชนิด ไอโซ โทรปิก ค่าเท่ากับหนึ่ง เพราะว่ามันแผ่กำลังงานออกไปในทุกทิศทางด้วยค่าที่เท่ากัน แต่สำหรับต้นกำเนิด (สายอากาศ) แบบอื่นๆ นั้นย่อมมีสภาพเฉพาะจงทิศทางมากกว่าหนึ่งเสมอ

ข้อสรุปอีกอย่างหนึ่งในที่นี้ก็คือ ค่าของ ไครอคทีฟเกนจะมากกว่าหรือเท่ากับศูนย์ และ น้อยกว่าหรือเท่ากับสภาพเฉพาะจงทิศทาง ($0 \leq D_g \leq D_0$)

โดยทั่วไปสมการของ ไครอคทีฟเกนและสภาพเฉพาะจงทิศทาง อาจจะเป็นฟังก์ชันของ ทั้งมุม θ และ ϕ ด้วย (ที่แล้วมานะส่วนใหญ่ฟังก์ชันของมุม θ เท่านั้น)

ต่อไปลองสมมุติให้ความเข้มข้นของการแผ่พลังงานของคลื่นอยู่ในลักษณะ ดังต่อไปนี้คือ

$$U = B_0 F(\theta, \phi) \approx \frac{1}{2\eta} \left[|E_\theta(\theta, \phi)|^2 + |E_\phi(\theta, \phi)|^2 \right] \quad (2.83)$$

เมื่อ B_0 เป็นค่าคงที่ E_θ และ E_ϕ เป็นส่วนประกอบของสนามไฟฟ้าที่ระยะไกล ค่าสูงสุดของ สมการที่ (2.83) หาได้คือ

$$U_{\max} = B_0 F(\theta, \phi) \Big|_{\max} = B_0 F(\theta, \phi)_{\max} \quad (2.84)$$

กำลังที่แผ่ทั้งหมด ได้จาก

$$\begin{aligned}
 P_{rad} &= \iint_{\Omega} U d\Omega \\
 &= B_0 \int_0^{2\pi} \int_0^{\pi} F(\theta, \phi) \sin^2 \theta d\theta d\phi
 \end{aligned} \tag{2.85}$$

ดังนั้นจะได้สูตรทั่วไปของไครเรคทิฟเกนและสภาพเจาะจงทิศทางเป็นดังนี้ คือ

$$D_g(\theta, \phi) = \frac{4\pi F(\theta, \phi)}{\int_0^{2\pi} \int_0^{\pi} F(\theta, \phi) \sin^2 \theta d\theta d\phi} \tag{2.86}$$

$$D_0(\theta, \phi) = \frac{4\pi F(\theta, \phi)|_{\max}}{\int_0^{2\pi} \int_0^{\pi} F(\theta, \phi) \sin^2 \theta d\theta d\phi} \tag{2.87}$$

หรือเขียน (2.87) ใหม่ได้เป็น

$$\begin{aligned}
 D_0(\theta, \phi) &= \frac{4\pi}{\left(\frac{\int_0^{2\pi} \int_0^{\pi} F(\theta, \phi) \sin^2 \theta d\theta d\phi}{F(\theta, \phi)|_{\max}} \right)} \\
 &= \frac{4\pi}{\Omega_A}
 \end{aligned} \tag{2.88}$$

เมื่อ Ω_A เป็นมุมตันของลำคลื่น (Beam) ซึ่งหาได้จาก

$$\Omega_A = \frac{1}{F(\theta, \phi)|_{\max}} \int_0^{2\pi} \int_0^{\pi} F(\theta, \phi) \sin^2 \theta d\theta d\phi \tag{2.89}$$

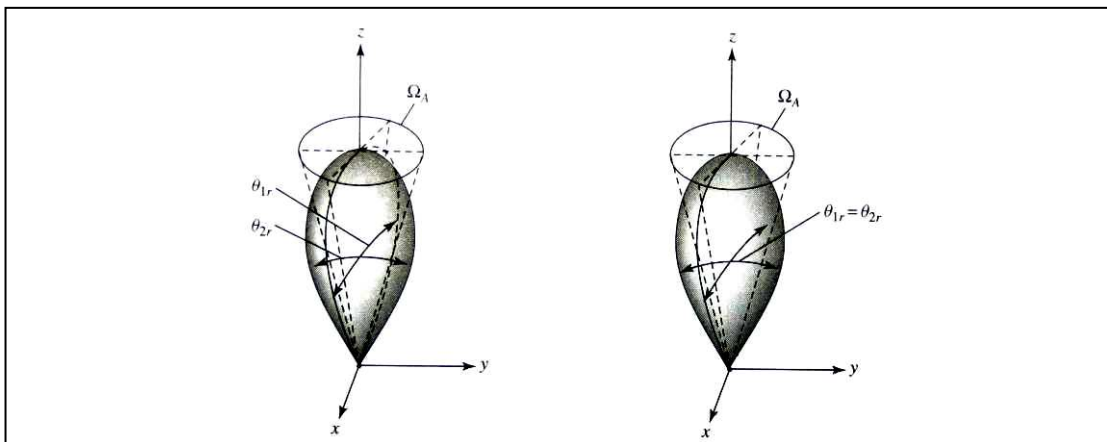
$$= \int_0^{2\pi} \int_0^{\pi} F_n(\theta, \phi) \sin^2 \theta d\theta d\phi$$

$$F_n(\theta, \phi) = \frac{F(\theta, \phi)}{F(\theta, \phi)|_{\max}} \tag{2.90}$$

$F(\theta, \phi)|_{\max}$ นำมาหารในสมการ (2.90) เพื่อทำให้เป็นบรรทัดฐาน (Normalize) ความเข้มข้นของ การแผ่พลังงานของคลื่น $F(\theta, \phi)$ ให้มีค่าสูงสุดเป็นหนึ่ง

มุนตันของลำคลื่น Ω_A มีคำจำกัดความว่า คือ มุนตันซึ่งกำลังงานทั้งหมดของสายอากาศจะ ให้ผ่านเมื่อความเข้มของการแผลงงานของคลื่นมีค่าคงที่ (และมีค่าเท่ากับค่าสูงสุดของ U) ที่ทุกมุมภายใน Ω_A

สายอากาศซึ่งมีพูหลักแบบๆ เพียงพูเดียว และมีพูคลื่นเล็กที่มีขนาดเล็กจนสามารถตัดทิ้งได้ มุนตันของลำคลื่นจะมีค่าประมาณเท่ากับผลคูณของ HPBW ในสองระบบ ซึ่งตั้งจาก ดังแสดงในรูปที่ 2.9ก สำหรับแบบรูปของสายอากาศที่หมุนแล้วสมมาตรกันโดยรอบ HPBW ในระบบใดๆ จะเท่ากัน ดังแสดงในรูปที่ 2.9ข



ก) แบบรูปการแผลงงานแบบไม่สมมาตร
รูปที่ 2.9 มุนตันของลำคลื่นซึ่งแบบรูปของการแผลงงานของคลื่นที่ไม่สมมาตรและสมมาตร

โดยอาศัยการประมาณนี้ สมการที่ (2.88) จะเขียนได้ใหม่เป็นดังต่อไปนี้

$$D_0 = \frac{4\pi}{\Omega_A} = \frac{4\pi}{\Theta_{1r}\Theta_{2r}} \quad (2.91)$$

มุนตันของลำคลื่น Ω_A ประมาณได้จาก

$$\Omega_A = \Theta_{1r}\Theta_{2r} \quad (2.92)$$

เมื่อรู้ความกว้างลำเป็นองศา สมการที่ (2.91) จะดัดแปลงให้เหมาะสมที่จะแทนค่าความกว้างลำนั้น โดยตรงได้เป็น

$$D_0 = \frac{4\pi \left(\frac{180}{\pi} \right)^2}{\Theta_{1r} \Theta_{2r}} = \frac{41253}{\Theta_{1r} \Theta_{2r}} \quad (2.93)$$

สำหรับแคร์ด้าบระนาบ (Planar Array) จะประมาณสมการ (2.23) ได้เป็นดังนี้ คือ

$$D_0 \approx \frac{32400}{\Omega_A^2} = \frac{41253}{\Theta_{1d} \Theta_{2d}} \quad (2.94)$$

สมการที่ (2.93) และ (2.94) จะใช้ได้ผลดี เมื่อแบบรูปการแผ่พลังงานมีเพียงพุหลักษณะเดียว และพุคลื่นเล็กจะต้องมีขนาดเล็กมากๆ เท่านั้น สำหรับแบบรูปการแผ่พลังงานซึ่งมีสองพุหลักที่เหมือนกันค่าของสภาระเจาะจงทิศทางที่จากสมการที่ (2.91) หรือ (2.92) โดยที่ตัวพุคลื่นเล็กที่มีระดับสูง การหาสภาระเจาะจงทิศทางโดยใช้สมการที่ (2.91) หรือ (2.92) ซึ่งตัดพุคลื่นเล็กทิ้ง จะมีค่าสูงเกินความจริง

โดยปกติเรามักจะแสดงโดยเรคทิฟเกนและสภาระเจาะจงทิศทางเป็นเดซิเบล (dB)

$$D_g (dB) = 10 \log_{10} [D_g] \quad (2.95)$$

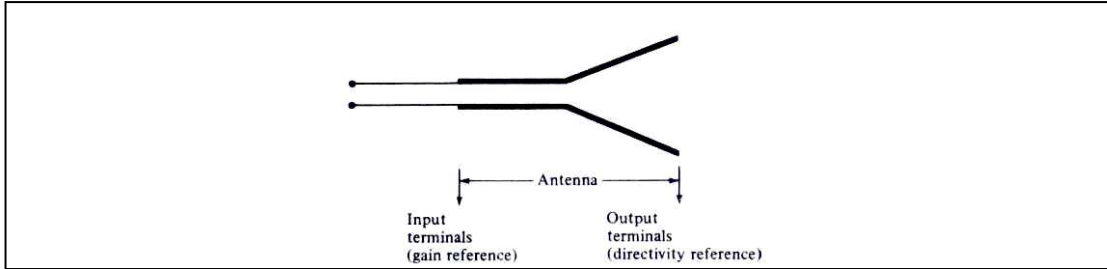
$$D_0 (dB) = 10 \log_{10} [D_0] \quad (2.96)$$

2.4.11 อัตราขยายของสายอากาศ

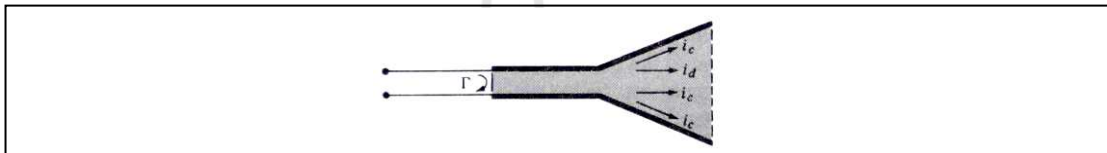
สิ่งที่แสดงคุณสมบัติของสายอากาศอีกอย่างหนึ่งก็คือ อัตราขยาย (Gain) ของสายอากาศ อัตราขยายเป็นความสัมพันธ์ได้มาจากสภาระเจาะจงทิศทาง โดยรวมประสิทธิภาพของสายอากาศเข้ามาด้วย ในขณะที่สภาระเจาะจงทิศทาง อธิบายคุณสมบัติ ในการซึ่งทิศทางของสายอากาศเท่านั้น

อัตราขยายกำลังงาน (Power Gain) ของสายอากาศ ในทิศทางที่กำหนดให้นั้น มีค่าเท่ากับ 4π คูณกับอัตราส่วนของความเข้มข้นของการแผ่พลังงานของคลื่น ในทิศทางนั้น ต่อกำลังงานสุทธิที่สายอากาศ ที่รับจากขั้วต่อของเครื่องส่ง เมื่อไม่ได้กำหนดทิศทางไว้โดยเฉพาะ โดยทั่วไปแล้ว เราจะคิดอัตราขยายกำลังงานในทิศทางที่มีการแผ่พลังงานของคลื่นแรงที่สุด ดังนั้น อัตราขยายจะเท่ากับ 4π คูณความเข้มข้นของการแผ่พลังงานของคลื่น หารด้วยกำลังงานทั้งหมด ที่ป้อนให้สายอากาศ เขียนได้เป็น

$$G_g = \frac{4\pi U(\theta, \phi)}{P_{in}} \quad (2.97)$$



ก) ข้าวอ้างอิงของสายอากาศ



ข) การสูญเสียจากการสะท้อนตัวนำ และไดอะล็อกตริก
รูปที่ 2.10 ข้าวอ้างอิง และการสูญเสียของสายอากาศ

โดยทั่วไปแล้วเรามักจะพูดถึงอัตราขยายสัมพัทธ์ ซึ่งเป็นอัตราส่วนของอัตราขยายกำลังงานในทิศทางที่กำหนดให้ต่อกำลังงานของสายอากาศที่ใช้เปรียบเทียบในทิศทางนั้น เมื่อกำลังงานที่ป้อนเข้าสายอากาศทั้งสองนั้น ต้องเท่ากัน สายอากาศที่ใช้เปรียบเทียบ อาจเป็น สายอากาศไดโอด สายอากาศภาคแทร หรือสายอากาศอื่นๆ ซึ่งคำนวณอัตราขยายได้ง่าย หรือรู้ค่าอยู่แล้ว แต่อย่างไรก็ตาม โดยส่วนใหญ่สายอากาศที่ใช้เปรียบเทียบจะเป็นแหล่งกำเนิดแบบจุดชนิด ไอโซทรอนิกที่ไม่มีการสูญเสีย ดังนั้น

$$G_g = \frac{4\pi U(\theta, \phi)}{P_{in} (\text{Lossless Isotropic Source})} \quad (2.98)$$

จากรูปที่ 2.10 ก เราสามารถเขียนได้ว่า กำลังงานที่แพร์กระจายทั้งหมด (P_{rad}) สัมพันธ์กับกำลังงานที่ป้อนให้สายอากาศ (P_{in}) ด้วย

$$P_{rad} = e_{cd} P_{in} \quad (2.99)$$

เมื่อ e_{cd} เป็นประสิทธิภาพรวมของสายอากาศ (ไม่มีหน่วย) ใช้สมการ (2.99) จะทำให้สมการ (2.98) มีความสัมพันธ์ง่ายเข้าเป็น

$$G_g(\theta, \phi) = e_{cd} \left[\frac{4\pi U(\theta, \phi)}{P_{rad}} \right] \quad (2.100)$$

(2.34)

ซึ่งสัมพันธ์กับ ไดเรคทีฟเกนในสมการ (2.20)

$$G_g(\theta, \phi) = e_{cd} D_g(\theta, \phi) \quad (2.101)$$

ในทำนองเดียวกัน ค่าสูงสุดของอัตราขยายจะสัมพันธ์กับสภาพเฉพาะจังทิศทาง โดย

$$\begin{aligned} G_0 &= G_g(\theta, \phi) \Big|_{\max} \\ &= e_{cd} D_g(\theta, \phi) \Big|_{\max} \\ &= e_{cd} D_0 \end{aligned} \quad (2.102)$$

ดังนั้นค่าประมาณของอัตราขยายจะมีค่าเป็น

$$G_0 \approx \frac{30000}{\Theta_{1d} \Theta_{2d}} \quad (2.103)$$

ในทางปฏิบัติเมื่อกล่าวถึงอัตราขยายมักจะหมายถึง อัตราขยายกำลังงานที่มีค่าสูงสุด ดังแสดงในสมการ (2.102)

$$G_0(dB) = 10 \log_{10} [e_{cd} D_0] \quad (2.104)$$

2.4.12 ประสิทธิภาพของสายอากาศ

ประสิทธิภาพของสายอากาศ e_t จะใช้เมื่อเราคำนึงถึงการสูญเสียต่างๆ ที่ขึ้นและภายในโครงสร้างของสายอากาศด้วย การสูญเสียต่างๆ เมื่ออ้างอิงตามรูป 2.10x อาจเนื่องมาจาก

1. การสะท้อนกลับเนื่องจากการไม่แมตช์ (Mismatch) กันระหว่างสายส่ง (Transmission Line) กับสายอากาศ

2. การสูญเสียทั้งในตัวนำและอนุว (I²R)

โดยทั่วไปแล้วประสิทธิภาพทั้งหมด คำนวณได้จาก

$$e_t = e_r e_c e_d \quad (2.105)$$

เมื่อ e_t = ประสิทธิภาพทั้งหมด (ไม่มีหน่วย)

e_r = ประสิทธิภาพเกี่ยวกับการสะท้อนกลับ = $(1 - |\Gamma|^2)$ (ไม่มีหน่วย)

e_c = ประสิทธิภาพของตัวนำ (ไม่มีหน่วย)

e_d = ประสิทธิภาพของอนุว (ไม่มีหน่วย)

Γ = สัมประสิทธิ์การสะท้อนของแรงดันที่ชั่วสายอากาศ $\Gamma = (Z_{in} - Z_0) / (Z_{in} + Z_0)$

เมื่อ Z_{in} = ออมพีแคนซ์ด้านเข้า ของสายอากาศ, Z_0 = ออมพีแคนซ์คุณลักษณะ (Characteristic Impedance) ของสายส่ง

ปกติ e_c และ e_d คำนวณหาได้ลำบาก ส่วนมากมักหาได้จากการทดลอง แต่ถ้า
กรณีนี้ก็แยก e_c จาก e_d ไม่ออก ดังนั้นเพื่อความสะดวกมักเขียน (2.39) ใหม่เป็น

$$e_t = e_r e_{cd} = e_{cd} (1 - |\Gamma|^2) \quad (2.106)$$

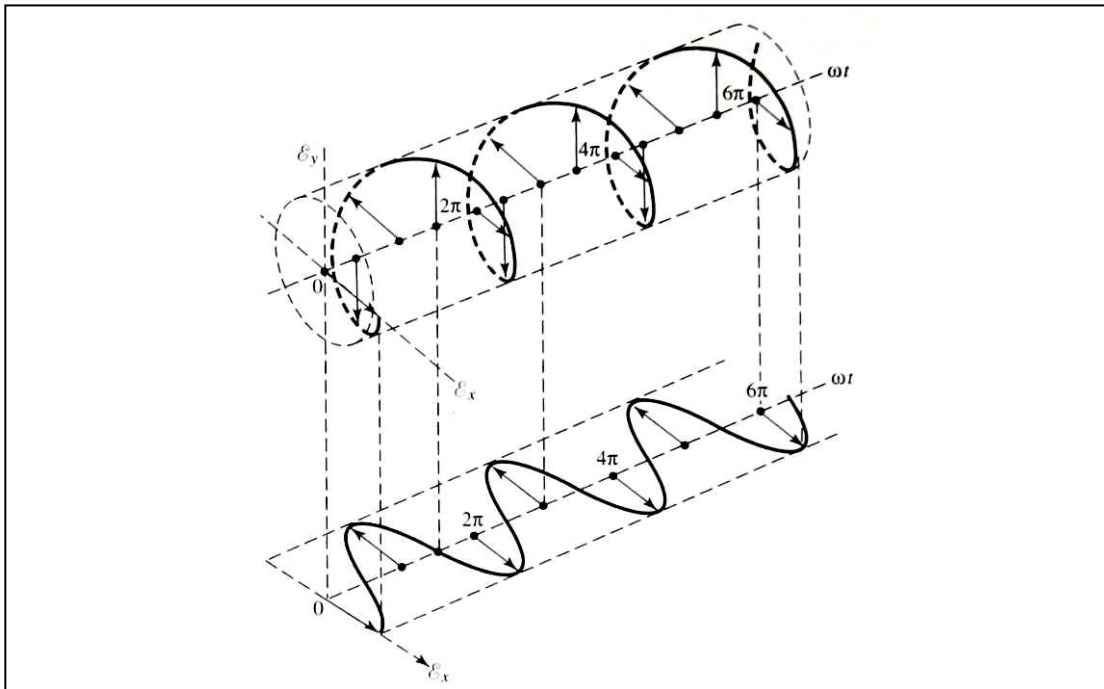
เมื่อ $e_{cd} = e_c e_d$ = ประสิทธิภาพในการแผ่พลังงานของคลื่นของสายอากาศ

2.4.13 ประสิทธิภาพของลำคลื่น

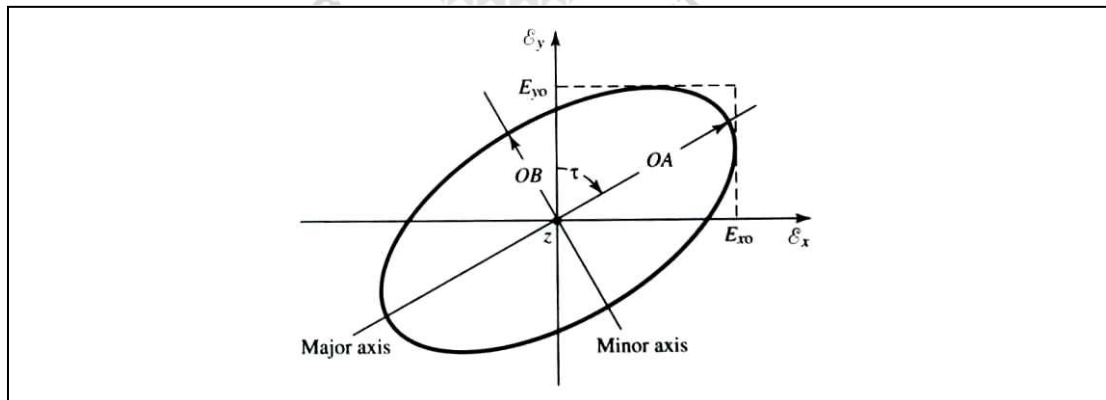
พารามิเตอร์อีกตัวหนึ่ง ที่ใช้ในการตัดสินว่า สายอากาศมีคุณภาพของการส่งหรือรับ
คลื่น คือเพียงใดนั้น ได้แก่ ประสิทธิภาพของลำคลื่น (Beam Efficiency: BE) สำหรับสายอากาศซึ่งมีพู
หลักอยู่ในทิศทางแกน z ($\theta = 0$) ประสิทธิภาพของลำคลื่นจะกำหนดได้ดังนี้ คือ กำลังที่ส่ง (หรือ
รับ) ภายในรายชื่องาน θ หารด้วย กำลังงานที่ส่ง (หรือรับ) ทั้งหมดด้วยสายอากาศนั้น เมื่อ θ_1
เป็นมุมที่มีค่าเป็นครึ่งหนึ่งของมุมราย ที่เราต้องการจะหาเปอร์เซ็นต์ของกำลังงานทั้งหมดในนั้น
ดังนั้นจะเขียนประสิทธิภาพของลำคลื่น ได้ดังนี้

$$BE = \frac{\int_0^{2\pi} \int_0^{\theta_1} U(\theta, \phi) \sin \theta d\theta d\phi}{\int_0^{2\pi} \int_0^{\pi} U(\theta, \phi) \sin^2 \theta d\theta d\phi} \quad (2.107)$$

เมื่อให้ θ_1 เป็นมุมที่เกิดมีสูน์ (Null) คือ จุดตำแหน่งที่กำลังมีค่าเป็นสูน์เป็นคู่แรก ดังนั้นประสิทธิภาพของคลื่นจะเป็นปริมาณที่แสดงถึงอัตราส่วนของจำนวนกำลังงานในพุหลักษ์ต่อกำลังงานที่มีทั้งหมด



ก) การหมุนของคลื่น



ข) วงรีโพลาไรเซชัน

รูป 2.11 ลักษณะของโพลาไรเซชัน

2.4.14 โพลาไรเซชัน

ก่อนจะกล่าวถึงความหมายของ โพลาไรเซชัน (Polarization) ของสายอากาศจะกล่าวถึงความหมายของ โพลาไรเซชันของคลื่นเสียงก่อน โพลาไรเซชันของคลื่นนี้ เป็นรูปแสดงคุณสมบัติของคลื่นแม่เหล็กไฟฟ้าที่แผ่กระจายออกไป โดยอธิบายทิศทางและขนาดของเวคเตอร์สนามไฟฟ้าที่เวลาต่างๆ ณ ตำแหน่งที่ทำการสังเกตซึ่งคงที่ และการสังเกตนี้จะทำโดยมองตามหลังคลื่นที่เดินทางไป ดูรูปที่ 2.11 ประกอบ

สำหรับ โพลาไรเซชันของสายอากาศในทิศทางหนึ่งทิศทางใด จะเป็น โพลาไรเซชันของคลื่นที่แผ่กระจายออกจากสายอากาศนั้น (เมื่อเป็นสายอากาศสั่ง) หรือเป็น โพลาไรเซชันของคลื่นที่มาจากการหมุนของสายอากาศนั้น จากทิศทางที่กำหนดให้ ซึ่งเมื่อสายอากาศรับคลื่นแล้ว จะมีกำลังงานที่ขึ้นของสายอากาศมากที่สุด ถ้าไม่ได้กำหนดทิศทางมาให้จะหมายถึงทิศทางที่สายอากาศมีอัตราขยายมากที่สุด ดังนั้น โพลาไรเซชันของสายอากาศในทิศทางที่ต่างกัน จะแตกต่างกัน

การแบ่งชนิดของ โพลาไรเซชันอาจแบ่งเป็น โพลาไรเซชันแบบเส้นตรง (Linearly Polarization) โพลาไรเซชันแบบวงกลม (Circularly Polarization) และ โพลาไรเซชันแบบวงรี (Elliptically Polarization) ขึ้นอยู่กับลักษณะการหมุนของยอดของเวคเตอร์สนามไฟฟ้า ถ้าเวคเตอร์ที่แสดงสนามไฟฟ้าที่แปรผันกับเวลา ณ จุดใดๆ ในที่ว่างที่เป็นเส้นตรงเสมอ จะเรียกว่าเป็น โพลาไรเซชันแบบเส้นตรง แต่ถ้าสนามไฟฟ้ามีการหมุนรูปวงรี จะเรียกสนามแบบนี้ว่า เป็น โพลาไรเซชันแบบวงรี ทั้ง โพลาไรเซชันแบบเส้นตรง และ โพลาไรเซชันแบบวงกลม ต่างก็เป็นกรณีพิเศษของ โพลาไรเซชันแบบวงรี

ถ้าสนามไฟฟ้าหมุนในทิศทางตามเข็มนาฬิกา (คือ เมื่อมองตามหลังคลื่นแล้ว จะเห็นมีการหมุนตามเข็มนาฬิกา) จะเรียกว่าเป็น โพลาไรเซชันเวียนขวา ในขณะที่หากสนามไฟฟ้าหมุนในทิศทางทวนเข็มนาฬิกา จะเป็น โพลาไรเซชันเวียนซ้าย

โพลาไรเซชันแบบเส้นตรง, โพลาไรเซชันแบบวงกลม, โพลาไรเซชันแบบวงรี
จะเรียกสนามชี้ว่า ขณะนี้ของคลื่นระนาบ ที่เดินทางในทิศทาง $-Z$ ได้ว่า

$$\mathcal{E}(z; t) = \bar{a}_x \mathcal{E}_x(z; t) + \bar{a}_y \mathcal{E}_y(z; t) \quad (2.108)$$

จากสมการ (2.108) ส่วนประกอบของสนามชี้เวลาจะมีน้ำหนัก ที่สัมพันธ์กับค่า เชิงช้อนของสนามนั้น ดังนี้

$$\begin{aligned} \mathcal{E}_x(z; t) &= \operatorname{Re}[E_x^- e^{j(\omega t + kz)}] = \operatorname{Re}[E_{x0} e^{j(\omega t + kz + \phi_x)}] \\ &= E_{x0} \cos(\omega t + kz + \phi_x) \end{aligned} \quad (2.109)$$

$$\begin{aligned}\mathcal{E}_y(z; t) &= \operatorname{Re}[E_y^- e^{j(\omega t + kz)}] = \operatorname{Re}[E_{y0} e^{j(\omega t + kz + \phi_y)}] \\ &= E_{y0} \cos(\omega t + kz + \phi_y)\end{aligned}\quad (2.110)$$

เมื่อ E_{x0} และ E_{y0} เป็นขนาดของสนามค่าสูงสุด ในทิศทาง x และ y ตามลำดับ

ก. โผล่ไฟเซ็นทรัล

คลื่นซึ่งเป็นโผล่ไฟเซ็นทรัล ความต่างเฟสระหว่างส่วนประกอบทั้งสองของสนามจะมีค่าดังนี้

$$\Delta\phi = \phi_y - \phi_x = n\pi, \quad n = 0, 1, 2, 3, \dots \quad (2.111)$$

ข. โผล่ไฟเซ็นทรัลวงกลม

จะเกิดโผล่ไฟเซ็นทรัลวงกลมได้ก็ต่อเมื่อขนาดของส่วนประกอบของสนามทั้งสองมีค่าเท่ากัน และความต่างเฟส ระหว่างส่วนประกอบทั้งสอง เป็นจำนวนเต็มที่เป็นเลขคู่ของ $\pi/2$ นั่นคือ

$$|\mathcal{E}_x| = |\mathcal{E}_y| \Rightarrow E_{x0} = E_{y0} \quad (2.112)$$

$$\Delta\phi = \phi_y - \phi_x = \begin{cases} +\left(\frac{1}{2} + 2n\right)\pi, & n = 0, 1, 2, \dots \text{ for CW} \\ -\left(\frac{1}{2} + 2n\right)\pi, & n = 0, 1, 2, \dots \text{ for CCW} \end{cases} \quad (2.113)$$

ถ้าคลื่นเดินทางในทิศทางตรงกันข้าม (คือทิศทาง +Z) เฟสในสมการที่ (2.112) และ (2.113) ที่ทำให้เกิด CW (Clockwise) และ CCW (Counter Clockwise) จะต้องสลับกัน

ค. โผล่ไฟเซ็นทรัลวงรี

โผล่ไฟเซ็นทรัลวงรีจะเกิดขึ้นเมื่อความต่างเฟสเป็นจำนวนคี่ของ $\pi/2$ แต่ขนาดของสนามไฟฟ้าไม่เท่ากัน หรือความต่างเฟสไม่เป็นจำนวนคี่ของ $\pi/2$ นั่นคือ

$$|\mathcal{E}_x| \neq |\mathcal{E}_y| \Rightarrow E_{x0} \neq E_{y0} \quad (2.114)$$

$$\Delta\phi = \phi_y - \phi_x = \begin{cases} +\left(\frac{1}{2} + 2n\right)\pi, & n = 0, 1, 2, \dots \text{ for CW} \\ -\left(\frac{1}{2} + 2n\right)\pi, & n = 0, 1, 2, \dots \text{ for CCW} \end{cases} \quad (2.115)$$

$$\Delta\phi = \phi_y - \phi_x \neq \pm \frac{n}{2}\pi = \begin{cases} > 0 \text{ for CW} \\ < 0 \text{ for CCW} \end{cases} \quad (2.116)$$

$n = 0, 1, 2, \dots$

ในกรณีของโพลาไรเซชันแบบบางริ้ว รูปแสดงการคาดของเวคเตอร์สนามไฟฟ้าที่ดำเนินงาดๆ จะเป็นวงรีอิ่ม ดังแสดงในรูป 2.11x อัตราส่วนของแกนหลักต่อแกนย่อยจะเรียกว่าเป็นอัตราส่วนของแกน (Axial Ratio: AR) ซึ่งมีค่าเท่ากับแกนหลักหารด้วยแกนย่อย ดังนี้

$$AR = \frac{OA}{OB}, 1 \leq AR \leq \infty \quad (2.117)$$

โดยที่

$$OA = \left[\frac{1}{2} \left\{ E_{x0}^2 + E_{y0}^2 + [E_{x0}^4 + E_{y0}^4 + 2E_{x0}^2 E_{y0}^2 \cos(2\Delta\phi)]^{1/2} \right\} \right]^{1/2} \quad (2.118)$$

$$OB = \left[\frac{1}{2} \left\{ E_{x0}^2 + E_{y0}^2 - [E_{x0}^4 + E_{y0}^4 + 2E_{x0}^2 E_{y0}^2 \cos(2\Delta\phi)]^{1/2} \right\} \right]^{1/2} \quad (2.119)$$

การอ้างของวงรีเทียบแกน y สามารถแสดงด้วยมุมอิ่ม ดังนี้คือ

$$\tau = \frac{\pi}{2} - \tan^{-1} \left[\frac{2E_{x0}E_{y0}}{E_{x0}^2 - E_{y0}^2} \cos(\Delta\phi) \right] \quad (2.120)$$

เมื่อวงรีวางแผนแกนหลัก $[\tau = n\pi/2, n = 0, 1, 2, \dots]$ แกนหลัก (ย่อย) เท่ากับ $E_{x0}(E_{y0})$ หรือ $E_{y0}(E_{x0})$ และอัตราส่วนของแกนมีค่าเท่ากับ E_{x0}/E_{y0} หรือ E_{y0}/E_{x0}

ไฟคเตอร์การสูญเสียจากโพลาไรเซชัน

โดยทั่วไปแล้ว โพลาไรเซชันของสายอากาศอาจไม่เหมือนกับโพลาไรเซชันของคลื่นที่เดินทางมาข้างสายอากาศ ซึ่งเรียกว่าเกิดโพลาไรเซชันแบบไม่แมตช์ (Polarization Mismatch) ทำให้สายอากาศไม่สามารถดึงเอากำลังงานออกมาจากคลื่นได้สูงสุด เนื่องจากเกิดการสูญเสียจากโพลาไรเซชัน (Polarization Loss) สมมุติว่าสนามไฟฟ้าของคลื่นที่เดินทางเข้ามายังสายอากาศเปลี่ยนได้ดังนี้

$$\bar{E}_i = \hat{\rho}_w E_i \quad (2.121)$$

เมื่อ $\hat{\rho}_w$ เป็นเวคเตอร์หนึ่งหน่วยของคลื่นและโพลาไรเซชันของสนามไฟฟ้าของสายอากาศรับ มีค่าดังนี้

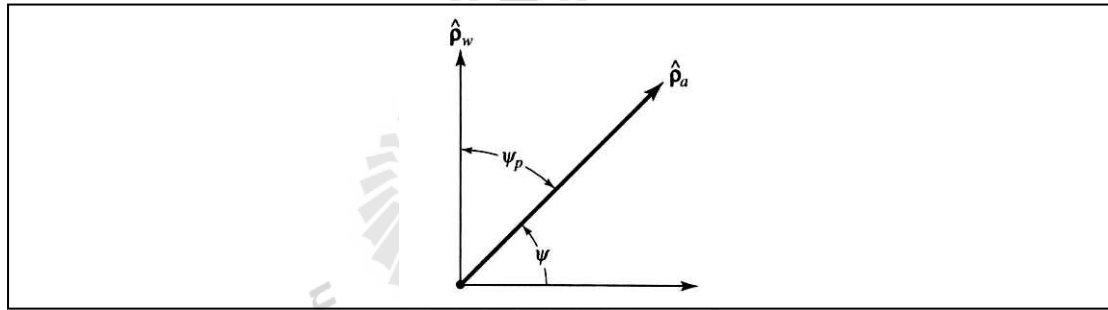
$$\bar{E}_a = \hat{\rho}_a E_a \quad (2.122)$$

เมื่อ $\hat{\rho}_a$ เป็นเวคเตอร์หนึ่งหน่วยของสายอากาศ

จะกำหนดให้แฟคเตอร์การสูญเสียจากโพลาไรเซชัน (Polarization Loss Factor: PLF) มีค่าดังนี้

$$\text{PLF} = |\hat{\rho}_w \cdot \hat{\rho}_a|^2 = |\cos \Psi_p|^2 \quad (2.123)$$

เมื่อ Ψ_p เป็นมุมระหว่างเวคเตอร์หนึ่งหน่วยทั้งสอง ดังแสดงในรูปที่ 2.12



รูปที่ 2.12 เวคเตอร์หนึ่งหน่วยสำหรับโพลาไรเซชันของคลื่นและของสายอากาศ

ถ้าเกิดโพลาไรเซชันแมบที่ค่า PLF จะเป็นหนึ่ง และสายอากาศจะรับกำลังงานมากที่สุด

2.5 สรุป

สำหรับที่จะเป็นการอธิบายทฤษฎีพื้นฐานต่าง ๆ ที่เกี่ยวข้องกับการวิจัยแบบจำลอง ช่องสัญญาณ ซึ่งประกอบด้วย ทฤษฎีกระบวนการเชิงสุ่ม ทฤษฎีข่าวสาร และทฤษฎีพื้นฐานสายอากาศ โดยจะเป็นพื้นฐาน ในการอธิบายถึงที่มาของการพิจารณาตัวแปรสุ่ม และคุณสมบัติต่าง ๆ ที่ใช้ในการอธิบายลักษณะของตัวแปรสุ่ม รวมทั้งกระบวนการเชิงสุ่มที่ได้นำไปใช้ในทฤษฎีข่าวสาร ในการอธิบายคุณสมบัติของช่องสัญญาณ การหาค่าคุณสมบัติของช่องสัญญาณแบบไม่มีความจำ รวมทั้งในการนำไปใช้ ในการอธิบายผลที่ได้จากการหาค่าความจุช่องสัญญาณแบบไม่มี

ความจำ และช่องสัญญาณแบบเกาส์เชียน จากนั้นได้อธิบายถึงที่มาของทฤษฎีความจุช่องสัญญาณ ของแซนนอนและฮาร์ตลีย์ ซึ่งจะได้นำไปพัฒนาต่อไปเพื่อหาค่าความจุช่องสัญญาณระบบสื่อสาร ข้อมูลแบบอิ่น ๆ ต่อไป และส่วนของทฤษฎีสายอากาศ ได้ทำการอธิบายถึงการพิจารณาค่าต่างๆ ที่เกี่ยวข้องกับสายอากาศในเชิงกายภาพที่จำเป็นต้องทราบ อาทิ อัตราขยายของสายอากาศ ความหนาแน่นของการแผ่กำลังงานของคลื่น สภาพเฉพาะจังทิศทาง เป็นต้น เพื่อให้เข้าใจถึงที่มาของค่าต่างๆ ที่นำมาใช้ในการพิจารณาแบบรูปการแผ่พลังงานของสายอากาศ เพื่อจะถูกนำมาพัฒนาประยุกต์ใช้ในการสร้างแบบจำลองต่อไป



บทที่ 3

ทฤษฎีแบบจำลองระบบมัลติเพลอินพุท-มัลติเพลเอาท์พุท

3.1 บทนำ

ในบทนี้เราจะอธิบายถึงแบบจำลองเบื้องต้นสำหรับระบบมัลติเพลอินพุท-มัลติเพลเอาท์พุท โดยจะเริ่มจากแบบจำลองระบบเบื้องต้น ซึ่งเป็นแบบจำลองที่มีการใช้งานกันอย่างมาก ที่เรียกว่า แบบจำลองช่องสัญญาณแบบมีความอิสระต่อกันและมีการแจกแจงเหมือนกัน นอกจานี้จะได้อธิบายถึงแบบจำลองแบบ “One-Ring” และแบบจำลองช่องสัญญาณเชิงพื้นที่ ถัดไปจะได้อธิบายถึงผลสรุปของค่าความจุช่องสัญญาณที่ได้จากการบันทึกฐานที่เรียกว่า ระบบซิงเกิลอินพุท-ซิงเกิลเอาท์พุท (Single-Input Single-Output : SISO) ระบบซิงเกิลอินพุท-มัลติเพลเอาท์พุท (Single-Input Multiple-Outputs : SIMO) และระบบมัลติเพลอินพุท-ซิงเกิลเอาท์พุท (Multiple-Input Single-Output : MISO) จากนั้นจะกล่าวถึงค่าความจุช่องสัญญาณระบบมัลติเพลอินพุท-มัลติเพลเอาท์พุท โดยจะพิจารณาในเงื่อนไขที่แตกต่างกันสองแบบ คือ กรณีที่ไม่ทราบข้อมูลช่องสัญญาณของภาคส่ง (เงื่อนไขกำลังงานมีค่าเท่ากัน) และกรณีที่เราทราบข้อมูลช่องสัญญาณภาคส่ง (เงื่อนไขกำลังงานแบบวอเตอร์ฟลั่ง) และในหัวข้อสุดท้ายจะเป็นการอธิบายวิธีการวัดประสิทธิภาพระบบมัลติเพลอินพุท-มัลติเพลเอาท์พุทที่ใช้ในงานวิจัยฉบับนี้

3.2 แบบจำลองระบบเบื้องต้น

ระบบมัลติเพลอินพุท-มัลติเพลเอาท์พุทเป็นระบบที่มีการใช้งานสายอากาศแบบหลายองค์ประกอบในการรับส่งสัญญาณทั้งในภาคส่งและภาครับ โดยที่จะมีส่วนของอุปกรณ์ที่ทำหน้าที่แบ่งสัญญาณข้อมูลออกเป็นส่วนย่อย ๆ เพื่อส่งไปยังระบบสายอากาศภาคส่งพร้อม ๆ กัน และสัญญาณที่ส่งในแต่ละสายอากาศ จะผ่านช่องสัญญาณ ไร้สายไปยังสายอากาศภาครับ จากนั้นจะต้องผ่านหน่วยประมวลผลข้อมูล เพื่อแยกสัญญาณข้อมูลแต่ละชุดที่ได้รับที่สายอากาศภาครับแต่ละตัวแล้วจึงทำการรวมข้อมูลที่ได้กลับอกมาที่ปลายทาง ซึ่งอาจเปรียบเทียบได้กับแบ่งข้อมูลออกเป็นหลาย ๆ เส้นทางแล้วส่งไปพร้อม ๆ กันในลักษณะการส่งข้อมูลแบบขนานในการสื่อสารข้อมูลด้วยสายนำสัญญาณนั่นเอง

สำหรับแบบจำลองของระบบมัลติเพลอินพุท-มัลติเพลเอาท์พุท ในงานวิจัยนี้ ก่อนที่จะนำไปพัฒนา เพื่อศึกษาผลจากแบบรูปการແเพล้งงานของสายอากาศต่อไป เราจะพิจารณาระบบมัลติเพลอินพุท-มัลติเพลเอาท์พุทที่มีผู้ใช้งานคนเดียวในย่านความถี่ที่เป็นแบบความถี่แอนบ โดยให้จำนวนสายอากาศด้านส่งเป็น N_T และจำนวนสายอากาศด้านรับเป็น N_R ดังแสดงในรูปที่ 3.1 รวมทั้งสมมุติให้สายอากาศเป็นแบบไอโซทรอปิก โดยมีค่าเฉลี่ยของสายอากาศทั้งด้านรับ และด้านส่งเท่ากันในทุกทิศทาง ความสัมพันธ์แบบเชิงเส้นของสัญญาณที่ได้รับที่สายอากาศภาครับ และสัญญาณที่ส่งออกที่สายอากาศภาคส่ง สามารถเขียนให้อยู่ในรูปเวคเตอร์ได้ดังนี้

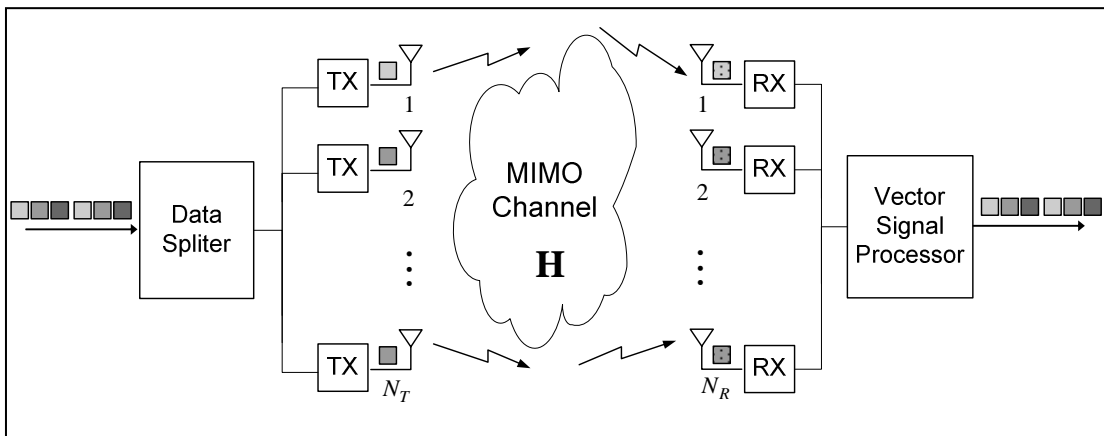
$$\mathbf{y} = \mathbf{Hx} + \mathbf{n} \quad (3.1)$$

โดยที่ \mathbf{y} แทนเวคเตอร์สัญญาณที่ภาครับขนาด $N_R \times 1$
 \mathbf{x} แทนเวคเตอร์สัญญาณที่ภาคส่งขนาด $N_T \times 1$
 \mathbf{n} แทนเวคเตอร์สัญญาณรบกวนแบบเกาส์เซียน (Gaussian noise) ที่มีค่าเฉลี่ยเป็นศูนย์ และมีความแปรปรวนเท่ากับ σ^2

\mathbf{H} แทนเวคเตอร์นอร์มอลไซซ์ (normalize) ของช่องสัญญาณที่มีขนาด $N_R \times N_T$ เขียนแทนได้ดังนี้

$$\mathbf{H} = \begin{bmatrix} h_{11} & h_{12} & \dots & h_{1N_T} \\ h_{21} & h_{22} & \dots & h_{2N_T} \\ \vdots & \vdots & \ddots & \vdots \\ h_{N_R1} & h_{N_R2} & \dots & h_{N_RN_T} \end{bmatrix} \quad (3.2)$$

โดยที่แต่ละองค์ประกอบ h_{mn} จะแสดงค่าอัตราขยายเชิงช้อนระหว่างสายอากาศส่งตัวที่ n กับสายอากาศภาครับตัวที่ m ซึ่งจะเห็นได้ว่า เมตริกซ์ช่องสัญญาณที่ได้จะสามารถเทียบเคียงกับแบบจำลองช่องสัญญาณแบบไม่มีความจำที่ได้อธิบายไปในบทที่ 2 ซึ่งในบทนี้จะเป็นการนำเอาทฤษฎีที่ว่าสารเกี่ยวกับแบบจำลองช่องสัญญาณ และค่าความจุช่องสัญญาณมาใช้กับระบบมัลติเพลอินพุท-มัลติเพลเอาท์พุท



รูปที่ 3.1 แบบจำลองระบบมัลติเพลอินพุท-มัลติเพลเอ้าท์พุท

ในหัวข้อถัดไปจะเป็นการอธิบายถึงแบบจำลองระบบมัลติเพลอินพุท-มัลติเพลเอ้าท์พุทที่สำคัญที่มีการศึกษา กัน ในช่วงที่ผ่านมา โดยจะสามารถแบ่งแบบจำลองออกเป็น แบบจำลองของช่องสัญญาณแบบต่าง ๆ ได้แก่ แบบจำลองช่องสัญญาณแบบมีความอิสระต่อ กัน และ มีการแจกแจง เมื่อนอก กัน จากนั้นจะ ได้อธิบายถึงแบบจำลองแบบ “One-Ring” และ แบบจำลองช่องสัญญาณเชิงพื้นที่ รวมทั้ง การศึกษาเกี่ยวกับค่าความจุของแบบจำลองระบบพื้นฐานต่าง ๆ รวมทั้งค่าความจุของแบบจำลองระบบมัลติเพลอินพุท-มัลติเพลเอ้าท์พุกด้วย

3.3 แบบจำลองช่องสัญญาณ

ในการสื่อสารแบบไร้สาย สัญญาณที่ถูกส่งออกมานะจะสมนูดิให้ได้รับหลังจากที่ผ่านกระบวนการของการแผ่กระจายคลื่น ซึ่งจะประกอบด้วยผลของการกระจาย กระจักร กระห่อน การแทรกสอด และ การหักเหที่เกิดขึ้นจากวัตถุที่ปรากฏในแต่ละเหตุการณ์ของการสื่อสาร ผลจากความหลากหลาย และ ความยากในการหาแบบจำลองช่องสัญญาณที่เหมาะสมสำหรับสภาพแวดล้อม ชนิด ได้ จึง ได้นำเสนอแบบจำลองเบื้องต้นมาใช้ในการวิเคราะห์แบบจำลองระบบมัลติเพลอินพุท-มัลติเพลเอ้าท์พุท ซึ่งจะ ได้อธิบายแบบจำลองช่องสัญญาณแบบต่าง ๆ ในรายละเอียดต่อไป

3.3.1 แบบจำลองช่องสัญญาณแบบมีความอิสระต่อ กัน และ มีการแจกแจงเมื่อนอก กัน

สำหรับแบบจำลองช่องสัญญาณการเฟดแบบレイลี (Rayleigh fading channel) ที่มีความอิสระต่อ กัน และ มีการแจกแจงเมื่อนอก กัน ถือเป็นแบบจำลองพื้นฐานที่ง่ายและใช้กันมาก สำหรับแบบจำลองช่องสัญญาณ โดยที่แบบจำลองช่องสัญญาณระบบมัลติเพลอินพุท-มัลติเพลเอ้าท์พุทที่ เป็นช่องสัญญาณการเฟดแบบレイลีที่มีความอิสระต่อ กัน และ มีการแจกแจงเมื่อนอก กัน

จะสามารถเขียนได้ดังนี้

$$h_{mn} = N(0, 1/\sqrt{2}) + jN(0, 1/\sqrt{2}) \quad (3.3)$$

โดยที่ h_{mn} แทนค่าอัตราขยายเชิงช้อนระหว่างสายอากาศภาคส่งตัวที่ n กับสายอากาศภาครับตัวที่ m ส่วน $N(0, 1/\sqrt{2})$ แทนการแจกแจงปกติที่มีค่าเฉลี่ยเป็นศูนย์ และมีค่าเบี่ยงเบนมาตรฐานเป็น $1/\sqrt{2}$

ในกรณีของช่องสัญญาณที่มีความอิสระต่อกันและมีการแจกแจงเหมือนกัน สายอากาศ จะถูกสมมุติให้วางห่างจากกันอย่างน้อย 0.5λ (Foschini and Gans, 1998) เพื่อที่จะสามารถแน่ใจได้ว่า จะไม่มีผลที่เกิดจากการมิวชาลคลัปปิ้ง และผลกระทบจากความสัมพันธ์ในลักษณะสหสัมพันธ์เชิงพื้นที่ (spatial correlation) โดยช่องสัญญาณแบบมีความอิสระต่อกันและมีการแจกแจงเหมือนกัน สามารถเรียกเป็น ช่องสัญญาณขาว (white channel) แทนด้วยสัญลักษณ์ H_w โดยที่คุณสมบัติของ H_w สามารถสรุปได้ดังนี้

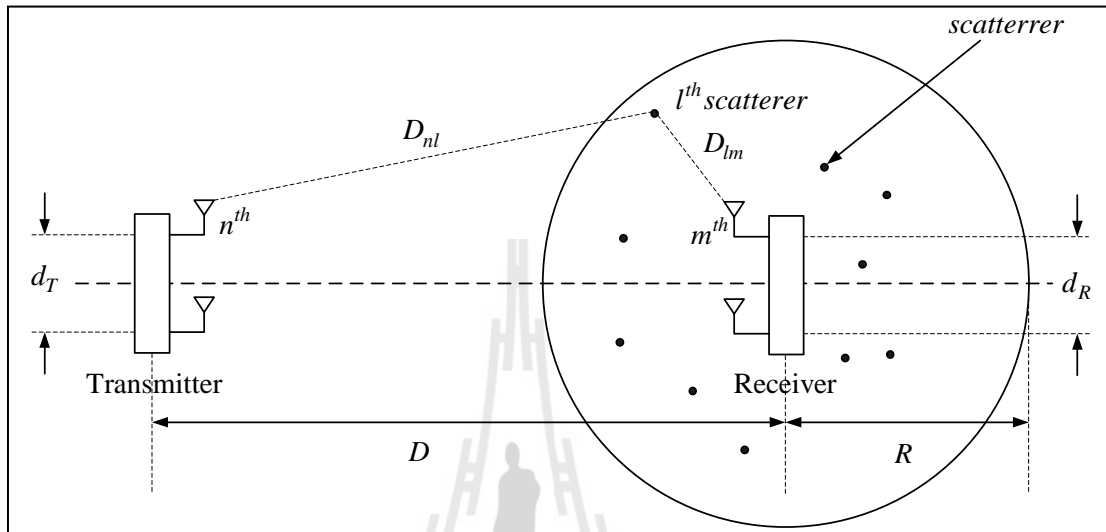
$$\begin{aligned} E\{[H_w]_{i,j}\} &= 0 \\ E\{\| [H_w]_{i,j} \|^2\} &= 1 \\ E\{[H_w]_{i,j} [H_w]_{m,n}^\dagger\} &= 0, \text{ ถ้า } i \neq m \text{ และ } j \neq n \end{aligned} \quad (3.4)$$

โดยที่ $E\{x\}$ แทนค่าความคาดหวังของ x
 $[.]^\dagger$ แทนค่า conjugate transpose (complexe conjugate transpose)

3.3.2 แบบจำลองช่องสัญญาณแบบ “One-Ring”

แบบจำลองช่องสัญญาณแบบ “One-Ring” ได้มีการอธิบายไว้ ในงานของ (Petrust, Reed and Rappaport, 1996) โดยได้ถูกกล่าวถึงในงานวิจัยของ Shiu, Foschini, Gans and Kahn (2000) Svantesson and Ranheim (2001) และ Svantesson (2002) โดยสำหรับแบบจำลองนี้ จะสมมุติให้สถานีภาคส่ง (Base Station : BS) มีการวางตัวของสายอากาศอยู่ในระนาบแนวตั้ง นั่นคือ จะไม่เกิดการกระจัดกระจางของสัญญาณที่ด้านส่ง ในขณะที่สถานีภาครับ (Mobile Station : MS) จะถูกล้อมรอบด้วยวงกลมของการกระจัดกระจางที่มีการแจกแจงแบบเอกรูป โดยที่วัตถุที่ทำให้เกิดการกระจัดกระจางของสัญญาณในวงกลมการกระจัดกระจางคลื่น กำหนดให้มีลักษณะที่ทำให้เกิดการแผ่กระจายคลื่นช้า โดยมีลักษณะการแผ่กระจายคลื่นในลักษณะรอบทิศทาง และทำให้เกิดการ

แผ่นกระจายคลื่นสะท้อนกลับไปโดยตรงถึงสายอากาศด้านรับ ทั้งนี้เราจะพิจารณาเฉพาะลำคลื่นที่เกิดการสะท้อนโดยวัตถุที่ทำให้เกิดการกระจัดกระจายของสัญญาณเพียงครั้งเดียว ดังแสดงในรูปที่ 3.2



รูปที่ 3.2 แบบจำลองช่องสัญญาณแบบ “One-Ring”

วัตถุที่ทำให้เกิดการกระจัดกระจายของคลื่นแทนด้วย L สมมุติให้มีการแจกแจงของตำแหน่งในลักษณะการแจกแจงแบบเอกรูปในแผ่นวงกลมรัศมี R ที่ล้อมรอบสายอากาศด้านรับไว้ โดยทั่วไปแล้วจะให้ R มีขนาดเล็กมาก เมื่อเปรียบเทียบกับระยะห่างระหว่างสายอากาศก้าสส่ง และภาครับซึ่งแทนด้วยสัญลักษณ์ D อย่างไรก็ตามทั้งรัศมีวงกลมการกระจัดกระจาย และระยะห่างระหว่างสายอากาศก้าสส่งและภาครับ จะสมมุติให้มีขนาดมากกว่าระยะห่างในการจัดวางสายอากาศก้าสส่ง แทนด้วยสัญลักษณ์ d_T และระยะห่างในการจัดวางสายอากาศภาครับมาก ๆ แทนด้วย d_R เราสามารถเขียนได้เป็น ($D > R \gg \max(d_R, d_T)$) (Patzold and Hogstad, 2004)

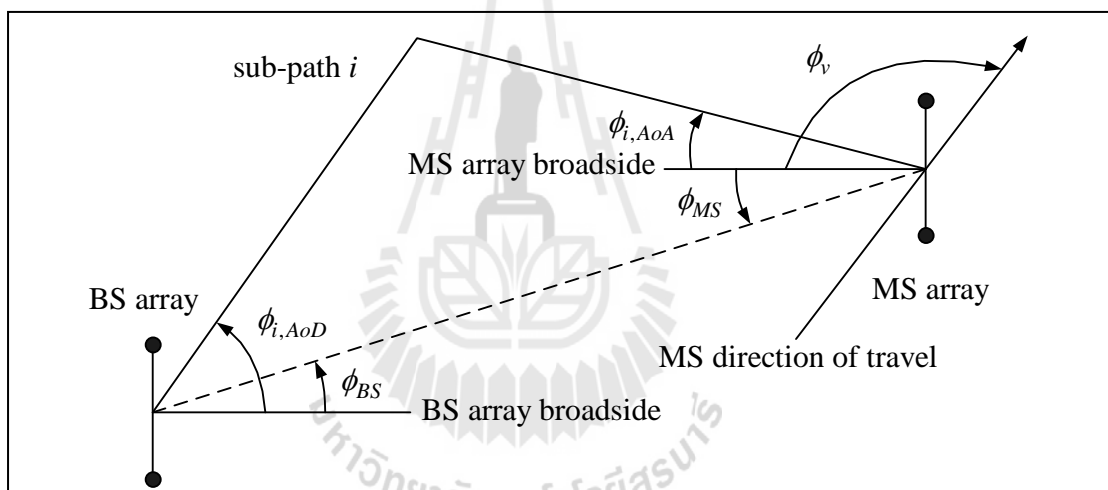
โดยอาศัยแบบจำลองดังกล่าว องค์ประกอบของเมทริกซ์ช่องสัญญาณ ในสมการ (3.2) สามารถหาได้โดย หากเราพิจารณาเพียงเส้นทางการส่งสัญญาณจากสายอากาศด้านส่งที่ n ไปยังสายอากาศด้านรับตัวที่ m ร่วมกับการสะท้อนที่วัตถุที่ก่อให้เกิดการกระจัดกระจายตัวที่ l ดังนั้น อัตราขยายช่องสัญญาณที่ h_{mn} สามารถหาได้จาก (Svantesson and Ranheim, 2001)

$$h_{mn} = \sqrt{\frac{1}{L}} \sum_{l=1}^L \alpha_l \exp \left[-j \frac{2\pi}{\lambda} (D_{nl} + D_{lm}) \right] \quad (3.5)$$

โดยที่ α_l แทนค่าสัมประสิทธิ์การกระจายของวัตถุที่ก่อให้เกิดการกระจายตัวที่ l โดยที่ $l = 1, 2, 3, \dots, L$ และมีค่าแบบจำลองเป็นค่าตัวแปรสุ่มเชิงซ้อนที่มีค่าเฉลี่ยเป็นศูนย์ และค่าความแปรปรวนเป็นหนึ่ง ส่วน D_{lm} แทนระยะห่างระหว่างสายอากาศครับตัวที่ m กับวัตถุที่ก่อให้เกิดการกระจายตัวที่ l และ D_{nl} แทนระยะห่างระหว่างวัตถุที่ก่อให้เกิดการกระจายตัวที่ l กับสายอากาศส่งตัวที่ n

3.3.3 แบบจำลองช่องสัญญาณเชิงพื้นที่

แบบจำลองช่องสัญญาณเชิงพื้นที่ เป็นแบบจำลองมาตรฐาน ที่พัฒนาโดยความร่วมมือของ 3GPP-3GPP2 ร่วมกับ ad-hoc group (AHG) ซึ่งมีจุดมุ่งหมายสำคัญเพื่อพัฒนาภาระนดค่าตัวแปร และวิธีการ ภายใต้แบบจำลองช่องสัญญาณเชิงพื้นที่ สำหรับใช้ในการประเมินระบบ และระดับการเชื่อมต่อ (3rd Generation Partnership Project (3GPP), 2007)



รูปที่ 3.3 แบบจำลองช่องสัญญาณเชิงพื้นที่สำหรับระบบ MIMO ขนาด 2x2

แบบจำลองช่องสัญญาณเชิงพื้นที่ เป็นแบบจำลองที่พิจารณาค่าตัวแปรในระนาบสองมิติ โดยการพิจารณากลุ่มของวัตถุที่ก่อให้เกิดการกระจายจำนวน N กลุ่ม โดยแต่ละกลุ่มส่งผลกับเส้นทาง โดยมีเส้นทางย่อยที่ไม่สามารถทราบได้อยู่จำนวน M ในเส้นทางดังกล่าว จากรากฐานของของแบบจำลองข้างต้น สามารถสรุปได้ดังรูปที่ 3.3 โดยความหมายของมุมที่ปรากฏ สามารถอธิบายได้ดังนี้

ϕ_{BS} มุมระหว่างแนวตั้งจาก การจัดวางสายอากาศของสถานีภาคส่ง เมื่อเทียบกับเส้นตรงที่ลากจากสถานีภาคส่งไปยังสถานีภาครับ

ϕ_{MS}	มุมระหว่างแนวตั้งจาก การจัดวางสายอากาศของสถานีภาครับเมื่อเทียบ กับเส้นตรงที่ลากจากสถานีภาคส่งไปยังสถานีภาครับ
$\phi_{i,AoD}$	ค่าสัมบูรณ์ของมุมของสัญญาณที่ส่งออก (AoD) สำหรับเส้นทางย่อที่ $i^{th} = (1, 2, \dots, M)$ ที่สถานีภาคส่ง โดยเทียบกับแนวตั้งจากของการจัด วางสายอากาศของสถานีภาคส่ง
$\phi_{i,AoA}$	ค่าสัมบูรณ์ของมุมของสัญญาณที่ได้รับ (AoA) สำหรับเส้นทางย่อที่ $i^{th} = (1, 2, \dots, M)$ ที่สถานีภาครับ โดยเทียบกับแนวตั้งจากของการจัด วางสายอากาศของสถานีภาครับ
ϕ_v	มุมของเวคเตอร์ความเร็ว เมื่อเทียบกับแนวตั้งจากของการจัดวาง สายอากาศของสถานีภาครับ

3.4 ความจุช่องสัญญาณ

ในหัวข้อนี้จะได้อธิบายถึงค่าความจุช่องสัญญาณที่ได้จากการนับแบบต่าง ๆ ได้แก่ ระบบ ชิงเกลอินพุท-ชิงเกลเอาท์พุท ระบบชิงเกลอินพุท-มัลติเพลเออท์พุท ระบบมัลติเพลอินพุท-ชิงเกล เอาท์พุท ตลอดจนถึงระบบมัลติเพลอินพุท-มัลติเพลเออท์พุท และจะได้อธิบายค่าความจุ ช่องสัญญาณระบบมัลติเพลอินพุท-มัลติเพลเออท์พุท ในเงื่อนไขที่แตกต่างกันสองแบบ คือกรณีที่ ไม่ทราบข้อมูลช่องสัญญาณของภาคส่ง (เงื่อนไขกำลังงานมีค่าเท่ากัน) และ กรณีที่เราทราบข้อมูล ช่องสัญญาณของภาคส่ง (เงื่อนไขกำลังงานแบบว่าเตอร์ฟิลลิ่ง)

ได้มีการริเริ่มในการคำนวณค่าความจุช่องสัญญาณสำหรับช่องสัญญาณแบบ AWGN (Shannon, 1948) โดยการเปรียบเทียบค่าสัมบูรณ์ของช่องสัญญาณแบบ AWGN และจากการศึกษา ของ Shannon (1948) ซึ่งได้อธิบายถึงที่มาในบทที่ผ่านมา จะพบว่า ค่าความจุช่องสัญญาณของ ช่องสัญญาณที่มีการรับกวนแบบ AWGN จะมีค่าเป็น

$$C = B \log_2 \left(1 + \frac{P}{N_0 B} \right) \quad \text{บิดต่อวินาที} \quad (3.6)$$

โดยที่ B แทนความกว้างแอบความถี่
 N_0 แทนค่าความหนาแน่นスペกตรัมของสัญญาณรบกวน
 P แทนค่าเฉลี่ยกำลังงาน
 ต่อมามีการพัฒนาเทคนิคต่าง ๆ ขึ้นเพื่อเพิ่มจีดความสามารถของระบบการสื่อสาร ไร้สาย

เช่น การใช้ความถี่ซ้ำ (frequency reuse) และเทคนิคสายอากาศแบบหลายองค์ประกอบ เป็นต้น โดย เทคนิคสายอากาศแบบหลายองค์ประกอบ จะสามารถเพิ่มความจุช่องสัญญาณได้ โดยไม่ต้องใช้ แอบความถี่เพิ่ม แต่ก็มีข้อจำกัดในเรื่องพื้นที่ในการติดตั้งสายอากาศ

เทคนิคสายอากาศแบบหลายองค์ประกอบ เริ่มแรกได้มีการใช้งานสายอากาศในลักษณะที่ เรียกว่าระบบซิงเกิลอินพุท-ซิงเกิลเอาท์พุท ต่อมามีการพัฒนาโดยใช้สายอากาศหลายตัวที่เรียกว่า ระบบซิงเกิลอินพุท-มัลติเพลิเอทพุท เช่นในการใช้งานในระบบโทรศัพท์เคลื่อนที่โดยให้ สายอากาศด้านส่งมีตัวเดียว และให้มีสายอากาศด้านรับหลายตัว ในลักษณะที่เรียกว่า ไดเวอร์ซิตี้ (diversity) นอกจากนี้หากมีการเพิ่มจำนวนสายอากาศด้านส่งมากขึ้น แต่ใช้สายอากาศด้านรับตัวเดียว ก็จะเรียกว่าเป็นระบบมัลติเพลิอินพุท-ซิงเกิลเอาท์พุท

สำหรับระบบมัลติเพลิอินพุท-มัลติเพลิเอทพุท ได้ถูกพัฒนาต่อมา เนื่องจากเป็นระบบที่มี ลักษณะการใช้งานโดยการใช้สายอากาศหลาย ๆ องค์ประกอบในทั้งภาคส่งและภาครับ ซึ่งได้ทำ การแสดงให้เห็นว่า สามารถช่วยเพิ่มความจุช่องสัญญาณในสภาวะแวดล้อมแบบหลายวิถี ระบบที่ ทำงานโดยการอาศัยคุณสมบัติของมิติในช่องสัญญาณแบบหลายวิถี ซึ่งจะให้ผลของประสิทธิภาพ ของระบบที่เพิ่มขึ้นได้ ทั้งในส่วนของอัตราความผิดพลาดบิต (Bit Error Rate : BER) และในส่วน ของอัตราการส่งผ่านข้อมูล โดยการใช้ลักษณะ ไดเวอร์ซิตี้เชิงพื้นที่ (spatial diversity) (Gesbert, Shafi, Shi, Smith and Naguib, 2003) ซึ่งอาจกล่าวได้ว่า การทำงานที่เป็นระบบซิงเกิลอินพุท- ซิงเกิลเอาท์พุท ระบบซิงเกิลอินพุท-มัลติเพลิเอทพุท และระบบมัลติเพลิอินพุท-ซิงเกิลเอาท์พุท เป็นส่วนย่อย ที่เป็นกรณีพิเศษของระบบมัลติเพลิอินพุท-มัลติเพลิเอทพุทนั่นเอง ผลที่ได้จาก ระบบมัลติเพลิอินพุท-มัลติเพลิเอทพุท จะทำให้ความจุช่องสัญญาณที่ได้เพิ่มขึ้นแบบเชิงเส้น ตาม จำนวนสายอากาศที่เพิ่มขึ้น โดยอาศัยคุณสมบัติของการเพดดแบบหลายวิถีเป็นกุญแจสำคัญ

จากพื้นฐานการคำนวณค่าความจุช่องสัญญาณสำหรับช่องสัญญาณแบบ AWGN ได้นำไป พิจารณาค่าความจุช่องสัญญาณ สำหรับระบบที่ใช้เทคนิคสายอากาศแบบหลายองค์ประกอบแบบ ต่าง ๆ โดยเราสามารถสรุปขอบเขตของค่าความจุของระบบมัลติเพลิอินพุท-มัลติเพลิเอทพุทเทียบ กับค่าความจุของระบบซิงเกิลอินพุท-ซิงเกิลเอาท์พุท ระบบซิงเกิลอินพุท-มัลติเพลิเอทพุท และ ระบบมัลติเพลิอินพุท-ซิงเกิลเอาท์พุท โดยเราจะทำการให้นิยามคุณลักษณะของระบบไว้ดังนี้

1) ช่องสัญญาณเป็นแบบไม่มีความจำ นั่นหมายถึง แต่ละช่องสัญญาณมีความเป็น อิสระต่อกัน (Telatar, 1995)

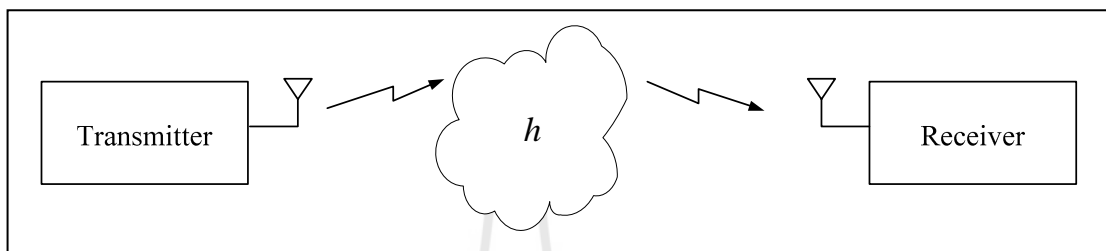
2) เราจะพิจารณาเฉพาะค่าความจุระบบที่มีรูปแบบผู้ใช้งานคนเดียว และสัญญาณที่ ด้านรับมีการรับกวนด้วยสัญญาณแบบ AWGN เพียงชนิดเดียว

3) การวิเคราะห์ค่าความจุอาศัยพื้นฐานของสภาวะที่เป็นแบบ quasi-static นั่น หมายความว่า ช่องสัญญาณ มีการคงตัวในเวลาหนึ่ง และมีระยะเวลาที่นานพอที่ข้อมูลสามารถ

ที่จะส่งได้อีกมีนัยสำคัญ (Gesbert, Shafi, Shiu, Smith and Naguib, 2003; Foschini and Gans, 1998)

3.4.1 ค่าความจุของระบบชิงเกิลอินพุท-ชิงเกิลเอาท์พุท

สำหรับระบบชิงเกิลอินพุท-ชิงเกิลเอาท์พุท เป็นระบบที่ประกอบด้วยสายอากาศ ภาครับ 1 องค์ประกอบ และสายอากาศภาคส่งจำนวน 1 องค์ประกอบ โดยมีอัตราขยายช่องสัญญาณระหว่างภาครับและภาคส่งแทนด้วย h ดังแสดงในรูปที่ 3.4



รูปที่ 3.4 แบบจำลองช่องสัญญาณระบบชิงเกิลอินพุท-ชิงเกิลเอาท์พุท

ค่าความจุช่องสัญญาณสำหรับระบบชิงเกิลอินพุท-ชิงเกิลเอาท์พุท สามารถหาได้ดังนี้ (Gesbert, Shafi, Shiu, Smith and Naguib A., 2003)

$$C_{SISO} = \log_2 (1 + \rho |h|^2) \quad (3.7)$$

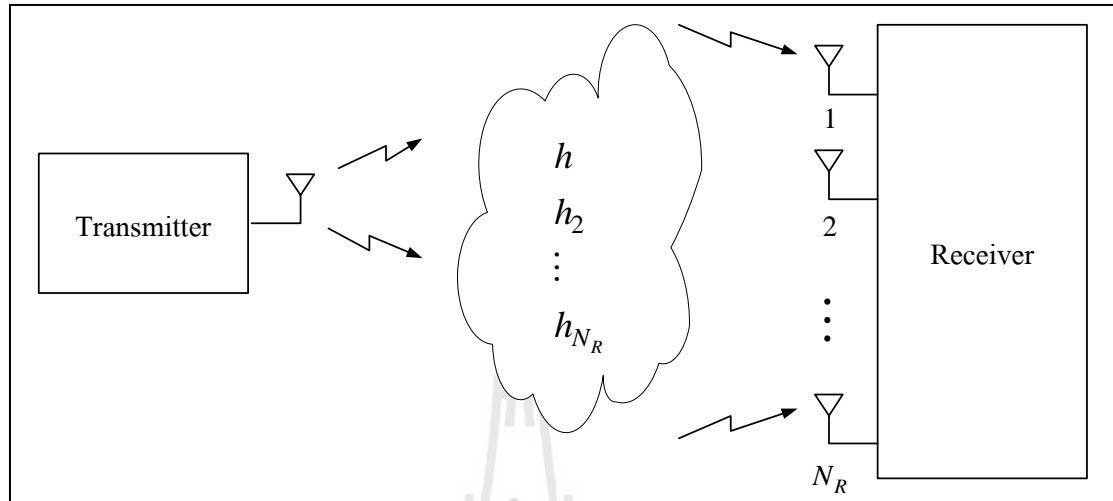
โดยที่ ρ แทนค่าสัดส่วนสัญญาณต่อสัญญาณรบกวน (Signal-to-Noise Ratio : SNR) ที่สายอากาศภาครับ และ h แทนนอร์มอลไอลซ์อัตราขยายเชิงช้อนของช่องสัญญาณ

3.4.2 ค่าความจุของระบบชิงเกิลอินพุท-มัลติเพลเอาท์พุท และระบบมัลติเพลอินพุท-ชิงเกิลเอาท์พุท

ค่าความจุช่องสัญญาณของระบบชิงเกิลอินพุท-มัลติเพลเอาท์พุท สามารถหาได้ดังนี้ (Gesbert, Shafi, Shiu, Smith and Naguib, 2003)

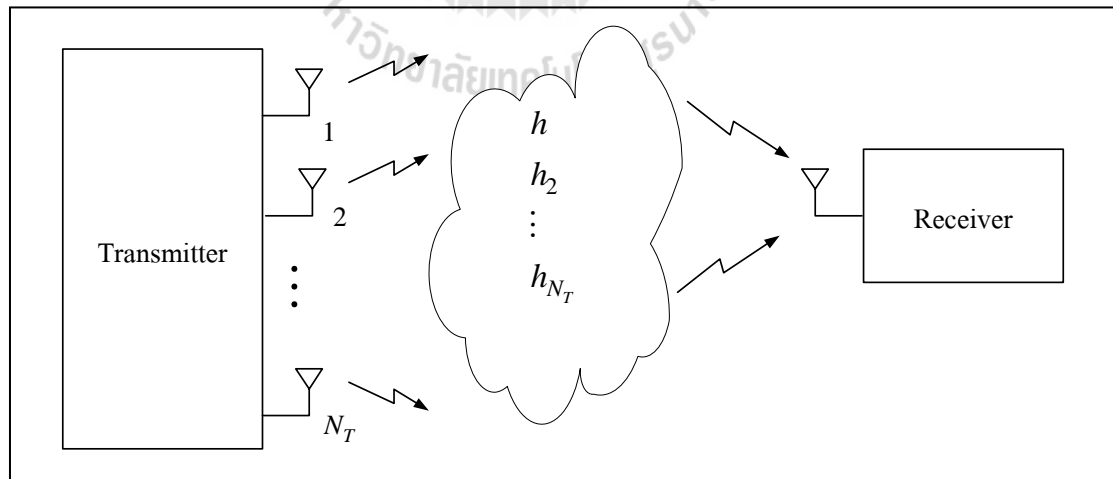
$$C_{SIMO} = \log_2 \left(1 + \rho \cdot \sum_{m=1}^{N_R} |h_m|^2 \right) \quad (3.8)$$

โดยที่ จำนวนสายอากาศส่งมีค่าเป็น 1 จำนวนสายอากาศรับมีค่าเป็น N_R และ h_m แทน อัตราขยายของสายอากาศตัวที่ m ดังแสดงในรูปที่ 3.5



รูปที่ 3.5 แบบจำลองช่องสัญญาณระบบซิงเกิลอินพุท-มัลติเพลเอาท์พุท

อย่างไรก็ตามสำหรับระบบที่มีจำนวนสายอากาศส่งเป็น N_T จำนวนสายอากาศ ภาครับเป็น 1 และ h_n แทนอัตราขยายของสายอากาศตัวที่ n ดังแสดงในรูปที่ 3.6



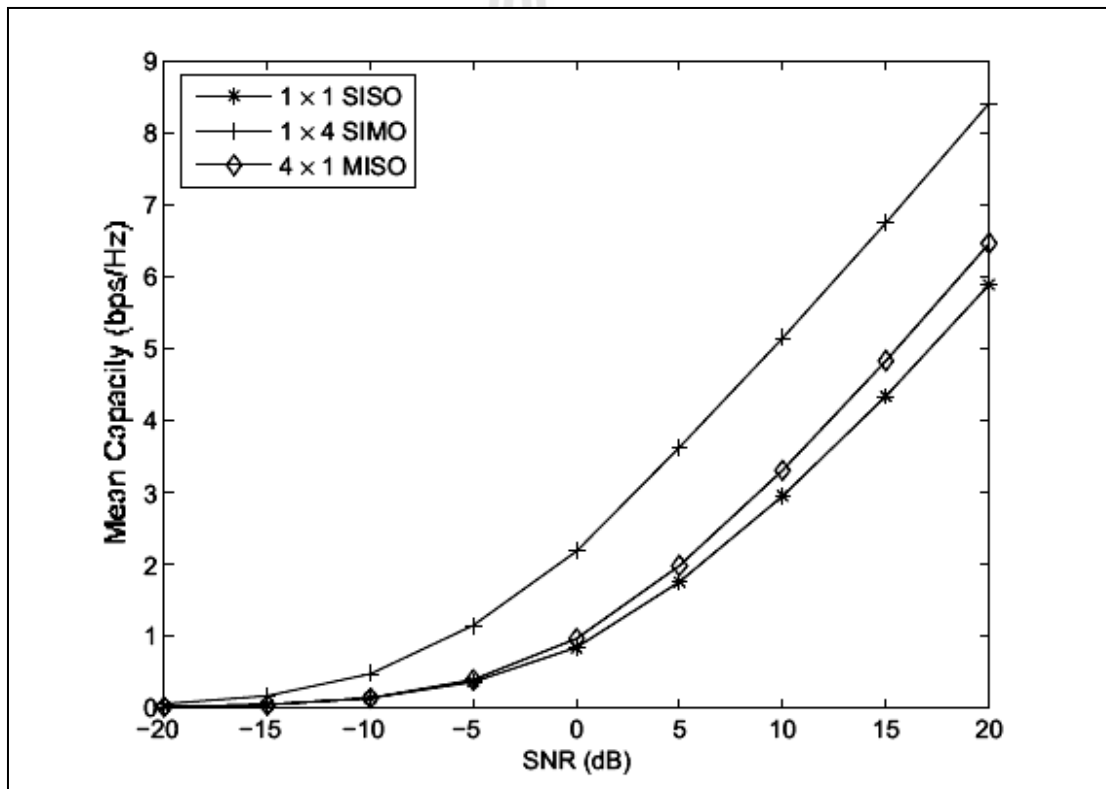
รูปที่ 3.6 แบบจำลองช่องสัญญาณระบบมัลติเพลอินพุท-ซิงเกิลเอาท์พุท

ค่าความจุช่องสัญญาณของระบบจะเรียกว่าระบบมัลติเพลอกล้อนพุท-ชิงเกิลเอาท์พุทสามารถหาได้ดังนี้ (Gesbert, Shafi, Shiu, Smith and Naguib, 2003)

$$C_{MISO} = \log_2 \left(1 + \frac{\rho}{N_T} \cdot \sum_{n=1}^{N_T} |h_n|^2 \right) \quad (3.9)$$

โดยที่ h_n แทนอัตราขยายของสายอากาศตัวที่ n

เพื่อให้แน่ใจว่ากำลังงานที่ส่งจากสายอากาศด้านส่งมีค่าเท่ากัน จึงต้องมีการทำnoramlization ค่าสัดส่วนสัญญาณต่อสัญญาณรับกวนด้วย N_T



รูปที่ 3.7 เปรียบเทียบค่าสัดส่วนสัญญาณต่อสัญญาณรับกวนกับค่าความจุช่องสัญญาณของระบบ SISO SIMO และ MISO

ในรูปที่ 3.7 แสดงค่าความจุช่องสัญญาณระบบชิงเกิลօนพุท-ชิงเกิลเอาท์พุท ระบบชิงเกิลօนพุท-มัลติเพลอกล้อนพุท และระบบมัลติเพลอกล้อนพุท-ชิงเกิลเอาท์พุท ซึ่งเป็นการเปรียบเทียบ

ค่าความจุช่องสัญญาณกับค่าสัดส่วนสัญญาณต่อสัญญาณรบกวน โดยใช้สมการ (3.7) ถึง (3.9) ซึ่งจากรูปที่ 3.7 จะเห็นได้ว่าระบบซิงเกิลอินพุท-มัลติเพลโอเอท์พุท และระบบมัลติเพลอินพุท-ซิงเกิลโอเอท์พุทสามารถปรับปรุงค่าความจุของระบบได้มากกว่าระบบซิงเกิลอินพุท-ซิงเกิลโอเอท์พุท โดยการใช้จำนวนสายอากาศที่มากกว่าอย่างไรก็ตามระบบซิงเกิลอินพุท-มัลติเพลโอเอท์พุท และระบบมัลติเพลอินพุท-ซิงเกิลโอเอท์พุท แสดงให้เห็นว่า การเพิ่มขึ้นของความจุช่องสัญญาณมีความสัมพันธ์ในลักษณะเพิ่มขึ้นแบบลดการวิ่ง เมื่อเทียบกับจำนวนสายอากาศที่เพิ่มขึ้น และหากเปรียบเทียบสมการ (3.8) กับสมการ (3.9) แล้ว จะเห็นได้อย่างชัดเจนว่า ค่าความจุของระบบซิงเกิลอินพุท-มัลติเพลโอเอท์พุท มีค่ามากกว่าระบบมัลติเพลอินพุท-ซิงเกิลโอเอท์พุทในการณ์เงื่อนไขที่ไม่มีข้อมูลของช่องสัญญาณที่ระบบภาคส่ง

3.5 ความจุช่องสัญญาณระบบมัลติเพลอินพุท-มัลติเพลโอเอท์พุท

ในหัวข้อนี้เราจะทำการพิจารณาค่าความจุของช่องสัญญาณระบบมัลติเพลอินพุท-มัลติเพลโอเอท์พุท โดยจะพิจารณาในเงื่อนไขที่แตกต่างกันสองแบบ คือกรณีที่ไม่ทราบข้อมูลช่องสัญญาณของภาคส่ง (เงื่อนไขกำลังงานมีค่าเท่ากัน) และกรณีที่เราทราบข้อมูลช่องสัญญาณของภาคส่ง (เงื่อนไขกำลังงานแบบวอเตอร์ฟลั่ง) ซึ่งเป็นเงื่อนไขที่ใช้ในการพิจารณาค่าความจุของช่องสัญญาณระบบมัลติเพลอินพุท-มัลติเพลโอเอท์พุทที่มีความสำคัญ

3.5.1 กรณีที่ไม่ทราบข้อมูลช่องสัญญาณของภาคส่ง (เงื่อนไขกำลังงานมีค่าเท่ากัน)

สำหรับระบบมัลติเพลอินพุท-มัลติเพลโอเอท์พุท ที่มีสำหรับสายอากาศภาคส่งจำนวน N_T และสายอากาศภาครับจำนวน N_R ค่าความจุช่องสัญญาณของระบบที่มีกำลังงานที่ส่งเท่ากันสามารถเขียนได้เป็น (Telatar, 1995; Foschini and Gans, 1998)

$$C_{EP} = \log_2 \left[\det \left(\mathbf{I} + \frac{\rho}{N_T} \cdot \mathbf{H} \mathbf{H}^\dagger \right) \right] \quad (3.10)$$

โดยที่ $\det(\cdot)$ แทนการหาค่าดีเทอร์มิเนนต์ (determinant) ของเมตริกซ์

\mathbf{I} แทนเมตริกซ์หน่วยที่มีขนาด $N_R \times N_T$

ρ แทนค่าเฉลี่ยของสัดส่วนสัญญาณต่อสัญญาณรบกวนที่ภาครับ

\mathbf{H}^\dagger แทนค่า conjugate transpose ของ \mathbf{H}

ในการศึกษาคุณลักษณะของเมตริกซ์ช่องสัญญาณ \mathbf{H} เราสามารถอาศัยคุณสมบัติของการหาค่าซิงกูลาร์ดีคอมโพซิชัน (Singular Value Decomposition : SVD) ของ \mathbf{H} โดยการหา

ค่าทแยงมุมของ \mathbf{H} และหาค่าไอกน (eigenvalues) โดยวิธีการขยายค่าซิงกูลาร์ดิคอมโพซิชันสำหรับ \mathbf{H} ที่มีขนาด $N_R \times N_T$ ได ๆ สามารถเขียนได้ดังนี้

$$\mathbf{H} = \mathbf{UDV}^\dagger \quad (3.11)$$

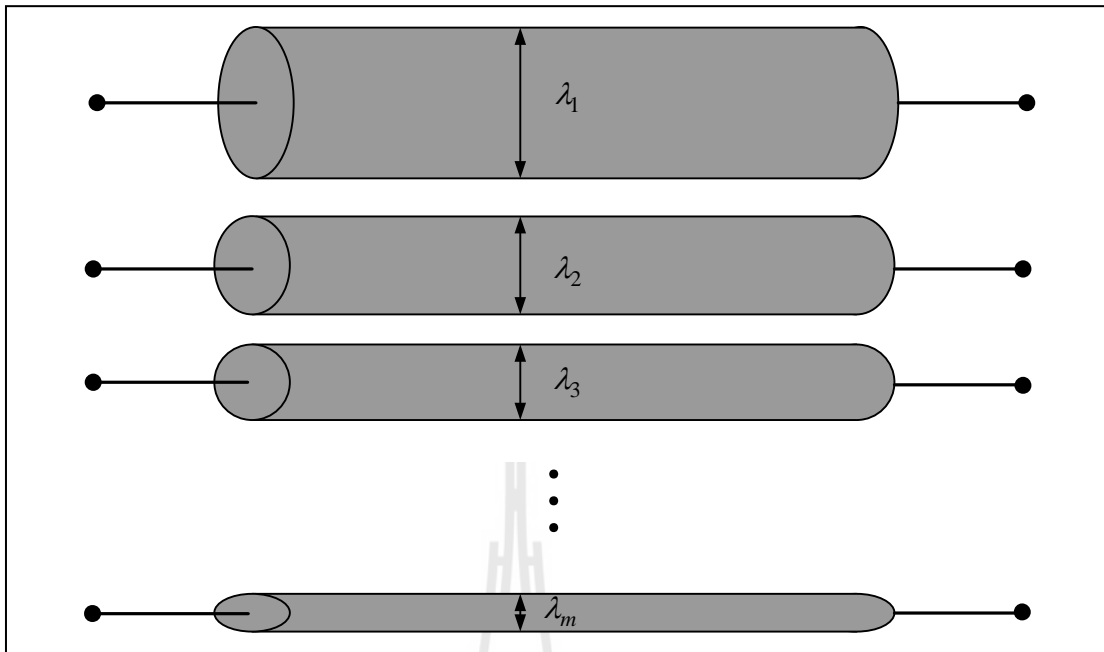
โดยที่ \mathbf{U} เป็นยูนิแทรีเมทริกซ์ (unitary matrix) ขนาด $N_R \times N_R$ และ \mathbf{V} เป็นยูนิแทรีเมทริกซ์ ขนาด $N_T \times N_T$ นั่นหมายความว่า $\mathbf{UU}^\dagger = \mathbf{VV}^\dagger = \mathbf{I}$ และ \mathbf{D} มีค่าไม่เป็นค่าลบ และมีองค์ประกอบในแนวทแยงมุมกำหนดได้ดังนี้

$$\mathbf{D} = \text{diag}(\sqrt{\lambda_1}, \sqrt{\lambda_2}, \dots, \sqrt{\lambda_m}, 0, \dots, 0) \quad (3.12)$$

โดยที่ $\text{diag}(\mathbf{A})$ คือเวคเตอร์ที่ประกอบด้วยค่าองค์ประกอบในแนวทแยงมุมของเวคเตอร์ \mathbf{A} ส่วน $\lambda_1, \lambda_2, \dots, \lambda_m$ คือค่าไอกนที่ไม่เท่ากับศูนย์ของเวคเตอร์ \mathbf{W} โดยที่ $m = \max(N_R, N_T)$ และ

$$\mathbf{W} = \begin{cases} \mathbf{HH}^\dagger, & N_R \leq N_T \\ \mathbf{H}^\dagger \mathbf{H}, & N_R > N_T \end{cases} \quad (3.13)$$

หากคอลัมน์ของ \mathbf{U} เป็นไอกนเวคเตอร์ของ \mathbf{HH}^\dagger และคอลัมน์ของ \mathbf{V} เป็นไอกนเวคเตอร์ของ $\mathbf{H}^\dagger \mathbf{H}$ (Telatar, 1995) ค่าซิงกูลาร์ดิคอมโพซิชันในสมการ (3.10) ที่แสดงค่าเมทริกซ์ช่องสัญญาณ \mathbf{H} สามารถหาค่าทแยงมุมเป็นค่าช่องสัญญาณย่อยที่ตั้งหากันโดยอิสระ และโดยที่อัตราขยายกำลังงานของช่องสัญญาณที่ i มีค่าเป็น λ_i (Gesbert, Shafi, Shiu, Smith and Naguib, 2003) แล้ว สถานการณ์นี้สามารถแสดงได้ดังรูปที่ 3.8



รูปที่ 3.8 ช่องสัญญาณแบบไอกেน

ด้วยการแทนค่า \mathbf{H} ด้วย \mathbf{UDV}^\dagger ตามสมการ (3.11) และคุณสมการ (3.1) ด้วย \mathbf{U}^\dagger เราสามารถเขียนสมการ (3.1) ได้ใหม่เป็น

$$\tilde{\mathbf{y}} = \mathbf{D}\tilde{\mathbf{x}} + \tilde{\mathbf{n}} \quad (3.14)$$

โดยที่ $\tilde{\mathbf{y}} = \mathbf{U}^\dagger \mathbf{y}$ $\tilde{\mathbf{x}} = \mathbf{V}^\dagger \mathbf{x}$ และ $\tilde{\mathbf{n}} = \mathbf{U}^\dagger \mathbf{n}$

ในทำนองเดียวกันสมการ (3.10) สามารถเขียนใหม่ได้เป็น (Gesbert, Shafi, Shiu, Smith and Naguib, 2003)

$$C_{EP} = \sum_{i=1}^m \log_2 \left(1 + \frac{\rho}{N_T} \lambda_i \right) \quad (3.15)$$

โดยที่ $\lambda_1, \lambda_2, \dots, \lambda_m$ คือค่าไอกेनที่ไม่เท่ากับศูนย์ของเวกเตอร์ \mathbf{W} ที่ได้จากสมการ (3.12)

3.5.2 กรณีที่เราทราบข้อมูลช่องสัญญาณของภาคส่ง(เงื่อนไขกำลังงานแบบวอเตอร์ฟิลลิ่ง)

ดังที่ได้อธิบายไปแล้วในหัวข้อที่ผ่านมา หากเราไม่ทราบข้อมูลช่องสัญญาณที่ภาคส่ง จะทำให้เราไม่สามารถเข้าถึงช่องสัญญาณย่อย ๆ ได้ ซึ่งเงื่อนไขกรณีที่ให้กำลังงานมีค่าเท่ากันสำหรับทุกช่องสัญญาณจึงมีความเหมาะสมในกรณีนี้

แต่ในกรณีที่เราทราบข้อมูลของช่องสัญญาณโดยสมบูรณ์แล้ว วิธีการภายในได้เงื่อนไข กำลังงานแบบวอเตอร์ฟิลลิ่ง จะช่วยปรับปรุงกำลังงานของสัญญาณที่ภาคส่งให้เหมาะสมได้ โดยที่ทฤษฎีพื้นฐานของวิธีการนี้ คือจะทำการแบ่งช่องสัญญาณที่มีกำลังงานไม่เหมาะสม โดยการลด กำลังงานในช่องสัญญาณที่มากไป เพื่อไปทดเชยให้กับช่องสัญญาณที่มีค่าต่ำกว่า โดยผลลัพธ์ที่ได้ดังแสดงได้ดังนี้ (Telatar, 1995; Khalighi, Brossier, Jourdain and Raoof, 2001; Gesbert, Shafiq, Shiu, Smith and Naguib, 2003)

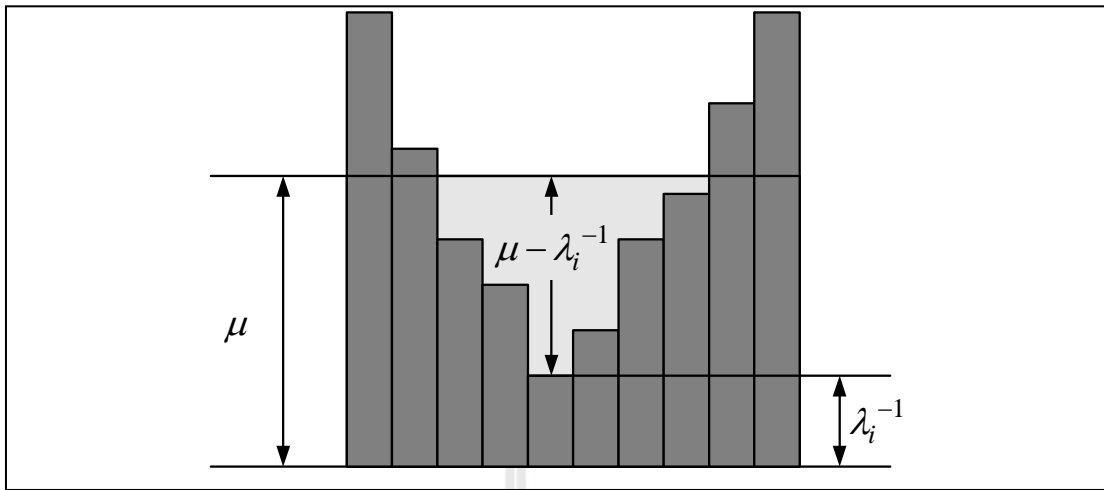
$$C_{WF} = \sum_{i=1}^m \log_2(\mu\lambda_i)^+ \quad (3.16)$$

โดยที่ μ คำนวนได้จากขั้นตอนวิธีวอเตอร์ฟิลลิ่ง (water-filling algorithm) ซึ่งหาได้จากการ

$$\rho = \sum_{i=1}^m (\mu - \lambda_i^{-1})^+ \quad (3.17)$$

ซึ่ง $(.)^+$ หมายถึงค่าที่เป็นค่าบวกเท่านั้น และ $\lambda_1, \lambda_2, \dots, \lambda_m$ คือค่าไอเกนที่ไม่เท่ากับศูนย์ของ เวคเตอร์ \mathbf{W} โดยที่ $m = \max(N_R, N_T)$

หากเราเปรียบเทียบกับเงื่อนไขกรณีที่ให้กำลังงานมีค่าเท่ากันในสมการ (3.15) แล้ว เงื่อนไขวอเตอร์ฟิลลิ่ง ในสมการ (3.16) จะมีข้อดีในส่วนที่ให้ค่าสัดส่วนสัญญาณต่อสัญญาณ รับกวนที่ต่ำกว่า โดยแนวคิดเงื่อนไขวอเตอร์ฟิลลิ่งแสดงได้ดังรูปที่ 3.9



รูปที่ 3.9 ช่องสัญญาณแบบวอเตอร์ฟิลลิ่ง

3.6 การวัดประสิทธิภาพระบบมัลติเพลินพุท-มัลติเพลเอ้าท์พุท

เนื่องจากช่องสัญญาณ \mathbf{H} เป็นค่าสุ่ม ดังนั้นค่าความจุของช่องสัญญาณสำหรับระบบมัลติเพลินพุท-มัลติเพลเอ้าท์พุท จึงเป็นค่าตัวแปรเรชิงสุ่ม ค่าความจุช่องสัญญาณแบบเฟดดิ้ง สามารถกำหนดได้หลายวิธี ในทางปฏิบัติค่าความจุเฉลี่ย (mean capacity) และค่าความจุที่ไม่สามารถใช้ได้ (outage capacity) ถือเป็นค่าที่ใช้กันโดยทั่วไปในการวัดค่าใช้สอยสถิติ

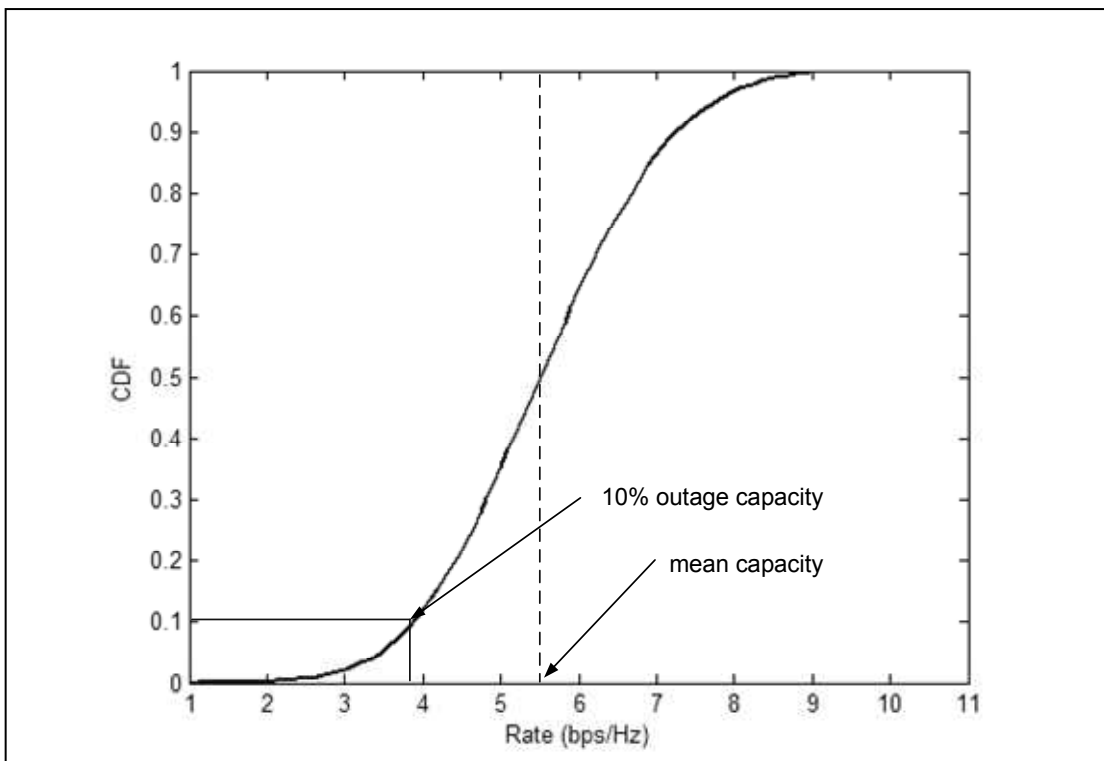
ค่าความจุเฉลี่ยของระบบมัลติเพลินพุท-มัลติเพลเอ้าท์พุทแทนด้วย \bar{C} โดยการรวมค่าเฉลี่ยของอัตราการรับส่งข่าวสารบนช่องสัญญาณ \mathbf{H} ที่พิจารณาโดยที่ค่าเฉลี่ย (Telatar, 1995) หาได้จาก

$$\bar{C} = E \left\{ \sum_{i=1}^m \log_2 \left(1 + \frac{\rho}{N_T} \lambda_i \right) \right\} \quad (3.18)$$

สำหรับค่าความจุที่ไม่สามารถใช้งานได้ จะกำหนดได้โดยระดับของเปอร์เซ็นต์ของระบบไม่สามารถใช้งานที่ค่าความจุช่องสัญญาณนั้นได้ โดยเราจะกำหนดระดับเปอร์เซ็นต์แทนด้วย q ค่าความจุที่ไม่สามารถใช้ได้แทนด้วยสัญลักษณ์ $C_{out,q}$ โดยจะหมายถึงอัตราการรับส่งข่าวสารที่สามารถใช้งานได้ค่าเป็น $(100 - q)$ เปอร์เซ็นต์ของช่องสัญญาณที่พิจารณาเขียนได้เป็น

$$P(C \leq C_{out,q}) = q\% \quad (3.19)$$

โดยรูปที่ 3.10 จะแสดงค่าฟังก์ชันการแจกแจงสะสมของช่องสัญญาณระบบมัลติเพลิอินพุท-มัลติเพลิโอเอท์พุทมีหน่วยเป็นบิตต่อวินาทีต่อเฮิรตซ์ (bps/Hz) โดยที่มีจำนวนสายอากาศด้านส่งเป็น 2 และจำนวนสายอากาศด้านรับเป็น 2 โดยให้ค่าสัดส่วนสัญญาณต่อสัญญาณรบกวนมีค่าเป็น 10 dB ภายใต้เงื่อนไขที่ไม่ทราบข้อมูลของช่องสัญญาณที่ภาคส่ง โดยจะเห็นว่าค่าความจุเฉลี่ยที่ได้มีค่าเป็น 5.5593 bps/Hz ขณะที่ค่าความจุที่ไม่สามารถใช้งานได้ที่ระดับ 10% มีค่าเป็น 3.896 bps/Hz



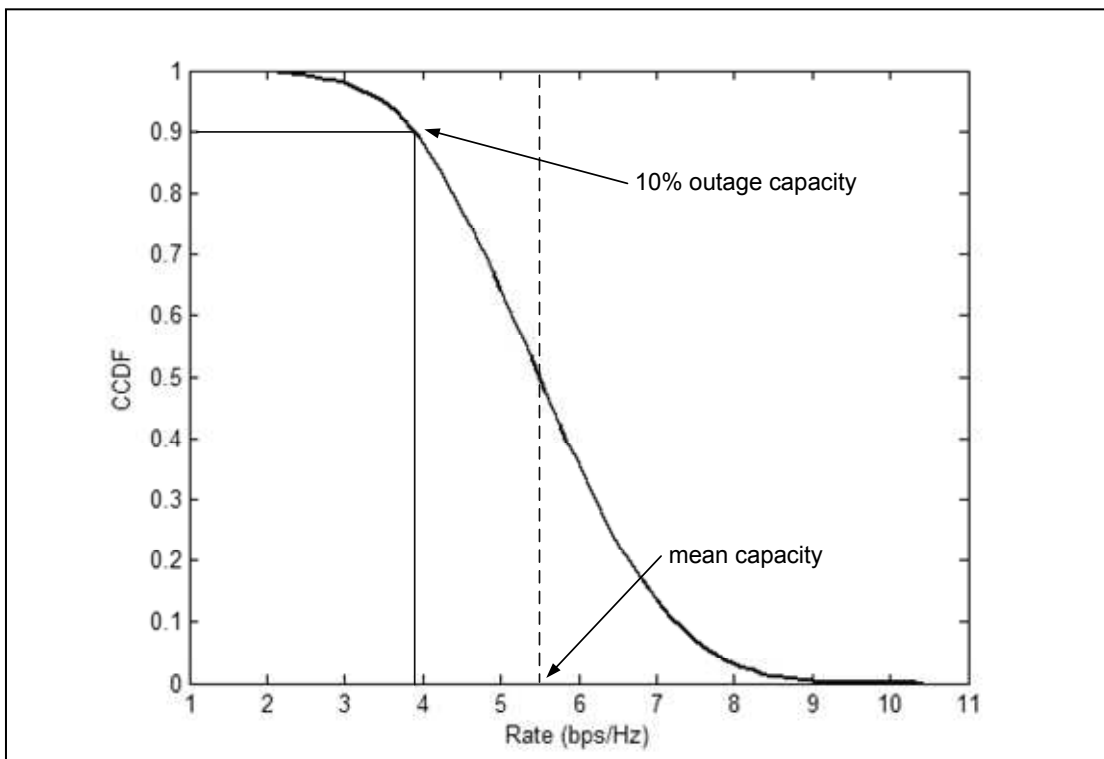
รูปที่ 3.10 ค่า CDF ของความจุช่องสัญญาณ 2x2 MIMO แบบ i.i.d. ที่ SNR = 10 dB

อย่างไรก็ตามในงานวิจัยนี้จะได้นำเสนอค่าความจุช่องสัญญาณที่ได้จากการจำลองแบบในรูปแบบที่เป็นค่าส่วนเติมเต็มของฟังก์ชันการแจกแจงสะสม (Complementary Cumulative Distribution Functions : CCDF)

ค่าส่วนเติมเต็มของฟังก์ชันการแจกแจงสะสมจะสัมพันธ์กับค่าฟังก์ชันการแจกแจงสะสมตามสมการ (3.20)

$$Q(x) = 1 - F(x) \quad (3.20)$$

โดยที่ $F(x)$ เป็นค่าฟังก์ชันการแจกแจงสะสม และ $Q(x)$ เป็นค่าส่วนเติมเต็มของฟังก์ชันการแจกแจงสะสม ดังแสดงในรูปที่ 3.11



รูปที่ 3.11 ค่า CCDF ของความจุช่องสัญญาณ 2x2 MIMO แบบ i.i.d. ที่ SNR = 10 dB

จากรูปที่ 3.11 ได้แสดงตัวอย่างค่าความจุช่องสัญญาณระบบมัลติเพลินพุท-มัลติเพลิเออร์พุท จะเห็นได้ว่าเป็นค่าของข้อมูลเดียวกันในรูปที่ 3.10 และ 3.11 ค่า $C_{out,0.1} = 3.896 \text{ bps/Hz}$ จะหมายถึงโอกาสที่ระบบจะมีค่าความจุช่องสัญญาณต่ำกว่า 3.896 bps/Hz มีอยู่ 10% หรือกล่าวอีกนัยหนึ่ง คือมีโอกาส 90% ที่ระบบจะมีค่าความจุช่องสัญญาณมากกว่าค่าตามเกณฑ์คือ 3.896 bps/Hz และค่าความจุเฉลี่ยที่ได้มีค่าเป็น 5.5593 bps/Hz เช่นเดียวกับค่า CDF

3.7 สรุป

ในบทนี้ได้อธิบายถึงแบบจำลองระบบมัลติเพลินพุท-มัลติเพลิเออร์พุท โดยได้กล่าวถึงในรายละเอียดของแบบจำลองพื้นฐานต่าง ๆ ได้แก่ แบบจำลองช่องสัญญาณแบบมีความอิสระต่อกัน และมีการแจกแจงเหมือนกัน แบบจำลอง “One-Ring” แบบจำลองช่องสัญญาณเชิงพื้นที่ และได้กล่าวถึงสมการในการคำนวณหาค่าความจุช่องสัญญาณระบบซิงเกิลอินพุท-ซิงเกิลเออร์พุท ระบบ

ชิงเกิลอินพุท-มัลติเพลเอาท์พุท ระบบมัลติเพลอินพุท-ชิงเกิลเอาท์พุท และได้ทำการเปรียบเทียบค่าความจุช่องสัญญาณที่ได้จากแบบจำลองของระบบชิงเกิลอินพุท-ชิงเกิลเอาท์พุท ระบบชิงเกิล อินพุท-มัลติเพลเอาท์พุท ระบบมัลติเพลอินพุท-ชิงเกิลเอาท์พุท รวมทั้งได้แสดงค่าแบบจำลองค่าความจุช่องสัญญาณระบบมัลติเพลอินพุท-มัลติเพลเอาท์พุท ในเงื่อนไขที่แตกต่างกันสองแบบ คือ กรณีที่ไม่ทราบข้อมูลช่องสัญญาณของภาคส่ง (เงื่อนไขกำลังงานมีค่าเท่ากัน) และ กรณีที่ทราบ ข้อมูลช่องสัญญาณของภาคส่ง (เงื่อนไขกำลังงานแบบวอเตอร์ฟลั่ง) โดยทั้งแบบจำลอง ช่องสัญญาณและแบบจำลองความจุช่องสัญญาณทั้งหมดที่ได้กล่าวมานี้ จะเป็นกุญแจสำคัญที่จะ ได้นำมาพัฒนาต่อไปในงานวิจัย ซึ่งจะ ได้อธิบายในบทถัดไป และยังได้กล่าวถึงวิธีการวัดผล เปรียบเทียบค่าความจุช่องสัญญาณเชิงสถิติที่ได้จากแบบจำลอง ซึ่งได้แก่ ค่าความจุเฉลี่ย และค่า ความจุที่ไม่สามารถใช้งานได้ โดยสำหรับค่าความจุที่ไม่สามารถใช้งานได้ จะแสดงค่าในรูปของ ค่า ฟังก์ชันการแจกแจงสะสม และ ค่าส่วนเติมเต็มของฟังก์ชันการแจกแจงสะสม



บทที่ 4

การพัฒนาแบบจำลองระบบมัลติเพลอินพุท-มัลติเพลเอาท์พุท

4.1 บทนำ

ในบทนี้จะกล่าวถึงการพัฒนาแบบจำลองเพื่อหาค่าความจุช่องสัญญาณระบบมัลติเพลอินพุท-มัลติเพลเอาท์พุท โดยอาศัยแบบจำลองที่ได้จากการศึกษาวิจัยที่ผ่านมาเป็นพื้นฐานในการนำมาพัฒนา โดยพิจารณาผลที่เกิดจากแบบรูปการแผ่พลังงานของสายอากาศ เพื่อนำผลที่ได้จากการพัฒนาในแบบจำลองหาค่าความจุช่องสัญญาณ และวิเคราะห์ผลที่ได้ต่อไป

4.2 การวิเคราะห์และพัฒนาแบบจำลองความจุช่องสัญญาณ

สำหรับระบบมัลติเพลอินพุท-มัลติเพลเอาท์พุท เราสามารถพิจารณาผลกระบวนการที่มีต่อแบบจำลองช่องสัญญาณที่เกิดจากคุณสมบัติของสายอากาศที่ใช้ ซึ่งโดยทั่วไปแล้วคุณสมบัติของสายอากาศที่มีการนำมาพิจารณา ได้แก่

- 1) แบบรูปการแผ่พลังงานของสายอากาศแต่ละองค์ประกอบ (element radiation pattern)
- 2) รูปแบบการจัดวางสายอากาศแบบแฉลาม (array configuration)
- 3) ชนิดของโพลาไรเซชันของสายอากาศแต่ละองค์ประกอบ (element polarization)
- 4) ค่าผลจากการมิวชาลคัปปลิ่ง

สำหรับในงานวิจัยนี้จะพิจารณาเฉพาะผลจากแบบรูปการแผ่พลังงานของสายอากาศแต่ละองค์ประกอบ ที่ส่งผลกับความความจุช่องสัญญาณระบบมัลติเพลอินพุท-มัลติเพลเอาท์พุท โดยอาศัยการพัฒนาแบบจำลองโดยพิจารณาส่วนของอัตราขยายช่องสัญญาณเดิม และแยกพิจารณาส่วนของแบบรูปการแผ่พลังงานของสายอากาศออกจากอัตราขยายช่องสัญญาณเดิม เพื่อให้สามารถพิจารณาผลที่เกิดขึ้นได้ชัดเจนขึ้น

4.2.1 แบบจำลองสำหรับแบบรูปการแผ่พลังงานของสายอากาศสองมิติ

ในบทที่ผ่านเรามีอธิบายถึงระบบมัลติเพลอินพุท-มัลติเพลเอาท์พุทที่มีผู้ใช้งานคนเดียวในย่านความถี่ที่เป็นแถบความถี่แคบ โดยให้จำนวนสายอากาศด้านส่งเป็น N_T และจำนวนสายอากาศด้านรับเป็น N_R โดยมีค่าเฉลี่ยของสายอากาศทั้งด้านรับ และด้านส่งมีค่าเท่ากัน

ความสัมพันธ์แบบเชิงเส้นของสัญญาณที่ได้รับที่สายอากาศครับ และสัญญาณที่ส่งออกที่สายอากาศส่ง สามารถเขียนให้อยู่ในรูปเวคเตอร์ได้ดังนี้

$$\mathbf{y} = \mathbf{Hx} + \mathbf{n} \quad (4.1)$$

โดยที่ \mathbf{y} แทนเวคเตอร์สัญญาณที่ภาครับขนาด $N_R \times 1$
 \mathbf{x} แทนเวคเตอร์สัญญาณที่ภาคส่งขนาด $N_T \times 1$
 \mathbf{n} แทนเวคเตอร์สัญญาณรบกวนแบบเกาส์เซียนที่มีค่าเฉลี่ยเป็นศูนย์ และมีความแปรปรวนเท่ากับ σ^2
 \mathbf{H} แทนอร์มอลไลซ์เวคเตอร์ช่องสัญญาณที่มีขนาด $N_R \times N_T$
 ซึ่ง \mathbf{H} สามารถเขียนแทนได้ดังนี้

$$\mathbf{H} = \begin{bmatrix} h_{11} & h_{12} & \cdots & h_{1N_T} \\ h_{21} & h_{22} & \cdots & h_{2N_T} \\ \vdots & \vdots & \vdots & \vdots \\ h_{N_R 1} & h_{N_R 2} & \cdots & h_{N_R N_T} \end{bmatrix} \quad (4.2)$$

โดยที่แต่ละองค์ประกอบ h_{mn} จะแสดงค่าอัตราขยายเชิงช้อน ระหว่างสายอากาศส่งตัวที่ n กับสายอากาศรับตัวที่ m

หากเราพิจารณาที่สายอากาศครับที่มีผลที่เกิดจากอัตราขยายช่องสัญญาณแต่ละคู่ แทนด้วย h_{mn} ซึ่งแบบจำลองช่องสัญญาณย่อย ๆ แต่ละช่องสัญญาณ หรือ เมื่อพิจารณาระบบมัลติเพลินพุท-มัลติเพลอาท์พุทที่มีจำนวนสายอากาศครับ และภาคส่งเพียงองค์ประกอบเดียว เราสามารถเขียนความสัมพันธ์ได้เป็น

$$y = hx + n \quad (4.3)$$

โดยที่ y แทนสัญญาณที่ภาครับ x แทนสัญญาณที่ภาคส่ง n แทนสัญญาณรบกวนที่ภาครับ และ h แทนอัตราขยายช่องสัญญาณ

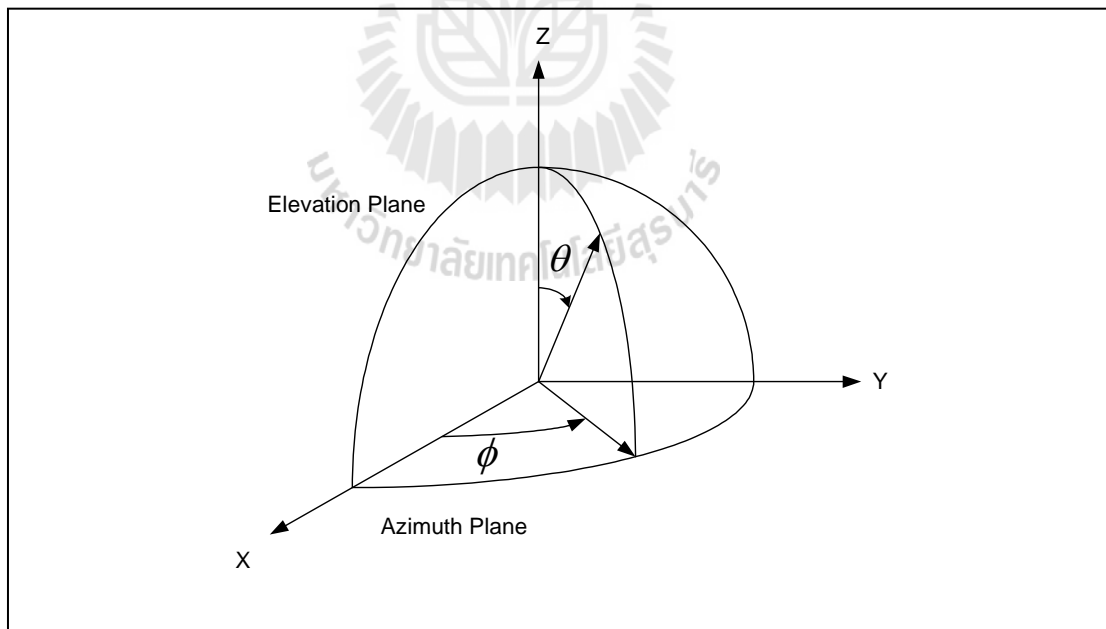
จากที่ได้อธิบายพื้นฐานด้านสายอากาศไว้ในบทที่ 2 นั้นเราสามารถพิจารณาแบบรูปการแพล็ตต์งานของสายอากาศจากอัตราขยายสายอากาศ โดยอัตราขยายสายอากาศเป็น

ความสัมพันธ์ได้มาจากสภาพเจาะจงทิศทาง (directivity) โดยรวมประสีทวิภาคของสายอากาศเข้ามาด้วย ในขณะที่สภาพเจาะจงทิศทางจะอธิบายคุณสมบัติในการ ชี้ทิศทางของสายอากาศเท่านั้น

อัตราขยายของสายอากาศในทิศทางที่กำหนดให้นั้น มีค่าเท่ากับ 4π คูณกับ อัตราส่วนของความเข้มข้นของการแผ่พลังงาน (radiation intensity) ของคลื่นในทิศทางนั้นต่อ กำลังงานสุทธิที่สายอากาศ ที่รับจากข้อต่อของสายอากาศตามสมการ (2.97) เราสามารถเขียนแสดง ความสัมพันธ์ระหว่างความเข้มของการแผ่พลังงานของคลื่นกับสนามไฟฟ้าของสายอากาศใน บริเวณแผ่พลังงานสนามไกลได้ดังแสดงไว้ในสมการ (2.77) โดยเราสามารถแทนค่าจากสมการ (2.97) ลงในสมการ (2.77) ได้ดังนี้

$$G(\theta, \phi) = k \left[|E_\theta^\circ(\theta, \phi)|^2 + |E_\phi^\circ(\theta, \phi)|^2 \right] \quad (4.4)$$

โดยที่ $G(\theta, \phi)$ แทนอัตราขยายสายอากาศในทิศทาง ϕ สำหรับระนาบแนวตั้ง (elevation plane) และ θ สำหรับระนาบแนวอน (azimuth plane) ดังแสดงในรูปที่ 4.1 และ k มีค่าเท่ากับ $4\pi / 2\eta P$ เมื่อ $P = P_{in}$ ซึ่งเป็นกำลังงานที่ป้อนให้กับสายอากาศ

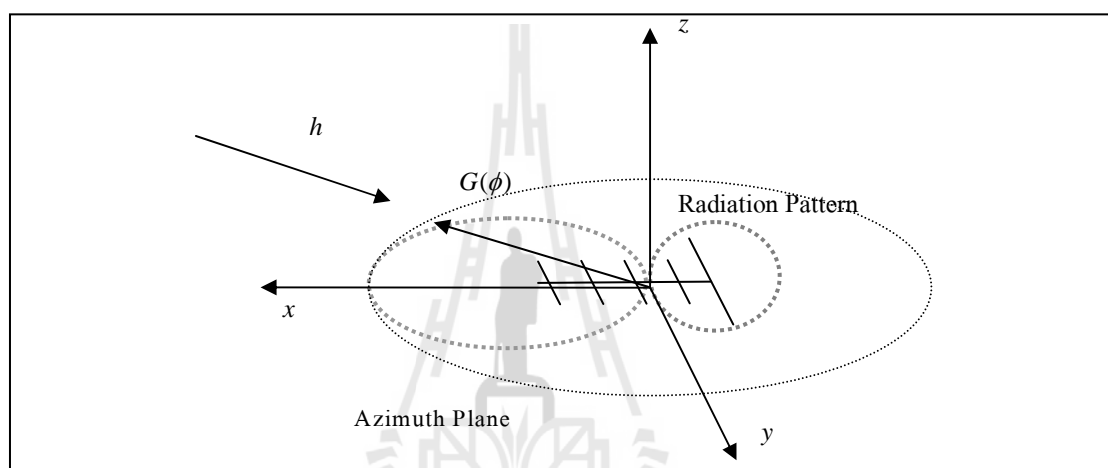


รูปที่ 4.1 ค่ามุมและระนาบในลักษณะสามมิติ

จากสมการ (4.4) เราสามารถพิจารณาว่าค่าอัตราขยายสัมพันธ์กับแบบรูปการแผ่ พลังงานของสายอากาศในลักษณะสองมิติ โดยพิจารณาเฉพาะระนาบแนวอนได้เป็น

$$G(\phi) = k \left[|E_\phi^\circ(\phi)|^2 \right] \quad (4.5)$$

นั่นแสดงว่าสามารถใช้แบบรูปการแพ็คลังงานของสายอากาศในรูปแบบที่เป็นอัตราขยายได้ ซึ่งในแบบจำลองทั่วไป จะใช้สายอากาศแบบไอโซตรอปิกที่จะให้อัตราขยายของสายอากาศมีค่าเท่ากันในทุกทิศทาง หรือหากเราพิจารณาโดยการใช้สายอากาศที่มีอัตราขยายในแต่ละทิศทางมีค่าไม่เท่ากัน จะสามารถพิจารณาค่าอัตราขยายช่องสัญญาณที่รับได้ที่ภาครับในทิศทางต่าง ๆ ในระบบสองมิติได้ดังรูปที่ 4.2



รูปที่ 4.2 อัตราขยายสัญญาณและอัตราขยายส่ายอาคารที่พิจารณาในระบบแนวโน้ม

จากรูปเราสามารถเขียนอัตราขยายช่องสัญญาณที่พิจารณาผลที่เกิดจากอัตราขยาย
สายอากาศ ซึ่งสามารถเขียนใหม่ได้ดังนี้

$$h_a = G(\phi)h \quad (4.6)$$

โดยที่ $G(\phi)$ แทนอัตราขยายสายอากาศซึ่งพิจารณาเพียงสองมิติตามสมการ (4.5) นั้นคือจะพิจารณาเฉพาะในระนาบแนวโน้มที่สายอากาศวางอยู่ ส่วน h แทนอัตราขยายช่องสัญญาณ และ h_a แทนอัตราขยายช่องสัญญาณที่พิจารณาผลที่เกิดจากอัตราขยายสายอากาศร่วมด้วย เมื่อพิจารณาเฉพาะในระนาบสองมิติ จากสมการ (4.6) เราสามารถพิจารณาขยายไปสู่ระบบมัลติเพลล์อินพุท-มัลติเพลล์เอาท์พุทที่มีจำนวนสายอากาศที่มากกว่าหนึ่งโดยแทนค่าสมการ (4.6) ลงในสมการ (4.2) จะได้สมการช่องสัญญาณระบบมัลติเพลล์อินพุท-มัลติเพลล์เอาท์พุทดังนี้

$$\mathbf{H}_a = \begin{bmatrix} G(\phi_{11})h_{11} & G(\phi_{12})h_{12} & \dots & G(\phi_{1N_T})h_{1N_T} \\ G(\phi_{21})h_{21} & G(\phi_{22})h_{22} & \dots & G(\phi_{2N_T})h_{2N_T} \\ \dots & \dots & \dots & \dots \\ G(\phi_{N_R1})h_{M1} & G(\phi_{N_R2})h_{N_R2} & \dots & G(\phi_{N_RN_T})h_{N_RN_T} \end{bmatrix} \quad (4.7)$$

โดยที่ $h_{N_RN_T}$ แทนอัตราขยายช่องสัญญาณจากสายอากาศภาคส่งตัวที่ N_T มาขึ้นสายอากาศภาครับตัวที่ N_R โดยได้พิจารณาผลอัตราขยายของสายอากาศตัวที่ N_R เข้าไปด้วยแล้ว

จากสมการ (4.7) เราสามารถเขียนสมการแบบจำลองจากสมการ (4.1) ได้ใหม่เป็น

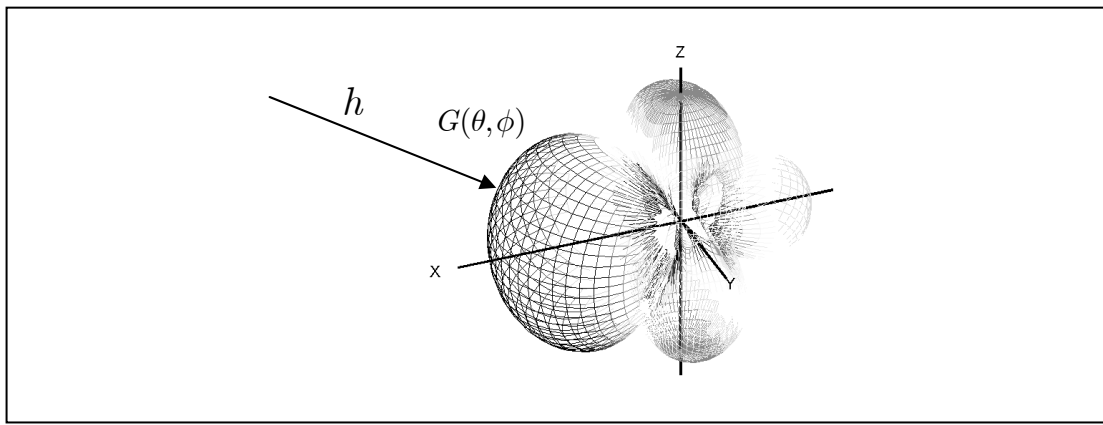
$$\mathbf{y} = \mathbf{H}_a \mathbf{x} + \mathbf{n} \quad (4.8)$$

ในการทำนองเดียวกัน โดยอาศัยแบบจำลองระบบที่มีกำลังงานที่ส่งเท่ากัน (Gesbert, Shafi, Shiu, Smith and Naguib, 2003) และนิยามคุณลักษณะของระบบดังได้กล่าวไว้ในบทที่ 3 ดังนั้นเราสามารถหาค่าความจุช่องสัญญาณของแบบจำลองในสมการ (4.8) ได้เป็น

$$C_{2D} = \log_2 \left[\det \left(\mathbf{I} + \frac{\rho}{N_T} \cdot \mathbf{H}_a \mathbf{H}_a^\dagger \right) \right] \quad (4.9)$$

4.2.2 แบบจำลองสำหรับแบบรูปการแพล็งงานของสายอากาศสามมิติ

โดยทั่วไปในการใช้งานจริงนี้ จะเป็นการใช้งานในสภาวะแวดล้อมลักษณะที่เป็นสามมิติ ดังนั้นหากเราพิจารณาที่สายอากาศภาครับในลักษณะสามมิติ เราจะต้องทำการพิจารณาค่าอัตราขยายของสายอากาศที่มีผลจากอัตราขยายช่องสัญญาณแต่ละคู่ในลักษณะที่เป็นสามมิติด้วย โดยเราสามารถพิจารณาได้ทำนองเดียวกันกับแบบจำลองในลักษณะสองมิติ จากสมการ (4.3) และ (4.4) เราจะพิจารณาค่าอัตราขยายของสายอากาศที่มีผลจากอัตราขยายช่องสัญญาณใด ๆ โดยการพิจารณาค่าอัตราขยายช่องสัญญาณที่พิจารณาผลของอัตราขยายสายอากาศในลักษณะสามมิติดังแสดงในรูปที่ 4.3



รูปที่ 4.3 อัตราขยายสัญญาณและอัตราขยายสายอากาศที่พิจารณาในระบบสามมิติ
จากรูปที่ 4.3 เราสามารถเขียนความสัมพันธ์ของอัตราขยายช่องสัญญาณได้เป็น

h_A = G(\theta, \phi)h \quad (4.10)

โดยที่ h_A แทนอัตราขยายช่องสัญญาณที่พิจารณาผลของอัตราขยายของสายอากาศในลักษณะสามมิติ และ $G(\theta, \phi)$ แทนอัตราขยายสายอากาศแบบสามมิติ จากนั้นทำการแทนค่าสมการ (4.10) ลงในสมการ (4.2) เราจะได้อัตราขยายช่องสัญญาณ ระบบมัลติเพลลอนพุท-มัลติเพลอาทพุท โดยได้รวมผลของอัตราขยายสายอากาศในลักษณะสามมิติแทนด้วย \mathbf{H}_A ดังนี้

$$\mathbf{H}_A = \begin{bmatrix} G(\theta_{11}, \phi_{11})h_{11} & G(\theta_{12}, \phi_{12})h_{12} & \dots & G(\theta_{1N_T}, \phi_{1N_T})h_{1N_T} \\ G(\theta_{21}, \phi_{21})h_{21} & G(\theta_{22}, \phi_{22})h_{22} & \dots & G(\theta_{2N_T}, \phi_{2N_T})h_{2N_T} \\ \dots & \dots & \dots & \dots \\ G(\theta_{N_R1}, \phi_{N_R1})h_{N_R1} & G(\theta_{N_R2}, \phi_{N_R2})h_{N_R2} & \dots & G(\theta_{N_RN_T}, \phi_{N_RN_T})h_{N_RN_T} \end{bmatrix} \quad (4.11)$$

จากสมการ (4.11) เราสามารถเขียนสมการ (4.1) ได้ใหม่เป็น

$$\mathbf{y} = \mathbf{H}_A \mathbf{x} + \mathbf{n} \quad (4.12)$$

ในท่านองเดียวกันเราสามารถหาค่าความชุ่มชื้นของสัญญาณของแบบจำลองในสมการ (4.10) ได้เป็น

$$C_{3D} = \log_2 \left[\det \left(\mathbf{I} + \frac{\rho}{N_T} \cdot \mathbf{H}_A \mathbf{H}_A^\dagger \right) \right] \quad (4.13)$$

4.3 สรุป

ในบทนี้ได้ อธิบายการพัฒนาแบบจำลองเพื่อหาค่าความจุช่องสัญญาณระบบมัลติเพลิล อินพุท-มัลติเพลิลเอาท์พุท โดยอาศัยแบบจำลองที่ได้จากการศึกษาวิจัยที่ผ่านมาเป็นพื้นฐานในการ นำมาพัฒนา สำหรับการพิจารณาผลที่เกิดจากแบบรูปการแผ่พลังงานของสายอากาศ จะทำการ พัฒนาแบบจำลอง โดยแยกพิจารณาส่วนของแบบรูปการแผ่พลังงานของสายอากาศออกจาก อัตราขยายช่องสัญญาณเดิม เพื่อให้สามารถพิจารณาผลที่เกิดขึ้นได้ชัดเจนขึ้น และเราสามารถ พิจารณาแบบรูปการแผ่พลังงานของสายอากาศได้จากอัตราขยายสายอากาศ โดยอาศัยความสัมพันธ์ ที่ได้มาจากการพิจารณาค่าของสนามไฟฟ้าของสายอากาศในบริเวณแผ่พลังงานสนามไกล ซึ่งจะพิจารณาได้ทั้งใน ระนาบแนวตั้ง และระนาบแนวนอน ทำให้ได้ความสัมพันธ์ของอัตราขยายสายอากาศกับค่าของ สนามไฟฟ้าของสายอากาศ จากนั้นจึงนำสมการความสัมพันธ์ของอัตราขยายสายอากาศ รวมกับ อัตราขยายช่องสัญญาณเดิม เพื่อพิจารณาหาค่าความจุช่องสัญญาณใหม่ที่ได้จากการพิจารณาผลของ อัตราขยายสายอากาศร่วมด้วย โดยสามารถแบ่งการพิจารณาออกเป็นลักษณะสองมิติ และสามมิติ เพื่อนำผลแบบจำลองที่ได้ ไปใช้ในการพัฒนาเป็นโปรแกรม เพื่อใช้ในจำลองแบบหาค่าความจุ ช่องสัญญาณ และใช้อ้างอิงในการวัดผลและวิเคราะห์ผลที่ได้ต่อไป

บทที่ 5

ผลการจำลองแบบและการวัดผล

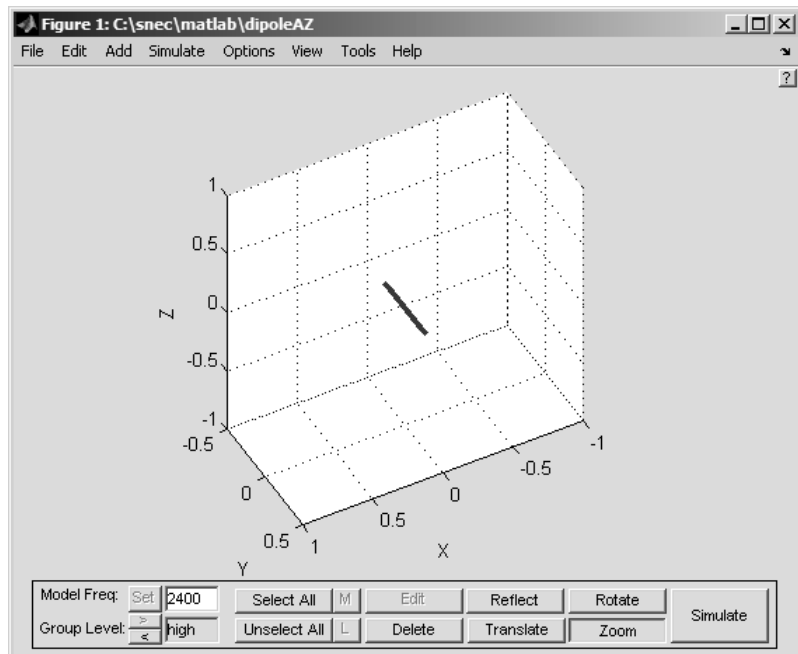
5.1 บทนำ

ในบทนี้จะเป็นการนำเสนอแบบจำลองที่ได้พัฒนาขึ้น ดังที่ได้กล่าวไว้ในบทที่ผ่านมา ทำการจำลองแบบเพื่อคุณภาพที่เกิดขึ้น อันเนื่องมาจากแบบรูปการແเพิ่พลังงานของสายอากาศนิดต่าง ๆ กับความจุของสัญญาณระบบมัลติเพลิอินพุท-มัลติเพลิเอาท์พุท โดยจะอธิบายถึงที่มาของข้อมูลแบบรูปการແเพิ่พลังงานของสายอากาศนิดต่าง ๆ ที่นำมาใช้ และขั้นตอนวิธีการทำ试验ลดไฮช์แบบรูปการແเพิ่พลังงานของสายอากาศ รวมทั้งอธิบายถึงรายละเอียดของวิธีการทำแบบจำลอง จากนั้นจะเป็นการนำเสนอแบบจำลองที่ได้ไปพัฒนาเพื่อวัดค่าความจุของสัญญาณที่ได้จากแบบจำลองโดยการใช้เครื่องมือวัดในสภาพแวดล้อมภายนอกและภายในอาคารเพื่อเปรียบเทียบกับผลที่ได้จากแบบจำลอง และทำการวิเคราะห์ผลที่ได้จากการจำลองแบบ และการวัดผล

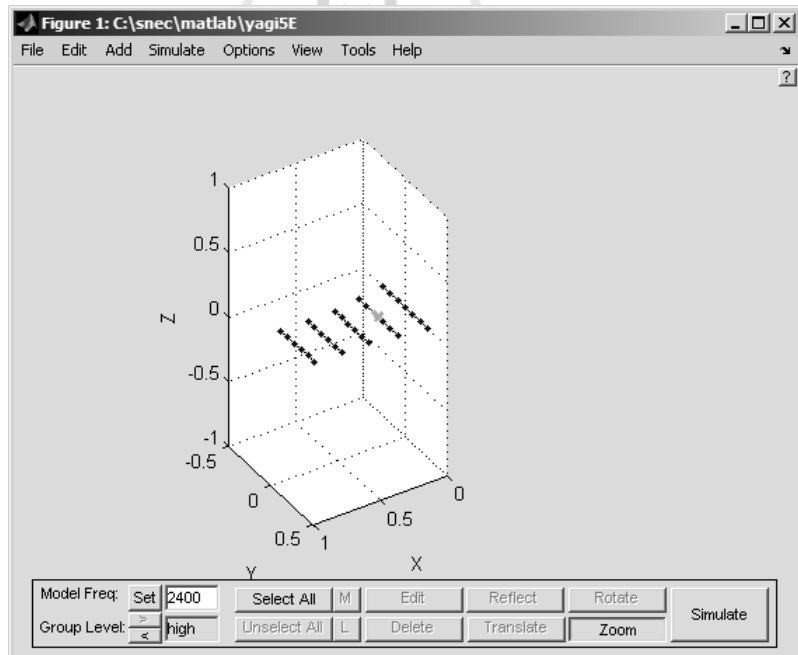
5.2 ข้อมูลแบบรูปการແเพิ่พลังงานสายอากาศ

ในงานวิจัยฉบับนี้ได้เลือกใช้สายอากาศแบบไอโซทรอรปิก เป็นสายอากาศอ้างอิง โดยเปรียบเทียบกับสายอากาศแบบมีทิศทางสองชนิด คือสายอากาศแบบไดโอล และสายอากาศแบบยา吉อุตะห้าองค์ประกอบ เนื่องจากคุณลักษณะของสายอากาศทั้งสองแบบ มีอัตราขยายสูงสุด และความกว้างลำคลื่นครึ่งกำลังอยู่ในเกณฑ์ที่ค่อนข้างเหมาะสม อีกทั้งเป็นสายอากาศที่มีการใช้งานอย่างกว้างขวาง และมีโครงสร้างที่ไม่ซับซ้อน โดยได้ใช้โปรแกรม SuperNEC ในการจำลองผลสายอากาศ เพื่อสร้างชุดข้อมูลของแบบรูปการແเพิ่พลังงานของสายอากาศ ในย่านความถี่ 2.4 กิกะเฮتز ทั้งในลักษณะสองมิติและสามมิติ โดยข้อมูลที่ได้จะอยู่ในรูปของไฟล์ข้อมูล ซึ่งจะถูกนำไปใช้ในการจำลองแบบ เพื่อหาค่าความจุของสัญญาณระบบมัลติเพลิอินพุท-มัลติเพลิเอาท์พุทต่อไป

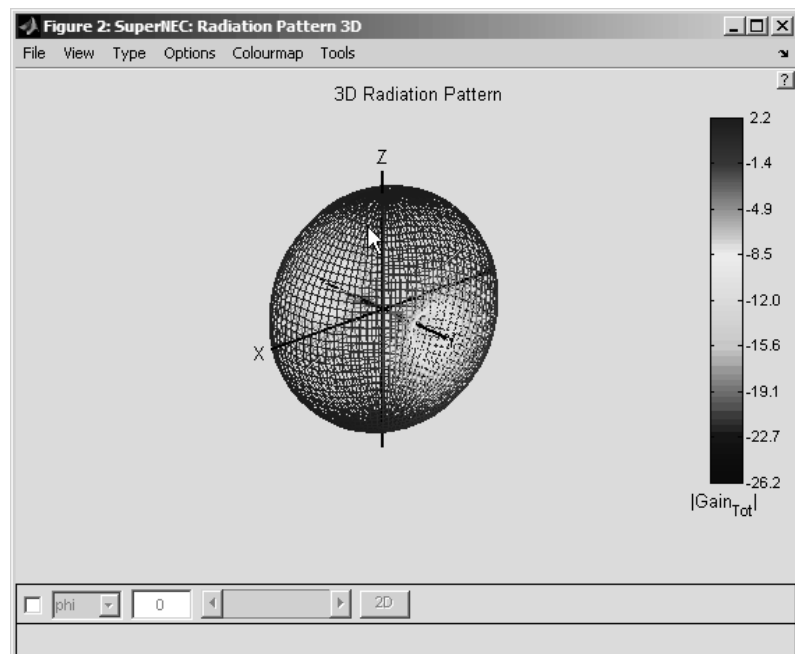
รูปที่ 5.1 แสดงถึงโครงสร้างของสายอากาศไดโอล ที่ใช้ในการจำลองแบบด้วยโปรแกรม SuperNEC เพื่อใช้สร้างข้อมูลแบบรูปการແเพิ่พลังงานของสายอากาศ โดยให้การจัดวางสายอากาศ วางอยู่ในระนาบแนวอน และทำองเดียวกับสำหรับสายอากาศแบบยา吉อุตะห้าองค์ประกอบ สามารถสร้างโครงสร้างสายอากาศโดยให้วางในระนาบแนวอน เช่นเดียวกับกับสายอากาศไดโอล ดังรูปที่ 5.2 โดยหลังจากทำการจำลองแบบด้วยโปรแกรม SuperNEC แล้ว จะได้แบบรูปการແเพิ่พลังงานของสายอากาศในลักษณะสามมิติ ซึ่งสามารถนำมาแสดงเป็นกราฟได้ดังแสดงในรูปที่ 5.3 สำหรับสายอากาศไดโอล และในรูปที่ 5.4 สำหรับสายอากาศแบบยา吉อุตะห้าองค์ประกอบ



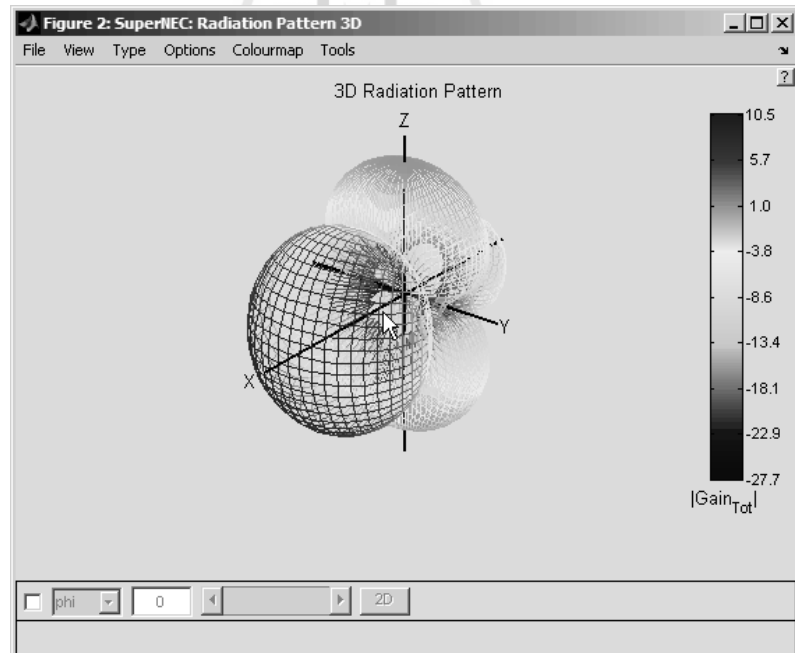
รูปที่ 5.1 โครงสร้างสายอากาศไดโอดจากโปรแกรม SuperNEC



รูปที่ 5.2 โครงสร้างสายอากาศยกอุณหภูมิห้องค์ประกอบจากโปรแกรม SuperNEC



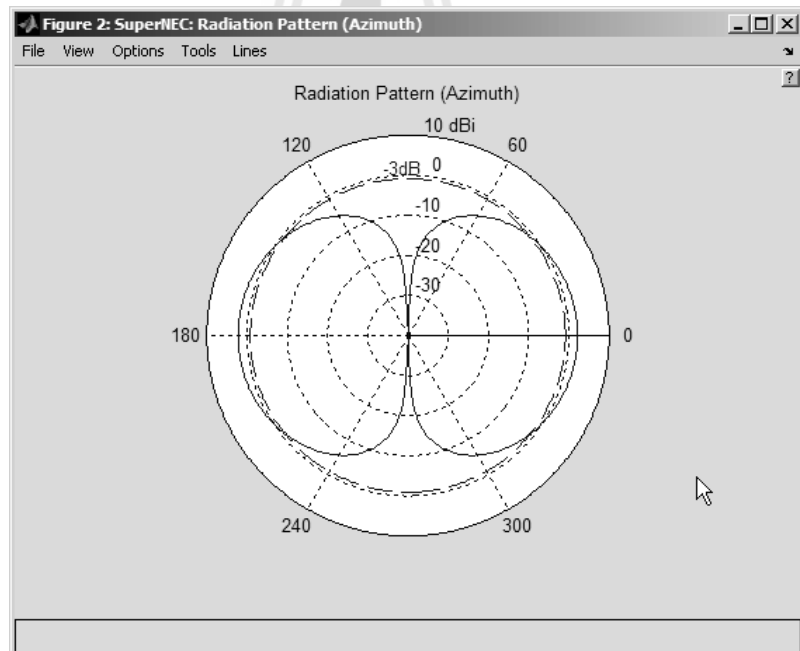
รูปที่ 5.3 แบบรูปการแผ่พลังงานของสายอากาศแบบไนโอล



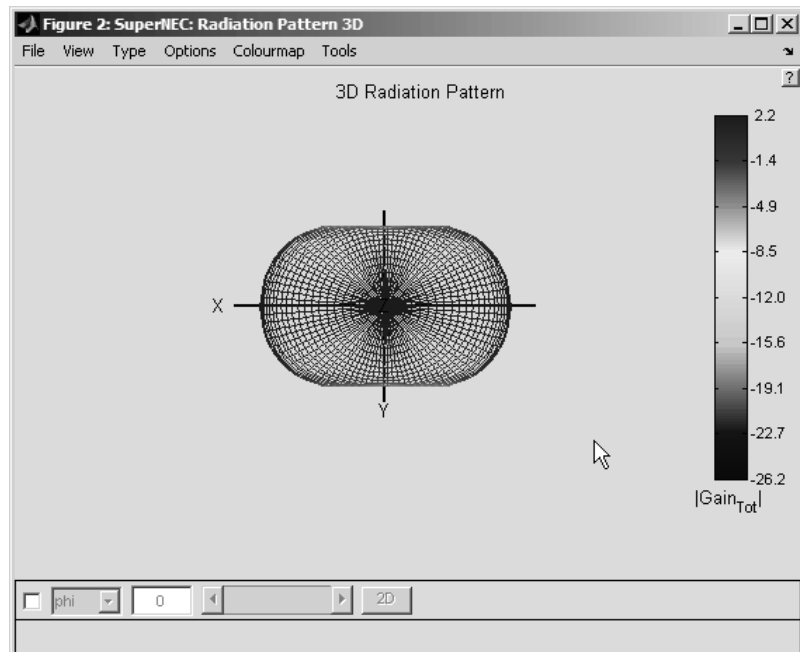
รูปที่ 5.4 แบบรูปการแผ่พลังงานของสายอากาศแบบขา基อุตะห้าองค์ประกอบ

โดยข้อมูลที่ได้จากการจำลองแบบด้วยโปรแกรม SuperNEC จะให้ข้อมูลแบบรูปการแพ้พลังงานของสายอากาศทั้งในลักษณะส่องมิติ และสามมิติ ดังแสดงในรูปที่ 5.5 และ 5.6 สำหรับสายอากาศได้โพล และในรูปที่ 5.7 และ 5.8 สำหรับสายอากาศแบบห้าองค์ประกอบตามลำดับ โดยข้อมูลที่ได้จะอยู่ในรูปของไฟล์ข้อมูลที่เก็บในลักษณะแคร์ข้อมูลดังแสดงในรูปที่ 5.9

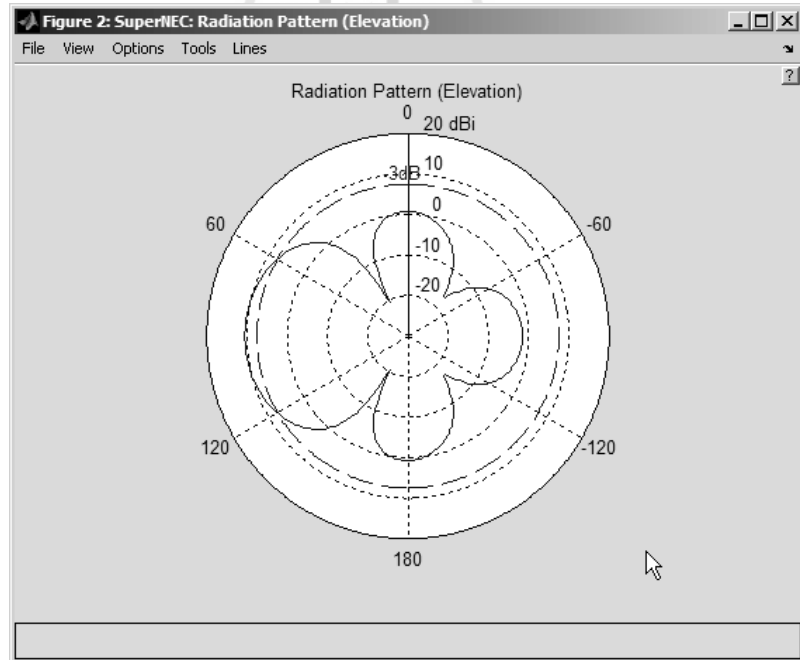
เมื่อได้ข้อมูลแบบรูปการแพ้พลังงานของสายอากาศที่ได้จากการจำลองแบบแล้ว ก่อนนำมาใช้ในการจำลองแบบจำลองระบบมัลติเพลอกินพุท-มัลติเพลอาท์พุท เนื่องจากอัตราขยายของสายอากาศแต่ละชนิดจะมีค่าที่แตกต่างกัน จึงต้องมีการทำให้เป็นค่าnoraml ไลซ์ก่อน เพื่อที่จะสามารถนำผลที่ได้จากการจำลองแบบสำหรับสายอากาศแต่ละชนิดมาเปรียบเทียบกันได้ จึงต้องทำการคำนวณและแปลงค่าที่ได้จากโปรแกรม SuperNEC โดยอาศัยการเปรียบเทียบสายอากาศแบบได้โพล และสายอากาศแบบห้าองค์ประกอบ กับสายอากาศแบบไอโซทรอปิก ให้เป็นค่าที่เป็นค่าnoraml ไลซ์ แล้วเก็บลงไฟล์ข้อมูลใหม่ จากนั้นจึงนำไฟล์ข้อมูลที่ได้ไปใช้ในการจำลองแบบต่อไป



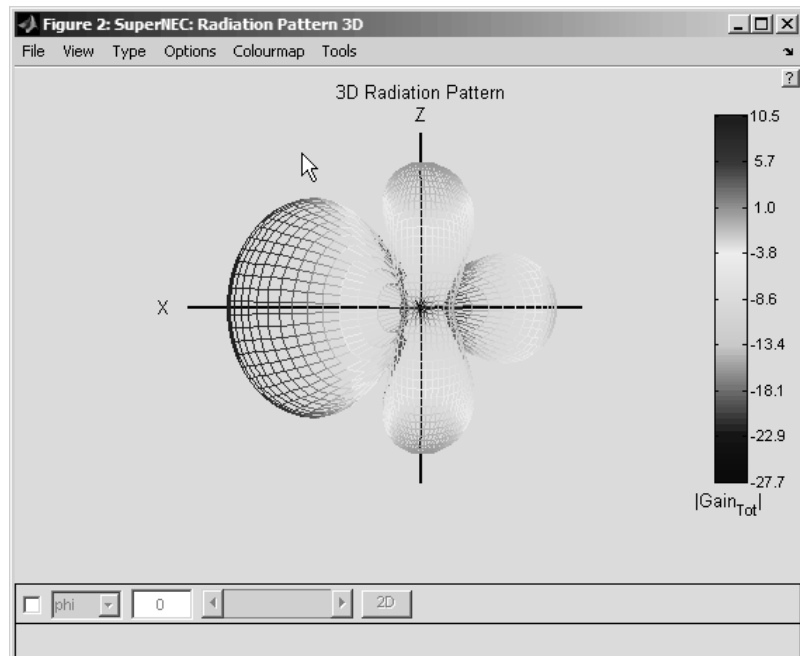
รูปที่ 5.5 แบบรูปการแพ้พลังงานส่องมิติของสายอากาศแบบได้โพล



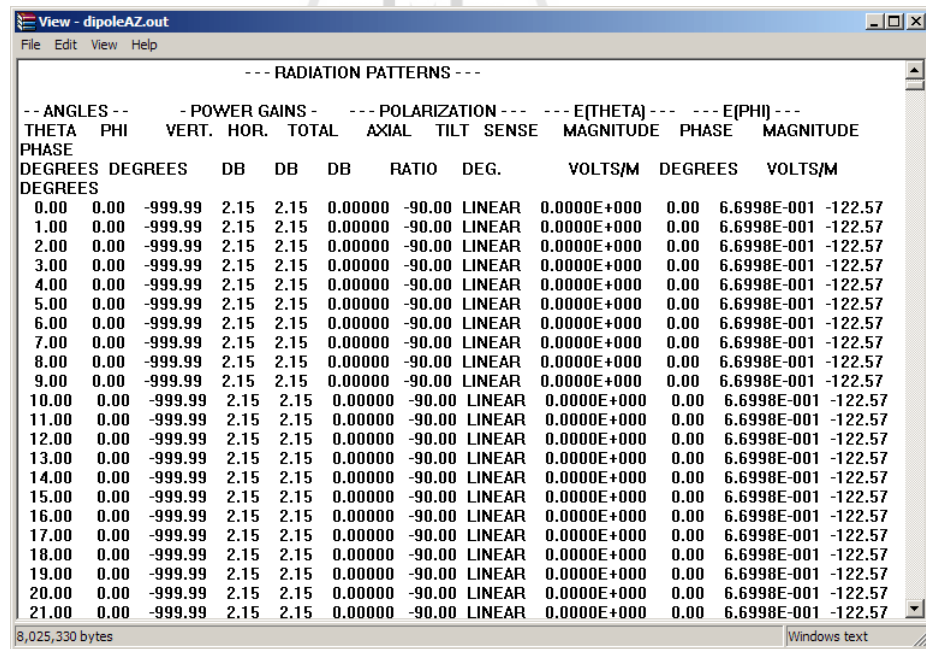
รูปที่ 5.6 แบบรูปการแผ่พลังงานสามมิติของสายอากาศแบบไดโอด



รูปที่ 5.7 แบบรูปการแผ่พลังงานสองมิติของสายอากาศแบบยกอุณหภูมิห้องค์ประกอบ



รูปที่ 5.8 แบบรูปการแผ่พลังงานสามมิติของสายอากาศแบบบากิอุดห้องค์ประกอบ



รูปที่ 5.9 ข้อมูลแบบรูปการแผ่พลังงานของสายอากาศ

สำหรับการทำให้เป็นค่านอร์มอลไลซ์ จะพิจารณาโดยทำการเปรียบเทียบกับสายอากาศแบบไอโซทรอนิกซึ่งจะได้ค่าตัวแปรนอร์มอลไลซ์ Z_x สำหรับสายอากาศแต่ละชนิด ซึ่งคำนวณได้จากความสัมพันธ์ดังแสดงในสมการ (5.1) สำหรับแบบจำลองแบบสองมิติ

$$Z_x = \frac{\int_{-\pi}^{\pi} |G(\phi)|_{Directional}^2 d\phi}{\int_{-\pi}^{\pi} |G(\phi)|_{Isotropic}^2 d\phi} \quad (5.1\pi)$$

$$\int_{-\pi}^{\pi} |G(\phi)|_{Normalize}^2 d\phi = \frac{1}{Z_x} \int_{-\pi}^{\pi} |G(\phi)|_{Directional}^2 d\phi \quad (5.1\psi)$$

$$G(\phi)_{Normalize} = \frac{G(\phi)_{Directional}}{\sqrt{Z_x}} \quad (5.1\kappa)$$

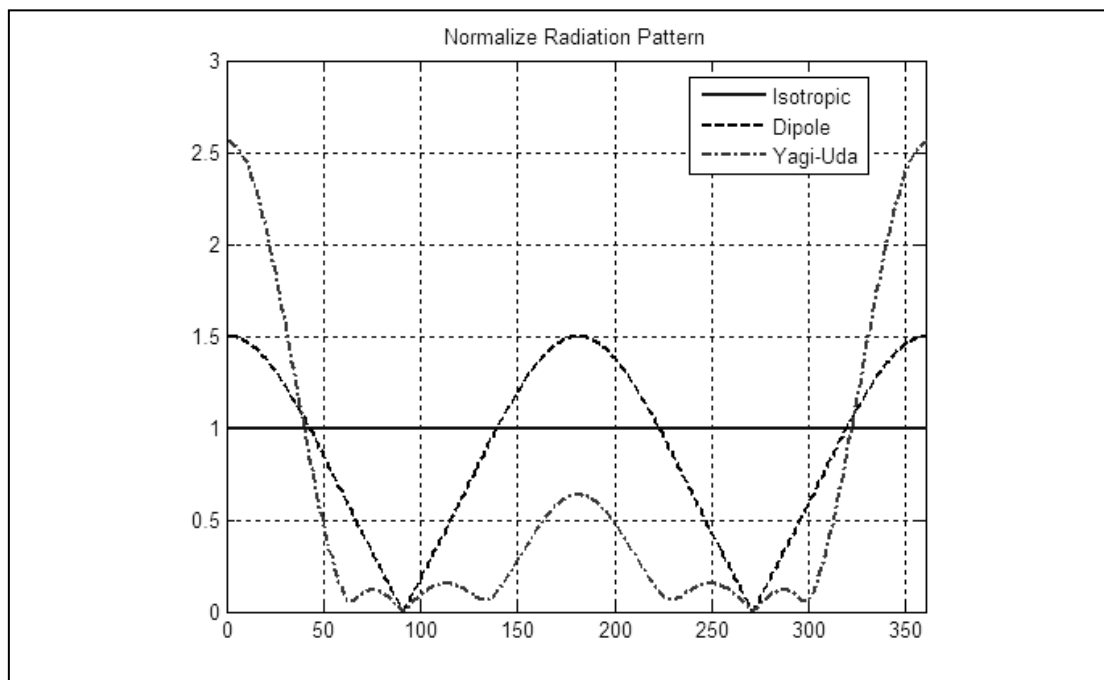
และสำหรับแบบจำลองแบบสามมิติ ดังสมการ (5.2)

$$Z_X = \frac{\int_0^{\pi} \int_{-\pi}^{\pi} |G(\theta, \phi)|_{Directional}^2 d\phi d\theta}{\int_0^{\pi} \int_{-\pi}^{\pi} |G(\theta, \phi)|_{Isotropic}^2 d\phi d\theta} \quad (5.2\pi)$$

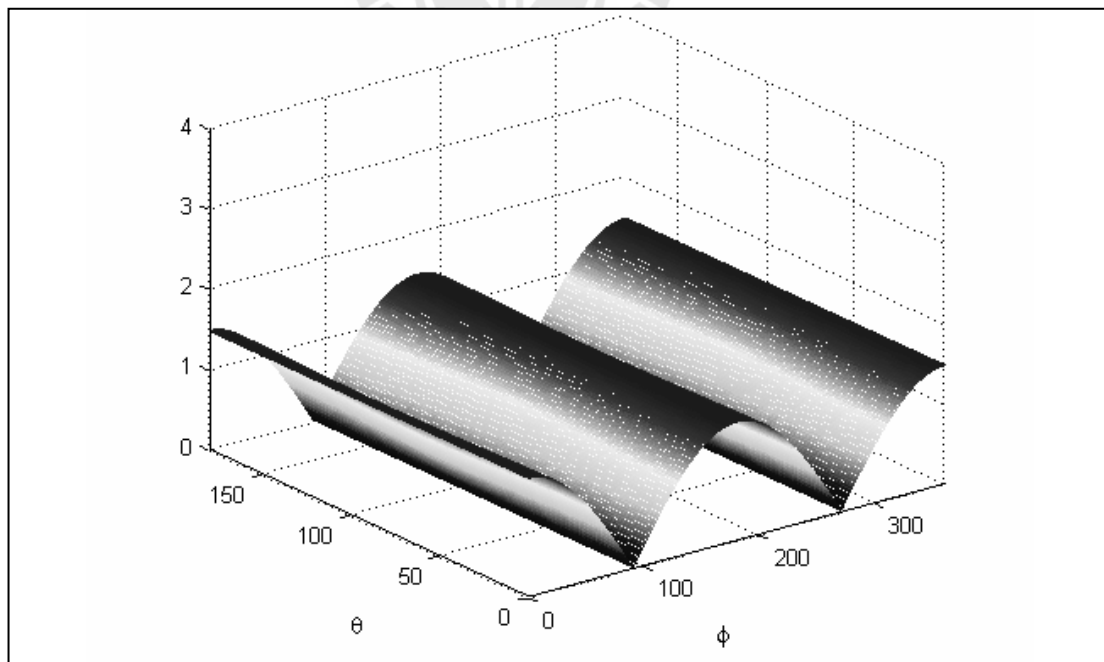
$$\int_0^{\pi} \int_{-\pi}^{\pi} |G(\theta, \phi)|_{Normalize}^2 d\phi d\theta = \frac{1}{Z_X} \int_0^{\pi} \int_{-\pi}^{\pi} |G(\theta, \phi)|_{Directional}^2 d\phi d\theta \quad (5.2\psi)$$

$$G(\theta, \phi)_{Normalize} = \frac{G(\theta, \phi)_{Directional}}{\sqrt{Z_X}} \quad (5.2\kappa)$$

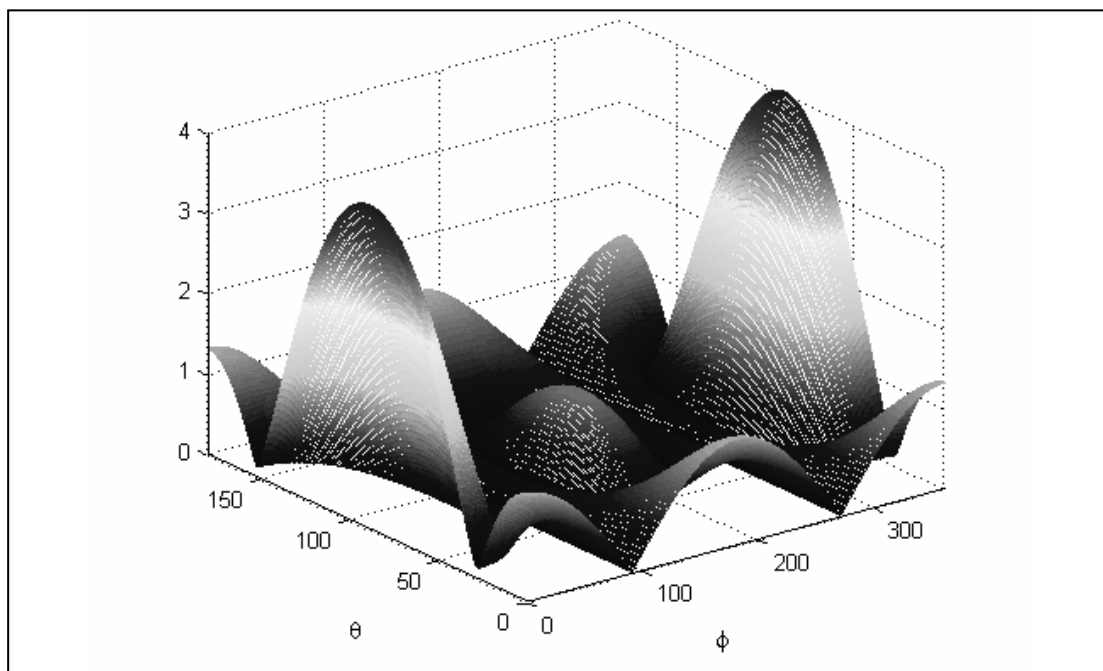
หลังได้อัตราขยายที่ทำเป็นค่านอร์มอลไลซ์แล้ว จึงนำอัตราขยายสายอากาศที่ได้ไปใช้แทนค่าในการจำลองแบบต่อไป เราสามารถนำมาแสดงค่าเป็นกราฟแบบเชิงเส้นได้ดังรูปที่ 5.10 สำหรับแบบจำลองแบบสองมิติ และในรูปที่ 5.11 และ 5.12 สำหรับแบบจำลองแบบสามมิติ



รูปที่ 5.10 แบบรูปการแผ่พลังงานส่งมิติแบบนอร์มอลໄลเซ็สำหรับสายอากาศแบบไดโพล และยาเกิดห้าองค์ประกอบ



รูปที่ 5.11 แบบรูปการแผ่พลังงานสามมิติแบบนอร์มอลໄลเซ็สำหรับสายอากาศไดโพล



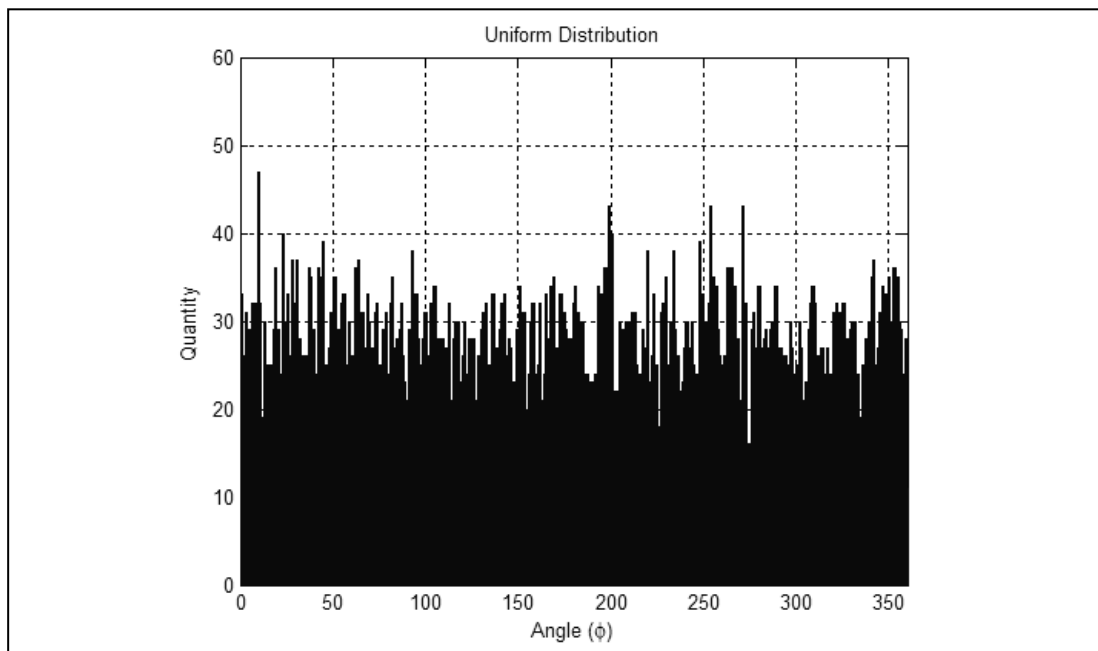
รูปที่ 5.12 แบบรูปการແພ່ພລັງຈານສາມມິຕີແບນອົມອລ ໄລຊ໌ສໍາຫັນສາຍອາກະຍາກີອຸດະ
ຫ້ອງກົບປະກອນ

5.3 ผลการจำลองแบบโดยพิจารณาแบบรูปการແພ່ພລັງຈານຂອງສາຍອາກະ

ในการจำลองแบบเพื่อพิจารณาผลที่เกิดจากแบบรูปการແພ່ພລັງຈານຂອງສາຍອາກະที่ມີຕ່ອງຄ່າ
ຄວາມຈຸ່ອງສ້າງສາມາດຮັບຮັບມັດຕີເພື່ອລິນພຸຖ-ມັດຕີເພື່ອເອົາທີ່ພຸຖ ໃນງານວິຊຍີນີ້ຈະອາຍີວິທີການจำลองแบบ
ດ້ວຍວິທີການມອນຕີ ດາວໂຫຼວດ ທີ່ຈຶ່ງເປັນເກຣັນນິກຫົ່ງທີ່ຮ່ວມການໃຊ້ຄ່າຕົວແປຣສຸ່ມຮ່ວມກັບກາຮ່າຄ່າເຊີງສົດຕິ
ເພື່ອໃຊ້ໃນກາຮ່າກັບກຳປັບປຸງຫາຕ່າງໆ ສໍາຫັນໃນງານວິຊຍີນີ້ຈະອາຍີແບນຈຳລອງທີ່ໄດ້ພັດນາເຂົ້ນໃນບທທີ່ຜ່ານ
ນາມ ເພື່ອພິຈາລະນາພຸດທີ່ເກີດເຂົ້ນກັບຄ່າຄວາມຈຸ່ອງສ້າງສາມາດຮັບຮັບມັດຕີ
ໂດຍອາຍີກາຮ່າຄ່າສ່ວນເຕີມເຕີມຂອງຟົງກໍ່ຂັ້ນ
ກາຮ່າກັບແຈ້ງສະສົມ ທີ່ຈຶ່ງຈະພິຈາລະນາທີ່ໃນລັກນະສອງມິຕີແລະສາມມິຕີ

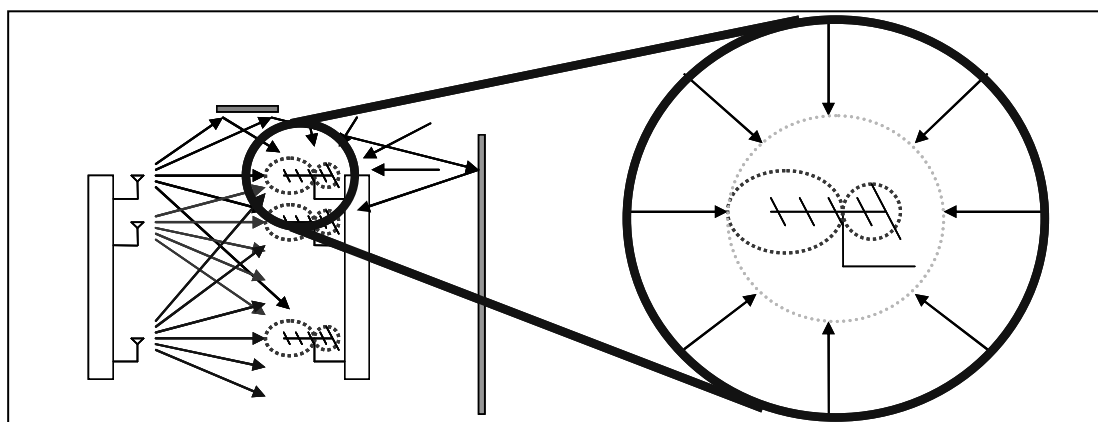
5.3.1 ผลการจำลองแบบສໍາຫັນແບນຈຳລອງແບນສອງມິຕີ

ในการจำลองแบบສໍາຫັນແບນຈຳລອງທີ່ເປັນສອງມິຕີ ໄດ້ກຳກັນເປົ້າມາໃຫຍ່ພຸດທີ່ໄດ້
ຈາກສາຍອາກະສອງໜີດຄື້ອງ ສາຍອາກະແບນໄໂດໂພດ ແລະ ສາຍອາກະຍາກີອຸດະຫ້ອງກົບປະກອນ ນຳມາ
ເປົ້າມາໃຫຍ່ກັບສາຍອາກະແບນໄໂອໂຈທຣອປົກ ທີ່ຈຶ່ງເປັນສາຍອາກະເຊີງອຸດມຄົດທີ່ມີແບນຮູບກາຮ່າ
ແພ່ພລັງຈານຮອບຕົວໃນທຸກທີ່ສາຍອາກະທີ່ສາຍອາກະເຊີງອຸດມຄົດທີ່ເປົ້າມາໃຫຍ່ໃນສາຍອາກະເຊີງ
ຮະນານແນວນອນ ໂດຍໃຫ້ກາຮ່າກັບສ້າງສາມາດຮັບຮັບມັດຕີທີ່ເຂົ້າມາທີ່ສາຍອາກະດ້ານຮັບມັດຕີ
ເອກຽຸປະດັບແສດງໃນຮູບທີ່ 5.13



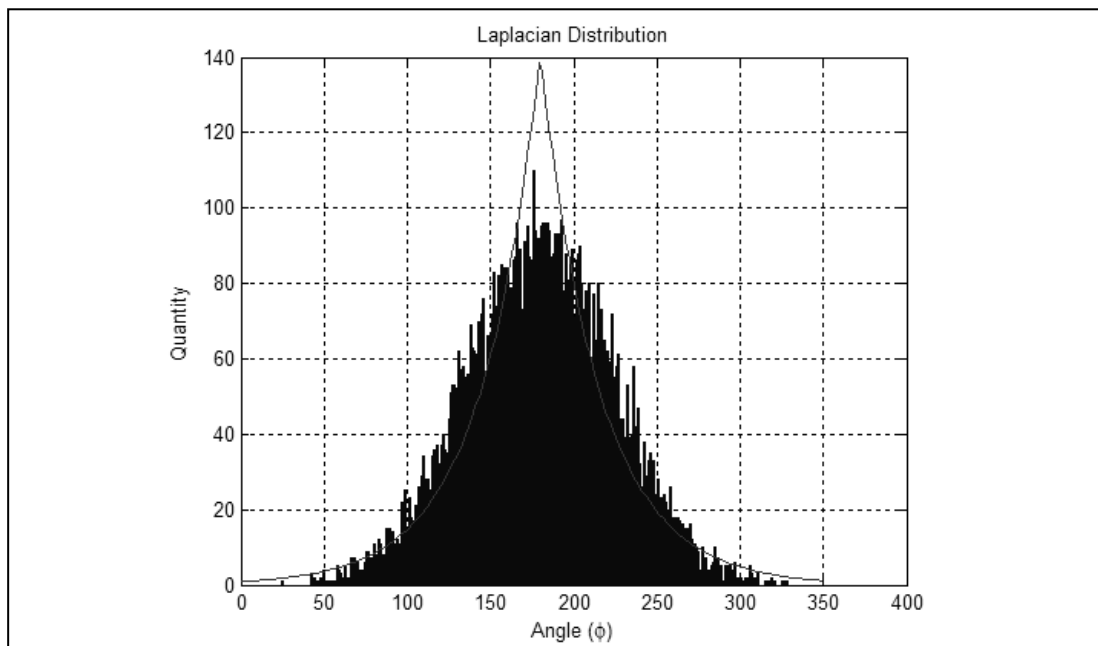
รูปที่ 5.13 การกระจายของสัมภានที่มีการแจกแจงแบบเอกรูป

ซึ่งเราสามารถอธิบายลักษณะการกระจายของสัมภានที่มีการแจกแจงแบบเอกรูปที่มาถึงสายอากาศด้านรับได้ คือในกรณีที่การกระจายของสัมภានที่มาถึงสายอากาศภาครับมีลักษณะการกระจายของสัมภានมีการแจกแจงแบบเอกรูปจะหมายถึงทิศทางของสัมภានที่เข้ามาที่สายอากาศภาครับมีการกระจายไปในทุกทิศทางโดยมีความหนาแน่นที่เท่ากันในทุกทิศทาง หรือโอกาสของทิศทางที่สัมภានจะเข้ามาที่สายอากาศภาครับมีค่าเท่ากันในทุกทิศทางดังรูปที่ 5.14

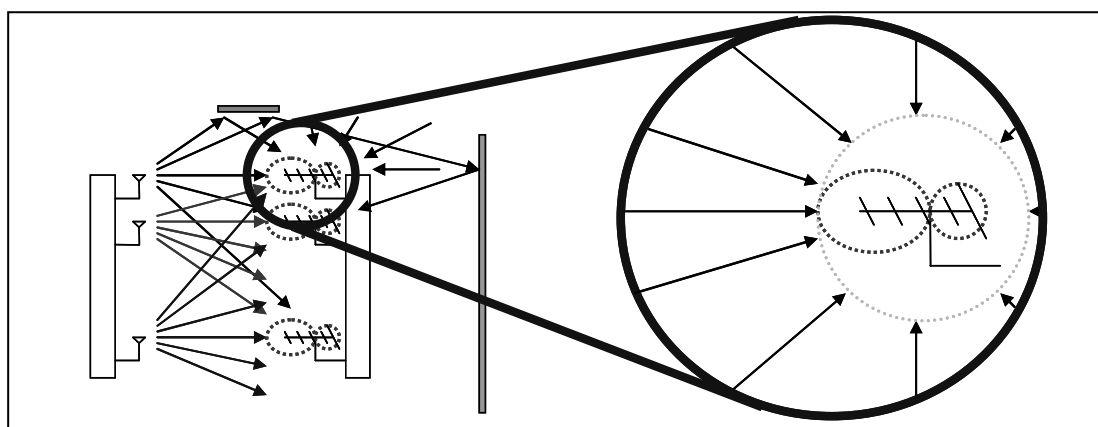


รูปที่ 5.14 การกระจายทิศทางของสัมภានที่สายอากาศภาครับที่มีการแจกแจงแบบเอกรูป

สำหรับกรณีที่ลักษณะการกระจายของสัญญาณที่มาถึงสาขากาดด้านรับมีการแจกแจงแบบลาพลาเซียน (Laplacian distribution) แสดงดังรูปที่ 5.15 นั่นคือ ทิศทางของสัญญาณที่เข้ามาที่สาขากาดด้านรับมีการกระจายไปในทุกทิศทาง โดยมีความหนาแน่นที่ไม่เท่ากันโดยจะมีความหนาแน่นมากในทิศทางใดทิศทางหนึ่ง และในทิศทางอื่น ๆ มีค่าลดลงแบบเอ็กโพเนนเชียล ดัง อธิบายในรูปที่ 5.16

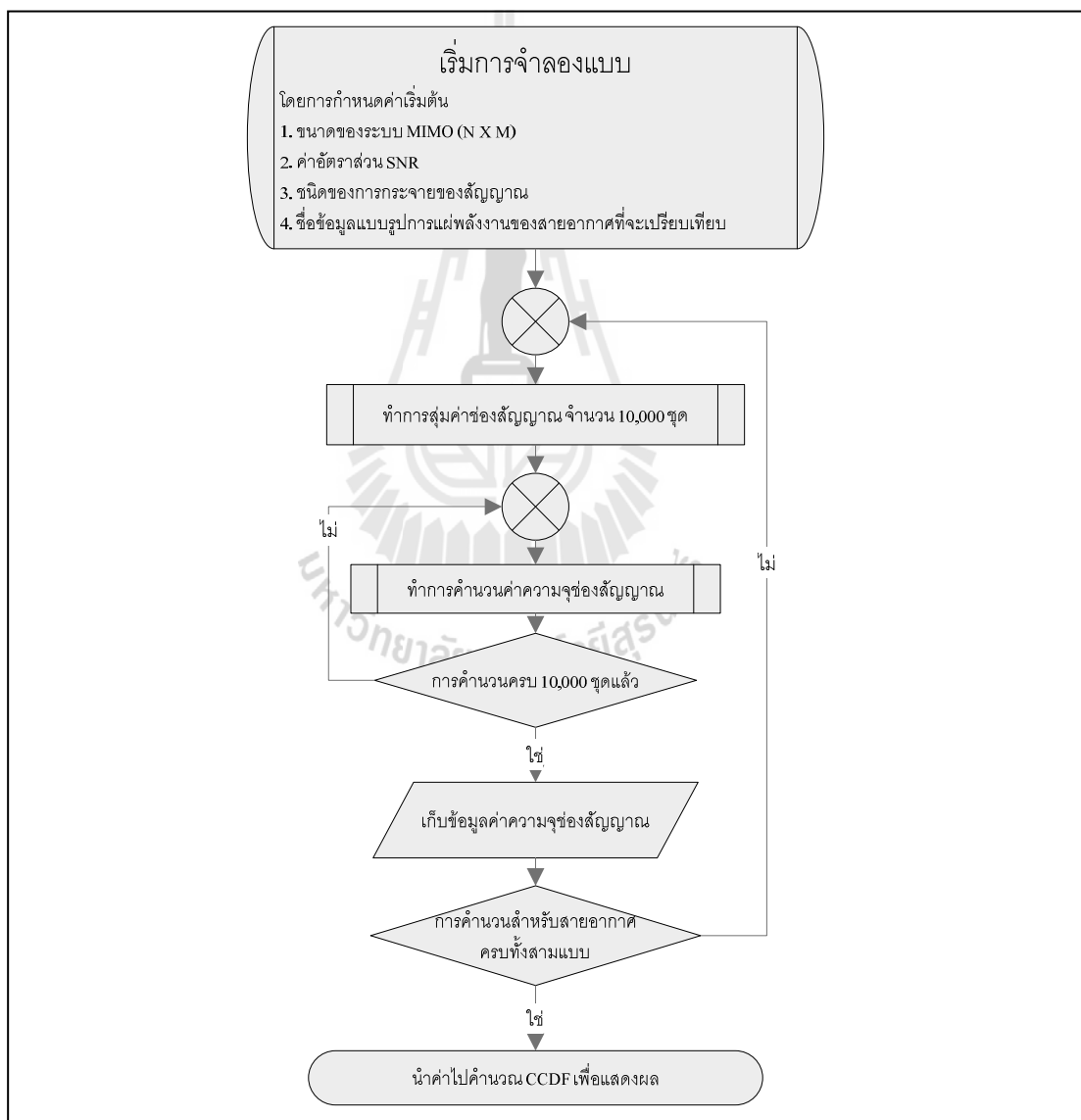


รูปที่ 5.15 การกระจายของสัญญาณที่มีการแจกแจงแบบลาพลาเซียน



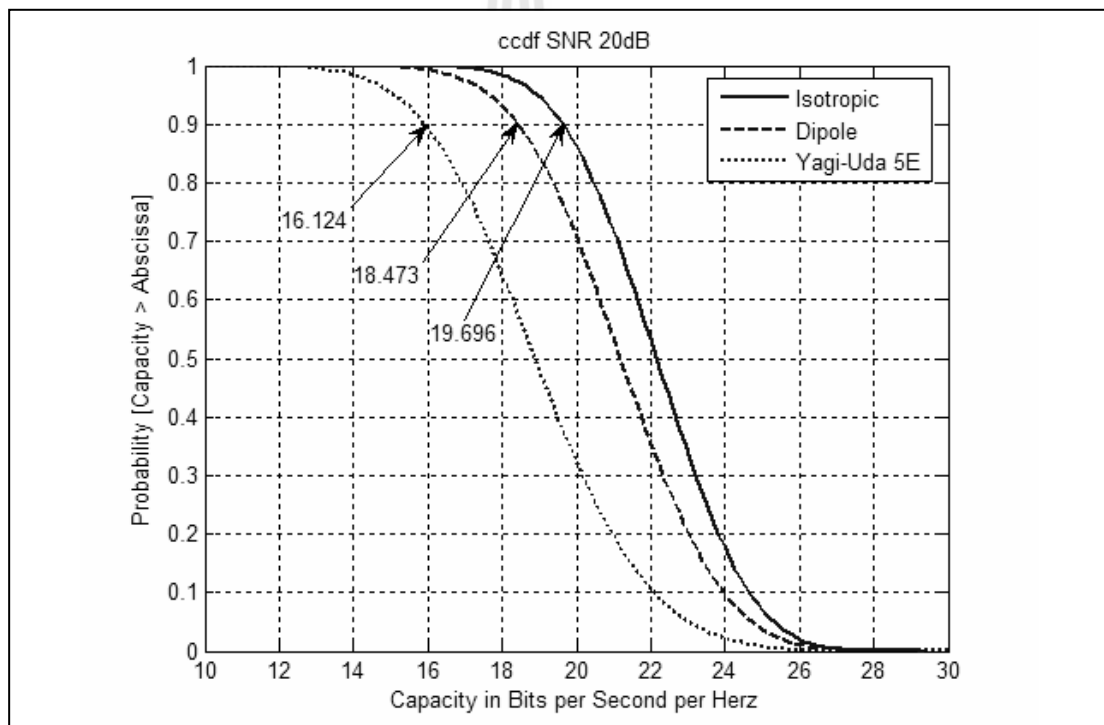
รูปที่ 5.16 การกระจายทิศทางของสัญญาณที่สาขากาดด้านรับที่มีการแจกแจงแบบลาพลาเซียน

ในการจำลองแบบจะให้มุนที่มีความหนาแน่นสูงสุดอยู่ในทิศทางของคลื่นหลักของสายอากาศ และทำการสุ่มค่าอัตราขยายของสัญญาณเพื่อนำไปคูณกับค่าอัตราขยายสายอากาศ โดยทำการสุ่มค่ามุนของคลื่นที่เข้ามาที่สายอากาศให้มีการแจกแจงแบบเอกรูป จากนั้นจึงนำค่าที่ได้ไปใช้ในการคำนวณหาความจุช่องสัญญาณที่ได้จากการ (4.9) จำนวน 10,000 ค่า และเมื่อได้ค่าความจุช่องสัญญาณทั้งหมดแล้ว จึงทำการคำนวณค่าความจุช่องสัญญาณให้เป็นค่าที่อยู่ในรูปของค่า CCDF และดำเนินการแบบเดียวกันสำหรับกรณีการแจกแจงแบบลากพาเซียน โดยโครงสร้างของโปรแกรมในการจำลองแบบสามารถแสดงได้ดังรูปที่ 5.17

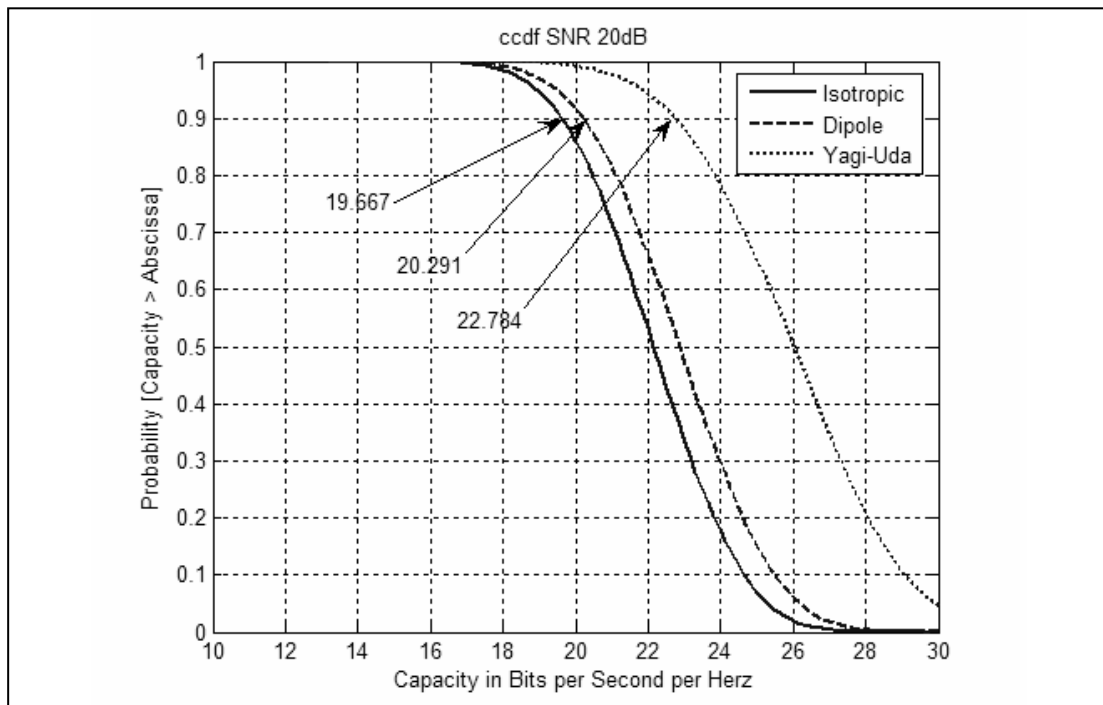


รูปที่ 5.17 ขั้นตอนการจำลองแบบสำหรับแบบรูปการแพ็พลังงานในระบบสองมิติ

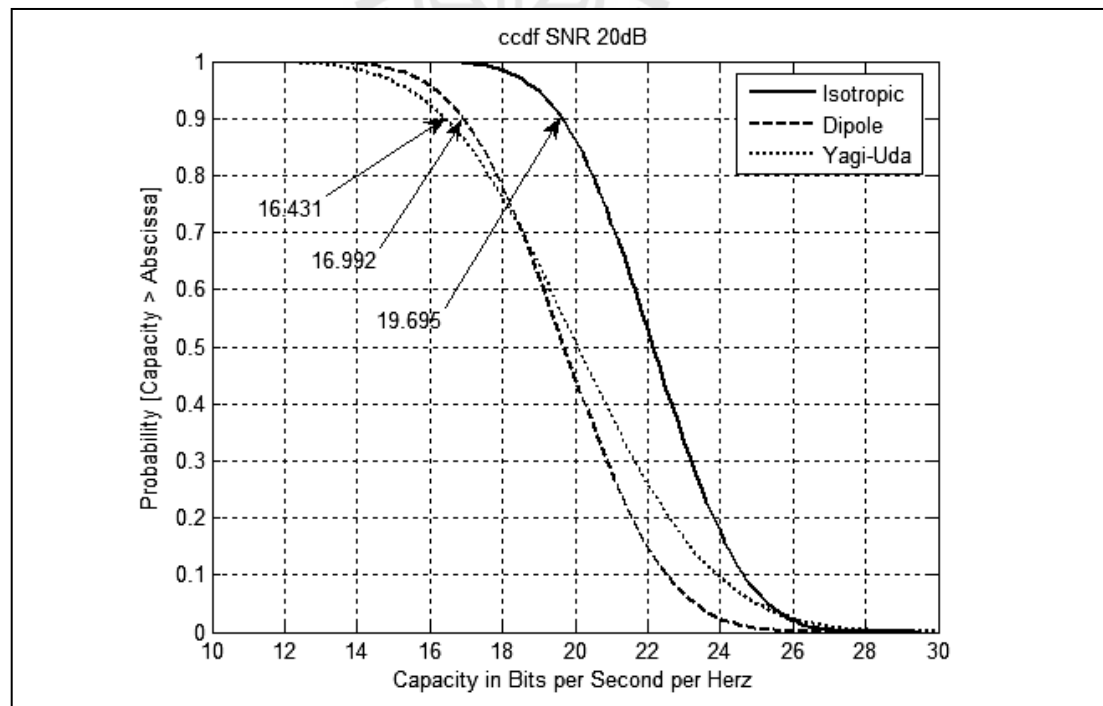
สำหรับผลการจำลองแบบที่ได้จะทำการพิจารณาเปรียบเทียบค่าความจุช่องสัญญาณ โดยจะพิจารณาจากความจุช่องสัญญาณที่ให้ค่าความน่าจะเป็นเท่ากับ 90% ซึ่งที่ระดับความน่าจะเป็น 90% นี้จะบอกถึงความน่าจะเป็นที่ไม่เกิดขึ้นเป็น 10% แทนได้ด้วยสัญลักษณ์ $C_{out,0.1}$ ซึ่งผลที่ได้จากการจำลองแบบสำหรับสายอากาศได้โพลและสายอากาศกิอุดแบบห้องค์ประกอบได้แสดงผลเปรียบเทียบไว้ในรูปที่ 5.18 สำหรับกรณีที่การกระจายของสัญญาณที่เข้ามาที่สายอากาศมีการแจกแจงแบบเอกรูป และในรูปที่ 5.19 สำหรับกรณีที่การกระจายของสัญญาณที่เข้ามาที่สายอากาศมีการแจกแจงแบบลาพลาเซียน และถ้าเราให้การกระจายของสัญญาณมีการเบี่ยงเบนไปหรือการตั้งค่าลำดับลักษณะของสายอากาศในทิศทางที่เยื่องไป 60 องศา จะได้ผลค่าความจุช่องสัญญาณดังรูปที่ 5.20



รูปที่ 5.18 ความจุช่องสัญญาณ CCDF สำหรับการแจกแจงแบบเอกรูปที่มุม $\theta = 90^\circ$, $\phi = 0^\circ$



รูปที่ 5.19 ความจุของสัญญาณ CCDF สำหรับการแจกแจงแบบลาพลาเซียนที่มุม $\theta = 90^\circ$, $\phi = 0^\circ$



รูปที่ 5.20 ความจุของสัญญาณ CCDF สำหรับการแจกแจงแบบลาพลาเซียนที่มุม $\theta = 90^\circ$, $\phi = 60^\circ$

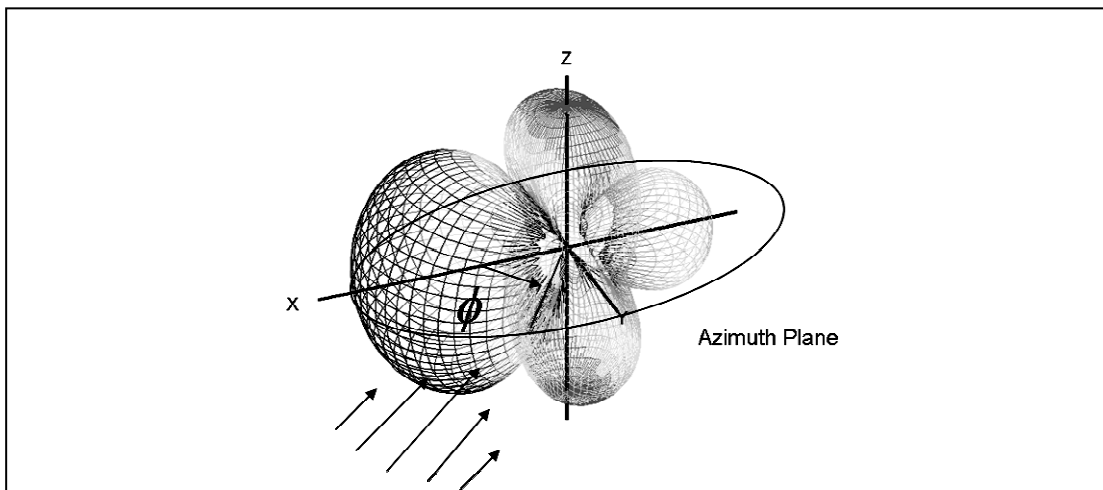
จากผลการจำลองแบบโดยใช้แบบจำลองที่พิจารณาเฉพาะในระนาบสองมิติ (พิจารณาเฉพาะระนาบแนวอน) พบว่าในสภาวะที่การกระจายของสัญญาณที่เข้ามาที่สายอากาศมีการแจกแจงแบบเอกรูป การใช้สายอากาศแบบมีทิศทางจะทำให้ค่าความจุช่องสัญญาณที่ค่าความน่าจะเป็นเท่ากับ $90\% (C_{out,0.1})$ ของระบบลดลง โดยผลจากการจำลองแบบสายอากาศแบบไอโซทรอปิกให้ค่าความจุช่องสัญญาณ $C_{out,0.1}$ เป็น 19.696 bps/Hz ส่วนสายอากาศได้โพลและสายอากาศสายกิอุคห์ห้องค์ประกอบให้ค่าเป็น 18.473 bps/Hz และ 16.124 bps/Hz ตามลำดับ โดยค่า $C_{out,0.1}$ ที่ได้จะลดลงไปเมื่อเทียบกับสายอากาศแบบไอโซทรอปิกประมาณ $18.14 \text{ เปอร์เซ็นต์}$ สำหรับสายอากาศสายกิอุคห์ห้องค์ประกอบและลดลง 6.21 เปอร์เซ็นต์ สำหรับสายอากาศได้โพล

สำหรับในกรณีที่การกระจายของสัญญาณที่เข้ามาที่สายอากาศ มีการแจกแจงแบบลาพลาเซียน การใช้สายอากาศแบบมีทิศทางจะทำให้ค่าความจุของระบบเพิ่มขึ้น โดยต้องมีการตั้งทิศทางลำคลื่นหลักของสายอากาศให้ตรงกันด้วย ซึ่งผลจากการจำลองแบบพบว่าค่าความจุช่องสัญญาณ $C_{out,0.1}$ สำหรับสายอากาศแบบไอโซทรอปิก มีค่าเป็น 19.667 bps/Hz ส่วนสายอากาศได้โพลและสายอากาศสายกิอุคห์ห้องค์ประกอบให้ค่าเป็น 20.291 bps/Hz และ 22.784 bps/Hz ตามลำดับ โดยค่า $C_{out,0.1}$ จะเพิ่มขึ้นเมื่อเทียบกับสายอากาศแบบไอโซทรอปิกประมาณ $15.85 \text{ เปอร์เซ็นต์}$ สำหรับสายอากาศสายกิอุคห์ห้องค์ประกอบ และเพิ่มขึ้น 3.17 เปอร์เซ็นต์ สำหรับสายอากาศได้โพล

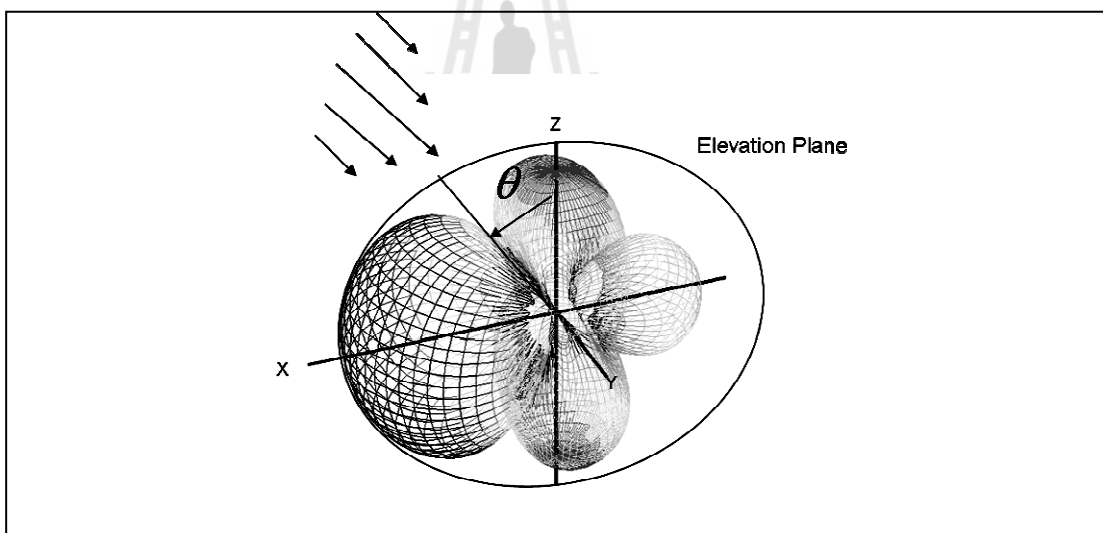
อย่างไรก็ตาม เมื่อทำการปรับทิศทางลำคลื่นหลักของสายอากาศไป 60 องศา ทำให้ค่าความจุของสายอากาศแบบมีทิศทางจะมีค่าต่ำกว่าสายอากาศแบบไอโซทรอปิก โดยสายอากาศแบบไอโซทรอปิกให้ค่าความจุช่องสัญญาณเป็น 19.695 bps/Hz ส่วนสายอากาศได้โพลและสายอากาศสายกิอุคห์ห้องค์ประกอบให้ค่าเป็น 16.992 bps/Hz และ 16.431 bps/Hz ตามลำดับ โดยค่า $C_{out,0.1}$ จะลดลงไปเมื่อเทียบกับสายอากาศแบบไอโซทรอปิกประมาณ $16.57 \text{ เปอร์เซ็นต์}$ สำหรับสายอากาศสายกิอุคห์ห้องค์ประกอบ และลดลง $13.52 \text{ เปอร์เซ็นต์}$ สำหรับสายอากาศได้โพล

5.3.2 ผลการจำลองแบบสำหรับแบบจำลองแบบสามมิติ

ในหัวข้อนี้จะศึกษาการนำแบบรูปการแผ่นลังงานแบบสามมิติมาพิจารณาร่วมกับแบบจำลองช่องสัญญาณระบบมัลติเพลย์อินพุท-มัลติเพลย์เอาท์พุท โดยทำการเปรียบเทียบผลการจำลองแบบด้วยแบบจำลองที่เป็นสามมิติที่ได้จากสายอากาศสองชนิดคือ สายอากาศแบบได้โพล และสายอากาศสายกิอุคห์ห้องค์ประกอบ กับสายอากาศแบบไอโซทรอปิกซึ่งเป็นสายอากาศเชิงอุตสาหกรรมที่มีแบบรูปการแผ่นลังงานรอบตัวในทุกทิศทาง โดยทำการพิจารณาทิศทางของคลื่นที่เข้ามาที่สายอากาศทั้งในระนาบแนวอนและระนาบแนวหาง ดังแสดงรูปที่ 5.21 และ 5.22 ตามลำดับ

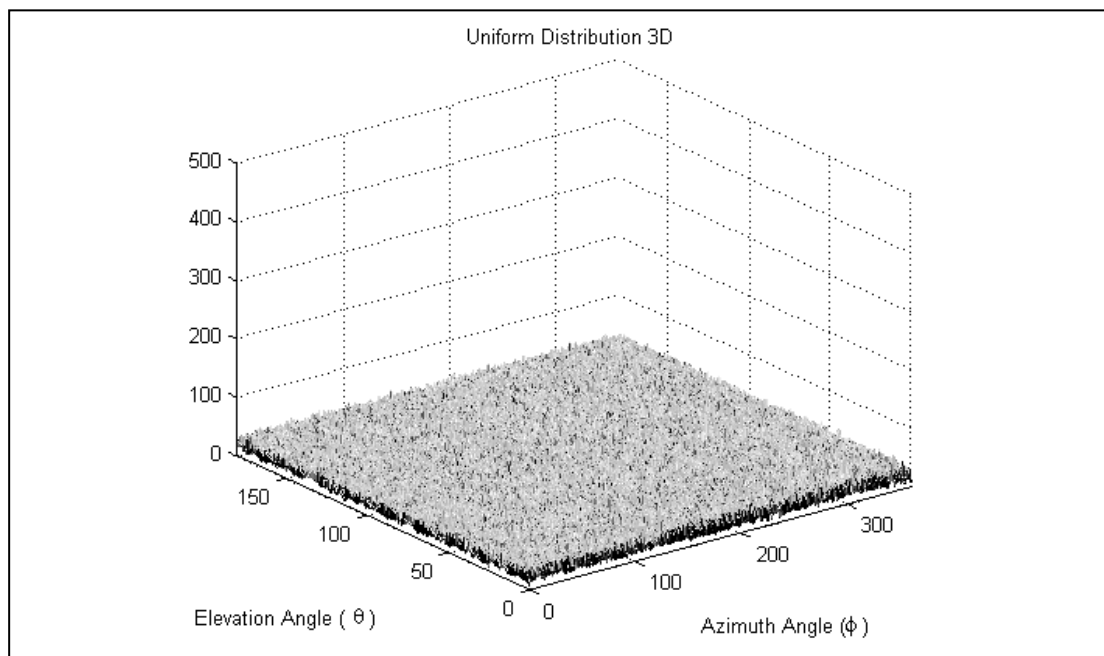


รูปที่ 5.21 ทิศทางของสัญญาณที่เข้ามาที่สายอากาศในระนาบแนวอน

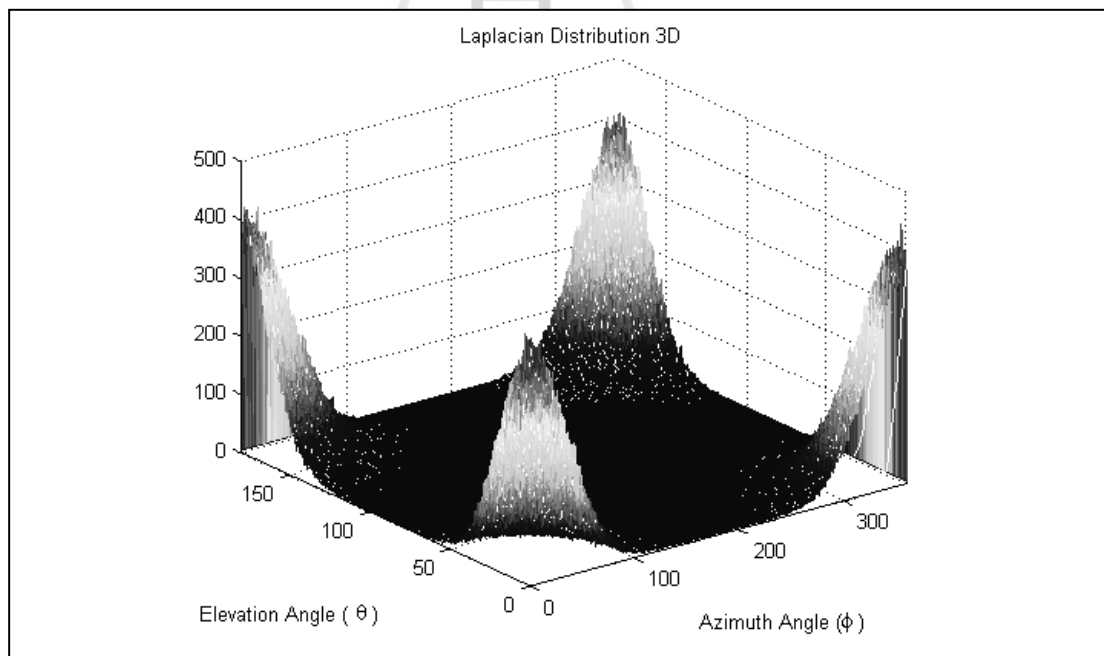


รูปที่ 5.22 ทิศทางของสัญญาณที่เข้ามาที่สายอากาศในระนาบแนวตั้ง

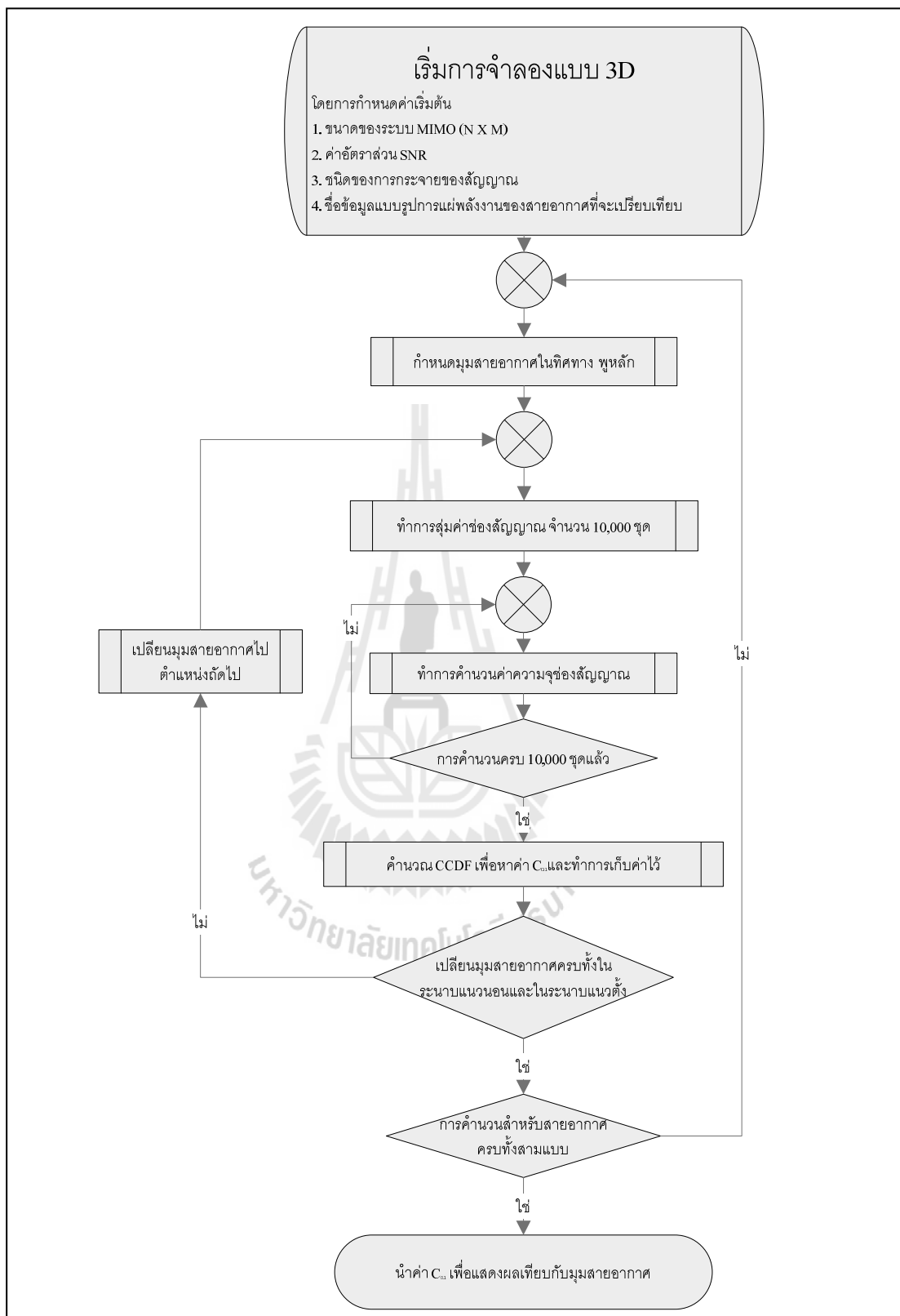
กำหนดให้ทิศทางของสัญญาณที่สายอากาศด้านรับมีการกระจายทั้งในระนาบแนวอนและระนาบแนวตั้ง โดยการแจกแจงแบบเอกรูปและการแจกแจงสามมิติ แบบลาพลาเซียน สามมิติ สามารถแสดงได้ดังรูปที่ 5.23 และ 5.24 ตามลำดับ โดยรูปที่ 5.24 จะแสดงการกระจายแบบลาพลาเซียนซึ่งมีความหนาแน่นการกระจายสูงสุดอยู่ที่ $\theta = 0, \phi = 0$



รูปที่ 5.23 การกระจายของสัญญาณที่ด้านรับแบบสามมิติที่มีการแจกแจงแบบเอกรูป

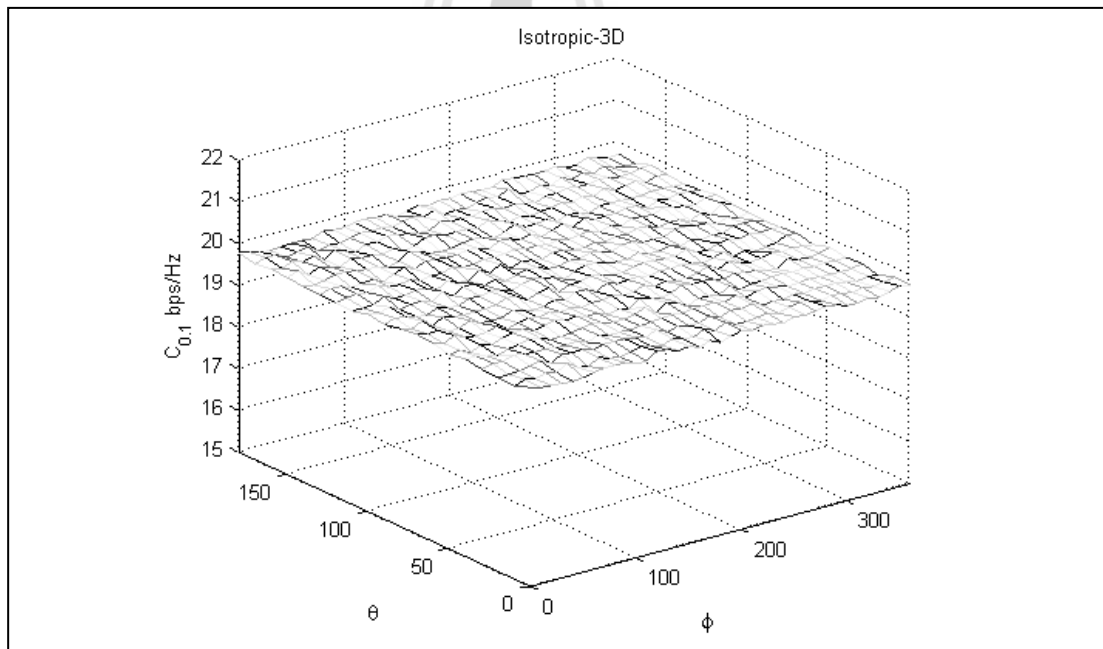


รูปที่ 5.24 การกระจายของสัญญาณที่ด้านรับแบบสามมิติที่มีการแจกแจงแบบลาพลาเชียน

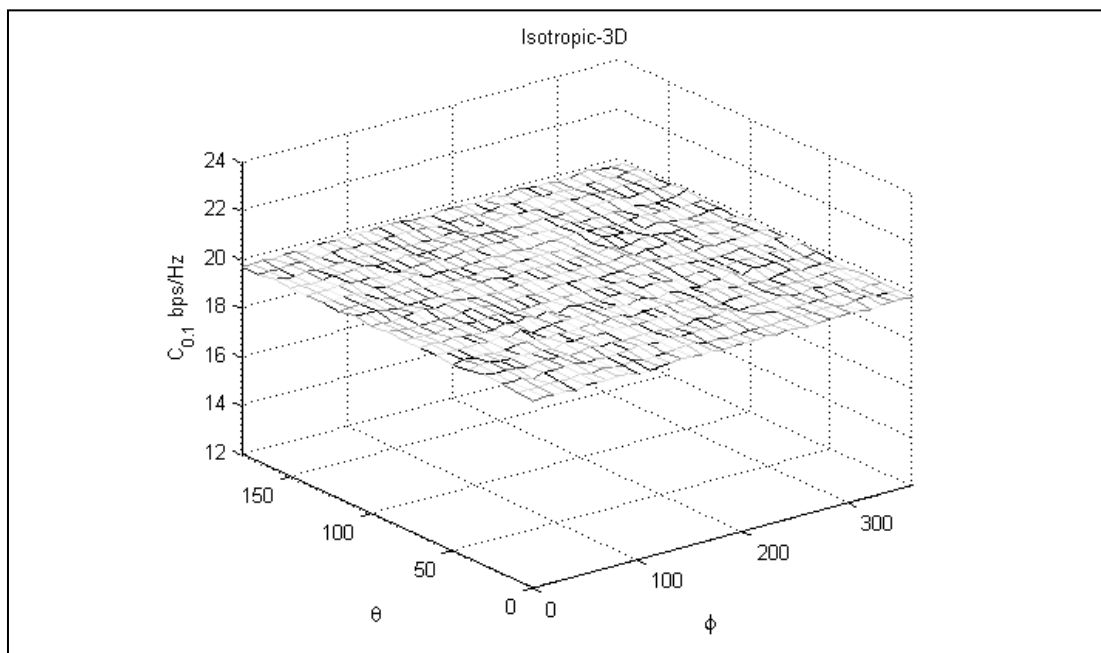


รูปที่ 5.25 ขั้นตอนการจำลองแบบสำหรับรูปภาพเพื่อพัฒนาในระบบสามมิติ

สำหรับขั้นตอนในการจำลองแบบสามารถแสดงได้ดังรูปที่ 5.25 โดยทำการหาค่าความจุช่องสัญญาณตามสมการ (4.13) โดยการสุ่มการกระจายของสัญญาณที่เข้ามาที่สายอากาศมีการแจกแจงแบบเอกรูปสำหรับสายอากาศแบบไอโซทรอปิก ได้鄱ล และยกอุดห้องค์ประกอบชนิดละ 10,000 ครั้ง เพื่อหาค่า $C_{out,0.1}$ สำหรับสายอากาศแต่ละชนิดที่มุ่งมองศานี้ ๆ จากนั้นทำการเปลี่ยนมุมของสายอากาศครั้งไปในทิศทางต่าง ๆ โดยทำการเปลี่ยนมุมของสายอากาศไปครั้งละ 5 องศาที่ระยะนาน ทั้งในระนาบแนวอนและแนวตั้ง แล้วทำการคำนวณหาค่าความจุช่องสัญญาณซึ่งไปจนครบทุกมุม จากนั้นจึงนำค่า $C_{out,0.1}$ ที่ได้ในแต่ละรอบที่มีการเปลี่ยนแปลงทิศทางของสายอากาศมาทำการพล็อตค่าระหว่างค่า $C_{out,0.1}$ กับมุมของสายอากาศครั้งที่ตั้งค่าลำคลื่นหลักของสายอากาศไปในทิศทางต่าง ๆ และทำการจำลองแบบซ้ำอีกครั้งโดยเปลี่ยนเป็นการแจกแจงแบบลาพลาเซียน รูปที่ 5.26 และ 5.27 แสดงค่าความจุช่องสัญญาณ $C_{out,0.1}$ สำหรับการแจกแจงแบบเอกรูปและการแจกแจงแบบลาพลาเซียนในทิศทางต่าง ๆ สำหรับสายอากาศแบบไอโซทรอปิก ตามลำดับ



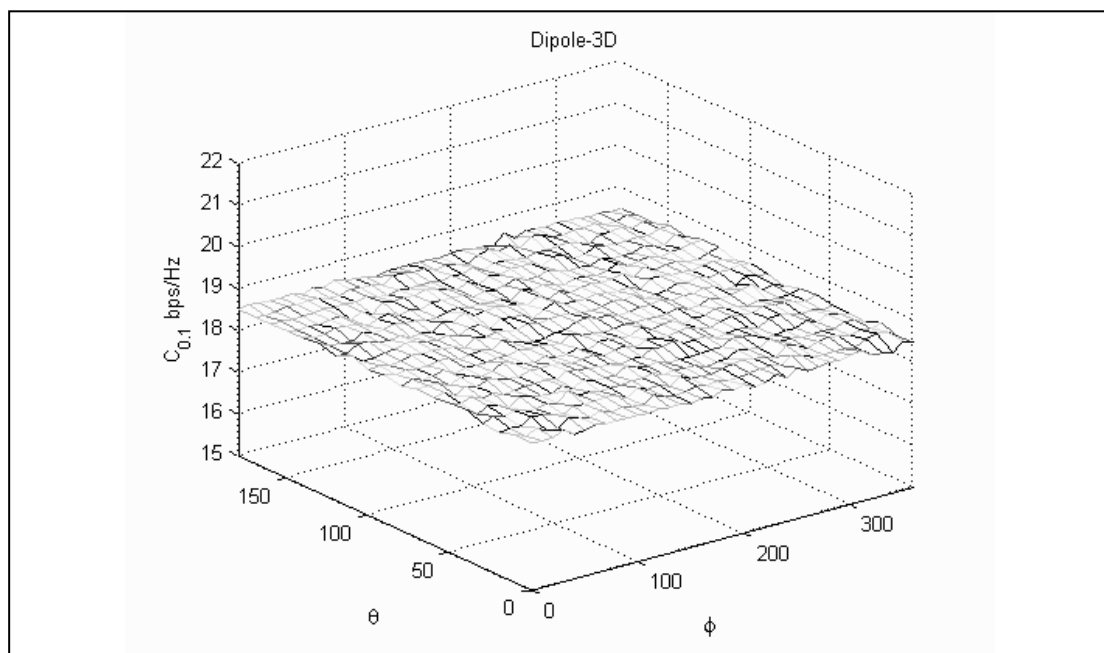
รูปที่ 5.26 ความจุช่องสัญญาณ $C_{out,0.1}$ ของสายอากาศแบบไอโซทรอปิกในทิศทางต่าง ๆ สำหรับการแจกแจงแบบเอกรูป



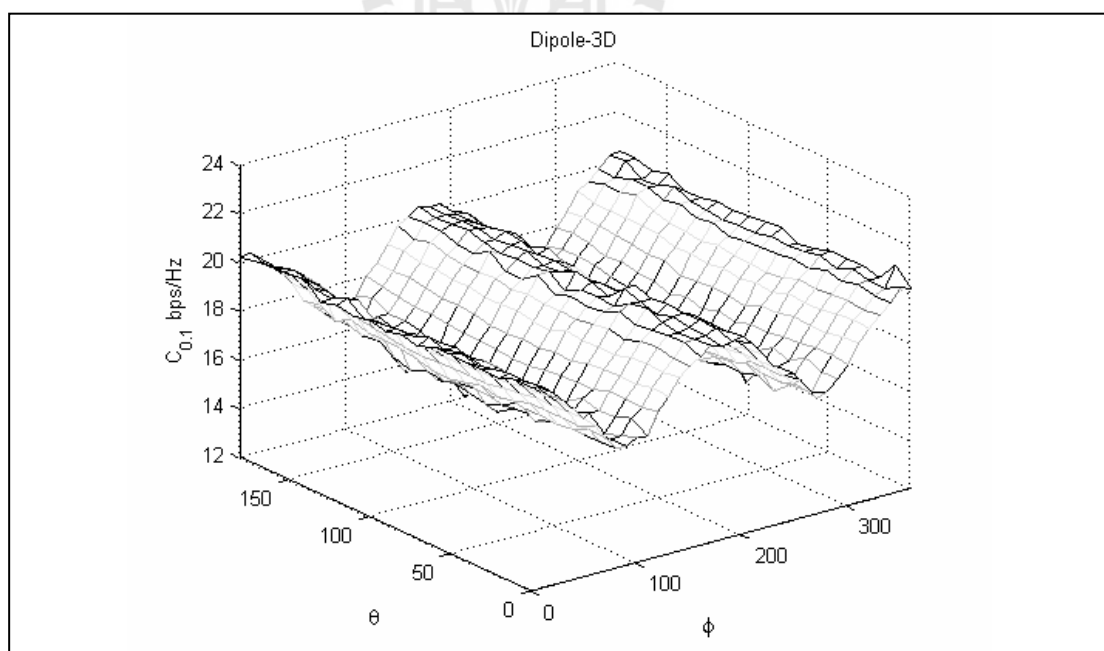
รูปที่ 5.27 ความจุของสัญญาณ $C_{out,0.1}$ ของสายอากาศแบบไอโซทรอปิกในทิศทางต่าง ๆ สำหรับการแจกแจงแบบลาพลาเซียน

ผลจากการจำลองแบบสำหรับสายอากาศแบบไอโซทรอปิก พบว่า ไม่ว่าจะตั้งทิศทางของลำคลื่นหลักของสายอากาศไปในทิศทางใดก็ตาม ค่าความจุของสัญญาณทั้งกรณีที่มีการกระจายของสัญญาณแบบการแจกแจงแบบเอกรูปและการแจกแจงแบบลาพลาเซียน จะมีค่าความจุของสัญญาณที่ใกล้เคียงกัน

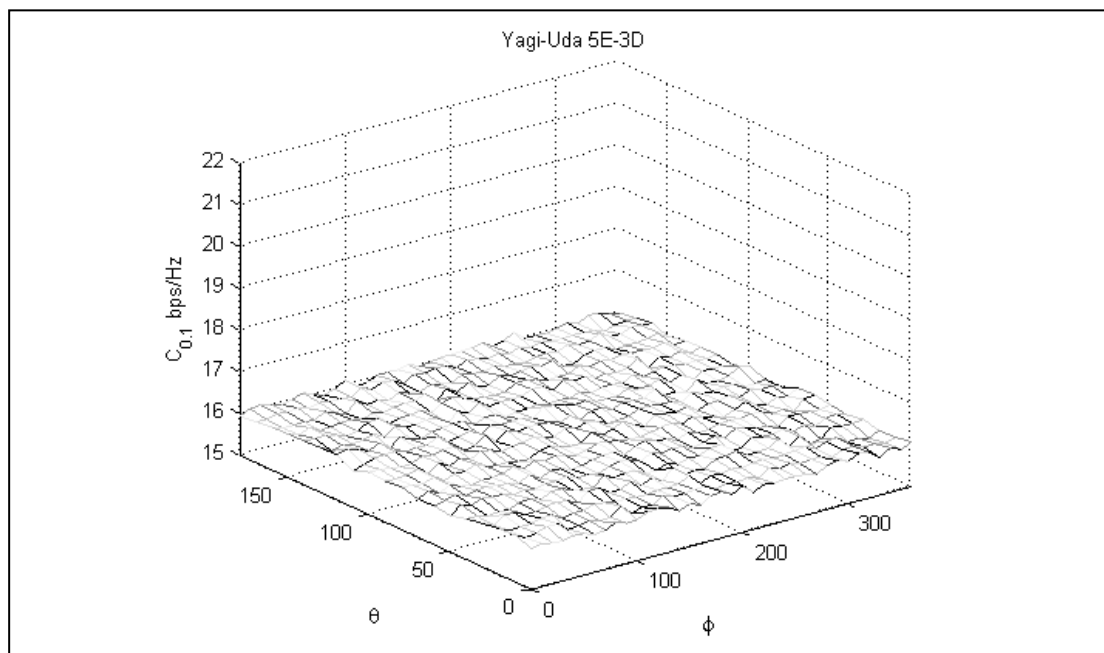
รูปที่ 5.28 และ 5.29 แสดงค่า $C_{out,0.1}$ กับมุมของสายอากาศครับที่ตั้งทิศทางของลำคลื่นหลักของสายอากาศไปในทิศทางต่าง ๆ สำหรับสายอากาศไอโพล โดยมีการแจกแจงแบบเอกรูป และการแจกแจงแบบลาพลาเซียน ตามลำดับ ซึ่งผลที่ได้จากการจำลองแบบนี้ พบว่า กรณีที่การกระจายของสัญญาณมีการแจกแจงแบบเอกรูป การใช้สายอากาศไอโพลจะทำให้ค่าความจุของสัญญาณมีค่าลดลง ไม่ว่าจะตั้งทิศทางของลำคลื่นหลักของสายอากาศไปในทิศทางใด ๆ ก็ตาม แต่สำหรับกรณีที่การกระจายของสัญญาณมีการแจกแจงแบบลาพลาเซียน พบว่า หากตั้งทิศทางของลำคลื่นหลักของสายอากาศไปในทิศทางที่เหมาะสมแล้ว จะทำให้ค่าความจุของสัญญาณเพิ่มขึ้น โดยจะมีค่าสูงสุดในทิศทางที่เป็นพูหลักของสายอากาศ หรือที่มุม $\phi = 0$ องศา และ 180 องศา แต่หากทิศทางของลำคลื่นหลักของสายอากาศไม่เหมาะสมแล้ว ก็จะทำให้ค่าความจุของสัญญาณลดลง



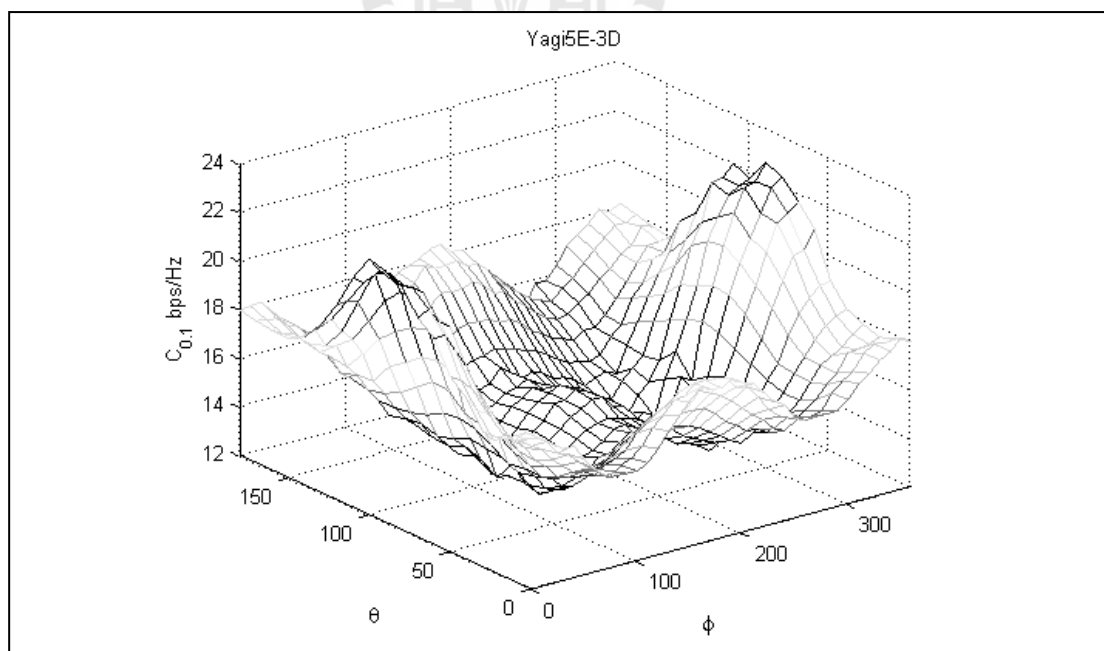
รูปที่ 5.28 ความจุช่องสัญญาณ $C_{out,0.1}$ ของสายอากาศแบบไดโอดในทิศทางต่าง ๆ สำหรับการแจกแจงแบบเอกรูป



รูปที่ 5.29 ความจุช่องสัญญาณ $C_{out,0.1}$ ของสายอากาศแบบไดโอดในทิศทางต่าง ๆ สำหรับการแจกแจงแบบลาพลาเซียน



รูปที่ 5.30 ความจุช่องสัญญาณ $C_{out,0,1}$ ของสาขากลางแบบยากิอูดะห้องค์ประกอบ
ในทิศทางต่าง ๆ สำหรับการแจกแจงแบบเอกสารุป



รูปที่ 5.31 ความจุช่องสัญญาณ $C_{out,0,1}$ ของสาขากลางแบบยากิอูดะห้องค์ประกอบ
ในทิศทางต่าง ๆ สำหรับการแจกแจงแบบลาพลาเซียน

รูปที่ 5.30 และ 5.31 แสดงค่า $C_{out,0.1}$ กับมุมของสายอากาศปรับที่ตั้งทิศทางของลำคลื่นหลักของสายอากาศไปในทิศทางต่าง ๆ สำหรับสายอากาศแบบยกอุตะห์ห้องค์ประกอบโดยมีการแยกแจงแบบเอกสารและ การแยกแจงแบบลาพลาเซียน ตามลำดับ ซึ่งผลที่ได้จากการจำลองแบบนั้นพบว่า กรณีที่การกระจายของสัญญาณมีการแยกแจงแบบเอกสารนั้น สายอากาศยกอุตะห์ห้องค์ประกอบจะทำให้ค่าความจุช่องสัญญาณมีค่าลดลงไม่ว่าจะตั้งทิศทางของลำคลื่นหลักของสายอากาศไปในทิศทางใด ๆ ก็ตาม แต่สำหรับกรณีที่การกระจายของสัญญาณมีการแยกแจงแบบลาพลาเซียนจะพบว่าหากตั้งทิศทางของลำคลื่นหลักของสายอากาศไปในทิศทางที่เหมาะสมแล้ว ค่าความจุช่องสัญญาณจะมีค่าเพิ่มขึ้น โดยจะมีค่าสูงสุดในที่ทิศทางที่เป็นพู่หลักของสายอากาศ หรือที่มุม $\theta = 90, \phi = 0$ องศา แต่หากทิศทางสายอากาศไม่เหมาะสมแล้วก็จะทำให้ค่าความจุช่องสัญญาณลดลงเช่นกัน

สำหรับค่าความจุช่องสัญญาณที่ได้จากการจำลองแบบสามารถหาค่าสูงสุด ค่าต่ำสุด ค่าความจุเฉลี่ย และค่าความเบี่ยงเบนของค่าความจุช่องสัญญาณที่ได้จากการจำลองแบบ สรุปค่าได้ดังตารางที่ 5.1

ตารางที่ 5.1 ค่าความจุช่องสัญญาณ $C_{out,0.1}$ ที่ได้จากการจำลองแบบ สำหรับการแยกแจงแบบเอกสารและ การแยกแจงแบบลาพลาเซียน เมื่อใช้สายอากาศนิดต่าง ๆ

ชนิดของ การแยกแจง	ชนิดของ สายอากาศ	ค่าเฉลี่ย	ค่าสูงสุด	ค่าต่ำสุด	ค่าเบี่ยงเบน มาตรฐาน
การแยกแจง แบบเอกสาร	ไอโซทรอปิก	19.6955	19.8320	19.5510	0.0532
	ไคลโอล	18.4991	18.6830	18.3590	0.0576
	ยกอุตะห์ห้องค์ประกอบ	16.0130	16.1860	15.8120	0.0686
การแยกแจง แบบลาพลา เซียน	ไอโซทรอปิก	19.6972	19.8270	19.5620	0.0510
	ไคลโอล	18.4912	20.8190	15.7070	1.2836
	ยกอุตะห์ห้องค์ประกอบ	16.1139	22.6890	12.3650	2.1226

สำหรับในกรณีที่การกระจายของสัญญาณที่เข้ามาที่สายอากาศ มีการแยกแจงแบบลาพลาเซียน การใช้สายอากาศแบบมีทิศทางจะทำให้ค่าความจุช่องสัญญาณของระบบเพิ่มขึ้น แต่ต้องมีการตั้งทิศทางของลำคลื่นหลักของสายอากาศให้ถูกต้องด้วย และถ้าพิจารณาผลสรุปที่ได้

ดังแสดงในตารางที่ 5.1 จะเห็นว่า การใช้สายอากาศแบบมีทิศทางนั้น จะทำให้ค่าความจุช่องสัญญาณโดยเฉลี่ยลดลงจากการใช้สายอากาศแบบไอโซทรอปิกไม่มากนัก แต่เมื่อตั้งทิศทางของลำคลื่นหลักของสายอากาศให้ถูกต้องแล้ว จะทำให้ได้ค่าความจุที่สูงกว่าการใช้สายอากาศแบบไอโซทรอปิก จึงทำให้การเลือกใช้สายอากาศแบบมีทิศทางมีความเหมาะสมมากกว่า เนื่องจากสามารถเพิ่มค่าความจุช่องสัญญาณได้อย่างมีนัยสำคัญ ทั้งนี้ต้องพิจารณาในสภาวะแวดล้อมที่การกระจายของสัญญาณมีการแยกແຈงแบบลาพลาเซียน ซึ่งเป็นการแยกແຈงในสภาวะที่เป็นภายนอกอาคาร หรือมีการสะท้อนในทิศทางด้านข้างและด้านหลังน้ออกกว่าสัญญาณที่เข้ามาที่ด้านหน้า นอกจากนี้เมื่อพิจารณาในสภาวะการใช้งานจริง สายอากาศแบบมีทิศทางมักมีอัตราขยายสายอากาศที่สูงกว่าสายอากาศแบบไอโซทรอปิก แต่ในสภาวะการจำลองแบบที่ได้ศึกษานั้นได้ลดตอนปัจจัยของอัตราขยายของสายอากาศออกโดยทำการนอร์มอลไลซ์ จึงทำให้ค่าความจุที่ได้มีลักษณะที่เป็นดังที่ได้กล่าวมาข้างต้น หากเราพิจารณาค่าความจุช่องสัญญาณโดยไม่ทำการนอร์มอลไลซ์ของสายอากาศแบบมีทิศทางที่มีอัตราขยายที่สูงกว่าสายอากาศแบบไอโซทรอปิกในทิศทางที่เป็นลำคลื่นหลักของสายอากาศ ทำให้ค่าอัตราส่วนสัญญาณต่อสัญญาณรบกวนของระบบมีค่าสูงขึ้น และจะส่งผลให้ค่าความจุช่องสัญญาณที่ได้มีค่ามากขึ้นด้วยเช่นกัน

5.4 การวัดผลแบบจำลอง

ในส่วนนี้จะเป็นการนำผลที่ได้จากแบบจำลองมาทำการเปรียบเทียบกับผลที่ได้จากการวัดโดยอาศัยชุดเครื่องมือวัดและทดสอบ เพื่อเปรียบเทียบผลที่เกิดขึ้นในการใช้งานจริงกับผลที่ได้จากการแบบจำลองระบบมัลติเพล็อกินพุท-มัลติเพลโอห์พุท ที่ได้ทำการออกแบบและพัฒนา โดยการพิจารณาวัดผลเปรียบเทียบในสองลักษณะ คือ เปรียบเทียบผลที่ได้ในสภาวะแวดล้อมที่เป็นการใช้งานภายในอาคาร และการใช้งานภายนอกอาคาร

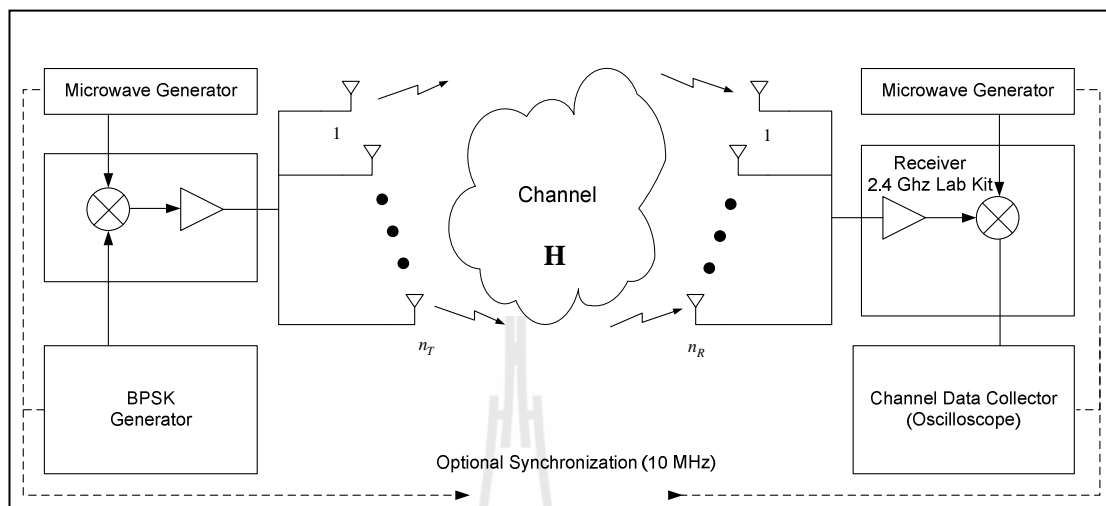
5.4.1 การวัดผลแบบจำลองในสภาวะภายในและภายนอกอาคาร

ในการวัดผลความจุช่องสัญญาณ จะเป็นการวัดค่าสัญญาณโดยทำการส่งสัญญาณในรูปแบบ BPSK ผ่านสัญญาณ파ห์ที่ความถี่ 2.4 GHz ไปยังสายอากาศภาคส่วนที่เป็นสายอากาศแบบไดโอล และทำการวัดค่าโดยอาศัยค่าขนาดและมุมของสัญญาณที่ภาครับดังสมการ

$$y(t) = i(t) + jq(t) \quad (5.1)$$

โดยจะทำการวัดค่าที่ภาครับเปรียบเทียบกัน ระหว่างจากสายอากาศแบบไมโนโอลและสายอากาศแบบยกอุตะ โดยการเขื่อมต่อระบบภาครับและภาคส่วนและเครื่องมือที่ใช้ในการวัดค่าดัง

แสดงในรูปที่ 5.32 สำหรับรูปที่ 5.33 จะเป็นการวัดความเครื่องมือวัดสำหรับการวัดค่าในสภาวะ
แวดล้อมภายในอาคาร



รูปที่ 5.32 แผนภาพแสดงการเชื่อมต่อระบบที่ใช้ในการวัดค่าสัญญาณ



รูปที่ 5.33 ชุดอุปกรณ์วัดค่าของสัญญาณ

ผลการวัดค่าที่ได้จากการนับจำลองเพื่อหาค่าความจุช่องสัญญาณด้วยโปรแกรม เพื่อเปรียบเทียบกับค่าที่ได้จากการจำลองแบบ โดยมีการขาดเสียค่าความสูญเสียของระบบดังแสดงในตารางที่ 5.2 และทำการแสดงค่าให้อยู่ในรูปแบบ CCDF ต่อไป

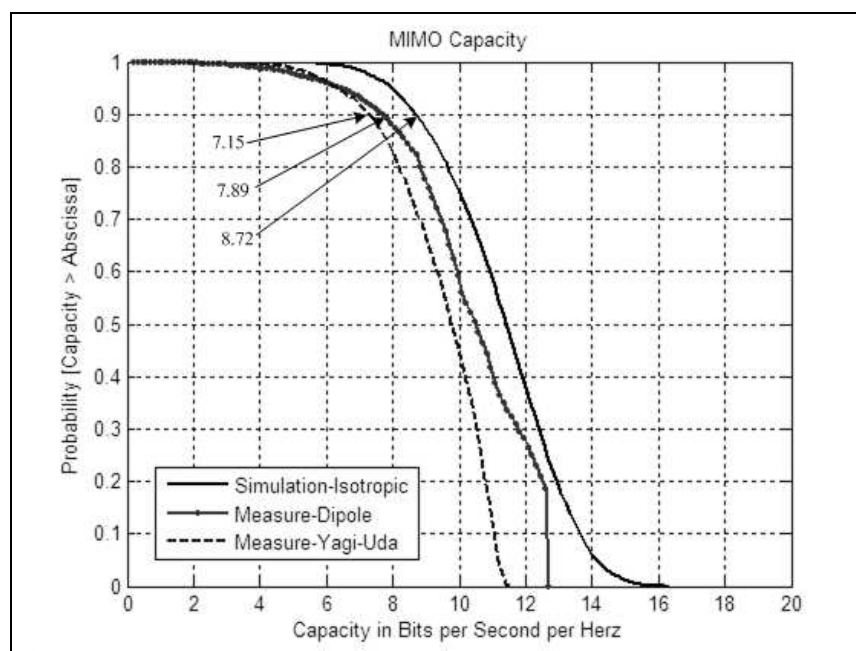
ตารางที่ 5.2 ค่าอัตราขยายและความสูญเสียของระบบที่ใช้ในการวัด

อัตราขยายสายอากาศภาคส่ง	3 dB
อัตราขยายสายอากาศภาครับ(ไดโอล)	3 dB
อัตราขยายสายอากาศภาครับ(ยากอุตะ)	7 dB
ระยะห่างระหว่างสายอากาศภาคส่งและภาครับ	3.5 เมตร
อัตราความสูญเสียระบบภาคส่ง	-1.1 dB
อัตราความสูญเสียระบบภาครับ	-3.5 dB

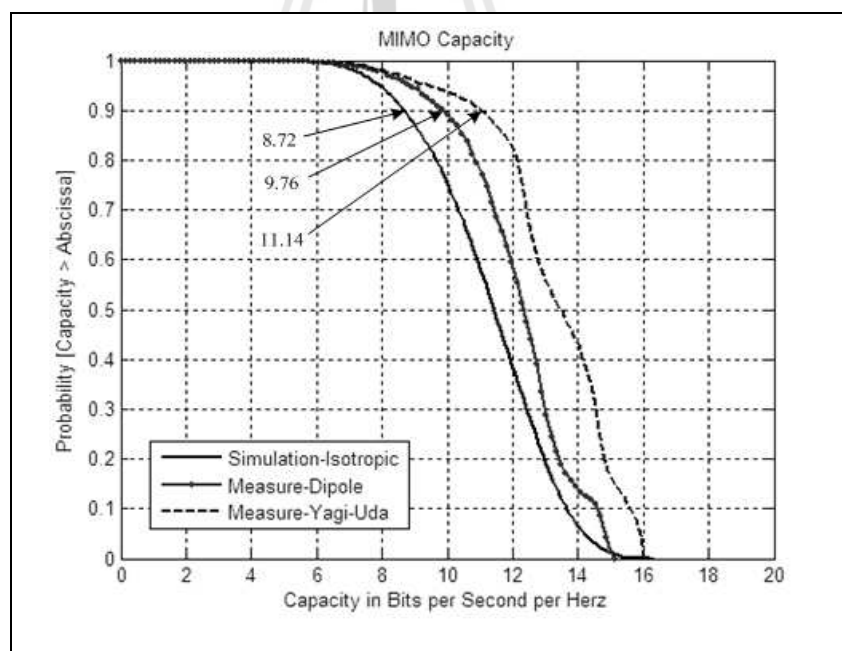
5.4.2 ผลการวัดและค่าความจุช่องสัญญาณในสภาวะภายนอกอาคาร

จากผลการวัดที่ได้โดยทำการวัดค่าภายในห้องปฏิบัติการแทนสภาวะแวดล้อมภายในอาคารและการวัดค่าที่บริเวณลานจอดรถแทนสภาวะแวดล้อมภายนอกอาคาร จากนั้นจึงนำผลที่ได้จากการวัดค่าไปคำนวณหาค่าความจุช่องสัญญาณและนำมาแสดงค่าเปรียบเทียบกันดังแสดงในรูปที่ 5.34 และ 5.35

จากรูปที่ 5.34 และ 5.35 จะเห็นได้ว่าการใช้สายอากาศแบบมีทิศทางในสภาวะแวดล้อมที่มีการกระจายสัญญาณแบบไม่มีทิศทาง จะส่งผลให้ค่าความจุช่องสัญญาณของระบบมีค่าลดลง และสำหรับในสภาวะแวดล้อมภายนอกอาคารที่มีการกระจายสัญญาณไปในทิศทางที่สายอากาศภาคส่งอยู่นั้น การใช้สายอากาศแบบมีทิศทางจะช่วยให้ค่าความจุช่องสัญญาณมีค่าพิ่มขึ้นได้ ซึ่งผลที่ได้จากการวัดค่าทั้งในสภาวะแวดล้อมทั้งภายในและภายนอกอาคารสอดคล้องกับผลที่ได้จากการจำลองแบบ ซึ่งสามารถสนับสนุนความถูกต้องของแบบจำลองที่ได้จากการวิจัยนี้ได้



รูปที่ 5.34 ความจุช่องสัญญาณ $C_{out,0.1}$ ในสภาวะแวดล้อมภายในอาคารเปรียบเทียบระหว่าง
สายอากาศแบบต่าง ๆ



รูปที่ 5.35 ความจุช่องสัญญาณ $C_{out,0.1}$ ในสภาวะแวดล้อมภายนอกอาคารเปรียบเทียบระหว่าง
สายอากาศแบบต่าง ๆ

โดยจากผลการวิเคราะห์ค่าความจุของช่องสัญญาณเมื่อใช้สายอากาศแบบมีทิศทาง สำหรับสภาวะแวดล้อมภายในอาคารนั้นจะส่งผลให้ค่าความจุช่องสัญญาณของระบบมีค่าลดลง แต่การใช้สายอากาศแบบมีทิศทางในสภาวะแวดล้อมแบบภายนอกอาคารจะช่วยให้ค่าความจุช่องสัญญาณมีค่าเพิ่มขึ้นได้ โดยผลการทดลองนั้นมีค่าน้อยกว่าผลการจำลองเนื่องจากค่าการสูญเสียต่าง ๆ ที่เกิดขึ้นในระบบ ยังไงก็ตามผลที่ได้ทั้งจากการจำลองแบบและการทดลองนั้นมีความสอดคล้องไปในทิศทางเดียวกัน สามารถแสดงผลสรุปได้ดังตารางที่ 5.3

ตารางที่ 5.3 ค่าความจุของช่องสัญญาณของสายอากาศ Dipole และ Yagi-Uda ทั้งในสภาวะแวดล้อมภายในและภายนอกอาคาร เมื่อเปรียบเทียบกับสายอากาศแบบ Isotropic

สภาวะแวดล้อม	รูปแบบสายอากาศ	ค่าความจุของช่องสัญญาณเมื่อเทียบกับ Isotropic	
		ผลการจำลองแบบ	ผลการทดลอง
ภายในอาคาร (Indoor)	Dipole	ลดลง 9.25%	ลดลง 6.21%
	Yagi-Uda	ลดลง 18.00%	ลดลง 18.14%
ภายนอกอาคาร (Indoor)	Dipole	เพิ่มขึ้น 11.93%	เพิ่มขึ้น 3.17%
	Yagi-Uda	เพิ่มขึ้น 27.75%	เพิ่มขึ้น 15.83%

5.5 สรุป

ในบทนี้เป็นการแสดงผลที่ได้จากการจำลองแบบจำลองระบบมัลติเพลอินพุท-มัลติเพลเอาท์พุท ที่ได้ทำการออกแบบและพัฒนา โดยการพิจารณาค่าของความจุช่องสัญญาณที่ได้จากการจำลองแบบ เพื่อนำมาหาค่าส่วนเติมเต็มของฟังก์ชันการแจกแจงสะสม และทำการวัดผลในสภาวะแวดล้อมภายในอาคารและภายนอกอาคาร ซึ่งผลจากการจำลองแบบและการวัดผล แสดงให้เห็นว่า ในสภาวะที่การกระจายของสัญญาณที่เข้ามาที่สายอากาศมีการแจกแจงแบบเอกรูป การใช้สายอากาศแบบมีทิศทางจะทำให้ค่าความจุของระบบลดลง แต่สำหรับในการพิจารณาของสัญญาณที่เข้ามาที่สายอากาศมีการแจกแจงแบบลาพลาเซียน การใช้สายอากาศแบบมีทิศทางจะทำให้ค่าความจุของระบบเพิ่มขึ้น แต่โดยต้องมีการตั้งทิศทางของลำคลื่นหลักของสายอากาศให้ถูกต้องด้วย

บทที่ 6

บทสรุปและข้อเสนอแนะ

6.1 สรุปผลการวิจัย

งานวิจัยฉบับนี้ได้ดำเนินการศึกษาวิจัย และพัฒนาแบบจำลองช่องสัญญาณระบบมัลติเพลอินพุท-มัลติเพลอาท์พุท และทำการวัดผลแบบจำลอง โดยพิจารณาผลที่เกิดจากแบบรูปการແພີພັງงานของสายอากาศ ที่มีต่อความจุช่องสัญญาณระบบมัลติเพลอินพุท-มัลติเพลอาท์พุท โดยได้ทำการเลือกสายอากาศแบบมีทิศทางสองชนิดคือ สายอากาศໄດໂພລและสายกิอุดะห้าองค์ประกอบ เทียบกับสายอากาศแบบໄອໂโซทรอปิก โดยการจำลองแบบด้วยวิธีมอนติ คาร์โล เพื่อคำนวณ ค่าความจุช่องสัญญาณที่ได้ของระบบมัลติเพลอินพุท-มัลติเพลอาท์พุท ซึ่งความจุช่องสัญญาณที่พิจารณาจะเป็นตัวแปรสุ่ม โดยอาศัยการหาค่าส่วนเต็มเดียวของฟังก์ชันการแจกแจงสะสม สำหรับการพิจารณาเบริญเทียบค่าความจุช่องสัญญาณที่ได้จากการจำลองแบบ จะพิจารณาจากความจุช่องสัญญาณที่จะให้ค่าความน่าจะเป็นเท่ากับ 90% ซึ่งที่ระดับความน่าจะเป็นดังกล่าวจะบอกถึงความน่าจะเป็นที่ไม่เกิดขึ้นเป็น 10% แทน โดยด้วยสัญลักษณ์ $C_{out,0.1}$ โดยผลที่ได้จากการวิจัย พบว่า ในสภาวะแวดล้อมที่การกระจายของสัญญาณ ที่มาถึงสายอากาศด้านรับมีการแจกแจงแบบเอกรูป ซึ่งจะเป็นลักษณะของการกระจายของสัญญาณในสภาวะแวดล้อมที่เป็นการใช้งานภายในอาคาร โดยการใช้สายอากาศแบบมีทิศทางนั้น จะทำให้ค่าความจุช่องสัญญาณที่ได้รับมีค่าลดลง โดยสายอากาศแบบสายกิอุดะห้าองค์ประกอบ จะลดลงมากกว่าสายอากาศแบบໄດໂພລ เมื่อเทียบกับสายอากาศแบบໄອໂโซทรอปิก

สำหรับในกรณีที่การกระจายของสัญญาณที่เข้ามาที่สายอากาศ มีการแจกแจงแบบลาพลาเซียน การใช้สายอากาศแบบมีทิศทางจะทำให้ค่าความจุของระบบเพิ่มขึ้น โดยต้องมีการตั้งทิศทางลำคลื่นหลักของสายอากาศให้ตรงกันด้วย ซึ่งผลจากการจำลองแบบพบว่าค่าความจุช่องสัญญาณ $C_{out,0.1}$ สำหรับสายอากาศแบบໄอໂโซทรอปิก มีค่าเป็น 19.667 bps/Hz ส่วนสายอากาศໄດໂພລและสายอากาศสายกิอุดะห้าองค์ประกอบให้ค่าเป็น 20.291 bps/Hz และ 22.784 bps/Hz ตามลำดับ โดยค่า $C_{out,0.1}$ จะเพิ่มขึ้นเมื่อเทียบกับสายอากาศแบบໄอໂโซทรอปิกประมาณ 15.85 เปอร์เซ็นต์สำหรับสายอากาศสายกิอุดะห้าองค์ประกอบ และเพิ่มขึ้น 3.17 เปอร์เซ็นต์สำหรับสายอากาศໄດໂພລ อย่างไรก็ตาม เมื่อทำการปรับทิศทางลำคลื่นหลักของสายอากาศไป 60 องศา ทำให้ค่าความจุของสายอากาศแบบมีทิศทางจะมีค่าต่ำกว่าสายอากาศแบบໄอໂโซทรอปิก โดยสายอากาศแบบໄอໂโซทรอปิกให้ค่าความจุช่องสัญญาณเป็น 19.695 bps/Hz ส่วนสายอากาศໄດໂພລ และสายอากาศสายกิอุดะห้าองค์ประกอบให้ค่าเป็น 16.992 bps/Hz และ 16.431 bps/Hz ตามลำดับ

โดยค่า $C_{out,0.1}$ จะลดลงไปเมื่อเทียบกับสายอากาศแบบไอโซทรอปิกประมาณ 16.57 เปอร์เซ็นต์ สำหรับสายอากาศยกอุดห้องค์ประกอบ และลดลง 13.52 เปอร์เซ็นต์สำหรับสายอากาศไดโอล

แต่ย่างไรก็ตาม ในสภาวะแวดล้อมที่การกระจายของสัญญาณที่มาถึงสายอากาศด้านรับมี การแจกแจงแบบลาพลาเซียน ซึ่งจะเป็นการกระจายในสภาวะแวดล้อมที่เป็นการใช้งานภายนอกอาคาร จะพบว่าการใช้สายอากาศแบบมิทิศทางนั้น จะทำให้ค่าความจุช่องสัญญาณที่ได้รับมีค่าเพิ่มขึ้น โดยสายอากาศแบบยกอุดห้องค์ประกอบ เพิ่มขึ้นมากกว่าสายอากาศแบบไดโอล และมากกว่าเมื่อเทียบกับสายอากาศแบบไอโซทรอปิก โดยที่มีข้อแม้ว่า ทิศทางการจัดวางของสายอากาศจะต้องมีทิศทางที่ถูกต้อง นั่นคือ ต้องวางสายอากาศโดยให้ลักษณะของสายอากาศอยู่ไปในทิศทางที่สายอากาศด้านส่งติดตั้งอยู่นั่นเอง ซึ่งจากการวิจัยดังกล่าว สามารถนำไปประยุกต์ใช้ในงานด้านการสื่อสารแบบไร้สาย เช่น การสื่อสารระบบเครือข่ายท้องถิ่นแบบไร้สาย และระบบเซลลูลาร์ เป็นต้น โดยสามารถใช้เป็นแนวทางในการเลือกใช้สายอากาศที่เหมาะสม สำหรับสภาวะแวดล้อมที่แตกต่างกันไป

6.2 ข้อเสนอแนะและแนวทางการพัฒนา

ในการศึกษาวิจัยในอนาคต ในหัวข้อแบบจำลองความจุช่องสัญญาณระบบมัลติเพลโออินพุท-มัลติเพลเอาท์พุท โดยการพิจารณาแบบรูปการແเพล้งงานของสายอากาศ สามารถพัฒนาต่อไปได้ในหลายทิศทาง อาทิ เช่น สามารถพัฒนาวิจัยในเรื่อง การทดสอบแบบจำลองที่ได้โดยใช้สายอากาศที่มีลักษณะเฉพาะแตกต่างออกไป รวมทั้งการวิจัยแบบจำลองที่เกี่ยวข้องกับคุณสมบัติของสายอากาศในด้านต่าง ๆ โดยพิจารณารวมกับแบบรูปการແเพล้งงานของสายอากาศที่ได้จาก การศึกษาวิจัยครั้งนี้ เป็นต้น

ในลำดับสุดท้ายนี้ผู้วิจัยหวังเป็นอย่างยิ่งว่า วิธีการศึกษาวิจัยและพัฒนา รวมถึงการวิเคราะห์ และผลการทดลองจากงานวิจัยฉบับนี้จะเป็นประโยชน์เพื่อที่จะใช้เป็นแนวทางที่ดีให้แก่ผู้สนใจศึกษา และค้นคว้าในเรื่องของแบบจำลองความจุช่องสัญญาณระบบมัลติเพลโออินพุท-มัลติเพลเอาท์พุท โดยการพิจารณาแบบรูปการແเพล้งงานของสายอากาศในงานวิจัยนี้ และในแบบจำลองอื่น ๆ ที่เกี่ยวข้องต่อไป

รายการอ้างอิง

- ประสีทชี ประพิณมงคลการ. (2540). หลักการระบบสื่อสาร. บริษัทชีเอ็คьюคัชั่น จำกัด(มหาชน).
ลัญชกร วุฒิสิทธิกุลกิจ. (2546). หลักการไฟฟ้าสื่อสาร. สำนักพิมพ์แห่งจุฬาลงกรณ์มหาวิทยาลัย.
- 3rd Generation Partnership Project (3GPP), (2007). Spacial channel model for multiple input multiple output (MIMO) simulations (3gpp tr 125.996 version 7.0.0 release 7). **ETSI, Technical Report.** [On-line]. Available: <http://www.3gpp.org/ftp/Specs/html-info/25996.htm>.
- Balanis, C. A. (1997). **Antenna Theory: Analysis and Design.** 2nd ed. John Wiley.
- Cover, T. M., and Thomas, J. A. (1991). **Element of Information Theory.** New York: Wiley-Interscience Publication.
- Foschini, G. J. (1996). Layered space-time architecture for wireless communication in a fading environment when using multi-element antennas. **Bell Labs Technical Journal.** 1(2): 41-59.
- Foschini, G. J., and Gans, M. J. (1998). On limits of wireless communication in a fading environment when using multiple antennas **Wireless Personal Communication.** 6(3): 311-335.
- Gesbert, D., Shafi, M., Shiu, D.-S., Smith, P. J., and Naguib, A. (2003). From theory to practice: an overview of MIMO space-time coded wireless systems. **IEEE Journal Select Areas Communication.** 21(3): 281–302.
- Jensen, M. A., and Wallace, J. W. (2004). A review of antennas and propagation for MIMO wireless systems. **IEEE Transactions on Antennas and Propagation.** 52(11): 2810-2824.
- Khalighi, M. A., Brossier, J., Jourdain, G., and Raoof, K. (2001). Water filling capacity of Rayleigh MIMO channels. **Proceeding IEEE 12th International Symposium on Personal, Indoor and Mobile Radio Communication.** 12(1): 155-158.
- Patzold, M., and Hogstad, B. O. (2004). A space-time channel simulator for MIMO channels based on the geometrical one-ring scattering model. **Vehicular Technology Conference.** 1: 144-149.

- Petrust, P., Reed, J. H., and Rappaport, T. S. (1996). Geometrically based statistical channel model for macro cellular mobile environments. **IEEE Global Telecommunications Conference.** 2: 1197-1210.
- Rappaport, T. S. (2002). **Wireless Communications: Principles and Practice.** 2nd ed. Prentice Hall.
- Shannon, C. (1948). A mathematical theory of communication. **Bell Labs Technical Journal.** 27 : 379-423, 623-656.
- Shiu, D.-S., Foschini, G. J., Gans, M. J., and Kahn, J. M. (2000). Fading correlation and its effect on the capacity of multi-element antenna systems. **IEEE Transactions on Communication.** 48: 502-513.
- Svantesson, T. (2002). Correlation and channel capacity of MIMO systems employing multimode antennas. **IEEE Transactions on Vehicular Technology.** 51(6): 1304-1312.
- Svantesson, T., and Ranheim, A. (2001). Mutual coupling effects on the capacity of multiple antenna systems. **Proceeding IEEE International Conference on Acoustics, Speech, and Signal Processing.** 4: 2485-2488.
- Telatar, I. E. (1995). Capacity of multi-antenna gaussian channels. **European Transactions on Telecommunications,** 10(6): 585-595
- Wallace, J. W., and Jensen, M. A., (2004). Mutual coupling in MIMO wireless systems: A rigorous network theory analysis. **IEEE Transactions Wireless Communication.** 3(4): 1317-1325.
- Wyglinski, A. M., and Blostein, S. D. (2003). On uplink CDMA cell capacity: mutual coupling and scattering effects on beamforming, **IEEE Transactions on Vehicular Technology.** 52(2) : 289-304.



ภาควิชาพิมพ์

บกความทางวิชาการที่ได้รับการตีพิมพ์เผยแพร่

มหาวิทยาลัยเกษตรศาสตร์

รายชื่อบทความทางวิชาการที่ได้รับการตีพิมพ์เผยแพร่

Thongsopa C., Saetiw C. and Intarapanich A. (2009). “**The Effect of 3D Antenna Radiation Pattern on Narrowband MIMO Capacity Simulation and Measurement,**” 2009 International Symposium on Antennas and Propagation. : 540-543





2009 International Symposium on Antennas and Propagation **ISAP 2009** October 20-23, 2009

The Imperial Queen's Park Hotel, Bangkok, Thailand



Advisory Chairs

Monai Krairiksh, KMITL
Vech Vivek, KMUTNB

General Chair

Prayoot Akkaraekthalin, KMUTNB

Vice Chair

Tuptim Angkaew, CU

Technical Program Chair

Chuwong Phongcharoenpanich, KMITL

Information System Chairs

Sarawuth Chaimoel, KMUTNB
Somsak Datthanasant, TOT

Publication Chairs

Rangsan Wongsan, SUT
Denchai Worasawate, KU

Publicity Chairs

Mitchai Chongcheawchamnan, PSU
Akkarat Boonpoonga, MUT

Local Arrangement Chairs

Phaophak Sirisuk, MUT
Rardchawadee Silapunt, KMUTT

Tutorial Chairs

Danai Torrungrueng, AsianU
Chokchai Sangdao, MUT

Special Session Chairs

Nuttawit Surittikul, CAT
Krittaya Chawanonphithak, RUNR

Sponsor & Exhibition Chairs

Chatpol Lertsirimit, AsianU
Yutthaphoom Sirisuk, Navy Academy

Finance Chairs

Bunlue Srisuchinwong, SIIT
Jaruek Jantree, RMUTSB

Registration Chairs

Pornanong Pongpaibool, NECTEC
Rujipan Sampanna, BU

General Secretaries

Titipong Lertwiriyaprapa, KMUTNB
Phumin Kirawanich, MU

Contact Us:

Dr. Titipong Lertwiriyaprapa,
ISAP 2009 General Secretary

E-mail: secretary@isap09.org



FINAL CALL FOR PAPERS

The 2009 International Symposium on Antennas and Propagation (ISAP 2009) will be held in Bangkok, Thailand, on October 20-23, 2009. This symposium will be organized and sponsored by the Electrical Engineering/ Electronics, Computer, Telecommunications and Information Technology (ECTI) Association of Thailand in cooperation with King Mongkut's University of Technology North Bangkok (KMUTNB). The technical sponsors are IEICE, IEEE Antennas and Propagation Society, IEEE Geoscience and Remote Sensing Society, IEICE Bangkok Section, IEEE Thailand Section and IEEE MTT/AP/ED Thailand Chapter.

PAPER SUBMISSION: Contributed papers are solicited describing original work in the fields of antennas, propagation and related topics. Suggested topics are listed in this call. In addition to regularly scheduled sessions for oral and poster presentations, there will be special sessions and tutorials. Authors are invited to submit original and unpublished research papers. Submitted manuscript should not exceed 4 pages.

The instructions on paper preparation and online paper submission are available at www.isap09.org

SUGGESTED TOPICS

A. Antennas and Related Topics: * Microstrip and Printed Antennas * Active and Integrated Antennas * Array Antennas, Phased Arrays and Feeding Circuits * Small Antennas * Adaptive and Smart Antennas * Multiband/Wideband Antennas * Slot Antennas * Millimeter Wave and Sub-Millimeter Wave Antennas * Reflector/Lens Antennas and Feeds * Optical Technology in Antennas * Mobile and Base Station Antennas * Antenna Measurements * Others

B. Propagation and Related Topics: * Mobile and Indoor Propagations * Mobile Channel Characterization and Modeling * Millimeter and Optical Propagations * Earth-Space and Terrestrial Propagations * Radio Astronomy * Remote Sensing * SAR Polarimetry and Interferometry * Ionospheric Propagation * Others

C. Electromagnetic Wave Theory and Other Related Topics: * Complex/Artificial Media and Metamaterials * Computational Electromagnetics * Theoretical Electromagnetics and Analytical Methods * High-Frequency Techniques * Inverse Problems * Random Media and Rough Surfaces * Scattering and Diffraction * Waveguiding Structures * Periodic and Band-Gap Structures * Time Domain Techniques * Others

D. Systems and Other Related Topics: * Biological Effects and Medical Applications * High Power Microwave Applications * Advanced Materials for EM Applications * UWB and Impulse Radio * Ubiquitous Network Systems * Satellite Communication Systems * Radio Technologies for Intelligent Transport Systems * Subsurface Sensing * EMC/EMI Simulations & Measurements * MIMO Radio Channels & Mobile Radio Communication Systems * Others

Best Paper Awards

Papers presented at ISAP 2009 will be judged by the ISAP 2009 Award Committees, and the authors of selected papers will be awarded for the outstanding contributions in the banquet.

Student Paper Awards

Students are encouraged to submit their paper to the award by specifically applying during the paper submission. Only students can apply the Student Paper Awards as a first author of the paper, although co-authors may include non-student researchers. Students of selected papers will be awarded for the Student Paper Awards in the banquet.

IEICE Transactions on Communications announces that it will publish a special section entitled "Special Section on Advanced Technologies in Antennas and Propagation Conjunction with Main Topics of ISAP2009" in October 2010. The submission deadline is January 4, 2010. The instructions on paper preparation and submission are available at www.isap09.org

Important Dates:

Extended Paper Submission Deadline:

June 20, 2009

Extended Acceptance Notification:

July 25, 2009

Advanced Registration Deadline:

August 15, 2009



Thailand Section MTT/AP/ED Thailand Chapter



The Effect of 3D Antenna Radiation Pattern on Narrowband MIMO Capacity : Simulation and Measurement

[#]Chanchai Thongsopa¹, Charinsak Saetiw¹, Apichart Intarapanich²

¹School of Telecommunication Engineering, Suranaree University of Technology
 Nakhon Ratchasima THAILAND, chan@sut.ac.th

²National Electronic and Computers Technology Center
 Phatumtani, THAILAND, apichart.intarapanich@nectec.or.th

1. Introduction

G. J. Foschini and M. J. Gan have been shown that the use of multiple antennas in both transmitter and receiver, called multiple input multiple output system (MIMO), linearly increases the channel capacity with the number of antennas [1]. The channel model in [2] is based on the angle of arrival (AOA). This model, however, does not allow including the radiation pattern into the capacity calculation. The effect of fading correlation without antenna pattern on the MIMO capacity has been studied in [3]. It has been shown that the capacity is reduced when the fading correlation exists [3]. In this paper, we generalize the channel model so that it is able to include 3-dimension (3D) antenna pattern effect on the capacity into consideration. Having the channel model, capacity measurements are performed for omni-direction and direction antennas.

The paper is organized as follows. In the next section, the proposed channel model with 3D antenna radiation pattern is discussed for both single and multiple antenna systems. Simulations of the MIMO capacity in various propagation environments are presented in section 3. Section 4 will show about field measurement and results by the MIMO test-bed. Finally, section 5 concludes the paper.

2. Proposed MIMO Model

In this section, a brief review of spatial correlation based on “one-ring” channel model is given. Then, the proposed model of the MIMO system with the effect of antenna pattern is discussed. We conclude this section with a technique for MIMO capacity calculation with effect of both spatial correlation and antenna pattern.

The “one-ring” channel model is used for fading correlation computation [3]. Let x and y be a transmitted and received signal respectively. The system model of a narrowband wireless system with single antenna at the both ends can be written as

$$y = hx + n \quad (1)$$

where h and n are the channel impulse response and additive noise respectively. The radiation pattern of the receive antenna will change the magnitude of the channel impulse response for each angle of arrival (AOA) as shown in Fig. 1.

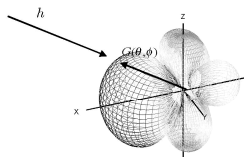


Figure 1: Schematic of the antenna pattern, incoming signal and received signal

The modified channel impulse response with the effect of the radiation pattern or antenna gain pattern for a narrowband wireless system can be then written as [4]

$$h_a = G(\theta, \phi)h \quad (2)$$

It can be seen that the modified channel impulse response consists of three random variables, i.e. θ , ϕ and h . The antenna gain pattern, $G(\theta, \phi)$, will transform the angle random variable, θ , ϕ , to a new random variable. Hence, the modified channel impulse response is a multiplication of two random variables. The narrowband MIMO capacity is a function of the channel matrix will given by [4]

$$C = \log \det \left(I_{n_T} + \frac{P}{\sigma_n^2} \mathbf{H}_a \mathbf{H}_a^T \right) \quad (3)$$

where P is the signal power and σ_n^2 is the noise power. To calculate the capacity with effect of antenna pattern, random matrices are generated by using realization of the channel matrix is obtained as in [4] where the AOA for each receive antenna is randomly generated.

3. 3D Radiation Pattern Simulations

The MIMO capacity in (3) is evaluated using Monte Carlo simulations. We generate 10,000 instances of channel and collect the statistics of MIMO channel capacity. In the simulations, we use 4 transmit and 4 receive antennas at the both ends. The signal to noise ratio (P/n) is 20 dB. The AOAs are generated using Laplacian distribution [1]. In all simulations, the antenna is pointed into the direction of the main lobe of antenna. Three types of antenna are used in the simulations. An isotropic antenna is used for simulating a reference scenario. A horizontal polarized dipole and a 5-element Yagi-Uda are used to investigate the effect of antenna radiation pattern to the channel capacity.

In this simulation, the 3D radiation patterns of all antennas are normalized, by average antenna radiation or antenna gain of all direction with normalize factor Z_x :

$$Z_x = \frac{\int_0^\pi \int_0^{2\pi} |G(\theta, \phi)|_{Directional} d\theta d\phi}{\int_0^\pi \int_0^{2\pi} |G(\theta, \phi)|_{Isotropic} d\theta d\phi} \quad (4)$$

Then, the normalize radiation pattern or gain for each angle will be

$$G(\theta, \phi)_{normalize} = \frac{G(\theta, \phi)_{Directional}}{Z_x} \quad (5)$$

The 3-dimentional radiation patterns of dipole and Yagi-Uda antennas are obtained from SuperNEC version 2.9. The 3D radiation pattern in linear scale and polar scale used in the simulations, for dipole and Yagi-Uda antennas. To compare the performance of each antenna type, we vary the angle spread values and observe the outage capacity. The channel capacity at a given outage probability q , denoted by C_q . For example, The 10% outage channel capacities will be writhen as $C_{0.1}$.

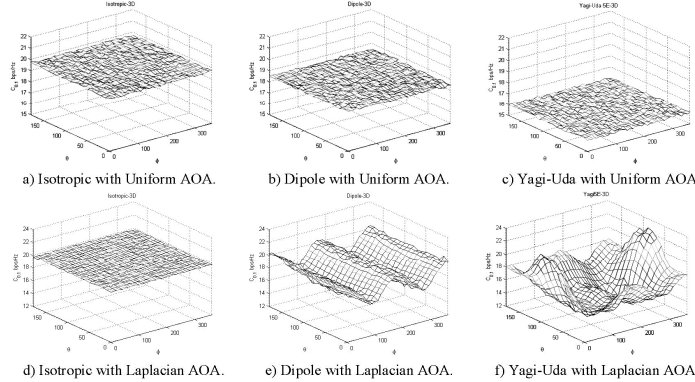


Figure 2. CCDF of capacity for Uniform distributed AOA and Laplacian distributed AOA in 3D

In the simulations, the antenna is pointed into a 3-dimention with $0 \leq \theta_k \leq \pi$ and $0 \leq \phi_k \leq \pi$ in azimuth plane and elevation plane. Capacities of 10% outage with uniform distribution for Isotropic antenna, Dipole, and Yagi-Uda 5-element are shown in Fig.2a, 2b and 2c respectively. For Laplacian AOA distribution, 10% outage capacities are shown Fig.2d, Fig.2e and Fig.2f for Isotropic antenna, Dipole and Yagi-Uda 5-element respectively. For uniform distribution case, the average $C_{0.1}$ of the isotropic antenna is about 19.7 bps/Hz for all directions. The outage capacity for dipole antenna reduces from the ideal case by about 1.2 bps/Hz while Yagi-Uda antenna case, $C_{0.1}$ is about 3.7 bps/Hz less than the ideal case.

In Laplacian distribution case, the power spectrum is concentrated in the mean AOA and it can be observed that there is a relationship between mean AOA and capacity. The capacity of direction antenna is greater than the isotropic case when the direction antenna is in the direction of mean AOA. If the antenna is in a wrong direction, the capacity will be less than the isotropic case. Hence, to gain the maximum capacity for the directional antenna, the antenna has to point into a proper direction. Otherwise, the advantage of using direction antenna will vanish due to signal attenuation by the antenna. The average capacity for all directions is less than the isotropic capacity, however. For example, the outage capacity of the isotropic case for uniform AOA is 19.69 bps/Hz which is higher than 18.50 bps/Hz and 16.11 bps/Hz for the dipole and Yagi-Uda antennas.

4. Capacity Measurements

In this section, the capacity of a directional antenna is measured for 2x2 MIMO system. A dipole antenna is used in the experiment for comparison with 5-element Yagi-Uda antenna. The 2-element dipole array is used in the experiment as a transmit array. At the receiver, either 2-element dipole or 2-element Yagi-Uda array is used. The measurement campaign is performed by using the SUT QPSK test-bed with 70 MHz IF signal which is modulated at 2.33 GHz. The transmitted signal from each antenna is captured at each receive antenna by using a switch. The channel's coherence bandwidth at this frequency is less than 16 MHz for typical indoor and outdoor environments. To ensure far-field radiation, the transmitter and receiver are at least three meters apart. A complete calibration of each radio's gain, phase noise and frequency offset was performed prior to field measurements. The block diagram of the capacity measurement system is shown in Fig. 3. Probing signal is loaded into the QPSK signal generator. The received IF signals are digitized and stored in the digital oscilloscope. The field measurements were performed in a laboratory with electronic equipment and office furniture and at a car parking yard that has a very large empty ground with a few electrical power line for an indoor and outdoor environment respectively.

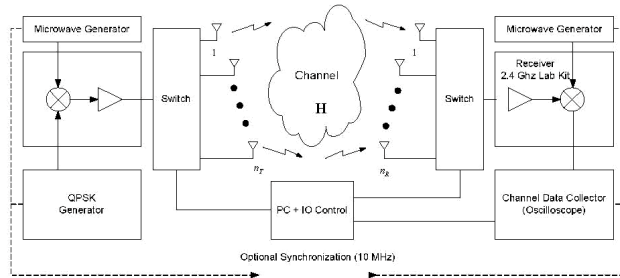


Figure 3. Diagram of narrowband MIMO channel measurement system.

A comprehensive set of results is presented for indoor and outdoor measurement locations. A fair comparison of MIMO array performance is made between the Yagi-Uda arrays and the reference dipole arrays with an isotropic from simulation result as show in figure 4a and figure 4b for indoor scenarios and outdoor scenarios respectively. It is observed in Fig. 4 that the directional antenna in

indoor environment doesn't improve MIMO capacity whereas directional antenna improves MIMO capacity in outdoor environment.

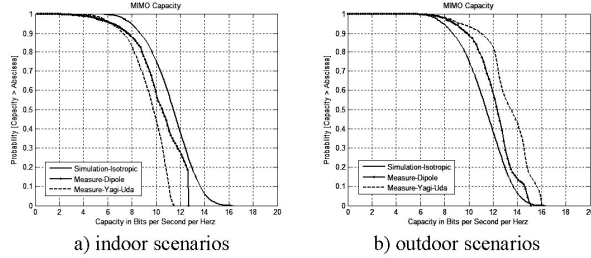


Figure 4. Field measurement Yagi-Uda for indoor scenarios and outdoor scenarios with $\Delta d = 4\lambda$.

5. Conclusion

We have proposed the channel model with including 3-D radiation effect for MIMO capacity calculation. We have shown that the directional antennas can improve the MIMO capacity in outdoor scenarios when the directional antenna is in a proper direction. Capacity improvement can be achieved when the statistic of AOA has peaky characteristic. We have shown that directional antennas are not attractive for MIMO systems in scenario where the randomness of AOA is high such as uniformly distributed AOA. In a scenario where AOA is concentrated on a single direction, the antenna position is crucial to the capacity. If the antenna is point into the mean AOA, then the capacity is increased. However, when the main antenna beam is off from the mean AOA, the capacity does not improve. The results from measurement verify that the AOA and antenna radiation pattern play an importance role in narrowband MIMO capacity. AOA is controlled by the propagation environment whereas the antenna radiation pattern depends on the antenna design. Hence, the antenna has to be design to match specific propagation environment so that the MIMO capacity is improved.

Acknowledgments

This work was supported by the Research Department Institute of Engineering University of Technology Thailand.

References

- [1] I. E. Telatar, *Capacity of multi-antenna Gaussian channels* AT&T Bell Labs, 1995, Tech. Rep.
- [2] G. J. Foschini and M. J. Gan, "On limits of wireless communications in fading environment when using multiple antennas," *Wireless Personal Communications*, vol. 6, no. 3, pp. 311-335, March 1998.
- [3] D.-S. Shiu, G. J. Foschini, M. J. Gans, and J. M. Kahn, "Fading correlation and its effect on the capacity of multielement antenna systems," *IEEE Transactions on Communications*, vol. 48, pp. 502-513, 2000.
- [4] C. Saetiw, A. Intarapanich, C. Thongsopa, "Relations Between 3-Dimensions Antenna Pattern and Narrowband MIMO Capacity", *Microwave Conference, 2007. APMC 2007. Asia-Pacific* pp. 1-4, 2007

ประวัติผู้วิจัย

ชื่อ-นามสกุล : ผู้ช่วยศาสตราจารย์ ดร. ชาญชัย ทองโสภา

วันเดือนปีเกิด : 6 มีนาคม 2509 (สุพรรณบุรี)

เลขหมายบัตรประจำตัวประชาชน 3 7208 00098 92 5

รหัสประจำตัวนักวิจัยแห่งชาติ : 00040671

ตำแหน่งปัจจุบัน : ผู้ช่วยศาสตราจารย์ สาขาวิศวกรรมโทรคมนาคม สำนักวิศวกรรมศาสตร์
มหาวิทยาลัยเทคโนโลยีสุรนารี

หน่วยงานที่อยู่ที่ติดต่อได้พร้อมโทรศัพท์ โทรสาร และE-mail :

สาขาวิชาชีวกรรมโทรคมนาคม สำนักวิศวกรรมศาสตร์ มหาวิทยาลัยเทคโนโลยีสุรนารี

111 ถ.มหาวิทยาลัย ต.สุรนารี อ.เมือง จ.นครราชสีมา 30000

โทรศัพท์: 0-4422-4397

โทรสาร: 0-4422-4392

E-mail: chan@sut.ac.th

ที่อยู่ : 454/168 หมู่บ้าน-ชั้นธัช ถ.รามอินทรา-วัชรพล แขวงคลองถนน

เขตสายไหม กรุงเทพมหานคร 10220

โทร. 08-1837-8185, 0-2994-2095

ประวัติการศึกษา 2545 วิศวกรรมศาสตรคุณภูมิคุณทิพ สาขาวิชาระบบที่ ไฟฟ้า สถาบันเทคโนโลยี
พระจอมเกล้าคุณทหารลาดกระบัง

2539 วิศวกรรมศาสตรบัณฑิต สาขาวิชาระบบที่ ไฟฟ้า-สื่อสาร

มหาวิทยาลัยเกษตรศาสตร์

2535 วิศวกรรมศาสตรบัณฑิต สาขาวิชาระบบที่ ไฟฟ้า (เกียรตินิยม
อันดับ 1) สถาบันเทคโนโลยีพระจอมเกล้าคุณทหารลาดกระบัง
ใบประกอบวิชาชีพวิศวกรรมไฟฟ้าแขนงไฟฟ้าสื่อสาร, กฟส. 5514

ความชำนาญเฉพาะด้าน

- 1) การออกแบบวงจรความถี่สูง
- 2) ระบบสายอากาศ และสายอากาศแบบแอกทีฟ (Active antenna)
- 3) การให้ความร้อนด้วยคลื่นความถี่สูง (Microwave Hypothermia)

รางวัลเกียรติคุณ

- 2533: โล่ห์เกียรติคุณ จากกรมสื่อสารโทรคมนาคม ในฐานะบุคคลดีเด่น
- 2534: โล่ห์เกียรติคุณ จากกองทัพอากาศ ในฐานะบุคคลดีเด่น
- 2540: รางวัลวิทยานิพนธ์ มหาวิทยาลัยเกษตรศาสตร์
- 2546: รางวัลศิษย์เก่าดีเด่น โรงเรียนช่างฝีมือทหาร
- 2551: โล่ห์เกียรติคุณ จากมหาวิทยาลัยเทคโนโลยีสุรนารี ในฐานะบุคคลดีเด่น

สิทธิบัตร

- การหลอมขึ้นรูปผลิตภัณฑ์โดยใช้วัตถุดิบไว้เครื่องจากจะชุมชน โดยบวนการคลื่นแม่เหล็กและการบินขัด เลขที่คำขอ 0501000290
- สายอากาศแพดซ์แนวตั้งคู่ที่มีสตริปเชื่อมอยู่ตรงกลาง เลขที่คำขอ 0701001929
- เครื่องเหนี่ยวนำให้เกิดความร้อนสำหรับอุตสาหกรรมครัวเรือน เลขที่คำขอ 0901003816
- เครื่องໄลค้างคาวด้วยคลื่นเสียงความถี่สูง เลขที่คำขอ 0901003815
- เครื่องกำจัดลูกน้ำมันโดยไม่ทำลายสิ่งแวดล้อม เลขที่คำขอ 1001000444

ประสบการณ์ทำงานและผลงานวิจัย

- พ.ศ. 2535-2540 ตำแหน่งนักวิจัยบริษัทวิทยุการบินแห่งประเทศไทย จำกัด โดยมีผลงานดังต่อไปนี้
- การออกแบบระบบสื่อสาร หอบังคับการบินกับนักบิน
 - การออกแบบวิทยุรับ-ส่ง VHF, UHF (AM) 25 วัตต์ (ระบบเปิดตลอด 24 ชั่วโมง)
 - การออกแบบระบบวิทยุคลื่นสั้น HF (AM) 1kW (ระบบเปิดตลอด 24 ชั่วโมง)
- พ.ศ. 2540-2543 ตำแหน่งนักวิจัย สังกัดหน่วยปฏิบัติการวิจัยเทคโนโลยีโทรคมนาคม ศูนย์เทคโนโลยีอิเล็กทรอนิกส์และคอมพิวเตอร์แห่งชาติ (NECTE)
- เป็นที่ปรึกษาองค์กร โทรศัพท์แห่งประเทศไทยในโครงการ SDH
 - ผลงานการออกแบบวงจรทางด้านความถี่สูง
- ปัจจุบัน อาจารย์มหาวิทยาลัยเทคโนโลยีสันกิจวิชาชีวกรรมศาสตร์ สาขาวิชาชีวกรรมโทรคมนาคม

บทความวิชาการทั้งในประเทศและต่างประเทศ

- 1) M.Krairiksh, **C.Thongsopa** and A.Mearnchu, "A Steerable Active Applicator," Proceedings of the 1998 Asia-Pacific Microwave Conference, Yokohama, vol. 2, pp.861-864, Dec. 1998.
- 2) M.Krairiksh, **C.Thongsopa** and C.Phongcharoenpanich, "A Steerable Active Spherical Slot Array Antenna," Proceedings of the 1999 Progress in Electromagnetics Research Symposium, Taipei, vol. 1, p.483, Mar. 1999.
- 3) M.Krairiksh, **C.Thongsopa**, D.Srimoon and A.Mearnchu, "Analysis of Steerable Active Slot Array Applicator," Proceedings of the 1999 Asia-Pacific Microwave Conference, Singapore, vol. 2, pp.489-492, Dec. 1999.
- 4) M.Krairiksh, **C.Thongsopa**, C.Phongcharoenpanich, E.Khoomwong and C.Leekpai, "A Steerable Spherical Slot Array Antenna," Journal Science Asia, vol. 25, no.4, pp.231-236,
- 5) **C.Thongsopa**, M.Krairiksh, N.Srirattana and A.Intarapanich, "A Single Patch Beam Steering Antenna," Proceedings of the 2000 Asia-Pacific Microwave Conference, Sydney, pp. 1510-1513, Dec. 2000.
- 6) **C.Thongsopa**, M.Krairiksh and A.Mearnchu, " Analysis and Design of a Steerable Active Array Applicator," The First National Meeting on Biomedical Engineering, Bangkok Thailand, Sep. 2001
- 7) **C.Thongsopa**, M.Krairiksh, A.Mearnchu and D.Srimoon, "Analysis and Design of Injection Locking Steerable Active Array Applicator," IEICE Trans. Communications, vol.E 85-B, no 10, pp. 2327-2337, Oct. 2002.
- 8) **C.Thongsopa**, C.Jumniensri, and J.Wongmethanukro, "Beam Steering Using Single Patch Active Antenna," Proceedings of the 26th Electrical Engineering Conference, Thailand, pp.1796-1800, Nov. 2003.
- 9) **C. Thongsopa**, P. Jarataku, and P. Sukpong, "Wide Band U-Shaped cross section Antenna with a strip on a U-Shaped ground plane," IEEE Transactions on Magnetics, Beijing, China, pp.458-461, Apr. 2005.
- 10) P. Sukpong, **C. Thongsopa**, and P. Jarataku, "Injection-Locked Active Antenna Using a Dual Gate MESFET," The 4th PSU-Engineering Conference (PEC4), Songkhla, Thailand, pp. 50-54, December 8-9, 2005.

- 11) C. Thongsopa, A. Intarapanich, and C. Saetiaw, "Amplitude Modulation Using Injection Locking Oscillator Under Strong Envelop Variation Injection," *Journal of Electromagnetic Waves and Applications*, Tokyo, Japan, August 2006.
- 12) **C. Thongsopa**, "Array of A U-Shaped Element on A U-Shaped Ground Plane Wideband Antenna", 2006 Asia-Pacific Conference on Communication, Bussan, Republic of Korea, 31 August-1 September 2006, 5D-145.
- 13) P. Jarataku, and **C. Thongsopa**, "2.45 GHz Bi- Directional Amplifier for Wireless LAN," The 5th PSU-Engineering Conference (PEC5), Phuket, Thailand, pp.197-201, May 10-11. 2007.
- 14) **C. Thongsopa**, D.Srimoon, and P. Jarataku, "A U-Shaped Cross Sectional Antenna on a U-Shaped Ground Plane with an offset Parabolic Reflector for WLAN," IEEE AP-S International Symposium 2007, Honolulu, Hawaii. USA, pp 5159-5162, Jun 10-15, 2007.
- 15) C. Saetiaw, A. Intarapanich, and **C. Thongsopa**, "Effect of Spatial Correlation with Directional Antenna on MIMO capacity," 2007 International Symposium on Antenna and Propagation, Niigata, Japan, pp 1334-1337, August 20-24, 2007.
- 16) A. Intarapanich, **C. Thongsopa**, and C. Saetiaw, "Effect of Antenna Patterns on Narrowband MIMO capacity," IEEE 2007 International Symposium on Microwave, Antenna, Propagation, and EMC Technologies For Wireless Communications, Hangzhou, China, pp 160-163, August 14-16, 2007.
- 17) **C. Thongsopa**, and A. Intarapanich, "Double injection Locking Active Antenna," European Conference on Antennas and Propagation, (Eucap 2007) Edinburgh, UK, pp aa-bb, November 11-16, 2007.
- 18) P. Thosdee, and **C. Thongsopa**, "Quasi-Rhomboid Antenna for Ultra Wideband Wireless Communication System," Proceedings of the 30th Electrical Engineering Conference, Kanchanaburi, Thailand, pp. aa-bb, October 25-26. 2007.
- 19) C. Saetiaw, A. Intarapanich, and **C. Thongsopa**, "Relations between 3-Dimensions Antenna Pattern and Narrowband MIMO Capacity," Proceedings of the 2007 Asia-Pacific Microwave Conference, Bangkok, Thailand, pp. aa-bb, December 11-14, 2007.
- 20) Maungrat, M., **Thongsopa**, C., and Jarataku, P., "Measurement of UHF Radio Wave Propagation in Parking," *The 7th PSU-Engineering Conference (PEC7)*, Songkhla, Thailand, pp. 97-100, May. 21-22, 2009.

- 21) Tangwachirapan, S., **Thongsopa,C.**, “Numerical Simulation of Magnetic Fields Shield for Breast Cancer Hyperthermia,” *The 7th PSU-Engineering Conference (PEC7)*, Songkhla,Thailand, pp. 102-105, May. 21-22, 2009.
- 22) Patummakasorn, C., and **Thongsopa, C.**, “Analysis and Design of Applicator System for Regional Induction Heating 2.45 GHz,” WSEAS Transactions on Communications, Issue 9, Volume 8, September 2009.
- 23) **Thongsopa, C.**, and Thosdee, P., “Array of Quasi Rhomboid Shaped Element Bowtie Antenna with Reflector for Ultra Wideband Applications,” *in proc. The 2009 International Symposium on Antennes and Propagation (ISAP 2009)*, Thailand, October 20-23, 2009.
- 24) **Thongsopa, C.**, and Saetiaw, C., “The Effect of 3D Antenna Radiation Pattern on Narrowband MIMO Capacity: Simulation and Measurement,” *in proc. The 2009 International Symposium on Antennes and Propagation (ISAP 2009)*, Bangkok, Thailand, October 20-23, 2009.
- 25) Patummakasorn, C., and **Thongsopa, C.**, “Simulations and Experiment of Applicator System for Regional Induction Heating 2.45 GHz,” WSEAS Conferences AIC '09, ISCGAV '09, ISTASC '09, HTE '09, FMA '09, BEBI'09 Moscow, Russia, August 20-22, 2009.
- 26) **Thongsopa, C.**, Intarapanich, A.and Maungrat, M., “Temporal Measurement of UHF Radio Wave in Presence of Vehicles” *in proc. 2009 International Symposium on Electromagnetic Compatibility(EMC'09)* Kyoto, Japan, July 20-24,2009.
- 27) **Thongsopa, C.**, Intarapanich, A.and Tangwachirapan, S.,“Shielding system for breast hyperthermia inductive heating”*in proc. The XIVth International Symposium on Electromagnetic Fields in Mechatronics Electrical and Electronic Engineering, (ISEF'09)* Arras, France, Sep 10-12, 2009.
- 28) **Thongsopa, C.**, and Thosdee, P., “*Development of Monocycle pulse* Generator Circuit for Ultra Wideband Applications,” *in proc. 32nd Electrical Engineering Conference (EECON-32)*, Tawaravadee Resort Hotel, Prachinburi, Thailand, October 20-23, 2009.

- 29) Maungrat, M., and **Thongsopa, C.**, "Measurement of ASK and FSK Wave Propagation in Parking," *in proc. 32nd Electrical Engineering Conference (EECON-32)*, Tawaravadee Resort Hotel, Prachinburi, Thailand, October 20-23, 2009.
- 30) Tangwachirapan, S., **Thongsopa, C.**, "Study Magnetic Fields Shield for Lossy Mediums Inductive Hyperthermia Heating," *in proc. 32nd Electrical Engineering Conference (EECON-32)*, Tawaravadee Resort Hotel, Prachinburi, Thailand, October 20-23, 2009.
(The Best Paper Award in Biomedical Engineering).
- 31) Santalunai, S., and **Thongsopa, C.**, "High Power Amplifier Design for RF Induction Heating" *in proc. 32nd Electrical Engineering Conference (EECON-32)*, Tawaravadee Resort Hotel, Prachinburi, Thailand, October 20-23, 2009.
- 32) Yaemsuan, P., and **Thongsopa, C.**, "Design and Construction of Induction Heating Boiler Machine with Full-Bridge Inverter" *in proc. 32nd Electrical Engineering Conference (EECON-32)*, Tawaravadee Resort Hotel, Prachinburi, Thailand, October 20-23, 2009.
- 33) Saetiw, C., **Thongsopa, C.**, Intarapanich, A. and Chinanupakorn, M., "Effect of Directional Antennas to Narrowband MIMO Capacity", 2010 International Workshop on Information Communication Technology (ICT 2010) , August 24 - 25, 2010 KMITL, Bangkok, Thailand.